

الجمهـوريـة الجزائـرـية الـديمقـراـطـيـة الشـعـبـيـة
REPUBLIQUE ALGERIENNE DEMOCRATIQUE ET POPULAIRE

14/84

وزارة التعليم والبحث العلمي
MINISTÈRE DE L'ENSEIGNEMENT ET DE LA RECHERCHE SCIENTIFIQUE

RLX

ECOLE NATIONALE POLYTECHNIQUE

DEPARTEMENT : Genie Civil

PROJET DE FIN D'ETUDES

SUJET

ETUDE de la structure
resistante d'un HOTEL

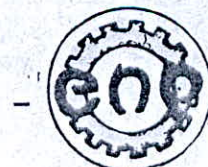
Proposé par :

ENET
SIDI.FREDJ

Etudié par :

A. BOUAOU

K. LEFKI



Dirigé par :
elle
M. BENAMEUR

PROMOTION : Juin 84

وزارة التعليم والبحث العلمي
MINISTERE DE L'ENSEIGNEMENT ET DE LA RECHERCHE SCIENTIFIQUE

Lee

ECOLE NATIONALE POLYTECHNIQUE

DEPARTEMENT **GENIE CIVIL**

PROJET DE FIN D'ETUDES

SUJET

Etude de la structure résistante
d'un **HOTEL**

Proposé par :

ENET
SIDI- FREDJ

Etudié par :
A. BOUAOU
K. LEFKI

Dirigé par :
Melle BENAMEUR



PROMOTION : JUIN 84

TABLE DES MATIERES

<u>Chapitre 1: Introduction</u>	
• Présentation de l'ouvrage	1
• Caractéristiques Mécaniques des Matériaux	2
• Évaluation des charges et surcharges	5
• Prédimensionnement des éléments	7
<u>Chapitre 2: Calcul des éléments.</u>	
• Calcul des escaliers	10
• Calcul de l'acrotère	22
• Calcul des poutrelles	25
• Calcul de la galerie technique	31
• Calcul du réservoir	35
<u>Chapitre 3: Charges verticales</u>	
• Exposé de la méthode de Caquot.	43
<u>Chapitre 4: Etude au séisme</u>	
• Généralités	60
• Action séismique - <u>Etude dynamique</u>	62
• Pratique du calcul dynamique	70
• Calcul de la force séismique latérale V	76
• Etude de la torsion	80
<u>Chapitre 5: Calcul des efforts dans les portiques sous charge horizontale</u>	
• Méthode de BOWMAN (BLOC A)	83
• Méthode de MUTO (BLOC B)	89
• Etude de la torsion	98
<u>Chapitre 6: Superposition des sollicitations</u>	110
<u>Chapitre 7: Ferraillage des poutres</u>	
• Ferraillage des poutres du portique transversal	122
• Ferraillage des poutres du portique longitudinal	123
<u>Chapitre 8: ferraillage des poteaux</u>	
• ferraillage des poteaux transversal	137
• ferraillage des poteaux du portique longitudinal	141
<u>Chapitre 9: ferraillage des voiles du bloc C</u>	
• Etude de la chauffeuse.	154
<u>Chapitre 10: Etude du sol et fondations</u>	
• Etude du sol	174
• fondations	183
• Annexe : Programmes	

RESUME

L'ouvrage qui a fait l'objet de notre projet de fin d'études est un hôtel à usage touristique situé à Aïn Lahdjer Wilaya de SAÏDA classée zone II par le règlement para-seismique Algérien.

La structure resistante est en poutres poteaux : C'est une structure autostable qui assure le contreventement dans les 2 directions.

L'étude du Sd nous a permis d'opter pour un système de fondations isolées.

The purpose of our final project studies is prepared for a touristic hotel custom which is situated at Aïn Lahdjer Wilaya of SAÏDA, Classified as Zone II by the para-seismique Algerian system.

The resistant structure is made of Stake girder which is a self-constant structure to fix surely the basic construction in both sides control.

The soil research let us to opt for an isolated system of the groundwork.

إن المشروع الذي يمْتَضِيُ دراستنا
الهندسية يحْتوي على دراسة فندق سِيَاحِي
يُشَرِّعُ في بناءه في ولاية سعيدة التي تأتي
في الرتبة الـ 15 على سلم المناطير المعرضة للزلزال في
الجزائر حسب تسميات هيئة المراقبة التقنية للبناء
المجازترية (C.T.C).

REMERCIEMENT

Nous tenons à remercier, M^E CHERCHALI et M^E BOHAR pour les conseils éclairés qu'ils n'ont pas cessé de nous donner durant toute la durée de notre stage à l'ENET.

Nous exprimons toute notre gratitude pour tous ceux qui ont contribué à l'élaboration de notre projet de fin d'études au sein de l'ENET, nous pensons aux techniciens des départements Beton et Architecture ainsi qu'à M^E MESSAOUD Sid Ali, M^E LATIMAR M^E LOUNES, et M^E ZIOUANI

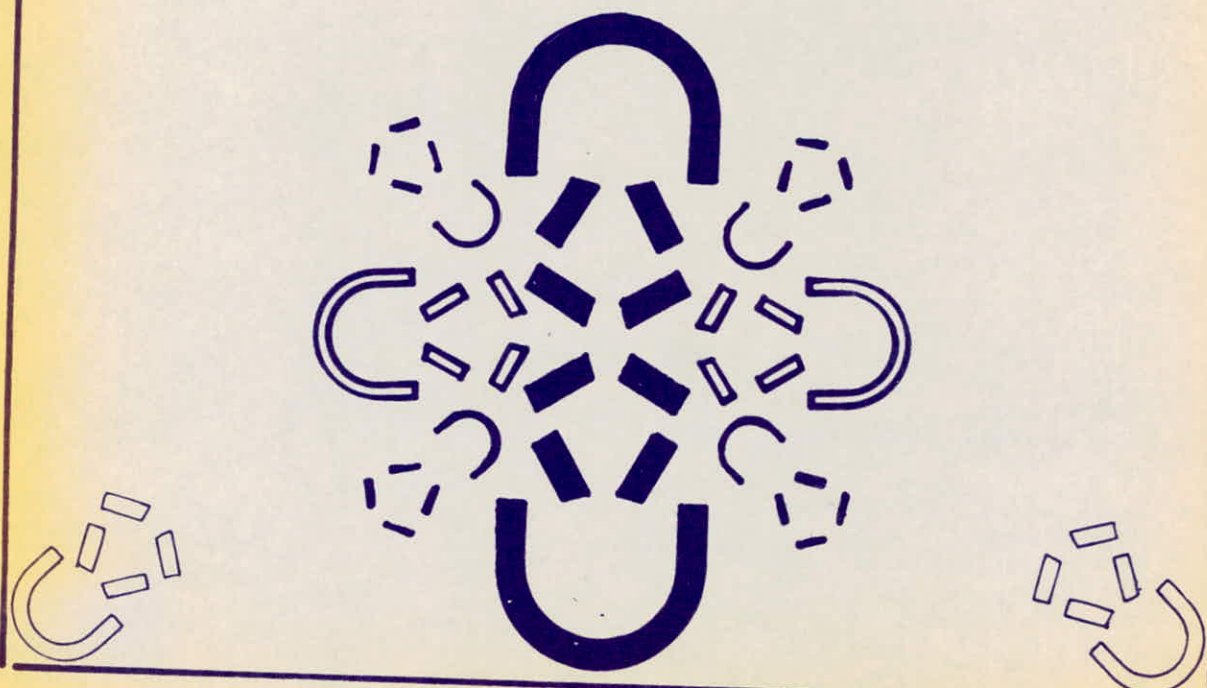
Que tous nos professeurs à l'ENPA soient remerciés pour la formation qu'il nous ont donnée, M^E BENAMEUR notre promotrice notamment.

Abdelkrim

Boubout

Lefki

Jaff



DEDICACES

J e dedie ce modeste travail à tous mes proches,
Que mes parents Soient amplement
remerciés pour tous leurs sacrifices , leur
bonté et pour leur precieuse aide morale.
Qu'ils trouvent en ee travail une modeste
reconnaissance

P our mes grands frères ALI et BRAHEM et leurs
petites familles

P our mes petites soeurs

P our tous mes amis, pour tout ce qu'on a partagé
ensemble.

ABDELKRIM .B.



J e dedie ce modeste travail à :

T oute ma famille

Tous mes amis

Tous ceux qui me sont chers

Khider .L.

CHAPTER 1

INTRODUCTION

PRÉSENTATION DE L'OUVRAGE

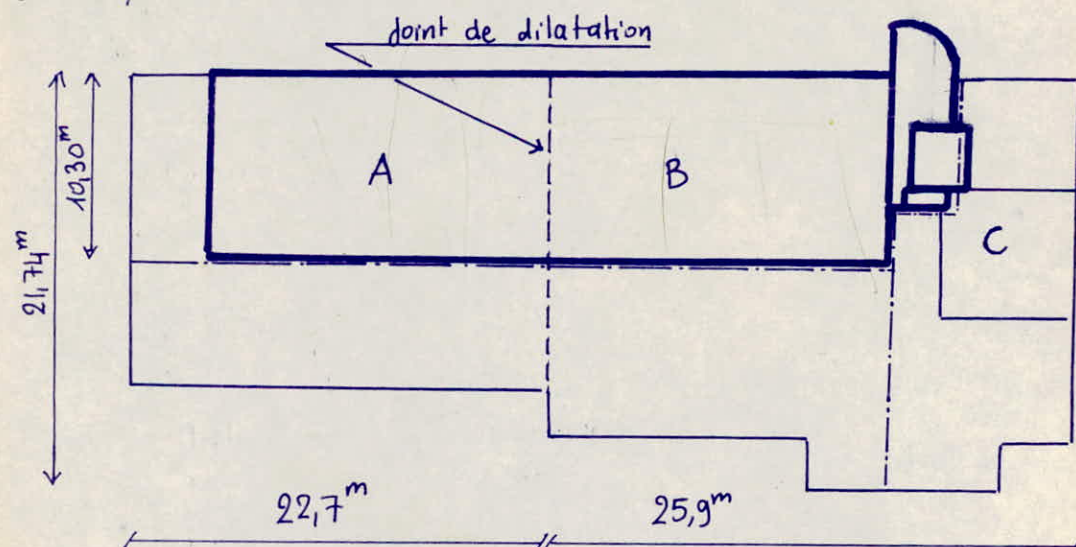
L'ouvrage qui fait l'objet de notre projet de fin d'études nous a été proposé par l'ENTREPRISE NATIONALE DES ÉTUDES TOURISTIQUES (ENET). C'est un Hotel à usage touristique qui est situé à AÏN LAHDJAR wilaya de SAÏDA - Zone de moyenne Seismicité.

Nous ferons dans ce qui suit l'étude de la structure résistante de cet hotel. Il comporte deux grands blocs séparés par un joint de dilatation, toutefois pour des raisons de stabilité vis à vis du séisme on a été amené à séparer certaines parties. L'étude a été faite pour trois blocs A, B, C. Des blocs A et B ont un RDC + deux étages alors que le bloc C possède un RDC seulement. L'hôtel a un vide sanitaire de 1^m50

La structure de l'ouvrage est une structure autostable où le contreventement est assuré dans les 2 directions et à chaque niveau par des portiques.

Le bloc C possède une chauffeuse qui a été conçue en voiles. Nous avons également une galerie technique installée pour des raisons d'esthétique et de commodité pour l'évacuation des eaux usées, l'approvisionnement en eau potable des différents niveaux, ainsi que pour cacher les conduites d'électricité et de gaz. D'autre part un petit réservoir dont les parois sont en béton est construit au deuxième étage des planchers sont constitués par des espaces creux (16+4) Des étages sont desservis par deux cages d'escalier : Un escalier public et un escalier de service

Les dimensions en plan du bâtiment sont représentées dans le schéma suivant :



La hauteur totale du bâtiment (acrotère non comprise) est égale à 13,71^m. Les murs extérieurs sont composés de parements extérieur en parpaing plein de 0,15^m d'épaisseur, un vide d'air de 0,05^m fourni par mortier bâtarde. Les cloisons intérieures sont en briques creuses.

Caracteristiques Mecaniques des Materiaux.

Beton:

Le beton utilise doit être conforme aux règles du CCBA 68 ainsi qu'à tous les règlements en vigueur en ALGERIE.
Un mètre cube de beton aura la composition suivante :

- . 350 kg de Ciment CPA 325 - le contrôle sera attenué
- . 800 l de gravillon de grosseur $c_g = 5/15$ mm.
- . 400 l de sable $c_g \leq 5$ mm
- . 175 l d'eau propre.

Ainsi constitué, le beton aura comme résistance à 28 jours :

- Une résistance nominale à la compression : $\sigma_{28} = 270$ bars
- Une résistance nominale à la traction : $\sigma_{28} = 23,2$ bars

Contrainte de Compression admissible (Art 9-4 CCBA 68)

La contrainte de compression du beton désignée par le symbole σ'_b est la fraction ρ'_b de sa résistance nominale :

$$\sigma'_b = \rho'_b \sigma'_{28} \quad \rho'_b = \alpha \cdot \beta \cdot \gamma \cdot \delta \cdot \varepsilon.$$

- . α : dépend de la classe du ciment utilisé : CPA 325 ; $\alpha=1$
- . β : dépend du contrôle du beton : Contrôle attenué ; $\beta=5/6$.
- . γ : dépend des épaisseurs relatives et des éléments de construction et des dimensions des granulats $c_g = 5/15$, $h_m > 4c_g$; $\gamma=1$.
- . δ : dépend de la nature des sollicitations.

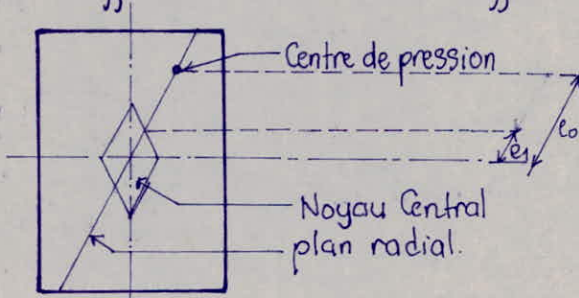
Pour une compression simple $\delta=0,3$

Pour une flexion simple $\delta=0,6$

Pour une flexion combinée

- L'effort normal est un effort de compression : $\delta = \min[0,6, 0,3(1 + \frac{e_0}{3e_1})]$

- L'effort normal est un effort de traction $\delta=0,6$



e_0 = excentricité de la résultante des forces extérieures par rapport au centre de gravité du beton seul

e_1 = distance de la limite du noyau central au centre de gravité du beton seul dans le plan radial passant par le centre de pression.

ε : dépend de la forme de la section, et de la position de l'axe neutre

- $\varepsilon=1$ en compression simple

- Dans les autres cas nous devons prendre ε tel que la condition suivante soit vérifiée : $\sigma'_m \leq \sigma'_b$.

σ'_m : contrainte moyenne dans le béton.

σ'_b : contrainte admissible en compression simple

N.B: $0,5 \leq \varepsilon \leq 1$.

Les coefficients $\alpha, \beta, \gamma, \delta, \varepsilon$ étant définis, on a les contraintes admissibles :

En compression Simple:

$$\bar{\sigma}'_{b_0} = 1,5 \cdot 1,03 \cdot 1,270 = 67,5 \text{ bars.}$$

$$\bar{\sigma}'_{b_0} = 67,5 \text{ bars} = 68,85 \text{ kg/cm}^2 \text{ (Sollicitation du 1^e genre)}$$

$$\bar{\sigma}'_{b_0} = 1,5 \cdot 67,5 \text{ bars} = 101,25 \text{ bars} = 103,75 \text{ kg/cm}^2 \text{ (Sollicitation du 2^e genre)}$$

En Flexion Simple, ou en flexion composé avec effort normal de traction

$$\bar{\sigma}'_b = 1,5 \cdot 1,06 \cdot 1,270 = 135 \text{ bars}$$

$$\bar{\sigma}'_b = 135 \text{ bars} = 137,7 \text{ kg/cm}^2 \text{ (Sollicitation du 1^e genre)}$$

$$\bar{\sigma}'_b = 1,5 \cdot 135 \text{ bars} = 202,5 \text{ bars} = 205,5 \text{ kg/cm}^2 \text{ (Sollicitation du 2^e genre)}$$

Contrainte de traction de référence (Art 9.5 CCBA 68)

La contrainte de traction de référence du béton désignée par le symbole $\bar{\sigma}_b$ est la fraction p_b de sa résistance nominale :

$$\bar{\sigma}_b = p_b \cdot \sigma'_{28} \quad p_b = \alpha \cdot \beta \cdot \theta.$$

α, β, θ gardent les mêmes significations que précédemment.

θ est donné par la formule suivante : $\theta = 0,018 + \frac{2,1}{\sigma'_{28}} \text{ ; } (\sigma'_{28} \text{ bars})$

D'où la contrainte de traction de référence :

$$\bar{\sigma}_b = 1,5/6 \cdot 1 \cdot (0,018 + \frac{2,1}{\sigma'_{28}}) \times 270 = 5,8 \text{ bars.}$$

$$\bar{\sigma}_b = 5,8 \text{ bars} = 5,9 \text{ kg/cm}^2 \quad \frac{270}{\sigma'_{28}} \text{ (Sollicitation du 1^e genre).}$$

$$\bar{\sigma}_b = 1,5 \cdot 5,8 \text{ bars} = 8,7 \text{ bars} = 8,85 \text{ kg/cm}^2 \text{ (Sollicitation du 2^e genre)}$$

Aciers:

On utilisera 3 catégories d'acières :

• Aciers doux (ADX) huance Fe E 24

$$\sigma_{en} = 2350 \text{ bars} = 2400 \text{ kg/cm}^2$$

σ_{en} étant la limite d'élasticité nominale.

- Contraintes admissibles :

$$\bar{\sigma}_a = \frac{2}{3} \sigma_{en} = \frac{2}{3} \cdot 2350 = 1566,7 \text{ bars}$$

$$\bar{\sigma}_a = 1566,7 \text{ bars} = 1600 \text{ kg/cm}^2 \text{ (Sollicitation du 1^e genre).}$$

$$\bar{\sigma}_a = \sigma_{en} = 2350 \text{ bars} = 2400 \text{ kg/cm}^2 \text{ (Sollicitation du 2^e genre).}$$

• Aciers à haute adhérence (HA) Huance Fe E 40.

$$\sigma_{en} = 4120 \text{ bars} = 4200 \text{ kg/cm}^2 \text{ si } \phi \leq 20 \text{ mm.}$$

$$\sigma_{en} = 3920 \text{ bars} = 4000 \text{ kg/cm}^2 \text{ si } \phi > 20 \text{ mm.}$$

- Contraintes admissibles :

$$\bar{\sigma}_a = 2746,7 \text{ bars} = 2800 \text{ kg/cm}^2 \text{ (Sollicitation du 1^e genre) Si } \phi \leq 20 \text{ mm}$$

$$\bar{\sigma}_a = 4120 \text{ bars} = 4200 \text{ kg/cm}^2 \text{ (Sollicitation du 2^e genre)}$$

$$\bar{\sigma}_a = 2613,3 \text{ bars} = 2666,7 \text{ kg/cm}^2 \text{ (Sollicitation du 1^e genre) Si } \phi > 20 \text{ mm}$$

$$\bar{\sigma}_a = 3920 \text{ bars} = 4000 \text{ kg/cm}^2 \text{ (Sollicitation du 2^e genre)}$$

• Treillis soudés

$$\sigma_{en} = 4410 \text{ bars} = 4500 \text{ kg/cm}^2 \quad \text{Si } \phi > 6 \text{ mm}$$

$$\sigma_{en} = 5200 \text{ bars} = 5300 \text{ kg/cm}^2 \quad \text{Si } \phi \leq 6 \text{ mm}$$

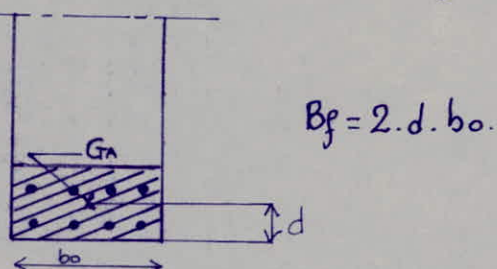
Contrainte de traction imposée par la condition de fissuration du béton.

La valeur maximale de cette contrainte des armatures est limitée par la plus grande des deux valeurs suivantes (en bars) :

$$\sigma_1 = \text{Contrainte de fissuration systématique} : \sigma_1 = K \cdot \eta \cdot \bar{\omega}_f$$

$$\sigma_2 = \text{Contrainte de fissuration non systématique, ou accidentelle} : \sigma_2 = 2,4 \cdot \sqrt{\frac{\eta \cdot K}{\phi} \cdot \bar{\sigma}_b}$$

- η = coefficient de fissuration : $\begin{cases} \eta=1 \text{ pour l'acier ADX.} \\ \eta=1,6 \text{ pour l'acier HA.} \end{cases}$
- ϕ = diamètre de la plus grosse barre tendue (mm).
- K = coefficient dépendant des conséquences de la fissuration sur le comportement de l'ouvrage. K (bars.mm).
 - $K = 1,5 \cdot 10^6$ si la fissuration est peu nuisible
 - $K = 1,0 \cdot 10^6$ si la fissuration est préjudiciable.
 - $K = 0,5 \cdot 10^6$ si la fissuration est très préjudiciable.
- $\bar{\omega}_f$ = pourcentage de fissuration défini par : $\bar{\omega}_f = \frac{A}{B_f}$
 - A: Section totale des barres tendues
 - B_f: Section d'enrobage des barres tendues.



Tableaux récapitulatifs des Contraintes admissibles:

Béton:

Contraintes	$\bar{\sigma}'_{b_0}$		$\bar{\sigma}'_b$		$\bar{\sigma}_b$		
	Unités	bars	kg/cm²	bars	kg/cm²	bars	kg/cm²
Sous SP ₁	67.5	68.85	135	137.7	5.8	5.9	
Sous SP ₂	101.25	103.27	202.5	206.55	8.7	8.85	

Acier :

Acier	Acier doux		Acier à haute adhérence			
	Nuances	Fe E 40	Fe E 40	$\phi \leq 20^{mm}$	Fe E 40	$\phi > 20^{mm}$
Unités	bars	kg/cm²	bars	kg/cm²	bars	kg/cm²
G _{en}	2350	2400	4120	4200	3920	4000
σ_a	Sous SP ₁	1567	1600	2747	2800	2613
	Sous SP ₂	2350	2400	4120	4200	3920
						4000

Evaluation des charges et surcharges

Plancher terrasse

• Protection gravillon (7 cm)	105 kg/m ²
• étancheité Multicouche	10 kg/m ²
• Liège	16 kg/m ²
• Chape de béton	40 kg/m ²
• forme de pente (7 cm d'épaisseur moyenne)	110 kg/m ²
• Table de compression + hourdis (16+4)	265 kg/m ²
• Enduit plâtre (1,5 cm)	21 kg/m ²

$$G = 570 \text{ kg/m}^2$$

NB: Au dessus du réservoir on a une dalle pleine de 15 cm d'épaisseur à la place du plancher en poutrelles d'où $G = 680 \text{ kg/m}^2$

D'où • Surcharge d'exploitation : la terrasse étant inaccessible $P = 100 \text{ kg/m}^2$
 D'où la combinaison des charges et surcharges sous SP1: $\frac{q}{P}$
 $q = g + 1,2 P$

$$q = 570 \text{ kg/m}^2 + 1,2 \cdot 100 \text{ kg/m}^2$$

$$q = 590 \text{ kg/m}^2$$

Plancher étage courant

• Carrelage (1 cm)	22 kg/m ²
• Mortier ciment (1,5 cm)	30 kg/m ²
• Liège	16 kg/m ²
• Table de compression + hourdis (16+4)	265 kg/m ²
• enduit plâtre	21 kg/m ²
• cloisons légères	75 kg/m ²

$$G = 430 \text{ kg/m}^2$$

- Surcharges d'exploitation
 - Chambre $P = 175 \text{ kg/m}^2$
 - Couloirs $P = 250 \text{ kg/m}^2$
 - Escalier $P = 350 \text{ kg/m}^2$

	Charge (g) kg/m ²	Surcharge (p) kg/m ²	Combinaison sous SP1. (q) kg/m ²
Chambre	430	175	640
Couloirs	430	250	730

NB: Nous prendrons pour nos calculs

$$q = 730 \text{ kg/m}^2$$

Plancher R.D.C

- Carrelage (2 cm).
- Mortier ciment (1,5 cm).
- Liège
- Table de compression + hourdis (16+4)
- Cloison légère

22 kg/m ²
30 kg/m ²
16 kg/m ²
265 kg/m ²
75 kg/m ²

On a donc la charge totale du RDC qui est égale : $G = 410 \text{ kg/m}^2$

- Surcharge d'exploitation $P = 400 \text{ kg/m}^2$

D'où la combinaison des charges et surcharges sous SP₁

$$q = g + 1,2 P$$

$$q = (410 + 1,2 \cdot 400) \text{ kg/m}^2$$

$$q = 890 \text{ kg/m}^2$$

Galerie technique

- Dalle (12 cm).
- Enduit ciment (1,5 cm).
- Etanchéité

$$\begin{array}{rcl} 300 \text{ kg/m}^2 \\ 30 \text{ kg/m}^2 \\ 10 \text{ kg/m}^2 \\ \hline G = 340 \text{ kg/m}^2 \end{array}$$

- Surcharge d'exploitation

D'où la combinaison des charges et surcharges sous SP₁

$$q = 340 + 1,2 \cdot 100$$

$$q = 460 \text{ kg/m}^2$$

Réervoir (3,10" x 2,13" x 2,51").

- Dalle (15 cm).
- Etanchéité
- Enduit plâtre
-

$$\begin{array}{rcl} 375 \text{ kg/m}^2 \\ 20 \text{ kg/m}^2 \\ 21 \text{ kg/m}^2 \\ \hline G = 416 \text{ kg/m}^2 \end{array}$$

- Surcharge d'exploitation due à l'eau. $P = 2500 \text{ kg/m}^2$

D'où la combinaison des charges et surcharges sous SP₁

$$q = (416 + 1,2 \cdot 2500) \text{ kg/m}^2$$

$$q = 3416 \text{ kg/m}^2$$

Chaufferie

- Dalle (20 cm).
- Revêtement + étanchéité

$$\begin{array}{rcl} 500 \\ 50 \\ \hline G = 550 \text{ kg/m}^2 \end{array}$$

- Surcharge d'exploitation

$$P = 400 \text{ kg/m}^2$$

NB: Il est à noter qu'on a une charge "concentrée" qui est ramenée par la cheminée sur une surface de dimension : 1,46" x 1,41" de charge ramenée par la cheminée et de 36t.

Acroterie

- Acroterie - terrasse 10,65"
- Acroterie - terrasse 3"

$$\begin{array}{l} g = 230 \text{ kg/m}^2 \\ g = 250 \text{ kg/m}^2 \end{array}$$

Cloisons lourdes de façade

Si l'on considère qu'on a 30 % d'ouverture dans les façades :

$$\text{Parpaing plein} (15 \text{ cm}) : 0,15 \times 2150 = 322,5 \text{ kg/m}^2$$

$$\text{brique} (10 \text{ cm}) : 1800 \times 0,10 = 180 \text{ kg/m}^2$$

$$\text{enduit ciment} : 30 \text{ kg/m}^2$$

$$\text{enduit plâtre} : 21 \text{ kg/m}^2$$

$$g(-30\%) = 390 \text{ kg/m}^2$$

Predimensionnement des éléments.

Predimensionnement des poutres.

Largeur b : la largeur b de la poutre est imposée par les plans d'archi.
 Hauteur h : On predimensionnera cette section de telle façon que seule la section du béton travaillera à la compression. On appliquera pour cela la formule suivante : (Charon : Chapitre IV.)

$$h \geq \sqrt{\frac{M}{\mu' \cdot b' \cdot b}} ; \mu' = \frac{d \cdot \varepsilon}{2} ; d = \frac{n \cdot b}{n \cdot b' + \delta a} ; \varepsilon = 1 - \frac{a}{3}$$

$$\text{D'où } h \geq 0,2 \cdot \sqrt{\frac{M}{b}}$$

h : hauteur minimale.

b : largeur de la partie comprimée

M : $1,1 M_t$ — M_t : Moment en travée

— $1,1$: Pour tenir compte

du poids propre de la poutre

On fera le calcul pour la plus grande portée ($l=3,4$ m) et pour la plus forte charge: $q = 890 \text{ kg/m}^2$ (plancher RDC)

$$q = 890 \text{ kg/m}^2 \times 3,2 = 2848 \text{ kg/m}^2$$

$$M_0 = q l^2 / 8 = \frac{2848 \times 3,4^2}{8} = 4115,3 \text{ kg.m}$$

$$\text{Si on prend } M_t = 0,8 M_0 = 0,8 \times 4115,3 = 3292,3 \text{ kg.m} \Rightarrow M = 3621,5 \text{ kg.m.}$$

$$h \geq 0,2 \times \sqrt{\frac{362150}{30}} = 21,9.$$

D'autre part on a intérêt à augmenter sensiblement cette hauteur car il ne serait pas économique de faire travailler le béton à sa contrainte maximale. L'augmentation de h entraînera une diminution de la section d'acier.

On choisira enfin une section de $b=30\text{cm}$ et $h=40\text{cm}$ pour en tenir compte de l'effet des forces horizontales (seisme). Cette section sera conservée dans les deux sens.

Predimensionnement des poteaux.

La descente de charge nous permet de fixer les sections effectives des poteaux après avoir déterminé les efforts normaux. Ces efforts normaux ainsi déterminés permettent à partir de la formule $N = b' \cdot b \cdot o$. b' en supposant que c'est le béton seul qui reprend l'effort.

On choisira quelques poteaux différents de part leur position et la section qui leur revient.

Poteau f.12 (on suppose une section des poteaux de 30×30)

$$\text{Surface revenant à ce poteau } S = 3,2 \times 3,3 = 10,56 \text{ m}^2.$$

Niveau terrasse:

plancher : $690 \text{ kg/m}^2 \times 10,56$

7286 kg

poutre transversale: $0,3 \times 0,4 \times [(1,7 - 0,15) + (1,6 - 0,15)] \times 2500$

900 kg

poutre longitudinale: $0,3 \times 0,4 \times [3,2 - 0,3] \times 2500$

870 kg

plancher courant (2^e étage).

plancher : $730 \text{ kg/m}^2 \times 10,56$

7709 kg

poutre transversale : idem que terrasse.

900 kg

poutre longitudinale : idem que terrasse.

870 kg

Poteaux: $0,3 \times 0,3 \times [(10,65 - 7,65) + (7,65 - 4,59)] \times 2500$ 1707 kg.

$$N' = 20243 \text{ kg.}$$

$$\frac{N'}{B'} \leq \bar{G}'_{bo} \Rightarrow \frac{N'}{b_1 \cdot h_1} \leq \bar{G}'_{bo} \Rightarrow h_1 \geq \frac{N'}{b_1 \cdot \bar{G}'_{bo}}$$

Sion a: $50 \leq \bar{G}'_{bo} \leq 68,85$ alors $h_1 / h_1^2 \leq h_1 \leq h_1^2$

$$\text{D'où: } \frac{20250}{30 \times 68,85} \leq h_1 \leq \frac{20250}{30 \times 50} \Rightarrow 9,8 \text{ cm} \leq h_1 \leq 13,5.$$

D'autre part la section du poteau ($b_1 \times h_1$) doit satisfaire la condition donnée par le RPA (Art 4211):

$$B' = b_1 \cdot h_1 \geq K \cdot \frac{H'}{0'28} \quad K=4 \text{ pour la zone II.}$$

$$B' \geq 4 \times \frac{20250}{270 \times 1,02} \Rightarrow h_1 \geq \frac{4 \times 20250}{270 \times 1,02 \times 30} = 9,8 \text{ cm.}$$

D'autre part $\min(b_1, h_1) \geq 25 \text{ cm}$ en zone II

Donc on maintiendra section choisie précédemment i.e $B' = (30 \times 30)$ pour les poteaux d'étage.

Poteaux du RDC et Vide sanitaire. (+ $N' = 20250 \text{ kg.}$)

plancher courant (1^{er} étage).

plancher: $730 \times 10,56$

7709 kg.

galerie technique: $450 \times 3,2 \times 1,7$

2503 kg.

Mur de soutien de la galerie: $0,12 \times 1,13 \times 3,2 \times 2500$

1085 kg.

poutre transversale: idem que terrasse.

900 kg.

poutre longitudinale: idem que terrasse.

870 kg.

plancher RDC

plancher: $890 \times 10,56$

9400 kg.

poutre transversale: idem que terrasse.

900 kg.

poutre longitudinale: idem que terrasse

870 kg.

poteaux: $0,3 \times 0,3 \times [(4,59 - 0,00) + 1,4] \times 2500$

1348 kg.

$$N' = 45850 \text{ kg.}$$

$$50 \text{ kg/cm}^2 \leq \bar{G}'_{bo} \leq 68,85 \text{ kg/cm}^2 \Rightarrow \frac{45850}{30 \times 68,85} \leq h_1 \leq \frac{45850}{30 \times 50} \Rightarrow 22,2 \leq h_1 \leq 30,50$$

$$\text{D'autre part } B' \geq 4 \times \frac{45850}{270 \times 1,02} \Rightarrow h_1 \geq \frac{4 \times 45850}{270 \times 1,02 \times 30} \Rightarrow h_1 \geq 22,2 \text{ cm.}$$

Nous choisirons une section du poteau du rez de chaussee et du vide sanitaire égale à $B' = (30 \times 40) \text{ cm}^2$, car nous ne devons pas oublier de prendre en considération les conditions de stabilité de la structure. En effet la hauteur du poteau du RDC étant grande (4,59m) il serait judicieux de prendre une section de béton adéquate.

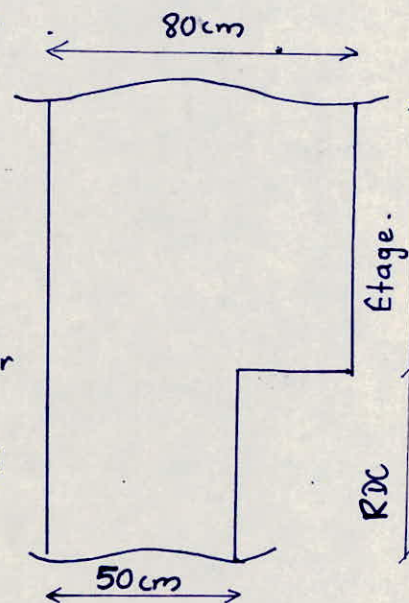
Poteaux de la file E ou H.

Des considerations architecturale — d'architecte ayant cherché un certain effet de façade à avancer le plancher des étages de 30 cm vers l'extérieur — ont fait que les poteaux d'étage ont la dimension h_1 plus grande de 30 cm que les poteaux du RDC et du vide sanitaire.

des poteaux de cette file ont la forme suivante (voir ci contre). Ils sont de ce fait imposés par les plans d'Architecte (du point de vue dimensions)

de prédimensionnement de ces poteaux donne des sections beaucoup plus petites que celles données par les plans. Mais toute fois il est préférable de prévoir qu'il y aurait des efforts assez importants au niveau du plancher haut du RDC (efforts dus au séisme importants au noeud).

Nous conserveront donc la section donnée par les plans d'Architecture.



Poteaux ($H=3m$)

On adoptera pour tous les poteaux extérieurs aux blocs A et B (poteaux qui ne montent qu'à une hauteur $H=3m$) une section $B'=(30 \times 30) \text{ cm}^2$ pour le RDC et le vide sanitaire.

40

poteau G13 (poteau supportant le réservoir)

Considérons une section constante au départ égale à $B'=30 \times 40$ pour tous les niveaux.

Estimation du volume du réservoir : $V = 3,25 \text{ m} \times 2,47 \text{ m} \times 2,51 \text{ m} \approx 17,7 \text{ m}^3$

Charge uniformément répartie ramenée par une dalle de 15 cm

Dalle de terrasse : $q = 800 \text{ kg/m}^2$

Dalle de plancher courant : $q = 840 \text{ kg/m}^2$

Surcharge ramenée par une hauteur d'eau $H=2,5 \text{ m}$ $q = 1,2 \times 2,5 \times 1000 = 3000 \text{ kg/m}^2$
plancher terrasse : $800 \times [(1,7+1,6) \times 1,6] = 4225 \text{ kg/m}^2$

poutre transversale : $5 \times 0,3 \times 0,4 \times (1,7+1,6-0,4) \times 2500 = 4350 \text{ kg/m}^2$

poutre longitudinale : $[4 \times 0,3 \times 0,4 \times (3,2-0,3) + 0,3 \times 0,4 \times (1,6-0,15)] \times 2500 = 3915 \text{ kg/m}^2$

plancher courant (2^e étage) : $(540+3000) \times 325 \times 2,17 \times \frac{1}{4} + 840 \times 3,2 \times 1,4 + 730 \times 3,3 \times 1,6 = 13976 \text{ kg/m}^2$

plancher courant (1^e étage) : $730 \times (3,3 \times 3,2) : 4 = 7710 \text{ kg/m}^2$

plancher RDC : $890 \times (3,3 \times 3,2) = 9400 \text{ kg/m}^2$

poteaux : $0,3 \times 0,4 \times 2500 \times (1,4+4,59+3+3,40+2,66) = 4515 \text{ kg/m}^2$

garde technique : $450 \times 1,45 \times 1,50 = 946 \text{ kg/m}^2$

mur de soutien : $912 \times 1,13 \times [(1,6-0,15)(1,65-0,20)] \times 2500 = 985 \text{ kg/m}^2$

$\approx 50000 \text{ kg}$

$$50 \text{ kg/cm}^2 \leq \sigma_{t0} \leq 68,85 \text{ kg/cm}^2 \Rightarrow \frac{50000}{30 \times 68,85} \leq h_1 \leq \frac{50000}{30 \times 50} \Rightarrow 24,21 \leq h_1 \leq 33,3$$

Nous conserverons la section $B'=(30 \times 40) \text{ cm}^2$ pour les poteaux de tous les niveaux de cette file.

En résumé : A part les poteaux de la file F et H, tous les autres poteaux du bloc A et du bloc B ont une section $B'=(30 \times 40) \text{ cm}^2$ au RDC et vide sanitaire et une section de $B'=(30 \times 30) \text{ cm}^2$ aux étages (sauf poteaux du réservoir. $B'=(30 \times 40)$).

Plancher :

$$h_2 \geq \frac{4225}{225} \Rightarrow h_2 \geq \frac{32}{225} = 0,14. \text{ On prendra donc un plancher } (16+4) \text{ cm}$$

CHAPTER 2

CHILDLIKE IDEAS'
ELEMENTS'

Calcul des Escaliers

Escalier du bloc A:

Caractéristiques géométriques:

Marche: $g = 27 \text{ cm}$

Contremarche: $h = 17 \text{ cm}$.

La relation de Blondel est vérifiée car: $g + 2h$ doit être tel que: $59 \text{ cm} \leq g + 2h \leq 64 \text{ cm}$.

Nous avons $g + 2h = 27 + 2 \times 17 = 61 \text{ cm}$

$$59 \text{ cm} < 61 \text{ cm} < 64 \text{ cm}$$

Paillasse de l'escalier:

L'épaisseur de la paillasse doit être telle que: $\frac{L}{3} \leq e \leq \frac{L}{20}$

Le calcul est fait pour une volée:

$$L = 3,49 \text{ m} + 1,3 \text{ m} = 4,79 \text{ m}$$

$$e \text{ est tel que: } \frac{4,79}{30} \leq e \leq \frac{4,79}{20}$$

$$\text{D'où: } e / 15,9 \text{ cm} \leq e \leq 23,9 \text{ cm}$$

$$\text{On prendra } e = 18 \text{ cm}.$$

$e = 18 \text{ cm}$ est vérifié pour toutes les autres volées.

Inclinaison de la paillasse: α / $\tan \alpha = \frac{h}{g} = \frac{17}{27} = 0,63 \Rightarrow \alpha = 32,2^\circ \Rightarrow \cos \alpha = 0,85$

Le calcul se fera en bande de 1m de largeur projetée horizontalement

Evaluation des charges et surcharges:

charges permanentes:

poids propre de la paillasse: $0,18 \times 2500$

$$531,8 \text{ kg/m}^2$$

poids de la marche: $0,17 \times 2200$

$$187 \text{ kg/m}^2$$

Carrelage (1cm) + Mortier (1,5cm): $22 + 30$

$$52 \text{ kg/m}^2$$

Enduit platre

$$21 \text{ kg/m}^2$$

Surcharge d'exploitation

$$p = 350 \text{ kg/m}^2$$

$$-q = \underline{791,8 \text{ kg/m}^2}$$

D'où enfin la charge revenant à la paillasse par m².

$$q = (g + 1,2p) \times 1^m$$

$$q = (791,8 + 1,2 \times 350) \times 1$$

$$-q = \underline{1215 \text{ kg/m}^2}$$

Palier

Charges permanentes:

poids propre du palier: $0,18 \times 2500$

$$450 \text{ kg/m}^2$$

Carrelage + Mortier

$$52 \text{ kg/m}^2$$

Enduit platre

$$21 \text{ kg/m}^2$$

Surcharge d'exploitation

$$p = 350 \text{ kg/m}^2$$

$$-q = \underline{523 \text{ kg/m}^2}$$

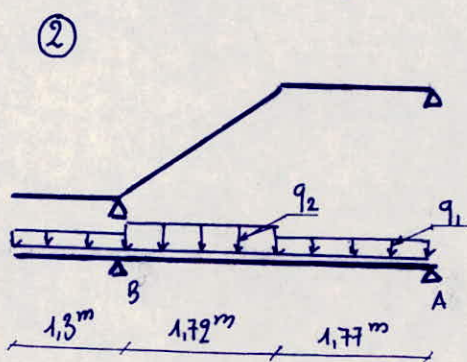
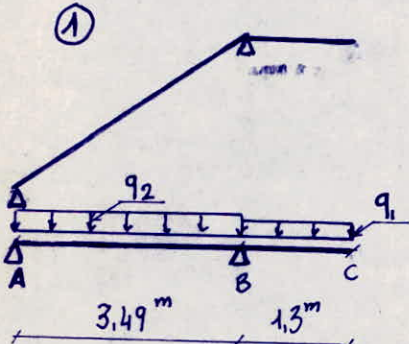
la charge revenant au palier par m²

$$q = (g + 1,2p) \times 1^m$$

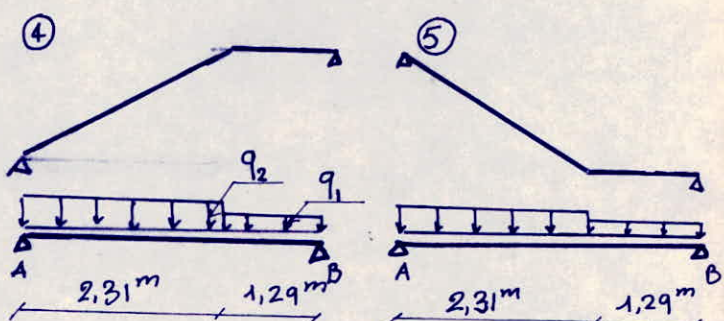
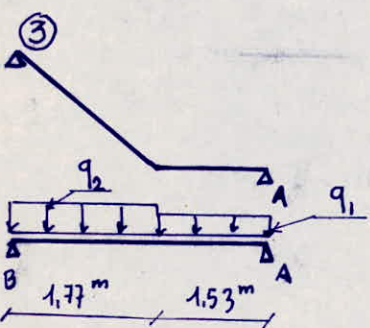
$$q = (523 + 1,2 \times 350) \times 1$$

$$-q = \underline{943 \text{ kg/m}^2}$$

• Schemas statiques des différentes voiles



$$\begin{cases} q_1 = 943 \text{ kg/m} \\ q_2 = 1215 \text{ kg/m} \end{cases}$$



• Efforts resultants:

① $R_A = 1890 \text{ kg}$
 $M_{\max}(\text{travee}) = 1,470 \text{ tm}$
 $T_A = 1,89 \text{ t}$

$R_B = 3575 \text{ kg}$.
 $M_{\max}(\text{appui}) = 0,797 \text{ tm}$.
 $T_B g = 2,349 \text{ t}$
 $T_B d = 1,226 \text{ t}$.

② $R_A = 1533 \text{ kg}$.
 $M_{\max}(\text{travee}) = 1,243 \text{ tm}$
 $T_A = 1,53 \text{ t}$

$R_B = 3453 \text{ kg}$.
 $M_{\max}(\text{appui}) = 0,797 \text{ tm}$.
 $T_B g = 1,226 \text{ t}$
 $T_B d = 2,237 \text{ t}$.

③ $R_A = 1685 \text{ kg}$.
 $M_{\max}(\text{travee}) = 1,498 \text{ tm}$
 $T_A = 1,685 \text{ t}$

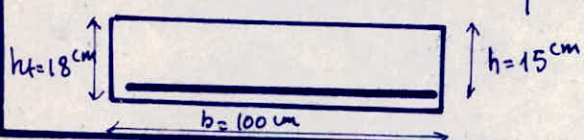
$R_B = 1908 \text{ kg}$.
 $T_B = 1,908 \text{ t}$.

④ et ⑤
 $R_A = 2125 \text{ kg}$.
 $M_{\max}(\text{travee}) = 1,857 \text{ tm}$.
 $T_A = 2,125 \text{ t}$

$R_B = 1900 \text{ kg}$.
 $T_B = 1,9 \text{ t}$.

• Calcul du ferraillage et Contrainte

Nous ferons les calculs pour une section de dimensions:



$$\begin{aligned} b &= 100 \text{ cm} \\ h_t &= r = 18 \text{ cm} \\ h &= 15 \text{ cm} \\ d &= 3 \text{ cm} \end{aligned}$$

des calculs de ferrailage et de contrainte se feront sous forme de tableaux.

Calcul du Moment Résistant de la Section: $M_{Rn} = \bar{k} b h^2$

$$\bar{k} = \frac{1}{2} \bar{\alpha} \bar{b}'s \left(1 - \frac{\bar{\alpha}}{3}\right) ; \bar{\alpha} = \frac{n \bar{b}'s}{n \bar{b}'s + \bar{b}a} ; \bar{b}'s = 137,7 \text{ kg/cm}^2 ; \bar{b}a = 2800 \text{ kg/cm}^2.$$

$$\bar{\alpha} = 0,423 ; \bar{b} = 24,9.$$

$$M_{Rn} = \bar{k} b h^2 = 24,9 \times 100 \times 15^2 = 56025 \text{ kg.cm.}$$

$$M_{Rn} = 5,6 \text{ t.m.}$$

$$M_{Rn} = 5,6 \text{ t.m.} \rightarrow \text{Max } M_i = 1,857 \text{ t.m.}$$

Donc on a une section fléchie sans armatures comprimées.

On emploie la méthode exposée dans le Pierre Charon.

$$\mu = \frac{H}{\bar{b}a \varepsilon \cdot h} \rightarrow A = \frac{H}{\bar{b}a \cdot \varepsilon \cdot h}$$

$$\gamma = \varepsilon \cdot h \rightarrow G'a = \frac{M}{Z \cdot I} ; G'b = \frac{G'a}{K}$$

ε, K sont fonctions de

Armatures

Escalier	Section (t, m)	μ	ε	A Calculé (cm^2)	A choisi (cm^2)
(1)	travée	1,470	0,0350	0,9199	3,805
	Appui	0,797	0,0190	0,9394	2,020
(2)	travée	1,243	0,0296	0,9294	3,198
	appui	0,797	0,019	0,9394	2,020
(3)	travée	1,498	0,0357	0,9191	3,888
	Appui	/	/	/	/
(4) et (5)	travée	1,857	0,0442	0,9111	4,853
	Appui	/	/	/	/

Contraintes

$\gamma = \varepsilon \cdot h$ (m)	K	$G'a$ (kg/cm^2)	$G'b$ (kg/cm^2)
13,79	47,4	2718	57,33
14,09	67,5	1801	26,69
13,94	52,0	2275	43,74
14,09	67,5	1801	26,69
13,78	46,5	2772	59,23
/	/	/	/
13,67	41,2	2475	60,07
/	/	/	/

- Vérifications:

- Condition de non fragilité.

$$\Rightarrow 4 \frac{G'b}{G'a} \cdot \left(\frac{h}{K}\right)^2 b \cdot h = 0,54 \cdot \frac{5,9}{2800} \left(\frac{18}{15}\right)^2 100 \times 15 = 2,458 \text{ cm}^2.$$

La section d'appuis de l'escalier (1) ne vérifie pas cette condition nous choisirons alors T10 ce qui correspond à $A = 3,14 \text{ cm}^2$

- Condition de non fissuration.

On a choisi des T10. Pour des armatures T10, $G_2 = 2,4 \sqrt{\frac{K \gamma G'b}{\phi}}$
 $G_2 = 2,4 \cdot \sqrt{\frac{1,5 \cdot 10^6 \cdot 1,6 \cdot 5,9}{10}} = 2856 \text{ kg/cm}^2 > 2800 \text{ kg/cm}^2$

- Vérification de la flèche:

On vérifie les conditions les plus restrictives:

$$\cdot \frac{4}{b \cdot h} \leq \frac{36}{G'a} \Rightarrow \frac{5,49}{100 \times 15} = 0,0036 < \frac{36}{4200} = 0,0120$$

$$\frac{R_t}{L} > \frac{1}{16}$$

$$\frac{R_t}{L} = \frac{0,18}{(3,49 - 0,15 - 0,10)} < \frac{1}{16} \Rightarrow 0,056 \neq 0,063 \quad \text{non vérifiée'}$$

Nous vérifions la flèche maximale donnée la R.D.M : $f = \frac{59L^4}{384EI} \leq \bar{f} = \frac{1}{500}$

$$E = E_y = 7000 \sqrt{1,2 \cdot 28} = 7000 \times \sqrt{1,2 \times 270} = 126\,000 \text{ bars}$$

$$F = 128520 \text{ kg/cm}^2$$

$$I = \frac{bh^3}{12} = \frac{100 \times 18^3}{12} = 48600 \text{ cm}^4$$

$$L = 3,24 \text{ m}$$

$$q = 1,215 \text{ t/m}.$$

$$f = \frac{5 \times 1215 \times 324^4}{100 \times 128520 \times 48600 \times 384} = 0,9279 < \frac{1}{500} = 0,648 \text{ cm}.$$

Donc la flèche est vérifiée'.

• Vérification de l'espacement:

$$t = \min(3h_0, 33 \text{ cm}) = \min(3 \times 18, 33) = 33 \text{ cm.}$$

l'espacement maxi est obtenu dans la bande de 1m de l'escalier ① $e = 25 \text{ cm} < e_{\max} = 33 \text{ cm.}$

• Vérification à l'effort tranchant maximal

$$e_b \leq \bar{e}_b$$

$$e_b = \frac{I}{b^3} \quad 3 = \frac{7}{8} h$$

$$e_b = \frac{2349}{100 \times 13,12} = 1,79 \text{ kg/cm}^2 \quad \bar{e}_b = 1,15 \times 5,9 = 6,78 \text{ kg/cm}^2$$

Donc on n'a pas besoin d'aciérs transversaux, mais on disposera des armatures de construction : 1HAG tous les 20cm.

• Vérification de l'effort tranchant d'appui

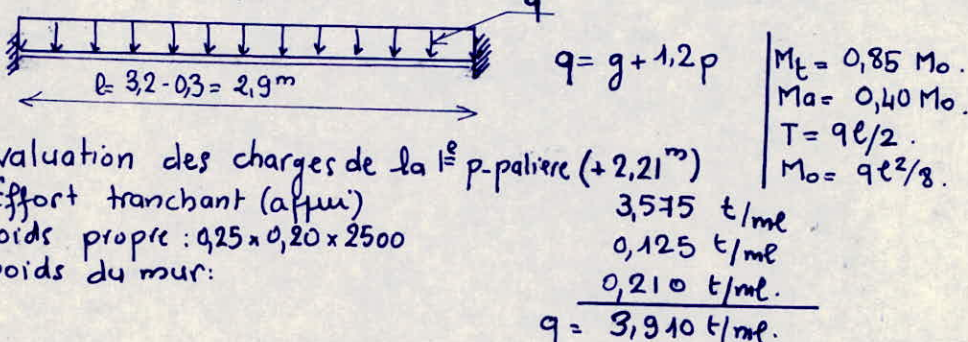
$$A_{\Delta a} \geq T + \frac{M}{R}$$

$$3,14 \times 2800 > \left(2349 - \frac{79700}{7/8 \cdot 15} \right) < 0$$

Donc on n'a pas besoin d'aciérs inférieurs.

Calcul des poutres palierées.

Il existe 3 poutres palierées entre étages. Ces poutres sont complètement noyées dans les poteaux. Elles seront considérées comme étant semi-encastré



Charge par ml sur la deuxième p-palier (+ 3,37^m) $q = 2,351 \text{ t/mé.}$

Charge par ml sur la troisième p-palier (+ 6,12^m) $q = 2,475 \text{ t/mé.}$

En résumé nous avons :

Poutre palierée	Dim (b x ht)	q (t/ml)	M _o (t.m)	T (t)	M _t (tm)	M _a (tm)
1	20x25	3,91	4,11	5,67	3,49	1,64
2	30x30	2,351	2,47	3,41	2,10	0,98
3	30x30	2,475	2,60	3,59	2,21	1,04

Calcul du fraîillage et contraintes

p-palier n° 1 :

$$M_t = 3,49 \text{ tm} \rightarrow \mu = \frac{15 \cdot M}{\sigma_a b h^2} = \frac{15 \cdot 3,49 \cdot 10^5}{2800 \times 20 \times 22^2} = 0,193 \rightarrow \varepsilon = 8377, K = 15,8$$

$$A = \frac{M}{\sigma_a \varepsilon \cdot h} = \frac{3,49 \cdot 10^5}{2800 \times 0,8377 \cdot 22} = 6,76 \text{ cm}^2.$$

$$\sigma_b = \sigma_a / K = \frac{2800}{15,8} = 177,2 \text{ kg/cm}^2 > 137,7 \text{ kg/cm}^2. \text{ Donc } A' \neq 0.$$

$$\text{Calcul de } K = \frac{2800}{137,7} = 20,33 \rightarrow \mu' = 0,1824 ; d = 0,4249 ; \bar{\omega} = 1,046.$$

$$M_0 = \mu' b h^2 \sigma_b = 0,1824 \times 20 \times 22^2 \times 137,7 = 2,45 \text{ tm}$$

$$\Delta M = M - M_0 = 3,49 \text{ tm} - 2,45 \text{ tm} = 1,04 \text{ tm.}$$

$$\sigma_a' = \frac{15(d-d')}{\alpha} \sigma_b = \frac{15(0,4249 - 3/22)}{94249} \cdot 137,7 = 1402,6 \text{ kg/cm}^2$$

$$\text{D'où } A' = \frac{\Delta M}{\sigma_a'(h-d')} = \frac{1,04 \cdot 10^5}{1402,6(22-3)} = 3,89 \text{ cm}^2$$

$$A = \bar{\omega} \cdot \frac{b h}{100} + \frac{\Delta M}{(h-d') \sigma_a} = 1,046 \cdot \frac{20 \times 22}{100} + \frac{1,04 \cdot 10^5}{(22-3) \cdot 2800} = 6,55 \text{ cm}^2$$

$$\text{On adoptera : } A = 6,78 \text{ cm}^2$$

$$A' = 4,58 \text{ cm}^2$$

Pour ces valeurs les contraintes ne sont pas vérifiées
les contraintes sont vérifiées pour $A = A' = 6,78 = 9,24 \text{ cm}^2$
 $\sigma_b = 136 \text{ kg/cm}^2$; $\sigma_a = 956,6 \text{ kg/cm}^2$; $\sigma_a = 2346 \text{ kg/cm}^2$

Pour la section d'appui on se contentera de donner les résultats.

$$M_a = -1,64 \text{ tm} \rightarrow A = 3,04 \text{ cm}^2$$

On adoptera une section de BT12 = 3,39 cm² (Armatures de chapeau)

$$\sigma_b = 102,3 \text{ kg/cm}^2 \quad \sigma_a = 2516 \text{ kg/cm}^2$$

- Vérification de la condition de non fragilité.

$$A \geq 0,69 \cdot b \cdot h \cdot \frac{\sigma_b}{\sigma_a} = 0,69 \times 20 \times 22 \times \frac{5,9}{2800} = 0,64 \text{ cm}^2.$$

- Vérification de la condition de non fissuration

$$\sigma_a = \min [2/3 \sigma_{en}, \max(\sigma_1, \sigma_2)]$$

$$\sigma_1 = \frac{K\gamma}{\phi} \cdot \frac{w_f}{1+10w_f} \quad \sigma_2 = 2,4 \sqrt{\frac{K\gamma}{\phi} \cdot \sigma_b}$$

$$\text{En travée : } w_f = \frac{A}{B_f} = \frac{9,24}{2 \times 5 \times 20} = 0,046.$$

$$\sigma_1 = \frac{1,15 \times 10^6 \times 1,6 \times}{14} \times \frac{0,046}{1+10 \times 0,046} = 5403 \text{ kg/cm}^2 > \frac{2}{3} \sigma_{en} = 2800 \text{ kg/cm}^2.$$

A l'appui

$$\sigma_1 = 3528 \text{ kg/cm}^2 > \frac{2}{3} \sigma_{en} = 2800 \text{ kg/cm}^2.$$

- Vérification à l'effort tranchant.

- Condition à l'appui: $A \geq \frac{1}{\sigma_a} (T + \frac{M}{Z}) = \frac{1}{2800} \left(5700 - \frac{1,64 \cdot 10^5}{78 \cdot 22} \right) < 0$

- Largeur Minimale d'appui: $c \geq c_0 = \frac{2T}{b\sigma_b} = \frac{2 \times 5700}{20 \times 68,85} = 8,5 \text{ cm.}$

C = distance de l'appui : $C = b + (d+r)$, r = rayon de courbure = 5ϕ
 $C = 30 - (6+4) = 20 \text{ cm} > 8,5 \text{ cm.}$ $r = 5 \times 1,2 = 6 \text{ cm.}$

$$d = 4 \text{ cm}$$

$$b = 30 \text{ cm.}$$

- Armatures transversales.

$$\sigma_b = \frac{T}{b\sigma_b} = \frac{5700}{20 \times \frac{7}{8} \times 22} = 14,80 \text{ kg/cm}^2.$$

$$\sigma'_b = 102,3 \text{ kg/cm}^2 \quad \bar{\sigma}_b < \sigma'_b < 26,30$$

$$\bar{\sigma}_b = \left(4,5 - \frac{\sigma_b}{\sigma'_b} \right) \times \sigma'_b = \left(4,5 - \frac{102,3}{68,85} \right) \times 5,9 = 17,78 \text{ kg/cm}^2 \quad \sigma_b < \bar{\sigma}_b.$$

On utilisera comme armatures transversales (1 cadre + 1 étrier T6). $A_t = 1,13 \text{ cm}^2$
 $\sigma_{at} = P_{at} \sigma_{en} = \frac{2}{3} 4200 = 2800 \text{ kg/cm}^2$ ($2/3$: reprise de bétonnage).

$$t = \frac{A_t \cdot 2 \sigma_{at}}{T} = \frac{1,13 \times 7/8 \cdot 22 \cdot 2800}{5700} = 10,68 \text{ cm.}$$

$$\bar{t} = \max \left\{ 0,2h = 0,2 \times 22 = 11 \text{ cm.} \right.$$

$$\left. h(1 - 0,3 \cdot \frac{\sigma_b}{\sigma'_b}) = 22 \times \left(1 - 0,3 \times \frac{14,80}{5,9} \right) = 5,4. \right.$$

$$\bar{t} = 11 \text{ cm.}$$

Donc on adoptera au niveau de l'appui $t = \bar{t} = 11 \text{ cm.}$

• P-palier n° 2 et 3.

On se contentera de donner les résultats de calcul
Ferraillage - Contraintes:

$$M_L = 2,21 \text{ t.m} \rightarrow A = 2T12 = 3,39 \text{ cm}^2$$

$$M_a = -1,04 \text{ t.m} \rightarrow A = 2T10 = 1,57 \text{ cm}^2.$$

Contraintes:

$$\text{En travée : } \sigma_b' = 78,4 \text{ kg/cm}^2, \sigma_a = 2632 \text{ kg/cm}^2.$$

$$\text{A l'appui : } \sigma_b' = 97,9 \text{ kg/cm}^2, \sigma_a = 2642 \text{ kg/cm}^2$$

• Vérifications:

Les vérifications ont été menées comme précédemment. Elles sont satisfaites.

• Armatures transversales:

$$E_b = \frac{T}{b_0 z} = \frac{3590}{30 \times 7/8 \times 27} = 5,06 \text{ kg/cm}^2$$

$$\sigma_b' = 97,9 \text{ kg/cm}^2 > \sigma_{b0}' = 68,85 \text{ kg/cm}^2$$

$$E_b = \left(4,5 - \frac{\sigma_b'}{\sigma_{b0}'} \right) \times \bar{E}_b = \left(4,5 - \frac{97,9}{68,85} \right) \times 5,9 = 18,16 \text{ kg/cm}^2.$$

On utilisera comme armatures transversales (cadre + rebord T6)

$$A_t = 1,13 \text{ cm}^2$$

$$\sigma_{at} = \sigma_{at} \text{ ren} = \frac{2}{3} \cdot 4200 = 2800 \text{ kg/cm}^2. \quad (2/3 : \text{reprise de bétonnage}).$$

$$t = \frac{A_t \frac{2}{3} \sigma_{at}}{3590} = \frac{1,13 \times 7/8 \cdot 27 \times 2800}{3590} = 20,82 \text{ cm}.$$

$$\bar{t} = \text{Max} \begin{cases} 0,2 \cdot h = 0,2 \times 27 = \\ \frac{2}{3} \times \left(1 - 0,3 \frac{E_b}{\sigma_b} \right) = 27 \times \left(1 - 0,3 \times \frac{5,06}{5,9} \right) = 20,05 \text{ cm}. \end{cases}$$

On prendra $t = 20 \text{ cm}$ au niveau de l'appui.

• Escalier du bloc B:

• Caractéristiques géométriques:

Marche : $g = 30 \text{ cm}$

Contremarche : $h = 17 \text{ cm}$.

Paillasse de l'escalier : e est telle que $\frac{L}{30} \leq e \leq \frac{L}{20}$
de calcul est fait pour la paillasse offrant la plus grande portée
 $e = 18 \text{ cm}$

Inclinaison de la paillasse : $\alpha / \operatorname{tg} \alpha = \frac{h}{g} = \frac{17}{30} = 0,567 \Rightarrow \alpha = 29,54^\circ \Rightarrow \cos \alpha = 0,87$

Le calcul est fait pour une bande de 1^m de largeur projetée horizontalement.

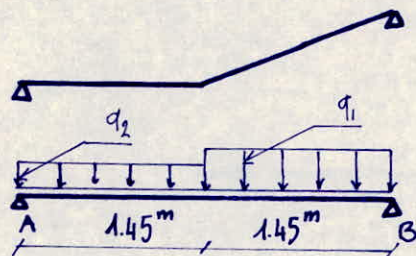
Charges et surcharges :

Paillasse : $q_1 = 1232 \text{ kg/m}^2$

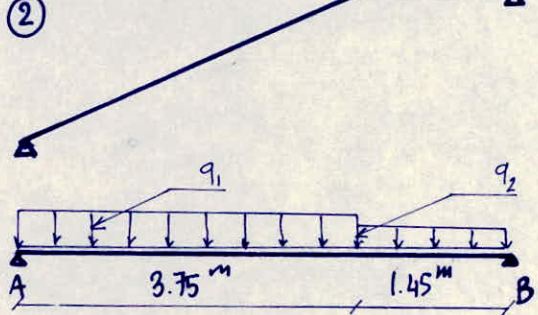
Palier : $q_2 = 943 \text{ kg/m}^2$

• Schemas statiques des différentes volées

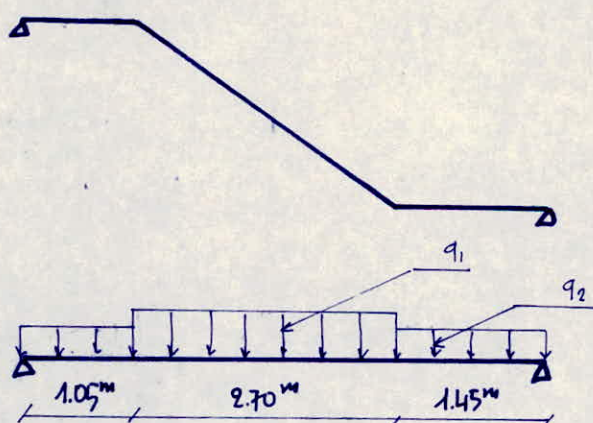
①



②



③, ④, ⑤, ⑥, ⑦



• Efforts résultants:

$$\textcircled{1} \quad R_A = 1,472 \text{ t}$$

$$M_{\max} (\text{travee'}) = 1,146 \text{ tm.}$$

$$T_A = 1,472 \text{ t}$$

$$\textcircled{2} \quad R_A = 3,145 \text{ t}$$

$$M_{\max} (\text{travee'}) = 4,014 \text{ tm.}$$

$$T_A = 3,145 \text{ t}$$

$$R_B = 1,681 \text{ t.}$$

$$T_B = 1,681 \text{ t.}$$

$$R_B = 2,843 \text{ t.}$$

$$T_B = 2,843 \text{ t.}$$

$$\textcircled{3} \quad R_A = 2,872 \text{ t}$$

$$M_{\max}(\text{travée}) = 3,934 \text{ t.m.}$$

$$T_A = 2,872 \text{ t}$$

$$R_B = 2,812 \text{ t}$$

$$T_B = 2,812 \text{ t.}$$

• Ferraillage - Contraintes - vérifications

Escalier ① : $678/\text{m.l}$, $e = 16 \text{ cm}$

Escalier ② : $7714/\text{m.l}$, $e = 14 \text{ cm}$.

Escalier ③, ④, ⑤, ⑥, ⑦ : $7714/\text{m.l}$, $e = 14 \text{ cm}$.

des contraintes du béton et de l'acier sont vérifiées
Toutes les autres vérifications ont été faites, elles sont satisfaites.

• Calcul des poutres palierées

Il existe 3 poutres palierées entre étages.

Nous exposerons les résultats dans le tableau ci-dessous.

P-palier	Niveau	Dimension	$q(\text{t}/\text{m.l})$	$M_0(\text{t.m})$	$T(\text{t})^{\max}$	Section	$M(\text{t.m})$	$A(\text{cm}^2)$
①	3,06 m	$b=30 \text{ cm}$ $h_t=40 \text{ cm}$	3,98	3,0	4,9	Appui	1,20	$\frac{3710}{2,35}$
						travée	2,55	$\frac{3712}{3,39}$
②	6,12 m	$b=30 \text{ cm}$ $h_t=40 \text{ cm}$	3,22	2,4	3,9	Appui	0,96	choisi égal à ①
						travée	2,04	choisi égal à ①
③	9,91 m	$b=30 \text{ cm}$ $h_t=40 \text{ cm}$	3,26	2,4	4,0	Appui	0,96	choisi égal à ①
						travée	2,04	choisi égal à ①

• Armatures transversales

$$\bar{A}_b = \frac{T}{b \cdot z} = \frac{4900}{30 \times 7/8 \times 37} = 5,04 \text{ kg/cm}^2$$

$$\sigma_b' = 28,39 \text{ kg/cm}^2 < \sigma_{b0}' = 68,85 \text{ kg/cm}^2.$$

$$\bar{A}_b = 3,5 \sigma_b = 3,5 \times 5,9 = 20,65 \text{ kg/cm}^2.$$

$$\bar{\sigma}_{at} = \bar{\rho}_{at} \sigma_{en} = \frac{2}{3} 4200 = 2800 \text{ kg/cm}^2.$$

On utilisera comme armatures transversales (1 cadre + 1 étier T6) $A = 1,13 \text{ cm}^2$

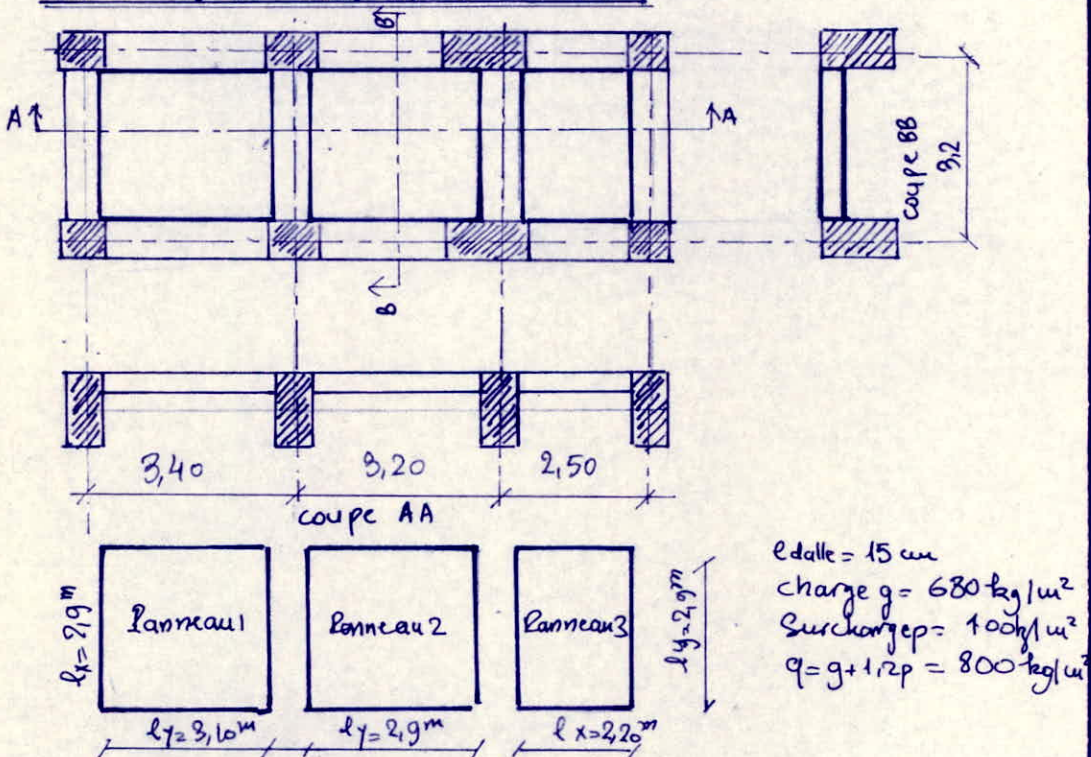
$$t = \frac{At}{3\bar{\sigma}_{at}} \Rightarrow t = \frac{1,13 \times 7/8 \times 37 \times 2800}{4900} = 20,9 \text{ cm.}$$

$$\bar{t} = \text{Max} \left\{ 0,2 \cdot h = 0,2 \times 37 = 7,4 \text{ cm.} \right.$$

$$\left. h \cdot (1 - 0,3 \cdot \frac{A_b}{\sigma_b}) = 37 \times (1 - 0,3 \times \frac{5,04}{5,9}) = 27,5. \right.$$

On prendra au niveau de l'appui $t = 21 \text{ cm.}$

Calcul de la dalle de la terrasse.



On fait les calculs pour un mètre de largeur dans les 2 sens.
des panneaux sont appuyés sur leurs 4 cotés.

Panneau 1

$$\frac{P}{EY} = \frac{P \cdot l_x}{EY} = 0,935$$

$$M_{x1} = P_{x1} \cdot q l_{x1}^2$$

$$M_{y1} = P_{y1} \cdot M_{x1}$$

$$P = 0,935 \Rightarrow P_{x1} = 0,048 \quad P_{y1} = 0,890$$

$$M_{x1} = 0,048 \times 800 \times 2,9^2 = 322,9 \text{ kg.m}$$

$$M_{y1} = 0,890 \times 322,9 = 287 \text{ kg.m}$$

Panneau 2

$$\frac{P}{EY} = \frac{P \cdot l_x}{EY} = 1$$

$$M_{x2} = P_{x2} \cdot q l_{x2}^2$$

$$M_{y2} = P_{y2} \cdot M_{x2}$$

$$P = 1 \Rightarrow P_{x2} = 0,0423 \quad P_{y2} = 1$$

$$M_{x2} = 0,0423 \times 800 \times 2,9^2 = 284,6 \text{ kg.m}$$

$$M_{y2} = 1 \times 2,846 = 2,846 \text{ kg.m}$$

Panneau 3

$$\frac{P}{EY} = \frac{P \cdot l_x}{EY} = 0,758$$

$$M_{x3} = P_{x3} \cdot q l_{x3}^2$$

$$M_{y3} = P_{y3} \cdot M_{x3}$$

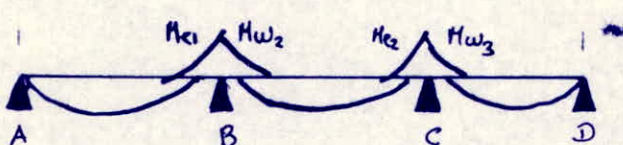
$$P = 0,758 \Rightarrow P_{x3} = 0,0660 \quad P_{y3} = 0,562$$

$$M_{x3} = 0,0660 \times 800 \times 2,2^2 = 255,55 \text{ kg.m}$$

$$M_{y3} = 0,562 \times 255,55 = 143,62 \text{ kg.m}$$

Pour tenir compte de la continuité des panneaux on considère les moments eux appuis et en travée tels que.

$$\frac{M_f + M_e + M_w}{2} \geq 1,25 M_0$$



$$\text{On prendra } M_{e1} = M_{w2} = 0,7701 \\ M_{e2} = M_{w3} = 0,7702$$

$$M_f = 0,9 M_0$$

$$(M_e, M_w) = 0,770$$

$$M_{e1} > M_{w2}$$

$$M_{e2} > M_{w3}$$

La relation précédente est donc vérifiée pour les 3 panneaux

NB: On prendra aux appuis extrêmes un Moment égal à $0,15 M_{ox}$
et ceci pour tenir compte des conditions d'encastrement.
On prendra la même valeur pour les petits et grands côtés.

Panneau 1

$$\begin{aligned}M_{oA} &= 0,15 M_{ox_1} = 48,43 \text{ kg.m} \\M_{t1} &= 0,9 M_{oy_1} = 258,7 \text{ kg.m} \\M_{oB} &= 0,7 M_{oy_1} = 201,1 \text{ kg.m} \\M_{tx_1} &= M_{ox_1} = 322,9 \text{ kg.m}\end{aligned}$$

Panneau 2

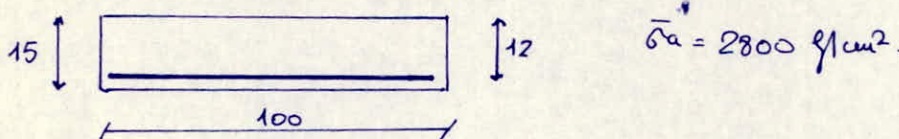
$$\begin{aligned}M_{oB} &= 0,7 M_{oy_1} = 201,1 \text{ kg.m} \\M_{t2} &= 0,9 M_{oy_2} = 256,14 \text{ kg.m} \\M_{oC} &= 0,7 M_{oy_2} = 199,2 \text{ kg.m} \\M_{tx_2} &= M_{ox_2} = 284,6 \text{ kg.m}\end{aligned}$$

Panneau 3

$$\begin{aligned}M_{oD} &= 0,15 M_{ox_3} = 38,33 \text{ kg.m} \\M_{t3} &= 0,9 M_{oy_3} = 230 \text{ kg.m} \\M_{oC} &= 0,7 M_{oy_2} = 199,2 \text{ kg.m} \\M_{ty_3} &= M_{oy_3} = 143,6 \text{ kg.m}\end{aligned}$$

Ferçage contrarétré

On considère une section de 1m de largeur et de 0,18m de hauteur totale.



$$\text{Haut} \rightarrow p = \frac{15 M}{\sigma_a \cdot b \cdot l^2} \rightarrow \Sigma \rightarrow k \rightarrow A = \frac{M}{\sigma_a \cdot \epsilon \cdot k}; \quad \sigma_b = \frac{\sigma_a}{k}$$

On fera le calcul pour les moments suivants: $M_{t1}, M_{t2}, M_{tx_1}, M_{tx_2}, M_{tx_3}, M_{oB} \approx M_{oC}, M_{oA}, M_{oD}$

$M(\text{kg.m})$	p	Σ	$A(\text{mm}^2)$	A_{chorsai}	k	σ_b	$\epsilon(\text{m})$	$\epsilon_{\text{max}}(\text{m})$
48,4	0,002	0,9792	0,1147	3T8	225	12,4	33,3	45
258,7	0,010	0,9552	0,1806	3T8	96,5	29,0	33,3	45
230,6	0,009	0,9573	0,7115	4T8	102	27,4	25	33
201,1	0,007	0,9621	0,622	3T8	117	23,93	33,3	45
322,9	0,012	0,9510	1,106	4T8	87,0	32,1	25	33
284,6	0,011	0,9531	0,8888	4T8	91,5	30,6	25	33
143,6	0,005	0,9677	0,442	3T8	140,	20	33,3	45

Condition de non fragilité du béton.

$$\frac{A_k}{bh_x} \geq \frac{\gamma_4}{2} (2-p) \cdot \frac{\sigma_b}{\sigma_a} \cdot \left(\frac{h_0}{h_{tx}} \right)^2$$

$$\frac{A_y}{bh_{oy}} \geq \frac{\gamma_4}{4} (1+p) \cdot \left(\frac{\sigma_b}{\sigma_a} \right) \cdot \left(\frac{h_0}{h_{oy}} \right)^2$$

Panneau 1

$p = 0,935$
 $h_x = 12 \text{ cm}$
 $h_y = 11 \text{ cm}$
 $\gamma_4 = 0,54 \rightarrow \text{acres enroulés}$

$$A_{x\parallel} 1,136$$

$$A_{y\parallel} 1,126$$

Panneau 2

$p = 1$
 $h_x = 12 \text{ cm}$
 $h_y = 11 \text{ cm}$
 $\gamma_4 = 0,54$

$$A_{x\parallel} 1,067$$

$$A_{y\parallel} 1,164$$

Panneau 3

$p = 0,758$
 $h_x = 12 \text{ cm}$
 $h_y = 11 \text{ cm}$
 $\gamma_4 = 0,54$

$$A_{x\parallel} 1,325$$

$$A_{y\parallel} 1,023$$

Espacement Maximum

Sous h_x : $t \leq \min(3h_0, 33 \text{ cm}) \Rightarrow t \leq \min(45 \text{ cm}, 33 \text{ cm}) = 33 \text{ cm}$
 Sous h_y : $t \leq \min(4h_0, 33 \text{ cm}) \Rightarrow t \leq \min(60 \text{ cm}, 45 \text{ cm}) = 45 \text{ cm}$

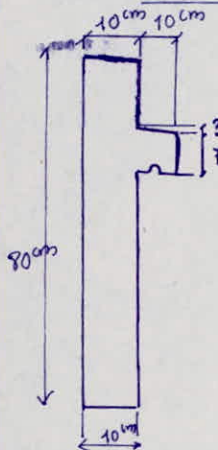
Vérification de la nou fissuration

$$\bar{\sigma}_a = \min [2f_3(6 \text{ cm}), \max(f_1, f_2)]$$

$$\sigma_2(T_8) = 3227 \text{ kg/cm}^2 \quad (\text{fissuration préjudiciable})$$

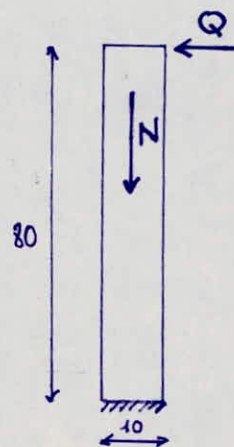
Le panneau ② comporte une ouverture qui est destinée au réservoir, on découpera certaines barres que l'on disposera de renfort sur les contours de l'ouverture.

Calcul de l'acrotere



L'acrotere est un système isostatique assimilable à une console encastrée au plancher terrasse.

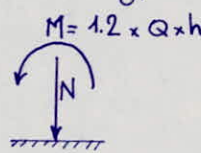
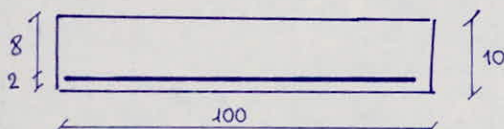
La section dangereuse est au niveau de l'enca斯特rement; Cette section est sollicitée par le poids propre de la console ainsi qu'à la surcharge due à la main courante. De calcul se fera en flexion composite pour une bande de 1m de largeur 0,10m.



On a donc comme efforts:

$$\text{Poids propre: } [80 \times 10 + (10+7 \times 10)] \times 10^{-4} \times 2500 \times 1 \approx 230 \text{ kg/ml.}$$

$$\text{Surcharge due à la main courante} = 100 \text{ kg/ml.}$$



La section rectangulaire est soumise à:

$$N = 0,23 \text{ t/ml.}$$

$$M = 1,2 \times 0,1 \times 0,8 \times 1 = 96 \cdot 10^{-3} \text{ tm/ml.}$$

$$\text{L'excentricité: } e_0 = \frac{M}{N} = \frac{0,096 \cdot 10^5}{0,23 \cdot 10^3} = 41,8 \text{ cm}$$

$$e_1 = \frac{ht}{6} = \frac{10}{6} = 1,67 \text{ cm}$$

$e_0 > e_1 \Rightarrow$ La section est partiellement comprimée.

On se ramène donc au calcul d'une section sollicitée en flexion simple et soumise à un moment fictif M_f qui est égal à:

$M_f = M + H.f$; — M étant le moment des forces extérieures par rapport au centre de gravité des aciers tendus.

$-f$: distance du centre de gravité des aciers tendus au centre de pression. $f = \left(\frac{ht}{2} - d + e_0 \right)$

$$M_f = M + H \left(\frac{ht}{2} - d \right) = H \left(\frac{ht}{2} - d + e_0 \right).$$

$$M_f = 0,23 \times \left(\frac{0,10}{2} - 0,02 + 0,42 \right) = 0,103 \text{ tm}$$

$$M_f = 0,103 \text{ tm.}$$

$$\bar{\sigma}_b = 2800$$

$$\bar{\sigma}'_b = \bar{\sigma}'_{b0} \left(1 + \frac{e_0}{3e_1} \right) \leq \bar{\sigma}'_{b0} \Rightarrow \bar{\sigma}'_b = 68,85 \cdot \left(1 + \frac{41,8}{3 \times 1,67} \right) = 643,2 \text{ kg/cm}^2 > \bar{\sigma}'_{b0} = 137,7 \text{ kg/cm}^2$$

• Calculons le moment résistant du béton seul : M_{RB} .

$$M_{RB} = K \cdot b h^2 = \frac{1}{2} \cdot \bar{\sigma}'_b \cdot \alpha \left(1 - \frac{\alpha}{3} \right) b h^2 \quad \alpha = \frac{\bar{\sigma}'_b}{\bar{\sigma}'_b + \bar{\sigma}_a/n} = \frac{137,7}{137,7 + \frac{2800}{15}} = 0,42$$

$$\text{D'où } M_{RB} = \frac{1}{2} \cdot 137,7 \cdot 0,42 \cdot \left(1 - \frac{0,42}{3} \right) \times 100 \cdot 8^2 = 158,350 \text{ kg.cm.}$$

$$M_{RB} = 158350 \text{ kg.cm} > M_f = 103000 \text{ kg.cm} \Rightarrow \text{On n'a pas besoin d'acières comprimés}$$

• Calcul des Aciers tendus.

On calcule la section des Aciers tendus en flexion simple sous l'effet du Moment CM puis on en déduit la section des aciers tendus nécessaire en flexion composée.

Si A_1 est la section trouée en flexion simple, la section nécessaire en flexion composée A est celle que $A = A_1 - \frac{H}{\bar{\sigma}_a}$.

Pour $M = cH (= 0,103 \text{ tms})$, les tableaux de l'ouvrage de M^E Pierre CHARON donnent en fonction de $P = \frac{\eta H}{\bar{\sigma}_a b h^2}$, les coefficients \bar{w} (pour calculer A) et K (pour calculer $\bar{\sigma}_b$).

$$\bar{w} = \frac{\eta H}{\bar{\sigma}_a \cdot b \cdot h^2} = \frac{15 \cdot 103000}{2800 \times 100 \times 8^2} = 8,61 \cdot 10^{-3} \Rightarrow \bar{w} = 0,0605 ; K = 104.$$

$$\text{D'où } A = \bar{w} b h / 100 = 0,0605 \times 100 \times 8 / 100 = 0,484 \text{ cm}^2$$

$$\bar{\sigma}_b = \frac{\bar{\sigma}_a}{K} = \frac{2800}{104} = 29,92 < \bar{\sigma}_{b0}.$$

$$A_1 = 0,484 \text{ cm}^2 \Rightarrow A = A_1 - \frac{H}{\bar{\sigma}_a} = 0,484 - \frac{0,123 \cdot 10^3}{2800} = 0,395 \text{ cm}^2.$$

On constate que la section trouée par le calcul est très faible, la section d'acier sera imposée donc par la condition de non fragilité du béton. (Art 52 du CCBA 68).

$$A \geq 0,69 \frac{\bar{\sigma}_b}{\bar{\sigma}_{b0}} \cdot b \cdot h = 0,69 \times \frac{5,9}{4200} \times 100 \times 8 = 0,78 \text{ cm}^2$$

On prendra 5T6/ml ce qui correspond à une section $A = 1,41 \text{ cm}^2$. L'espacement e qui est égal donc à 20 cm est conforme à l'Art 57.33 du CCBA 68 qui donne l'épaisseur minimale entre les armatures.

$$e = \text{Min}(3h_e, 33 \text{ cm})$$

$$\text{D'où } e = 20 \text{ cm} < \text{Min}(3 \times 10 = 30, 33) \text{ cm}$$

• Vérification de la condition de non fissuration

$$\bar{w}_f = \frac{A}{B_f} = \frac{1,41}{2 \times 2 \times 100} = 3,53 \cdot 10^{-3}$$

L'acrotère étant exposé aux intempéries : $K = 10^6$ (fissuration préjudiciable).

Acier HA : $\eta = 1,6$.

$\phi = 6 \text{ mm}$

$$\sigma_1 = K \cdot \frac{\bar{w}_f}{\phi} = 10^6 \times \frac{1,6}{6} \times \frac{3,53 \cdot 10^{-3}}{1 + 10 \times 3,53 \cdot 10^{-3}} = 906,75 \text{ bars} = 925 \text{ kg/cm}^2$$

$$\sigma_2 = 2,4 \times \sqrt{\frac{\eta}{\phi} \cdot K \cdot \bar{\sigma}_b} = 2,4 \sqrt{\frac{1,6}{6} \times 10^6 \times 5,8} = 2984,75 \text{ bars} = 3045 \text{ kg/cm}^2$$

$$\bar{\sigma}_a = \text{Min} \left[\frac{2}{3} \bar{\sigma}_{b0}, \text{Max}(\sigma_1, \sigma_2) \right] \Rightarrow \bar{\sigma}_a = \text{Min}(2800, 3045) \text{ kg/cm}^2$$

La contrainte d'acier est admissible donc pas de risque de fissuration.

• Verification à l'effort tranchant.

$$\text{Il faut vérifier que } A \bar{\sigma}_a \geq T + \frac{M}{Z} \quad \text{avec } Z = \frac{l}{8} h = \frac{7}{8} \cdot 8 = 7 \text{ cm}$$

$$T = 1,2 Q = 1,2 \times 100 \cdot 10^3 = 0,12 t. \quad d = -0,103 \text{ cms.}$$

$$A \bar{\sigma}_a \geq T + \frac{M}{Z} \Rightarrow A \geq \frac{1}{\bar{\sigma}_a} \left(T + \frac{M}{Z} \right) \Rightarrow A \geq \frac{1}{2800} \cdot \left(0,12 \cdot 10^3 - 0,103 \cdot 10^5 \right)$$

$$A \geq -0,483 \text{ cm}^2$$

des armatures inf're sont donc soumises à aucun effort tranchant, l'ancrage des armatures n'est pas nécessaire

• Verification au Seisme

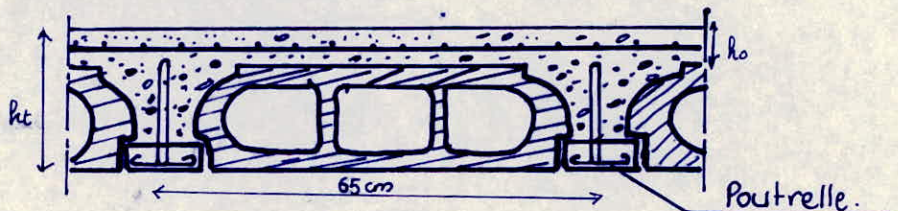
• Sous l'action du seisme, l'acrotère est soumis à l'action de forces horizontales dont la valeur est donnée par l'expression suivante : $F_H = \alpha \cdot W$ où :

α = coefficient sismique local uniforme donné par la formule : $\alpha = 0,20 + 0,10 \alpha$ α : coefficient d'intensité = 1
 $\alpha = 1 \Rightarrow \alpha = 0,20 + 0,10 \times 1 = 0,30$.

• W = poids propre de l'acrotère. $W = 0,23 t/m^2$.
 D'où $F_H = W \cdot \alpha = 0,30 \times 0,23 t/m^2$.
 $F_H = 0,069 t$

la valeur de F_H étant très faible relativement à la surcharge due à la main courante ($Q = 0,12 t$). Par conséquent il est inutile de procéder au ferraillage de l'acrotère sous l'effet de F_H . Le ferraillage obtenu précédemment reprendra cet effort.

Calcul des Poutrelles.



• Le plancher utilisé est un plancher à corps creux. Les plans d'architecture prévoient un plancher (16+4) à tous les niveaux. Nous vérifierons ci-dessous ce choix en faisant le calcul du plancher. Les poutrelles sont préfabriquées. Elles seront calculées sous les sollicitations du 1^e genre. La surface renanant à chaque poutrelle est de $0,65 \text{ m} \times 1 \text{ m}$. L'étant la plus petite dimension entre 2 poutres successives, en effet la plus petite portée favorise toujours un gain d'acier et réduit la flèche.

On a intérêt à favoriser aussi la continuité des poutrelles, en effet on gagnera en stabilité du système.

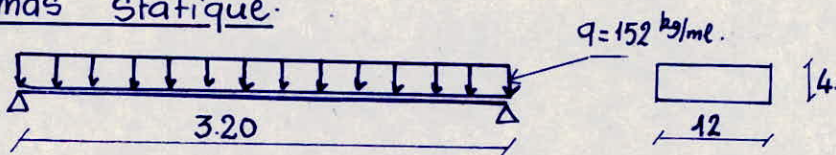
Nous ferons le calcul en 2 étapes:

- Première étape

Avant le coulage du béton, la poutrelle est considérée comme simplement appuyée. Elle est soumise à:

- Son poids propre
- Poids de l'ourdis
- Poids de l'ouvrier (surcharge majorée).

- Schémas statique



Charges et surcharges:

- Poids propre de la poutrelle
- Poids du corps creux
- Surcharge majorée

$$\begin{aligned} 0.12 \times 0.04 \times 2500 &= 12 \text{ kg/m}, \\ 0.65 \times 95 &= 62 \text{ kg/m}, \\ 1.2 \times 100 \times 965 &= 78 \text{ kg/m}, \\ q &= 152 \text{ kg/m} \end{aligned}$$

Les éléments de réduction maxi dans la poutre sont:

$$\begin{aligned} \text{Moment maxi (en traînée)} \quad M_0 &= \frac{qL^2}{8} = \frac{152 \times 3.2^2}{8} ; \quad M_0 = 194.6 \text{ kg.m} \\ \text{Effort tranchant maxi (à l'ahui)} \quad T_0 &= \frac{qL}{2} = \frac{152 \times 3.2}{2} ; \quad T_0 = 243.2 \text{ kg.} \end{aligned}$$

• Ferraillage de la poutrelle: (D'après la méthode exposée dans l'ouvrage de M^e Pierre Charon - Calcul d'ouvrages en B.A.).

$$\rho = \frac{15 \cdot M_0}{\bar{\sigma}_a b h^2} = \frac{15 \cdot 194.6 \cdot 10^2}{2800 \times 12 \times 2^2} = 2.17 \Rightarrow \rho = 0.707 \quad K = 2.1$$

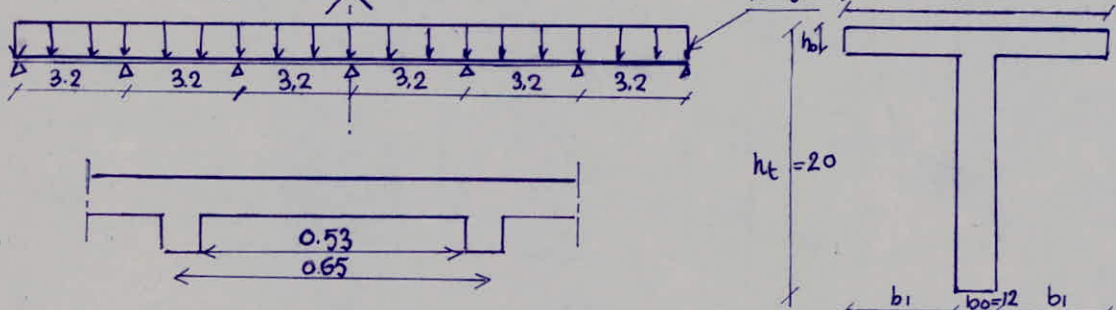
$$\rho' b = \bar{\sigma}_a / K = 2800 / 2.1 = 1333 \text{ kg/cm}^2 \rightarrow \bar{\sigma}' b = 137.7 \text{ kg/cm}^2$$

Le calcul du ferraillage de la poutrelle nous montre dans cette première étape qu'on a besoin d'armatures comprimées pour équilibrer les efforts auxquels est soumise la poutrelle. Nous ne pourrons pas placer ces armatures vu la faible hauteur de la poutrelle. On résoud le pb en prévoyant un échafaudage destiné à aider les poutrelles à supporter les charges et surcharges avant le coulage du béton.

Deuxième étape

- La poutrelle est calculée en section en T.

Schéma statique:



Détermination de la largeur de la table de compression : b

(Art 23.3, CCBA 68).

$l = 0.53 \text{ m}$: Distance entre 2 faces voisines de 2 nervures consécutives

$L = 2.90 \text{ m}$: Portée libre de la poutre entre nus de 2 appuis.

$h_0 = 4 \text{ cm}$: hauteur de la table de compression.

La dimension b_1 doit satisfaire aux conditions suivantes:

$$- b_1 = \frac{b - b_0}{2} \leq \frac{l}{2} = \frac{53}{2} = 26.5 \text{ cm.}$$

$$- b_1 \leq \frac{L}{10} = \frac{300}{10} = 30 \text{ cm.}$$

$$- b_1 \leq \frac{10}{10} (6 \div 8) h_0 = (6 \div 8) \cdot 4 = 24 \text{ cm.}$$

On prendra $b_1 = 26.5 \text{ cm} \Rightarrow b = (2 \times 26.5 + 12) \text{ cm} \quad b = 65 \text{ cm.}$

Détermination des efforts.

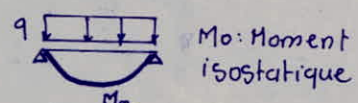
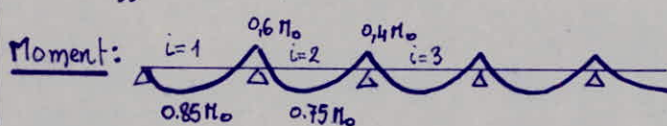
Nous ferons les calculs pour les 3 planchers (terrasse, étage courant, RDC). On appliquera la méthode forfaitaire pour le calcul des poutrelles (Art 65, CCBA 68).

On appliquera cette méthode car:

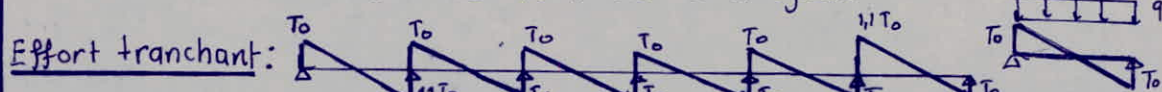
. la fissuration n'est pas considérée comme préjudiciable.

. des surcharges $P \leq 1.5 \times \text{charge } g$.

. les éléments solides ont une section constante dans leurs différentes travées.

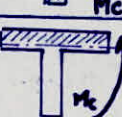


Pour chaque travée i on doit vérifier la condition: $M_i + \frac{|M_{w,i} + M_{e,i}|}{2} > 1.15 M$.
NB: Dans notre cas toutes les travées sont égales.



• Calcul du ferraillage et des Contraintes (Armatures longitudinales)

On exposera le calcul simultanément pour les 3 planchers.
Certains calculs (notamment de ferraillage et vérification des contraintes) ont été faits par programme sur l'atlasatrice programmable. L'organigramme de ces programmes sera présenté séparément.

Caractéristiques	Section	Terrasse	Etage	RDC
q (kg/m^2)	Appui/travée	690	730	890
$q(\text{kg/m})$	Travée/appui	448,5	474,5	578,5
$M_0 = \frac{q\ell^2}{8}$ (kg.m)	Appui/travée	574,1	607,4	740,5
	Appui		Idem	Idem
	travée		Idem	Idem.
Moment de Calcul M_c (kg.m)	Appui: $M_c = 0,85 M_0$ Appui: $M_c = 0,6 M_0$	Appui 344,5 travée 487,9	364,4 516,2	444,3 629,4.
Sollicitation	Appui travée	Flexion Simple Flexion Simple	Idem Idem	Idem Idem.
$M_T = K_T \cdot b \cdot h^2$ (kg.m) $K_T = \frac{\bar{\sigma}_T}{2n} \cdot \frac{h-h_0/3}{h-h_0}$	Appui travée	/	. /	/
M_{RB}	Appui travée	$116977,8 > M_c$	Idem Idem	Idem Idem.
A calculé (cm^2)	Appui travée	0,827 1,172	0,875 1,240	1,067. 1,511.
A choisi (cm^2)	Appui travée	$2T10$ $A = 1,57$	Idem Idem	Idem Idem.
I : moment d'inertie de la section (cm^4)	Appui travée	3694,5 8409,7	Idem Idem	Idem. Idem.
σ_b : contrainte du béton (kg/cm^2)	Appui travée	60,0 37,3	63,5 39,5	77,4. 44,2
σ_a : contrainte de l'acier (kg/cm^2)	Appui travée	1477 919,2	1562 972,5	1905 1185,9

Calculs de vérification

- Vérification des Contraintes : voir tableau précédent.

- Condition de non fragilité :

$$A \geq 0,69 \frac{\sigma_b}{\sigma_{en}} \cdot b \cdot h$$

En traveé : $A = 1,57 \text{ cm}^2$

$$A \geq 0,69 \cdot \frac{5,9}{4200} \times 65 \times 17 = 1,071; A = 1,57 \text{ cm}^2 > 1,071. \quad \text{Vérifiée'}$$

En appui : $A = 1,57 \text{ cm}^2$

$$A \geq 0,69 \cdot \frac{5,9}{4200} \times 12 \times 17 = 0,198; A = 1,57 \text{ cm}^2 > 0,198 \quad \text{Vérifiée'}$$

- Condition de non fissuration du béton:

$$\sigma_1 = \frac{K \frac{2}{\phi} \cdot \frac{w_f}{1+10w_f}}{\phi}; \sigma_2 = 2,4 \sqrt{\frac{K \frac{2}{\phi} \sigma_b}{\phi}}$$

$$\bar{\sigma}_a = \min \left[\frac{2}{3} \sigma_{en}, \max(\sigma_1, \sigma_2) \right].$$

Calcul de σ_2 .

$$\sigma_2 = 2,4 \times \sqrt{\frac{1,5 \cdot 10^6 \cdot 1,6 \times 5,8}{10}} = 2832 \text{ bars} = 2888 \text{ kg/cm}^2 > \frac{2}{3} \sigma_{en} = 2800 \text{ kg/cm}^2$$

Dans tous les planchers, en appui et en traveé, la condition de la non fissuration du béton est vérifiée'.

- Vérification de l'adhérence (Art 29 - CCBA 68).

$$\bar{\gamma}_d \leq \bar{\gamma}_a \quad ; \quad \bar{\gamma}_d = \frac{T_{max}}{n \cdot P \cdot z} \rightarrow \begin{array}{l} n: \text{nombre de barre} \quad ; \quad n=2 \\ p: \text{perimètre d'une barre}, p=7,1 \text{ cm} \\ z = \frac{7}{8} \cdot h. \quad ; \quad h = 17 \text{ cm} \\ \gamma_d (\text{HT}) = 1,5. \end{array}$$

Calcul de T_{max} .

$$T_0 = \frac{q f}{2} \quad (\text{effort tranchant Maxi de la poutrelle simplement appuyée}).$$

$$T_{max} = 1,1 \times T_0 = 1,1 \times \frac{3,2}{2} \cdot q \Rightarrow T_{max} = 4,76 \text{ q.}$$

plancher	$q(\text{kg/m})$	$T_{max}(\text{kg})$	$Z_d(\text{kg/cm}^2)$	$\bar{\gamma}_d(\text{kg/cm}^2)$
terrasse	449,5	789,4	8,45	$2 \times 1,5 \times 5,9 = 17,7$
étage	474,5	835,1	8,93	17,7
RDC	578,5	1018,1	10,91	17,7

vérifiée'.

- Vérification de la flèche (Art 58-4 - CCBA 68).

Soit à vérifier les conditions suivantes:

$$\bullet \frac{ht}{L} \rightarrow \frac{M_t}{15 M_o}$$

M_t : Moment en traveé'

$$\bullet \frac{P_t}{L} \geq \frac{1}{22,5}$$

M_o : Moment isostatique-

$$\bullet \frac{A}{b \cdot h} < \frac{36}{\sigma_{en}}$$

ht : hauteur totale (de la poutrelle)

A : Section d'aciérs tendus

σ_{en} : limite élastique de l'acier.

$$\frac{ht}{L} = \frac{20}{320-30} = 0,069 > \frac{M_T}{15 H_0} = \frac{0,85 H_0}{15 H_0} = 0,0567. \quad \text{vérifiée'}$$

$$\bullet \frac{ht}{L} \geq \frac{1}{22,5}$$

$$\frac{ht}{L} = 0,069 > \frac{1}{22,5} = 0,044 \quad \text{vérifiée'}$$

$$\bullet \frac{A}{boh} \leq \frac{36}{\sigma_{en}}$$

$$\frac{A}{boh} = \frac{1,57 - 0,017}{12 \cdot 17} \leq \frac{36}{4200} = 0,0086 \quad \text{vérifiée'}$$

Nous avons choisi le cas le \oplus défavorable, les 3 conditions précédentes sont vérifiées, donc un calcul de flèche ne s'impose pas.

- Calcul des Armatures transversales_ferraillage_contraintes_ (Art 25 - CCBA 68)
des armatures transversales seront calculées sous l'effet de l'effort tranchant maximal. On adoptera dans toutes les poutrelles ces armatures. On les mettra perpendiculairement à la ligne Moyenne.
Pour cela on fera les vérifications suivantes:

- Calcul de la contrainte de cisaillement Maximal: 86.

$$P_b = \frac{T_{max}}{bo \cdot 3} \quad bo = 12 \text{ cm} \quad 3 = \frac{7}{8} h = \frac{7}{8} \cdot 17 = 14,87.$$

$$\bullet P_b \leq 3,5 \bar{o}_b \quad \text{Si } \bar{o}_b \leq \bar{o}_b.$$

$$\bullet P_b \leq \left(4,5 - \frac{\bar{o}_b}{\bar{o}_{bo}} \right) \bar{o}_b \quad \text{Si } \bar{o}_b / \bar{o}_{bo} < \bar{o}_b < 2\bar{o}_b.$$

terrasse :	$T_{max} = 789,4$	$P_b = 4,42$	$\bar{o}_b = 60,0$	$\bar{o}_b = 3,5 \cdot 5,9 = 20,65 \text{ kg/cm}^2$
étage :	$T_{max} = 835,1$	$P_b = 4,68$	$\bar{o}_b = 63,5$	$\bar{o}_b = 20,65 \text{ kg/cm}^2$
RDC :	$T_{max} = 1018,1$	$P_b = 5,70$	$\bar{o}_b = 77,4$	$\bar{o}_b = \frac{(4,5 - 77,4)}{68,85} = 19,91 \text{ kg/cm}^2$

Donc il n'y a pas de risque de cisaillement.

On choisira des cadres verticaux $\varnothing 6$ de hauteur FEF 24. $A_t = 0,56 \text{ cm}^2$

- Contrainte admissible des armatures transversales:

$$\bar{o}_{at} = \bar{o}_{at} \text{ Gen} \quad \bar{o}_{at} = \text{Max} \left| \begin{array}{l} \frac{2}{3} = 0,67 \\ \text{et} \\ 1 - \frac{2b}{9\bar{o}_b} = 1 - \frac{5,7}{9 \cdot 5,9} = 0,892 \end{array} \right.$$

$$\text{D'où } \bar{o}_{at} = 0,892 \cdot 2400 = 2140,8 \text{ kg/cm}^2$$

- Ecartement des armatures transversales:

$$t = \frac{A_t \cdot 3 \cdot \bar{o}_{at}}{T_{max}} = \frac{0,56 \cdot 0,892 \cdot 77,4}{1018,1} = 17,56 \text{ cm}$$

- Ecartement admissible des armatures transversales (Art 52 - CCBA 68)

$$\bar{t} = \text{Max} (t_1, t_2) \quad t_1 = 0,2 \cdot h = 0,2 \cdot 17 = 3,4 \text{ cm.}$$

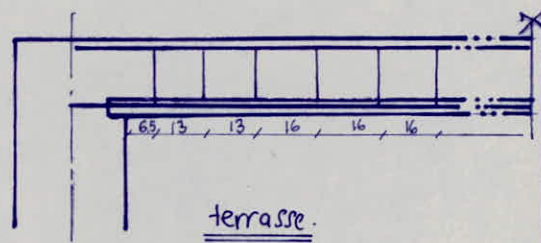
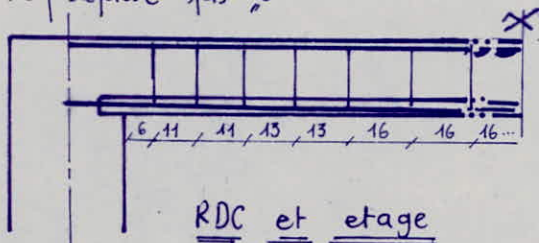
$$t_2 = \left(1 - 0,3 \cdot \frac{2b}{\bar{o}_b} \right) \cdot h = \left(1 - 0,3 \cdot \frac{5,7}{5,9} \right) \cdot 17 = 12,06 \text{ cm}$$

On prend l'espacement admissible au niveau de l'appui: $\bar{t} = 12 \frac{\text{cm}}{\text{m}}$

des résultats pour les autres planchers sont donnés dans le tableau suivant:

Plancher	RDC	étage	terrasse
t (cm)	17,6	21,8	23,2
\bar{t} (cm)	12	12,45	13,18
t choisi au niveau de l'appui	11 cm	11 cm	13 cm.

Le 1^{er} cours d'armatures sera placé à $h/2$ du niveau de l'appui. Pour les autres espacements on appliquera la méthode de caquot, tout en respectant l'article (Art 25-12 CCBA 68) qui prescrit que l'espacement ne dépasse pas h'' .



• Ferailage de la table de compression. (Art 58-2 - CCBA 68).

La table de compression sera armée par un treillis soude (quadrillage), dont les dimensions ne doivent pas dépasser:

20 cm pour les armatures perpendiculaires aux nervures.

30 cm pour les armatures parallèles aux nervures.

On a choisi un treillis soude de (20x20) en Ø5

$$5 \text{ Ø}5 / \text{ml} \Rightarrow A = 0,982 \text{ cm}^2$$

$$\text{Ø} < 6 \text{ mm} \Rightarrow \sigma_{eu} = 5300 \text{ kg/cm}^2.$$

Conformément à l'article 58,2 CCBA 68) les sections d'acier doivent vérifier les conditions suivantes:

- Armatures perpendiculaires aux nervures:

$$A'_{nerv/ml} \geq \frac{43}{ln} \quad ln: \text{longueur entre nervures } Pn=65$$

σ_{eu}

$$0,982 \text{ cm}^2 > 0,527 \text{ cm}^2 \quad \sigma_{eu} = 5300 \text{ kg/cm}^2$$

Vérifiée.

- Armatures parallèles aux nervures:

$$A'_{nerv/ml} \geq \frac{A'_{nerv}}{2}$$

$$0,982 \text{ cm}^2 > 0,49 \text{ cm}^2 \quad \text{Vérifiée.}$$

Conclusion: Pour tous les poutrelles on a:

- Armatures en traîneau 2T10

- Armatures sur appui 2T10.

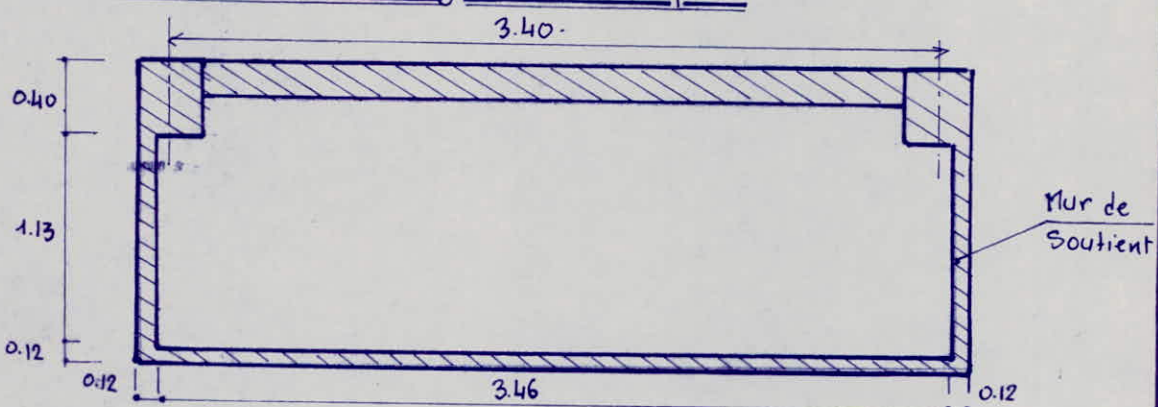
• Table de compression: Un treillis soude en Ø5. Maille de 20x20

Calcul de la galerie technique.

• Introduction:

Notre hôtel possède une galerie technique qui est située au niveau du plancher haut du RDC entre les filts de poteaux FertG. C'est une sorte de boîte parallélépipédique (dalle + murs de soutien) qui est suspendue aux poutres de la file FertG entre le poteau 2 et le poteau 13. Pour des raisons d'esthétique, elle est destinée à cacher les conduites d'eau, de gaz,

• Coupe transversale de la galerie technique.



• Etude des éléments constitutants la galerie technique:

• Mur de soutien -

Le mur de soutien n'est soumis qu'à un effort de traction donc ce n'est rien d'autre qu'un tirant.

On fera le calcul pour 1m du mur:

Calcul des efforts; ferraillage

Charges: • Dalle de 12cm
Étanchéité + enduit plâtre

$$\begin{array}{r} 300 \text{ kg/m}^2 \\ 40 \text{ kg/m}^2 \\ \hline g = 340 \text{ kg/m}^2 \end{array}$$

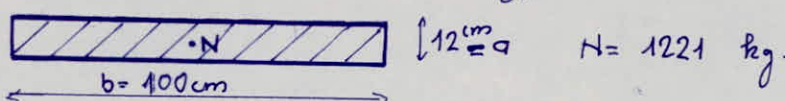
Surcharges: • $p = 100 \text{ kg/m}^2$ (surcharge due à l'ouvrier qui fait les réparations).

L'effort N de traction est égal à $N_g + 1,2 N_p = N_q$.

$$N_g = (340) \times (1,13 + 1,73 + 0,1) \times 1 = 1013 \text{ kg/ml.}$$

$$N_p = (100) \times (1,73) \times 1 = 173 \text{ kg/ml.}$$

$$N_q = 1013 + 1,2 \times 173 = 1221 \text{ kg/ml.}$$



Le mur de soutien travaille en traction. Le béton ne reprend pratiquement rien (la contrainte du béton est négligée). Tous les efforts devront être repris par la section d'armature que l'on disposera.

$$N = 1221 \text{ kg}$$

$$A = (100 \times 12) \text{ cm}^2$$

La contrainte dans l'acier est de : $\sigma_a = \frac{N}{A} \leq \bar{\sigma}_a$

$$\text{D'où } A \geq \frac{N}{\bar{\sigma}_a}$$

$$\bar{\sigma}_a = \min\left(\frac{2}{3} \sigma_{en}, \max(\sigma_1, \sigma_2)\right)$$

Prenons $\bar{\sigma}_a = \frac{2}{3} \sigma_{en} = \frac{2}{3} \cdot 4200 = 2800 \text{ kg/cm}^2$

$$\text{D'où } A = \frac{1221}{2800} = 0,436 \text{ cm}^2.$$

- Verification à la non fragilité

$$B_f = a \cdot b = (12 \times 100) \text{ cm}^2$$

$$A \geq \frac{\sigma_{28}}{\sigma_{en}} \cdot B_f = \frac{23,2}{4200} \cdot 12 \cdot 100 = 6,63$$

$$A = 6,63 \text{ cm}^2.$$

- Pourcentage Minimum d'acières

$$0,006 \leq \frac{S_a}{S_b} \leq 0,04$$

S_a et S_b sont respectivement les sections de l'acier et de béton

D'où on a : $7,2 \text{ cm}^2 \leq S_a \leq 48 \text{ cm}^2$

D'après ce pourcentage minimum on adopte $A = 7,2 \text{ cm}^2$

On choisit alors 10T10 $\rightarrow A = 7,85 \text{ cm}^2$.

- Verification à la non fissuration

$$\sigma_1 = \frac{K_R}{\phi} \cdot \frac{w_f}{1+10w_f} \quad \sigma_2 = 2,4 \sqrt{\frac{K_R}{\phi} \cdot \delta_b}$$

$$\sigma_2 = 2,4 \sqrt{\frac{15 \cdot 10^6 \times 1,6 \times 5,8}{10}} = 2832 \text{ bars} = 2888 \text{ kg/cm}^2 > \frac{2}{3} \sigma_{en} = 2800 \text{ kg/cm}^2$$

- Armatures de répartition:

On adoptera une section d'armatures de construction qui seront proportionnelles aux armatures résistantes.

$$\text{leur section } A' = \frac{A}{4} = \frac{7,2}{4} = 1,8 \text{ cm}^2.$$

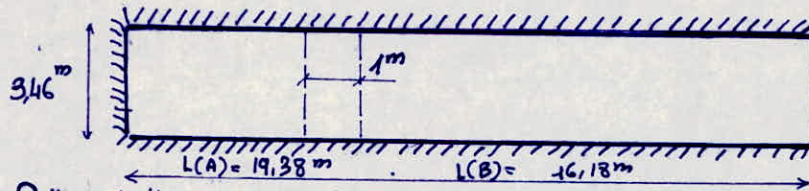
On choisit 4T8 = 2,01 cm² que l'on repartira sur la hauteur de 1,13m

- Dalle:

On fera le calcul de la dalle pour une bande de 1m des dimensions de cette dalle sont :

BLOC A : 3,46m x 19,38m

BLOC B : 3,46m x 16,18m



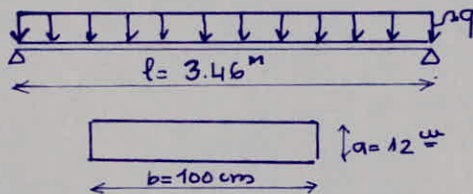
Cette dalle ne porte que dans un seul sens (sens de la plus petite portée), elle sera calculée comme une poutre de largeur 1m.

• Calcul des efforts ; ferraillage.

$$\begin{array}{l} \text{Charges : Dalle (12 cm)} \\ \text{Etanchéité + Enduit platre} \end{array} \quad \begin{array}{r} 300 \text{ kg/m}^2 \\ 40 \text{ kg/m}^2 \\ g = 340 \text{ kg/m}^2 \end{array}$$

Surcharges: $p = 100 \text{ kg/m}^2$ (surcharge due à l'ouvrier qui fait les réparations).

$$\text{Sous SP1 on a: } q = g + 1,2p \Rightarrow q = 340 + 1,2 \times 100 = 460 \text{ kg/m}^2$$



$$M_{\max} = \frac{q \ell^2}{8} = \frac{460 \times 3,46^2}{8} = 688 \text{ kg.m}$$

$$T_{\max} = \frac{q \ell}{2} = \frac{460 \times 3,46}{2} = 796 \text{ kg}$$

• Calcul du Moment résistant du béton seul.

$$M_{RB} = \bar{k} b h^2 \quad \text{avec } \bar{k} = \frac{1}{2} \bar{\alpha} \bar{\sigma}'_b \left(1 - \frac{\bar{\alpha}}{3}\right) \quad ; \quad \bar{\alpha} = \frac{n \bar{\sigma}'_b}{n \bar{\sigma}'_b + \bar{\sigma}_a} \quad ; \quad h = 9 \text{ cm}$$

$$\bar{k} = 0,423 \Rightarrow \bar{k} = 24,9.$$

$$M_{RB} = 24,9 \times 100 \times 9^2 = 2,017 \cdot 10^5 \text{ kg.cm.}$$

$M_{RB} > M_{ext} = 0,688 \cdot 10^5 \text{ kg.cm} \Rightarrow$ On n'a pas besoin d'acier comprimé

$$\left| \begin{array}{l} K = \frac{H}{b \cdot h^2} = \frac{0,688 \cdot 10^5}{100 \times 9^2} = 8,14 \\ \bar{\sigma}_a = 2800 \end{array} \right| \Rightarrow \left| \begin{array}{l} \alpha = 0,27 \\ \beta = 1 - \frac{\alpha}{3} = 0,91 \\ \bar{\sigma}'_b = 70 \text{ kg/cm}^2 \end{array} \right.$$

$$A = \frac{M}{\beta \cdot h \bar{\sigma}_a} = \frac{0,688 \cdot 10^6}{0,91 \times 9 \times 2800} = 3,0 \text{ cm}^2$$

On choisira alors $4T10 = 3,14 \text{ cm}^2$

On prendra comme taux de répartition $A_r = \frac{A}{4} = 3T16$.

• Verification des Contraintes

équation du moment statique : $\frac{bx^2}{2} - nA(h-x) = 0$.

$$x^2 + 0,942x - 8,478 = 0 \Rightarrow x = 2,48 \text{ cm.}$$

Moment d'inertie de la section: $I = \frac{bx^3}{3} + nA(h-x)^2$

$$I = 2511 \text{ cm}^4$$

$$\bar{\sigma}'_b = \frac{M}{I} \cdot x \Rightarrow \bar{\sigma}'_b = \frac{0,688 \cdot 10^5}{2511} \cdot 2,48 = 68 \text{ kg/cm}^2 < 137,7 \text{ kg/cm}^2$$

$$\bar{\sigma}_a = \frac{nM}{I} (h-x) = 15 \times \frac{0,688 \cdot 10^5}{2511} \cdot (9-2,48) = 2680 \text{ kg/cm}^2 < 2800 \text{ kg/cm}^2$$

• Verification de la condition de non fragilité.

$$\frac{A}{b \cdot h} \geq \psi \frac{\bar{\sigma}'_b}{\bar{\sigma}_a} \cdot \left(\frac{h-t}{t}\right)^2 = 0,54 \cdot \frac{5,9}{2800} \left(\frac{12}{9}\right)^2$$

$$\psi = 0,54 \text{ (acier écrouis)}$$

$$A = 3,14 \text{ cm}^2 > 1,82 \text{ cm}^2$$

• Verification de la non fissuration

$$\bar{\sigma}_a = 2800 \text{ kg/cm}^2$$

$$\text{en effet } \bar{\sigma}_a = \min \left[\frac{2}{3} \sigma_{eu} ; \max(\sigma_1, \sigma_2) \right] \text{ et } \sigma_2 (\phi=10) = 2888 \text{ kg/cm}^2$$

pas de risque de fissuration.

• Vérification à l'effort tranchant.

$$\bar{\sigma}_b \leq \bar{\sigma}_{b*}$$

$$\bar{\sigma}_b = 1,15 \bar{\sigma}_b \quad (\text{pour une dalle}) ; \quad \bar{\sigma}_b = 1,15 \times 5,9 = 7,87 \text{ kg/cm}^2$$

$$\bar{\sigma}_b = \frac{T}{b \cdot z} = \frac{796}{100 \times 7/8 \times 9} = 1,01 \text{ kg/cm}^2 < 7,87 \text{ kg/cm}^2$$

• Ancrage - Distance minimum.

Calcul de la force totale à laquelle sont soumises les armatures

$F_{\text{tot}} = \text{Poids de la dalle} + 1,2 \text{ Surcharge}$

$$F_{\text{tot}} = (340) \times \left(\frac{3,46}{2} + 0,12 \right) + 1,2 \times 100 \times 1,73 = 836,6 \text{ kg/m.}$$

Dans un mètre linéaire on a 4 barres T10.

Chaque barre reprend le $\frac{1}{4}$ de l'effort $f = \frac{F_{\text{tot}}}{4} = \frac{836,6}{4} = 209,15 \text{ kg.}$

$\sigma_d = \text{contrainte d'adhérence.}$

$$\sigma_d = \frac{f}{\pi \phi l} \leq \bar{\sigma}_d = 2,5 \gamma_d \bar{\sigma}_b \quad \text{ou} \quad l \geq \frac{f}{\bar{\sigma}_d \pi \phi}$$

γ_d coefficient de scellement = 1,5 (HA).

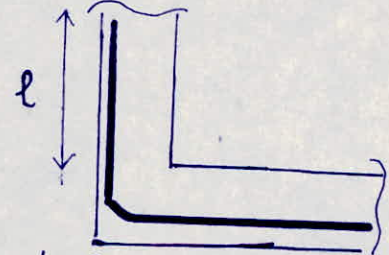
$$\bar{\sigma}_d = 2,5 \gamma_d \bar{\sigma}_b = 2,5 \times 1,5 \times 5,9 \text{ kg/cm}^2 = 22,12 \text{ kg/cm}^2.$$

$$\sigma_d \leq \bar{\sigma}_d \Rightarrow l \geq \frac{66,57}{22,12} = 3,01 \text{ cm.}$$

l = longueur d'ancrage Minimum.

longueur de scellement droit l_d

$$l_d = \frac{\phi}{4} \frac{6a}{\bar{\sigma}_d} = \frac{1}{4} \cdot \frac{2800}{22,12} = 31,6 \text{ cm.}$$



On prendra une longueur de scellement de 20 cm.

NB: Pour éviter la fissuration au niveau des appuis on mettra à la partie supérieure 4T6/m.

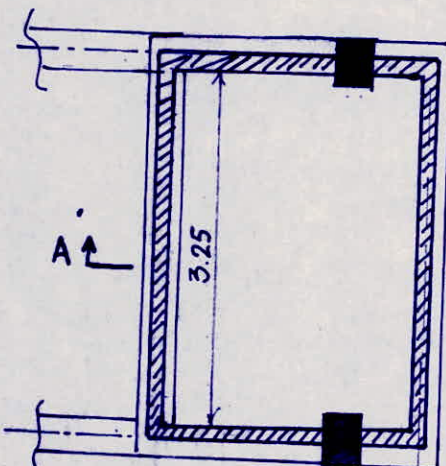
Calcul de Reservoir

• Introduction:

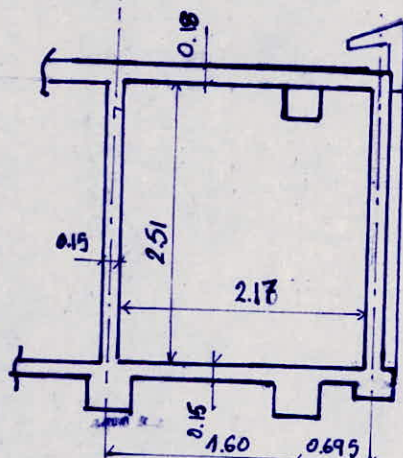
Notre hotel possède un réservoir qui est situé au dernier étage du bloc B. des plans d'architecture prévoient des parois en béton armé. Il est à signaler que ce réservoir n'a pas une grande capacité (environ 17 m^3).

Le béton armé ne joue que le rôle de structure mécanique, sans rôle d'étanchéité. La fissuration et alors admise étant donné en contre partie qu'il doit être pris sur les parois en contact avec de l'eau un relâchement d'étanchéité capable de s'adapter aux légères déformations entraînées par son support.

On limitera à des valeurs assez faibles les valeurs admissibles de l'acier. Pour cela on utilisera de l'acier doux de Nuance FeE24.



• coupure horizontale



• coupure A-A.

Les dimensions intérieures du réservoir sont : $3.25 \text{ m} \times 2.17 \text{ m} \times 2.51 \text{ m}$.

$$V = 17.7 \text{ m}^3$$

Le calcul de vérification à la résistance se fera pour :

- les supports
- le fond
- les parois.

On fera le calcul des éléments sous SP_1 et ceci sous g = poids propre des éléments du réservoir et de p qui est la surcharge due à l'eau.

NB: Pour le calcul des éléments l'eau est considérée comme surcharge, mais quand il s'agira de faire l'étude au séisme du bloc, elle sera considérée comme charge pte.

Charges et Surcharges:

Charges :

Dalle (15 cm)

$$375 \text{ kg/m}^2$$

étanchéité

$$20 \text{ kg/m}^2$$

Enduit

$$21 \text{ kg/m}^2$$

Surcharge
eau

$$g = 416 \text{ kg/m}^2$$

$$2511 \text{ kg/m}^2$$

$$P = 2511 \text{ kg/m}^2$$

Le prédimensionnement des poutres du réservoir a donné une section de $(30 \times 40) \text{ cm}^2$

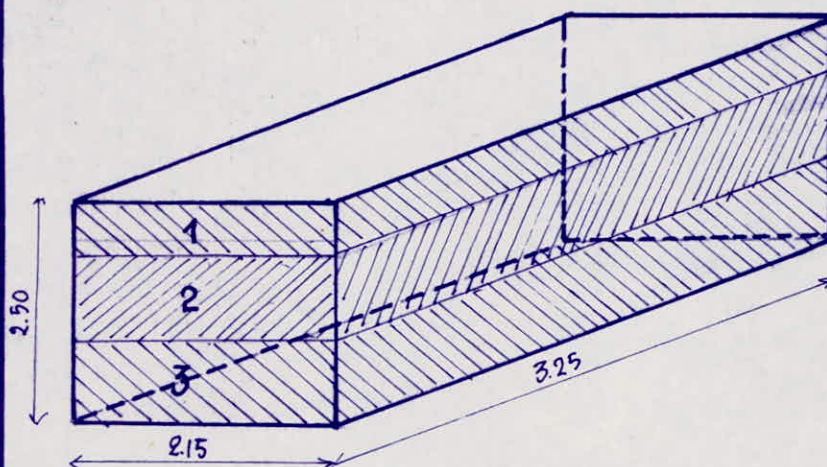
• Calcul des parois verticales du réservoir.

L'eau du réservoir exerce en tout point des parois de celui-ci une pression normale.

Si on considère un point A d'une paroi la pression en ce point, s'il est à une profondeur HA est fonction de cette profondeur et de la masse volumique de l'eau. D'où

$$P = \rho \cdot H_A \quad \text{avec } \rho = 1000 \text{ kg/m}^3.$$

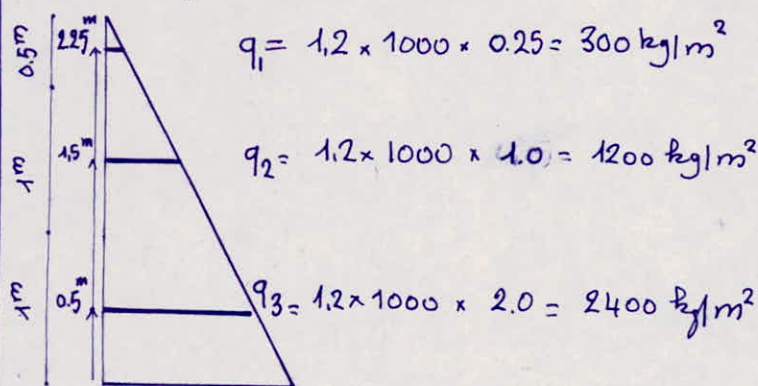
Donc les parois seront calculées sous la poussée hydrostatique. Pour cela nous dépasserons les parois verticales de notre réservoir en tranches de 1m ou de 0,5m de largeur (tranches horizontales), et nous calculerons la valeur de la poussée au milieu de ces tranches.



On prendra donc 3 tranches:
tranche 1 : 0,5m
tranche 2 : 1m
tranche 3 : 1m.

Determination de la valeur de q.

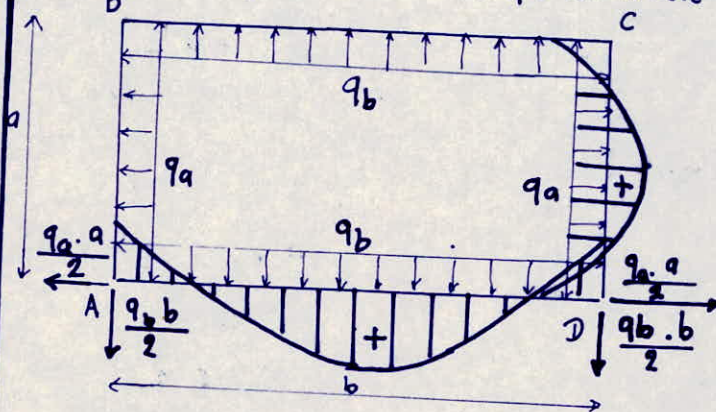
q = pression s'exerçant à la mi-hauteur de la tranche considérée
 $q = 1,2 \rho \cdot h$.



Chaque tranche n'est rien d'autre qu'un cadre horizontal de 0,5m ou de 1m de hauteur.

On fera ci-après les différents efforts sur le cadre.

Voici ci contre le schéma des efforts pour un cadre de côté a et b ($a \leq b$) soumis aux pressions internes q_a sur le côté a d'épaisseur e_a et q_b sur b d'épaisseur e_b



Aux angles s'exerce un moment de flexion:

$$M_A = \frac{q_a \cdot a^2 \cdot k_b + q_b \cdot b^2 \cdot k_a}{12(e_a + e_b)}$$

$$k_a = \frac{e_a^3}{12a} \quad k_b = \frac{e_b^3}{12b}$$

Si $e_a = e_b$ et si $q_a = q_b = q$.

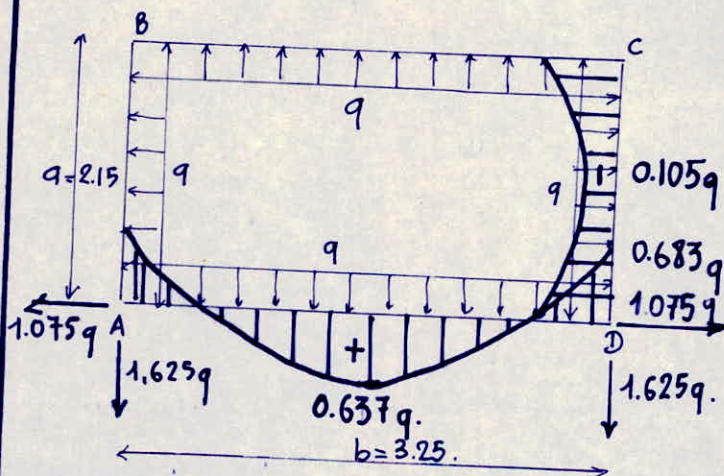
$$M_A = \frac{q(a^3 + b^3)}{12(a+b)}$$

En traité s'exercent les moments:

$$M_{ta} = \frac{q a^2}{8} - \left(\frac{q}{12} \cdot \frac{a^3 + b^3}{a+b} \right)$$

$$M_{tb} = \frac{q b^2}{8} - \left(\frac{q}{12} \cdot \frac{a^3 + b^3}{a+b} \right)$$

des efforts qui s'exercent sur notre réservoir sont:



$$M_A = M_B = M_C = M_D = M_A = -0.683q$$

$$M_{ta} = -0.105q$$

$$M_{tb} = 0.637q$$

Traction dans le petit côté:
1.625q.

Traction dans le grand côté:
1.075q.

En résumé pour les 3 cadres on a:

Tranche	q kg/m^2	M_A kg.m	M_{ta} kg.m	M_{tb} kg.m	Traction du petit côté. (kg)	Traction du grand côté (kg)
①	300	204,937	31,594	191,156	487,5	322,5
②	1200	819,750	126,375	764,625	1950	1290
③	2400	1639,500	252,750	1529,25	3900	2580

NB: Chaque paroi est donc soumise à la flexion composée avec traction. Cette dernière étant due aux réactions d'appui des 2 parois qui lui sont liées.

Calcul du ferraillage et des Contraintes

Le calcul du ferraillage et des Contraintes est présenté sous forme de tableau. Les calculs ont été faits par programme sur une calculatrice programmable. Les organigrammes de ces calculs seront présentés ultérieurement.

Les Calculs sont faits pour une section de largeur 1^m ou 0,50^m et de hauteur totale h=15^{mm}.

Les tranches sont sollicitées en flexion Composée sous l'effet d'un moment M et un effort de traction N.

$$\sigma_a = 1600 \text{ kg/cm}^2$$

$$\sigma_s = 137,7 \text{ kg/mm}^2$$

Franche	Section	H (kg/m)	N (kg)	$\frac{\sigma}{E} I$ (kg)	Sollicitation	$C_1 = \frac{M}{N}$	$C_2 = \frac{N}{M}$	H_0 (kg/cm)	A (cm ²)	A chq.	σ_i (kg/mm ²)	σ_s (kg/mm ²)	G_2 (kg/mm ²)
Armatures et contraintes du grand côté'													
3	Appui	1639,5	2580	63,5	SPC	14940	528897	8,22	9,83	9412 10,17	53,23	1297	1701
	traveé	1529,5	2580	59,3	SPC	138804	528897	7,63	9,24	9412 10,17	49,37	1202,6	1701
2	Appui	819,75	1290	63,5	SPC	74820	528897	4,11	4,92	7410 5,49	32,97	1164	1862
	traveé	784,63	1290	59,3	SPC	69402	528897	3,81	4,62	7410 5,49	30,68	1079	1862
1	Appui	204,94	322,5	63,5	SPC	18705	264448	1,03	1,23	448 2,01	18,53	784	2083
	traveé	191,16	322,5	59,3	SPC	173,0	264448	1,03	1,23	448 2,01	17,9	727	2083
Armatures et contraintes du petit côté'													
3	Appui	1639,5	3900	12	SPC	142350	528897	7,82	10,26	10412 11,31	48,9	1115	1701
	traveé	2527,5	3900	6,5	SPC	7800	528897	0,418	2,652	5412 5,65	3,4	118	1701
2	Appui	819,75	1950	12	SPC	71175	528897	3,91	5,13	7410 5,49	3136	1147	1862
	traveé	126,38	1950	6,5	SPC	3900	528897	3,91	5,13	5410 3,92	1,91	84	1864
1	Appui	204,94	487,5	12	SPC	171935	264448	0,98	1,28	448 2,01	17,63	746	2083
	traveé	31,59	487,5	6,5	SPC	975	264448	0,02	0,332	448 2,01	0,96	408	2083

*: SPC: Section partiellement Complimée'

NB: Pour la trache ① du petit et du grand côté, il est à prévoir 5 Ø8 au lieu de 4Ø8 et cela pour respecter la condition de non fragilité du béton ainsi que la condition d'espacement des armatures en effet.

- Vérification de la non fragilité du béton

$$A \geq 0,69 \frac{\rho_b}{\rho_{en}} \cdot b \cdot h = 0,69 \times \frac{5,9}{2400} \cdot 100 \times 13$$

$$A \geq 2,205 \text{ cm}^2$$

Or la section de 4Ø8 = 2,01 cm².

- Espacement des Armatures:

Les quadrillages formés par les armatures de répartition et les armatures principales doivent avoir des mailles de dimensions au plus égales respectivement à 20 et 15 cm.

D'où e_{max} armatures principales = 15 cm

e_{max} armatures de répartition = 20 cm

- Armatures de répartition

Ces armatures doivent être parfaitement dressées, elles seront de la même nuance que les armatures ples.

Ces armatures doivent avoir une section unitaire au moins égale au 1/4 de la section unitaire des armatures principales et avoir un volume relatif au moins égal à 0,95.

On prévoit donc pour les couches (tranches) 3 et 2 une section d'armatures de répartition égale à 10 Ø8 / m² horizontal

$$e = 10 \text{ cm} \leq e_{max} = 15 \text{ cm}$$

Pour la tranche 1, on prévoit 5Ø8/m² horizontal

$$e = 20 \text{ cm} = e_{max} = 20 \text{ cm}$$

- Vérification à l'effort tranchant

$$\bar{c}_b \leq \bar{c}_b \quad \bar{c}_b = \frac{T}{b \cdot z} \quad b = 100 \text{ cm} \quad z = \frac{7 \cdot 13}{8} = 11,88 \text{ cm}$$

$$\bar{c}_b = 1,15 \bar{\rho}_b = 1,15 \times 5,9 = 6,79 \text{ kg/cm}^2$$

des vérifications sont données dans le tableau suivant:

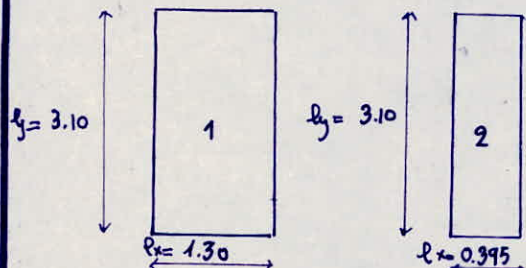
Tranche		3	2	1		3	2	1
T(kg)	8	3900	1950	4875	10	2580	1290	322,5
$\bar{c}_b (\text{kg/cm}^2)$	8	3,43	1,71	0,43	+	4,54	2,27	0,57
$\bar{\rho}_b (\text{kg/m}^2)$	8	6,79	6,79	6,79	+	6,79	6,79	6,79

• Calcul des parois horizontales du réservoir (Dalles).

des parois verticales de notre réservoir reposent sur des poutres il en est de même pour le fond du réservoir et de ses courbetures qui sont appuyées simplement sur des poutres. On calculera les dalles en tenant compte d'une certaine continuité.

• Calcul de la dalle inférieure du réservoir.

Elle est constituée de 2 panneaux ayant les dimensions suivantes



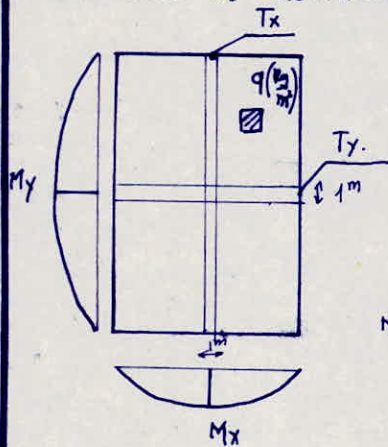
Charges et Surcharges

$$\begin{aligned} g &= 416 \text{ kg/m}^2 \\ p &= 2511 \text{ kg/m}^2 \Rightarrow q = 3,415 \text{ t/m}^2 \end{aligned}$$

Calcul du coefficient $\rho = \frac{l_x}{l_y}$

$$\text{panneau 1 : } \rho = \frac{1,30}{3,10} = 0,419 > 0,4, \text{ panneau 2 : } \frac{0,395}{3,10} = 0,127 < 0,4.$$

Calcul des Moments M_x et M_y .



• Panneau ①

des moments développés au centre du panneau sont :

$$M_x = P_x \cdot q \cdot l_x^2 \quad \text{Dans le sens de la petite portée}$$

$$M_y = P_y \cdot M_x \quad \text{Dans le sens de la grande portée} \quad (l_x < l_y)$$

P_x et P_y sont fonctions de ρ et sont données dans une échelle fonctionnelle

NB: Cette Méthode de Calcul est exposée dans l'annexe 2 du CCBA 68.

L'échelle fonctionnelle est donnée dans le même texte.

$$\rho = 0,419 \Rightarrow P_x = 0,1083 \quad P_y = 0,2606$$

$$\text{D'où } M_x = P_x \cdot q \cdot l_x^2 = 0,1083 \times 3415 \times 1,30^2 = 62330 \text{ kg.cm.}$$

$$M_y = P_y \cdot M_x = 0,2606 \times 62330 = 16268 \text{ kg.cm.}$$

• Panneau ②.

$\rho = 0,127 < 0,4$. Dans ce cas le calcul de la dalle se fera comme le calcul d'une poutre en prenant une bande de largeur 10 cm et de longueur $l_x = 39,5$ cm.

$$\begin{aligned} b &= 10 \text{ cm} \\ h_c &= 15 \text{ cm} \\ M_o &= M_0 = \frac{q \rho^2}{8} \Rightarrow M_0 = \frac{3415 \times 0,10 \times 0,395^2}{8} = 6,66 \text{ kg.m.} \end{aligned}$$

En tenant compte de la continuité des panneaux, on évalue les moments en travée et aux appuis comme suit.

• Panneau 1

$$\begin{aligned} M_x &: M_{ax} = 0,5 \text{ Mo } x = 31165 \text{ kg.cm.} \\ M_{tx} &= 0,8 \text{ Mo } x = 49864 \text{ kg.cm.} \end{aligned}$$

$$\begin{aligned} M_y &: M_{ay} = 0,3 \text{ Mo } y = 4880,4 \text{ kg.cm.} \\ M_{ty} &= 0,85 \text{ Mo } y = 13827,8 \text{ kg.cm.} \\ M_{ay} &= 0,5 \text{ Mo } y = 8134 \text{ kg.cm.} \end{aligned}$$

La relation $M_t + \frac{M_{aw} + M_{ae}}{2} \geq 1,25 \text{ Mo}$ est vérifiée.

Hb: des moments d'enca斯特ment sur les petits côtés doivent atteindre des valeurs du même ordre que celles des grands côtés.

• Panneau 2.

$$\begin{aligned} M_x &: M_{axe} = 0,15 \text{ Mo } x = 99,9 \text{ kg.cm.} \\ M_{tx} &= 0,85 \text{ Mo } x = 566,1 \text{ kg.cm.} \\ M_{aw} &= 0,5 \text{ Mo } x = 333 \text{ kg.cm.} \end{aligned}$$

• Ferraillage et Contraintes:

On emploira la méthode exposée dans le livre de B.A. Charon.

$$\mu = \frac{15 M}{\sigma_a b h^2} \rightarrow A = \frac{M}{\sigma_a \cdot \varepsilon \cdot h}, \quad \sigma_b = \frac{\sigma_a}{K}$$

Panneau 1

On prendra des aciers de nuance FEF24. ($\sigma_a = 1600 \text{ kg/cm}^2$).

$$h = 12 \text{ cm}$$

$$b = 100 \text{ cm.}$$

$$M_{ax} = 31165 \text{ kg.cm.} \rightarrow \mu = 0,020 \rightarrow \varepsilon = 0,9397 \rightarrow K = 65,5 \rightarrow A = 1,731 \text{ cm}^2, \sigma_b = 24,4 \text{ kg/cm}^2$$

$$M_{tx} = 49864 \text{ kg.cm.} \rightarrow \mu = 0,032 \rightarrow \varepsilon = 0,9231, \rightarrow K = 50,0 \rightarrow A = 2,813 \text{ cm}^2, \sigma_b = 32 \text{ kg/cm}^2$$

$$M_{ay} = M_{ax} = M_{ay} = 31165 \text{ kg.cm.} \rightarrow \mu = 0,020 \rightarrow \varepsilon = 0,9397, \rightarrow K = 65,5 \rightarrow A = 1,731 \text{ cm}^2, \sigma_b = 24,4 \text{ kg/cm}^2$$

$$M_{ty} = 13827 \text{ kg.cm.} \rightarrow \mu = 0,009 \rightarrow \varepsilon = 0,9573, \rightarrow K = 102 \rightarrow A = 0,752 \text{ cm}^2, \sigma_b = 15,68 \text{ kg/cm}^2$$

• Condition de non fragilité.

Pour les dalles et pour le coefficient $\rho / 0,40 \leq \rho \leq 1$ on a:

$$\frac{A}{bh} \geq \frac{1}{4} (1+\rho) \cdot \frac{\sigma_b}{\sigma_a} \left(\frac{h_0}{h} \right)^2 \quad \rho = 0,54 \text{ pour les aciers écrouis.}$$

$$A \geq 100 \times 12 \times 0,54 \times (1+0,419) \times \frac{5,9}{1600} \times \left(\frac{15}{12} \right)^2 = 5,297 \text{ cm}^2$$

On constate que dans les deux sens c'est la condition de non fragilité qui impose le ferraillage.

On choisira alors $5 \phi 12/\text{m}^2$ ($A(5\phi 12) = 5,65 \text{ cm}^2$).

• Condition de non fissuration.

$$\frac{\sigma_2(\phi=12)}{\sigma_2} = 1701 \text{ kg/cm}^2 \geq 1600 \quad \text{vérifiée.}$$

Panneau 2 :

On se dispensera d'exposer le calcul de ferraillage de ce panneau car, étant très faiblement sollicité par rapport au 1^e panneau (vu ses dimensions plus petites) il est évident que c'est la condition de non fragilité du béton qui imposera le ferraillage. Donc on adopte le même ferraillage que précédemment.

• Vérification de l'espacement des armatures:

$e \leq (3h, 33)$ cm dans la direction la + sollicitée.

$e \leq (4h, 45)$ cm dans la direction perpendiculaire.

$$e = \frac{100 \text{ cm}}{5} = 20 \text{ cm} < 33 \text{ cm.}$$

• Commentaires:

- Pour les parois verticales, il ne sera prévu qu'une seule nappe de quadrillage car l'épaisseur des parois ne dépasse pas 15 cm.
- Pour assurer la stabilité des parois verticales on prévoit des goussets qui seront coulés en même temps que la dalle.
- La dalle de couverture est calculée séparément (avec les escaliers du bloc)
- Tous les détails de ferraillage sont présentés dans les planches de ferraillage.
- Vu la faible Capacité du réservoir et les faibles efforts qui en résultent, il aurait été préférable de concevoir un réservoir d'eau dont les parois seraient en maçonnerie ou bien un réservoir métallique.

CHAPTER 3

'CHARGES'

VERTICLES'

Etude des Charges Verticales.

Introduction :

L'étude des sollicitations dans les différents portiques transversaux et longitudinaux sera faite selon deux méthodes :
 Bloc A :

Portiques transversaux : Méthode de Caquot

Portiques longitudinaux : Méthode forfaitaire.

Bloc B :

Pour ce bloc nous appliquerons la Méthode de Caquot dans les deux sens.

Nous exposerons ci-dessous les deux méthodes.

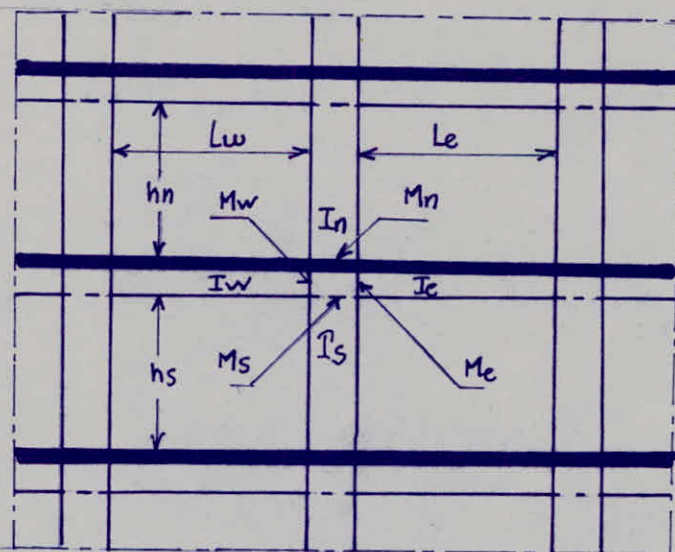
Méthode de Caquot (Méthode exposée dans l'annexe A du CCBA 68)

Domaine d'application : Cette méthode s'applique essentiellement à des éléments de planchers constitués de nervures et de poutres associées à des hourdis.

Il ne sera pas tenu compte des déplacements horizontaux relatifs des planchers.

Principe de la méthode : des moments de continuité agissant dans les sections des nus d'un appui, considérées comme sections dangereuses, sur les éléments qui se rencontrent en formant un noeud peuvent être évalués en tenant compte que des charges en travées encadrant l'appui considéré, et de la résistance offerte par les tronçons supérieur et inférieur des poteaux aboutissant au noeud considéré."

On détache de chaque côté du noeud considéré ainsi qu'en dessus et en dessous respectivement des travées et des hauteurs fictives.



$h_n = 0,9 \text{ hn}$ si le noeud considéré appartient à l'avant dernier plancher
 $h_n = 0,8 \text{ hn}$ dans les autres cas.

$h_s = 0,8 \text{ hs}$ quelque soit hs

$L_w = 0,8 L_w$; $L_e = 0,8 L_e$ pour les travées intermédiaires.

h_n, h_s : hauteur libre nord et sud.

$L_w, (L_e)$: portée libre de la travée gauche, (droite)

Définissons d'autre part :

$q_{ew}, (q_e)$: charge uniformément répartie sur une unité de longueur sur la travée gauche, (droite)

$Q_w, (Q_e)$: une charge concentrée appliquée sur la travée de gauche (droite) à la distance $a_w (a_e)$ du nu de l'appui.

$$\text{On pose: } M'_w = q_w \cdot \frac{L'w^2}{8.5} + L'w \sum K_w \cdot Q_w$$

$$M'_e = q_e \cdot \frac{L'e^2}{8.5} + L'e \sum K_e \cdot Q_e.$$

$K_w (K_e)$ est donné en fonction du rapport $a_w/L_w (a_e/L_e)$ pour des poutres à section constante par l'échelle fonctionnelle dans le même annexe.

Designons par I_w, I_e, I_s, I_n les moments d'inertie de la travée gauche, droite, du poteau Sud et nord.

$$\text{On pose: } K_w = \frac{I_w}{L'w}, \quad K_e = \frac{I_e}{L'e}, \quad K_s = \frac{I_s}{h_s}, \quad K_n = \frac{I_n}{h_n}, \text{ ainsi que } D = K_w + K_e + K_n$$

- des moments dans les sections dangereuses (nus des appuis) sont en valeur absolue:

$$\text{Au nu de l'appui dans la travée de gauche: } M_w = M'_e \cdot \frac{K_w}{D} + M'_w \left(1 - \frac{K_w}{D}\right).$$

$$\text{Au nu de l'appui dans la travée de droite: } M_e = M'_w \cdot \frac{K_e}{D} + M'_e \left(1 - \frac{K_e}{D}\right).$$

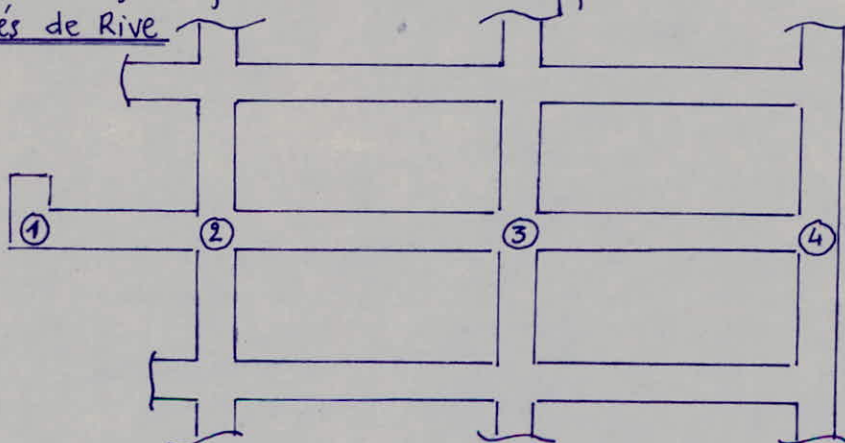
$$\text{Au nu inférieur des poutres dans le poteau inférieur: } M_s = (M'_e - M'_w) \cdot \frac{K_s}{D}.$$

$$\text{Au nu supérieur du plancher dans le poteau Supérieur: } M_n = (M'_e - M'_w) \cdot \frac{K_n}{D}$$

Avec: M_e et M_w négatifs.

La face tendue du hougan supérieur est du côté correspondant à la plus grande des deux valeurs absolues M'_e ou M'_w . La face tendue du hougan inférieur est du côté opposé.

- Travées de Rive



Noeud ① : Noeud de rive avec console

Noeud ④ : Noeud de rive sans console

• Noeud de rive avec console: Noeud ②

Ce noeud est étudié en faisant $Kw = 0$ dans les formules donnant Mw , Me , Mn , Ms et en y substituant Mw_2 à Mw
 Mw_2 : Moment isostatique de la console au nu de l'appui ②
 On aura donc les nouvelles valeurs des moments:

$$Me_2 = M'e_2 \left(1 - \frac{Ke_2}{D_2}\right) + Mw_2 \frac{Ke}{D_2}$$

$$Ms_2 = (M'e_2 - Mw_2) \cdot \frac{Ks_2}{D_2}$$

$$Mn_2 = (M'e_2 - Mw_2) \cdot \frac{Kn_2}{D_2}$$

$$\text{avec: } M'e_2 = \left(q_e \cdot \frac{L'e^2}{8,5} \right)_{\text{noeud}_2} + \left(L'e \cdot \sum K_e \cdot Q_e \right)_{\text{noeud}_2}$$

$$D_2 = Ke_2 + Ks_2 + Kn_2 = \frac{Ie_2}{L'e_2} + \frac{Is_2}{h's_2} + \frac{In_2}{h'n_2}$$

• Noeud voisin du noeud de rive: noeud ③

la longueur $L'w_3$ de la travée fictive de rive est: $L'w_3 = X_2 Lw_3$.
 X_2 est un coefficient compris entre 0,8 et 1.

$$X_2 = 0,8 \quad \text{Si } Ks_2 + Kn_2 \geq 1,5 Ke_2.$$

$$X_2 = 1 - \frac{Ks_2 + Kn_2}{7,5 Ke_2} \quad \text{Si } Ks_2 + Kn_2 < 1,5 Ke_2.$$

la longueur $L'e_3 = 0,8 Le_3$ si la travée n'est pas de rive.
 Dans le cas contraire $L'e_3 = X_4 Le_3$; $0,8 \leq X_4 \leq 1$.

$$X_4 = 0,8 \quad \text{si } Ks_4 + Kn_4 \geq 1,5 Kw_4.$$

$$X_4 = 1 - \frac{Ks_4 + Kn_4}{7,5 Kw_4} \quad \text{si } Ks_4 + Kn_4 < 1,5 Kw_4.$$

Dans ces expressions les K sont relatifs au noeud ④

• Noeud de rive sans console: Noeud ④

$$Me_4 = 0$$

$$L'w_4 = 0,8 Lw_4.$$

Où les moments aux nus de ce noeud sont:

$$Mw_4 = M'w_4 \left(1 - \frac{Kw_4}{D_4}\right); \quad Ms_4 = M'w_4 \cdot \frac{Ks_4}{D_4}; \quad Mn_4 = M'w_4 \cdot \frac{Kn_4}{D_4}$$

$$D_4 = Kw_4 + Kn_4 + Ks_4.$$

• Noeud voisin du noeud de rive: noeud ③

voire précédemment l'expression de $L'e_3$ dans le cas où le noeud ④ est un noeud de rive.

Efforts dans les poutres et poteaux:

Moments dans les poteaux:

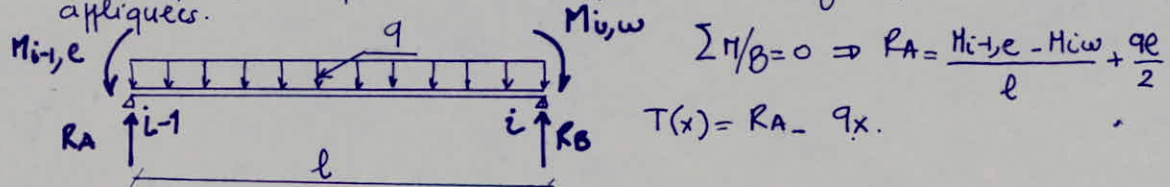
On admet que les points de moment nul dans les poteaux se trouvent à h_{in} au dessus du plancher et à h_{is} au dessous du nu inférieur des poutres.

Efforts tranchants dans les poteaux - Efforts normaux dans les poutres:

Par simplification on ne fait pas état dans nos calculs des efforts tranchants dans les poteaux ni des efforts normaux dans les poutres.

Efforts tranchants dans les poutres.

Conformément à l'annexe A13 du CCBA 68, les efforts tranchants sont calculés en considérant les travées indépendantes et en faisant état de la continuité (en prenant en compte les moments de continuité) des poutres, ainsi que des charges qui leurs sont appliquées.



$$\text{D'où: } T_{i-1,e} = \frac{q \cdot l}{2} + \frac{M_{i-1,e} - M_{i,w}}{l}; \quad T_{i,w} = -\frac{q \cdot l}{2} + \frac{M_{i-1,e} - M_{i,w}}{l}$$

$M_{i-1,e}$; $M_{i,w}$ sont en valeurs absolues.

Moments en travées

Les moments aux appuis étant connus, on obtient les moments en travée avec la formule : $M_t = M_o - (M_{i-1,e} + M_{i,w})/2$

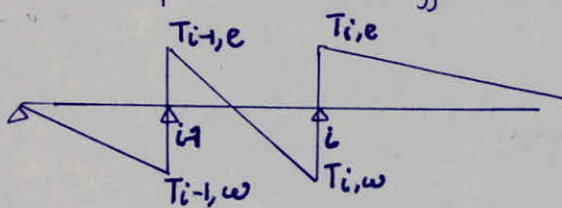
$M_{i-1,e}$ et $M_{i,w}$ sont les moments aux appuis conformément au schéma précédent.

M_o = Moment icostatique de la travée considérée.

Efforts normaux dans les poteaux.

Ces efforts sont ramenés par les poutres. Ils sont déterminés à partir des efforts tranchants définis précédemment.

Pour des charges verticales uniformément réparties en travées et provoquant des efforts tranchants aux appuis. On obtient des réactions qui créent des efforts de compression dans les poteaux



$$N_{i-1} = T_{i-1,e} - T_{i-1,w}$$

$$N_i = T_{i,e} - T_{i,w}$$

$T_{i-1,e}$; $T_{i-1,w}$; $T_{i,e}$; $T_{i,w}$ sont en valeur algébrique.

Charges et surcharges revenant au portique transversal Intermediaire
BLOC A.

Charges et surcharges par planchers

• Niveau terrasse:

$$\text{plancher: } 570 \text{ kg/m}^2 \times 2,9$$

$$\text{poutre: } [(570 - 265) + (0,4 \times 2500)] \times 0,3$$

$$g = 1653 \text{ kg/mel}$$

$$p = 392 \text{ kg/mel}$$

$$g = 2045 \text{ kg/mel}$$

$$p = 320 \text{ kg/mel}$$

$$\text{Surcharge d'exploitation: } 100 \times 3,2$$

• Niveau étage courant:

$$\text{plancher: } 430 \text{ kg/m}^2 \times 2,9$$

$$\text{poutre: } [(430 - 265) + (0,4 \times 2500)] \times 0,3$$

$$g = 1247 \text{ kg/mel}$$

$$p = 350 \text{ kg/mel}$$

$$g = 1597 \text{ kg/mel}$$

$$p = 800 \text{ kg/mel}$$

$$\text{Surcharge d'exploitation: } 250 \times 3,2$$

• Niveau R.D.C.

$$\text{plancher: } 410 \text{ kg/m}^2 \times 2,9$$

$$\text{poutre: } [(410 - 265) + (0,4 \times 2500)] \times 0,3$$

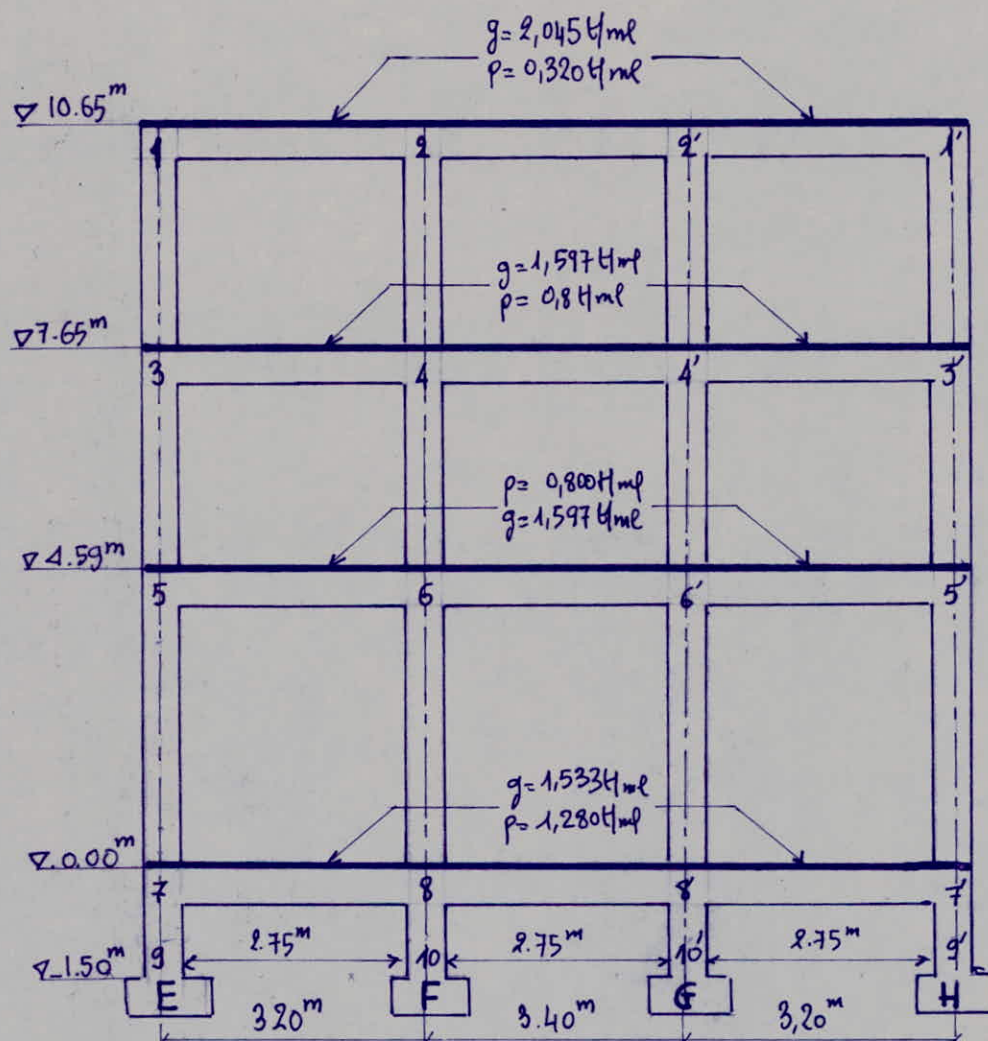
$$g = 1189 \text{ kg/mel}$$

$$p = 344 \text{ kg/mel}$$

$$g = 1533 \text{ kg/mel}$$

$$p = 1280 \text{ kg/mel}$$

$$\text{Surcharge d'exploitation: } 400 \times 3,2$$



Caractéristiques géométriques du portique transversal intermédiaire - BLOC : A

niveau	nœud	ℓ_w (m)	ℓ_e (m)	h_n (m)	h_s (m)	$I_w \cdot 10^4$ (m^4)	$I_e \cdot 10^4$ (m^4)	$I_s \cdot 10^4$ (m^4)	ℓ'_w (m)	ℓ'_e (m)	h'_n (m)	h'_s (m)	$K_w \cdot 10^{-4}$ (m^3)	$K_e \cdot 10^{-4}$ (m^3)	$K_s \cdot 10^{-4}$ (m^3)	$D \cdot 10^{-4}$ (m^3)		
3	1	0,00	2,80	0,00	2,60	0,00	16,00	0,00	31,25	0,00	2,24	0,00	2,08	0,00	7,14	0,00	15,02	22,16
	2	2,80	3,10	0,00	2,60	16,00	16,00	0,00	6,75	2,24	2,48	0,00	2,08	7,14	6,45	0,00	3,25	16,84
	2'	3,10	2,80	0,00	2,60	16,00	16,00	0,00	6,75	2,48	2,24	0,00	2,08	6,45	7,14	0,00	3,25	16,84
	1'	2,80	0,00	0,00	2,60	16,00	0,00	0,00	31,25	2,24	0,00	0,00	2,08	7,14	0,00	0,00	15,02	22,16
2	3	0,00	2,80	2,60	2,66	0,00	16,00	31,25	31,25	0,00	2,24	2,34	2,13	0,00	7,14	13,35	14,69	35,18
	4	2,80	3,10	2,60	2,66	16,00	16,00	6,75	6,75	2,24	2,48	2,34	2,13	7,14	6,45	2,88	3,17	19,64
	4'	3,10	2,80	2,60	2,66	16,00	16,00	6,75	6,75	2,48	2,24	2,34	2,13	6,45	7,14	2,88	3,17	19,64
	3'	2,80	0,00	2,60	2,66	16,00	0,00	31,25	31,25	2,24	0,00	2,34	2,13	7,14	0,00	13,35	14,69	35,18
1	5	0,00	2,75	2,66	4,19	0,00	16,00	31,25	31,25	0,00	2,20	2,13	3,35	0,00	7,27	14,69	9,32	31,28
	6	2,75	3,00	2,66	4,19	16,00	16,00	6,45	16,00	2,20	2,40	2,13	3,35	7,27	6,67	3,17	4,77	21,88
	6'	3,00	2,75	2,66	4,19	16,00	16,00	6,45	16,00	2,40	2,20	2,13	3,35	6,67	7,27	3,17	4,77	21,88
	5'	2,75	0,00	2,66	4,19	16,00	0,00	31,25	31,25	2,20	0,00	2,13	3,35	7,27	0,00	14,69	9,32	31,28
0	7	0,00	2,75	4,19	1,10	0,00	16,00	31,25	31,25	0,00	2,20	3,35	0,88	0,00	7,27	9,32	35,51	52,10
	8	2,75	3,00	4,19	1,10	16,00	16,00	16,00	16,00	2,20	2,40	3,35	0,88	7,27	6,67	4,77	18,18	36,89
	8'	3,00	2,75	4,19	1,10	16,00	16,00	16,00	16,00	2,40	2,20	3,35	0,88	6,67	7,27	4,77	18,18	36,89
	7'	2,75	0,00	4,19	1,10	16,00	0,00	31,25	31,25	2,20	0,00	3,35	0,88	7,27	0,00	9,32	35,51	52,10

BLOCA - Portique transversal intermédiaire.

Calcul des Moments aux appuis et en travée sous G et P

Chargement		Sous G								Sous P						
niveau	nœud	q_e (t/m ²)	q_w (t/m ²)	M_e (t)	M_w (t)	M_e (t)	M_w (t)	M_n (t)	M_s (t)	P (t/m ²) ($P_w = P_e$)	M'_e (t.m)	M'_w (t.m)	M'_e (t.m)	M'_w (t.m)	M_n (t.m)	M_s (t.m)
3	1	2,045	2,045	1,207		0,818				0,818	0,320	0,189		0,128		0,128
	2	2,045	2,045	1,480	1,207	1,375	1,323			0,053	0,320	0,232	0,189	0,215	0,207	0,008
	2'	2,045	2,045	1,207	1,480	1,323	1,375			-0,053	0,320	0,189	0,232	0,207	0,215	-0,008
	1'	2,045	2,045		1,207		0,818			-0,818	0,320		0,189	0,128		-0,128
2	3	1,597	1,597	0,943		0,751		0,358	0,394	0,800	0,472		0,346		0,179	0,197
	4	1,597	1,597	1,156	0,943	1,086	1,020	0,031	0,034	0,800	0,579	0,472	0,544	0,511	0,016	0,017
	4'	1,597	1,597	0,943	1,156	1,020	1,086	-0,031	-0,034	0,800	0,472	0,579	0,511	0,544	-0,016	-0,017
	3'	1,597	1,597		0,943		0,751	-0,358	-0,394	0,800		0,472		0,376	-0,179	-0,197
1	5	1,597	1,597	0,909		0,698		0,427	0,271	0,800	0,456		0,350		0,214	0,136
	6	1,597	1,597	1,082	0,909	1,030	0,967	0,025	0,038	0,800	0,542	0,456	0,516	0,484	0,013	0,019
	6'	1,597	1,597	0,909	1,082	0,967	1,030	-0,025	-0,038	0,800	0,456	0,542	0,484	0,516	-0,013	-0,019
	5'	1,597	1,597		0,909		0,698	-0,427	-0,271	0,800		0,456		0,350	-0,214	-0,136
0	7	1,533	1,533	0,873		0,751		0,156	0,595	1,280	0,729		0,627		0,130	0,497
	8	1,533	1,533	1,039	0,873	1,009	0,906	0,021	0,082	1,280	0,867	0,729	0,842	0,756	0,018	0,068
	8'	1,533	1,533	0,873	1,039	0,906	1,009	-0,021	-0,082	1,280	0,729	0,867	0,756	0,842	-0,018	-0,068
	7'	1,533	1,533		0,873		0,751	0,156	-0,595	1,280		0,729		0,627	-0,130	0,497

BLOC A - Portique transversal Intermédiaire

Calcul des Moments en travée

Calcul des efforts tranchants aux appuis

charge	niveau	Poutre	M_0 (t)	$M_{i-1;e}$	$M_{i,w}$	M_t (t)	$qP/2$	$T_{i-1;e}$	$T_{i,w}$
Sous G	3	1-2	2,618	0,818	1,323	1,547	3,272	3,114	-3,430
		2-2'	2,955	1,375	1,375	1,580	3,477	3,477	-3,477
		2'-1'	2,618	1,323	0,818	1,547	3,272	3,430	-3,114
	2	3-4	2,044	0,751	1,020	1,159	2,555	2,471	-2,639
		4-4'	2,308	1,086	1,086	1,222	2,715	2,715	-2,715
		4'-3'	2,044	1,020	0,751	1,159	2,555	2,639	-2,471
	1	5-6	2,044	0,698	0,967	1,212	2,555	2,471	-2,639
		6-6'	2,308	1,030	1,030	1,278	2,715	2,715	-2,715
		6'-5'	2,044	0,967	0,698	1,212	2,555	2,639	-2,471
	0	7-8	1,962	0,751	0,906	1,134	2,453	2,404	-2,501
		8-8'	2,215	1,009	1,009	1,206	2,606	2,606	-2,606
		8'-7'	1,962	0,906	0,751	1,134	2,453	2,501	-2,404
Sous P	3	1-2	0,410	0,128	0,207	0,242	0,512	0,487	-0,537
		2-2'	0,462	0,215	0,215	0,247	0,544	0,544	-0,544
		2'-1'	0,410	0,207	0,128	0,242	0,512	0,537	-0,487
	2	3-4	1,024	0,376	0,511	0,581	1,280	1,238	-1,322
		4-4'	1,156	0,544	0,544	0,612	1,360	1,360	-1,360
		4'-3'	1,024	0,511	0,376	0,581	1,280	1,322	-1,238
	1	5-6	1,024	0,350	0,484	0,607	1,280	1,238	-1,322
		6-6'	1,156	0,516	0,516	0,640	1,360	1,360	-1,360
		6'-5'	1,024	0,484	0,350	0,607	1,280	1,322	-1,238
	0	7-8	1,638	0,627	0,756	0,947	2,048	2,008	-2,088
		8-8'	1,850	0,842	0,842	1,008	2,176	2,176	-2,176
		8'-7'	1,638	0,756	0,627	0,947	2,048	2,088	-2,008

Effort Normaux dans les poteaux du portique transversal
Intermédiaire -BLOCA-

Changement		sous G				sous P			
niveau	Poteau	$T_{i,w}(t)$	$T_{i-1,e}(t)$	N_{clupot} sup (t)	N (t)	$T_{i,w}(t)$	$T_{i-1,e}(t)$	$N_{du pot}$ sup (t)	N (t)
3	1-3		3,114		3,114		0,487		0,487
	2-4	-3,430	3,477		6,907	-0,537	0,544		1,081
	2'-4'	-3,477	3,430		6,907	-0,544	0,537		1,081
	1'3'	-3,144			3,144	-0,487			0,487
2	3-5		2,471	3,114	5,585		1,238	0,487	1,725
	4-6	-2,639	2,715	6,907	12,261	-1,322	1,360	1,081	3,763
	4'6'	-2,715	2,639	6,907	12,261	-1,360	1,322	1,081	3,763
	3'5'	-2,471		3,114	5,585	-1,238		0,487	1,725
1	5-7		2,471	5,585	8,056		1,238	1,725	2,963
	6-7	-2,639	2,715	12,261	17,615	-1,322	1,360	3,763	6,445
	6'7'	-2,715	2,639	12,261	17,615	-1,360	1,322	3,763	6,445
	5'7'	-2,471		5,585	8,056	-1,238		1,725	2,963
0	7-9		2,404	8,056	10,460		2,008	2,963	4,971
	8-10	-2,501	2,606	17,615	22,722	-2,088	2,176	6,445	10,709
	8'-10'	-2,606	2,501	17,615	22,722	-2,176	2,088	6,445	10,709
	7'-9'	-2,404		8,056	10,460	-2,008		2,963	4,971

Charges et surcharges revenant au portique longitudinal G

BLOC B.

- Charges et surcharges par plancher:

Niveau $13^m 71$.

Dalle: A cause de la répartition dans les panneaux de dalles, les charges et les surcharges diffèrent pour le calcul du moment et de l'effort tranchant

Monsent $\rightarrow (g_m, p_m)$; effort tranchant $\rightarrow (g_t, p_t)$.

$$g_m = 656,68 + 658,68$$

$$g_t = 493,00 + 493,00$$

$$\text{poutre: } 300 + 0,3(680 - 375)$$

$$1313,4 \text{ kg/m}^2$$

$$986 \text{ kg/m}^2$$

$$391,5 \text{ kg/m}^2$$

$$g_m = 1705 \text{ kg/m}^2$$

$$g_t = 1377 \text{ kg/m}^2$$

Surcharges d'exploitation

$$p_m = 0,18657 \times 100 \times 2$$

$$p_t = 0,1725 \times 100 \times 2$$

$$\text{poutre: } 0,3 \times 100$$

$$193 \text{ kg/m}^2$$

$$145 \text{ kg/m}^2$$

$$30 \text{ kg/m}^2$$

$$p_m = 223 \text{ kg/m}^2$$

$$p_t = 175 \text{ kg/m}^2$$

Niveau $11^m 05$.

Charge ramenée par la poutre intermédiaire (charge concentrée)

$$\text{Dalle + revêtement: } 2 \times 1,593 \times (375 + 40) \quad 1322 \text{ kg.}$$

$$\text{Poutre + revêtement: } (0,4 \times 0,3 \times 2500 + 40 \times 0,3) \times 3,1 \quad 967 \text{ kg.}$$

$$g_c = 2299 \text{ kg.}$$

$$p_c = 10331 \text{ kg.}$$

Nb: Sont une poutre on a la moitié de la charge et la moitié de la surcharge.

$$g = \text{Dalle + Revêtement: } 0,433 \times (375 + 40)$$

$$180 \text{ kg/m}^2$$

$$g_m = 0,395 \times (375 + 40)$$

$$135 \text{ kg/m}^2$$

$$\text{poutre: } 300 + 0,15 \times 40$$

$$306 \text{ kg/m}^2$$

$$\text{voile: } 0,15 \times 2500 \times (2,66 - 0,14)$$

$$847,5 \text{ kg/m}^2$$

$$\text{escalier: } 2036 \text{ kg/m}^2$$

$$2086 \text{ kg/m}^2$$

Surcharges d'exploitation.

$$p_m = 0,1833 \times 2510 \times$$

$$967 \text{ kg/m}^2$$

$$p_t = 0,1828 \times 2510$$

$$816 \text{ kg/m}^2$$

$$\text{poutre: } 0,15 \times 0,5 \times (2510 + 350)$$

$$214 \text{ kg/m}^2$$

Escalier

$$1033 \text{ kg/m}^2$$

$$p_m = 2334 \text{ kg/m}^2$$

$$p_t = 2063 \text{ kg/m}^2$$

Niveau $10^m 65$.

$$\text{plancher: } 570 \text{ kg/m}^2 \times 0,65$$

$$370,5 \text{ kg/m}^2$$

$$\text{poutre: } 300 + 0,3 \times (570 - 265)$$

$$391,5 \text{ kg/m}^2$$

$$\text{surchage d'exploitation: } (0,65 + 0,3) \times 100.$$

$$g = 762 \text{ kg/m}^2$$

$$p = 958 \text{ kg/m}^2$$

• Niveau 7^m 65.

plancher : $430 \times 0,65$

poutre : $300 + 0,3 \times (430 - 265)$

escalier:

Surcharges d'exploitation

poutre (13-14) : $(0,3 + 0,5 \times 0,65) \times 250$

escalier:

autres poutres : $(0,3 + 0,65) \times 250$

$279,5 \text{ kg/m}^2$

$349,5 \text{ kg/m}^2$

1953 kg/m^2

$g(\text{poutre } 13-14) = 2582 \text{ kg/m}^2$

$g(\text{autres poutres}) = 629 \text{ kg/m}^2$

$= 157 \text{ kg/m}^2$

$1032,5 \text{ kg/m}^2$

$237,5 \text{ kg/m}^2$

$p(\text{poutre } 13-14) = 1189 \text{ kg/m}^2$

$p(\text{autres poutres}) = 237,5 \text{ kg/m}^2$

• Niveau 4^m 59.

plancher : $430 \times 0,65$

poutre : $300 + 0,3 \times (430 - 265)$

escalier:

galerie technique : 1032 kg/m^2

Surcharges d'exploitation:

poutre (13-14) : $(0,3 + 0,5 \times 0,65) \times 250$

escalier:

autres poutres:

poutre : $(0,3 + 0,65) \times 250$

galerie technique:

$2795,5 \text{ kg/m}^2$

$349,5 \text{ kg/m}^2$

1953 kg/m^2

$g(\text{poutre } 13-14) = 2582 \text{ kg/m}^2$

$g(\text{autres poutres}) = 1642 \text{ kg/m}^2$

157 kg/m^2

$1032,5 \text{ kg/m}^2$

$237,5 \text{ kg/m}^2$

173 kg/m^2

$p(\text{poutre } 13-14) = 1189 \text{ kg/m}^2$

$p(\text{autres poutres}) = 410 \text{ kg/m}^2$

• Niveau 0^m, 00

plancher : $410 \times 0,65$

poutre : $300 + 0,3 \times (410 - 265)$

Surcharges d'exploitation

poutre : $(0,3 + 0,65) \times 400$

$266,5 \text{ kg/m}^2$

$349,5 \text{ kg/m}^2$

610 kg/m^2

$g = 610 \text{ kg/m}^2$

$p = 380 \text{ kg/m}^2$

• Consolles

Niveau 13^m 71

$M_{eg} = 9218 \text{ tm}$

$M_{ep} = 9014 \text{ tm}$

Niveau 11^m 05

$M_{eg} = 1078 \text{ tm}$

$M_{ep} = 9,069 \text{ tm}$

Niveau 7^m 65

$M_{eg} = 9768 \text{ tm}$

$M_{ep} = 9,005 \text{ tm}$

Niveau 4^m 59

$M_{eg} = 9788 \text{ tm}$

$M_{ep} = 9,005 \text{ tm}$

Portique longitudinal G (BLOC B)

$$g = 762 \text{ kg}$$

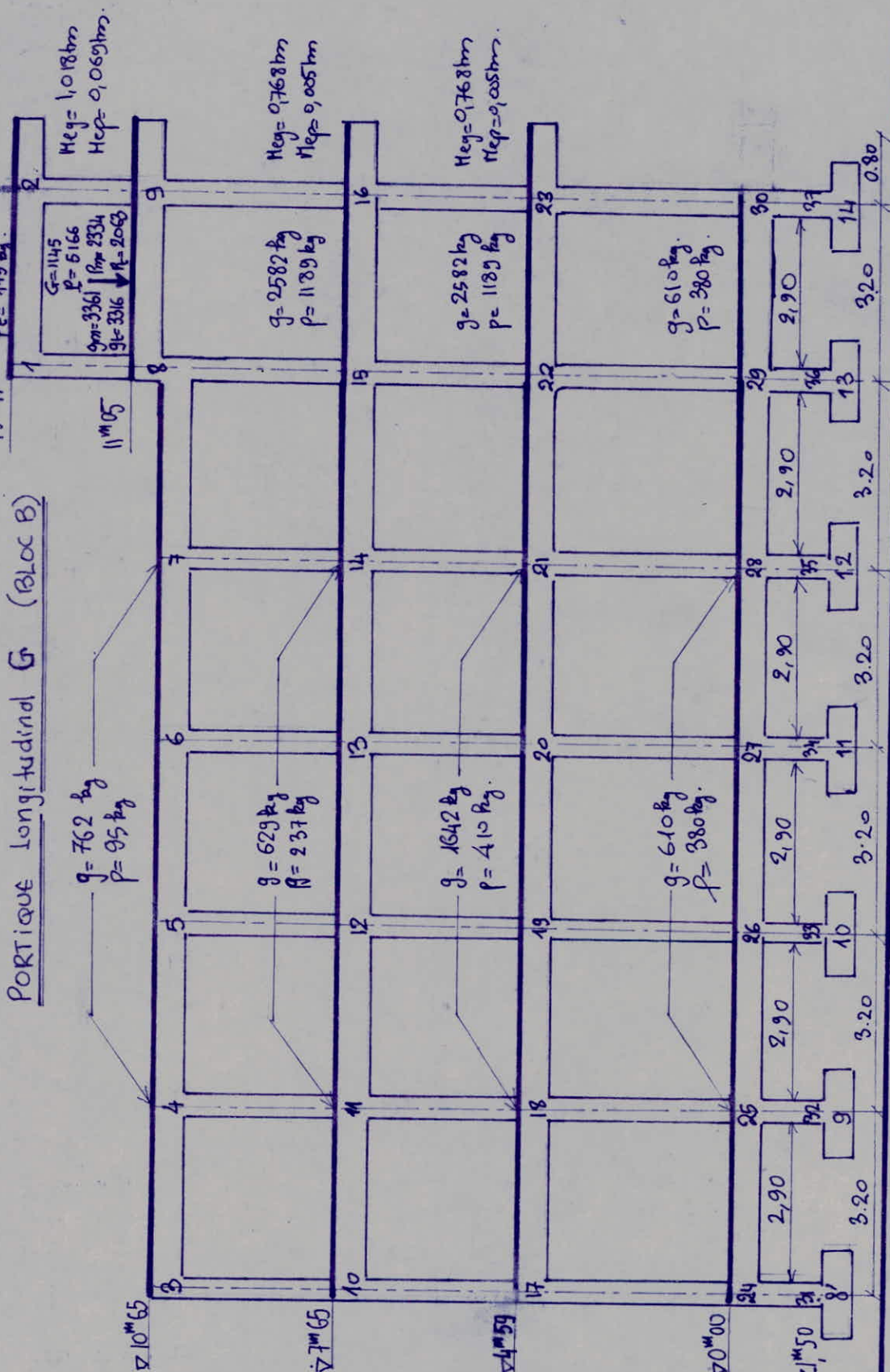
$$P = 95 \text{ kg}$$

$$g_m = 1705 \text{ kg}$$

$$g_t = 1317 \text{ kg}$$

$$P_m = 223 \text{ kg}$$

$$P_t = 175 \text{ kg}$$

 $13^m 71$ $\nabla 10^m 65$ $11^m 05$ $\nabla 4^m 59$ $\nabla 0^m 00$ $\nabla 1^m 50$ 

BLOC B Portique Longitudinal G

Caractéristiques géométriques du portique.

niveau	ncaud	l_w (m)	l_e (m)	h_n (m)	h_s (m)	$I_w \cdot 10^4$ (m^4)	$I_e \cdot 10^4$ (m^4)	$I_n \cdot 10^4$ (m^4)	$I_s \cdot 10^4$ (m^4)	l_{lw} (m)	l'_e (m)	h'_n (m)	h'_s (m)	$K_w \cdot 10^4$ (m^3)	$K_e \cdot 10^4$ (m^3)	$K_n \cdot 10^4$ (m^3)	$K_s \cdot 10^4$ (m^3)	$D \cdot 10^4$ (m^3)
4	1		2,90		2,26		16,00			9,00		2,32		1,81		6,897		4,978 11,875
	2	2,90			2,26	16,00				9,00	2,32			1,81	6,897			4,978 11,875
3	3		2,90		2,60		16,00			6,75		2,32		2,08		6,897		3,245 10,142
	4	2,90	2,90		2,60	16,00	16,00			6,75	2,72	2,32		2,08	5,887	6,897		3,245 16,029
	5	2,90	2,90		2,60	16,00	16,00			6,75	2,32	2,32		2,08	6,897	6,897		3,245 17,039
	6	2,90	2,90		2,60	16,00	16,00			6,75	2,32	2,32		2,08	6,897	6,897		3,245 17,039
	7	2,90	2,90		2,60	16,00	16,00			6,75	2,32	2,32		2,08	6,897	6,897		3,245 17,039
	8	2,90	2,90	2,26	3,00	16,00	16,00	9,00	9,00	2,32	2,69	2,03	2,40	6,897	5,939	4,425	3,750	21,011
	9	2,90		2,26	3,00	16,00		9,00	9,00	2,32		2,03	2,40	6,897		4,425	3,750	15,072
	10		2,90	2,60	2,66		16,00	6,75	6,75		2,32	2,34	2,13		6,897	2,885	3,172	12,954
	11	2,90	2,90	2,60	2,66	16,00	16,00	6,75	6,75	2,56	2,32	2,34	2,13	6,249	6,897	2,885	3,172	19,203
2	12	2,90	2,90	2,60	2,66	16,00	16,00	6,75	6,75	2,32	2,32	2,34	2,13	6,897	6,897	2,885	3,172	19,851
	13	2,90	2,90	2,60	2,66	16,00	16,00	6,75	6,75	2,32	2,32	2,34	2,13	6,897	6,897	2,885	3,172	19,851
	14	2,90	2,90	2,60	2,66	16,00	16,00	6,75	6,75	2,32	2,32	2,34	2,13	6,897	6,897	2,885	3,172	19,851
	15	2,90	2,90	3,00	2,66	16,00	16,00	9,00	9,00	2,32	2,45	2,40	2,13	6,897	6,524	3,75	4,229	21,400
	16	2,90		3,00	2,66	16,00		9,00	9,00	2,32		2,40	2,13	6,897		3,75	4,229	14,876

BLOC B - Portique Longitudinal G

- Caractéristiques Géométriques (suite).

niveau	Nœud	ℓ_w (m)	ℓ_e (m)	θ_m (m)	θ_s (m)	$I_w \cdot 10^4$ (m^4)	$I_e \cdot 10^4$ (m^4)	$I_s \cdot 10^4$ (m^4)	ℓ'_w (m)	ℓ'_e (m)	θ'_m (m)	θ'_s (m)	$K_w \cdot 10^4$ (m^3)	$K_e \cdot 10^4$ (m^3)	$K_s \cdot 10^4$ (m^3)	$D \cdot 10^4$ (m^3)		
1	17		2,90	2,66	4,19		16,00	6,75	9,00		2,32	2,13	3,35		6,897	3,172	2,685	12,754
	18	2,90	2,90	2,66	4,19	16,00	16,00	6,75	9,00	2,57	2,32	2,13	3,35	6,222	6,897	3,172	2,685	18,976
	19	2,90	2,90	2,66	4,19	16,00	16,00	6,75	9,00	2,32	2,32	2,13	3,35	6,897	6,897	3,172	2,685	19,951
	20	2,90	2,90	2,66	4,19	16,00	16,00	6,75	9,00	2,32	2,32	2,13	3,35	6,897	6,897	3,172	2,685	19,951
	21	2,90	2,90	2,66	4,19	16,00	16,00	6,75	9,00	2,32	2,32	2,13	3,35	6,897	6,897	3,172	2,685	19,951
	22	2,90	2,90	2,66	4,19	16,00	16,00	9,00	9,00	2,32	2,51	2,13	3,35	6,897	6,369	4,229	2,685	20,180
	23	2,90		2,66	4,19	16,00		9,00	9,00	2,32		2,13	3,35	6,897		4,229	2,685	13,811
0	24		2,90	4,19	1,10		16,00	9,00	9,00		2,32	3,35	0,88		6,897	2,685	10,227	19,809
	25	2,90	2,90	4,19	1,10	16,00	16,00	9,00	9,00	2,32	2,32	3,35	0,88	6,897	6,897	2,685	10,227	26,706
	26	2,90	2,90	4,19	1,10	16,00	16,00	9,00	9,00	2,32	2,32	3,35	0,88	6,897	6,897	2,685	10,227	26,706
	27	2,90	2,90	4,19	1,10	16,00	16,00	9,00	9,00	2,32	2,32	3,35	0,88	6,897	6,897	2,685	10,227	26,706
	28	2,90	2,90	4,19	1,10	16,00	16,00	9,00	9,00	2,32	2,32	3,35	0,88	6,897	6,897	2,685	10,227	26,706
	29	2,90	2,90	4,19	1,10	16,00	16,00	9,00	9,00	2,32	2,32	3,35	0,88	6,897	6,897	2,685	10,227	26,706
	30	2,90		4,19	1,10	16,00		9,00	9,00	2,32		3,35	0,88	6,897		2,685	10,227	19,809

BLOC B - Portique Longitudinal G - Moments aux appuis sous G
 - Moments en travée, Efforts tranchants aux appuis sous G

niveau	nœud	q_e (kN/m)	q_w (kN/m)	M'_e (kNm)	M'_w (kNm)	M_e (kNm)	M_w (kNm)	M_n (kNm)	M_s (kNm)	Poutre	M_o (kNm)	M_b (kNm)	$E_{i-1,e}$ (kN)	$E_{i,w}$ (kN)	
4	1	1,705 n 1,378 T		1,080 0,873		0,453 0,366			0,453						
	2	consolé T: 1,378	M: 1,705 T: 1,378	0,218 0,873	1,080 0,218	0,218 0,492	0,579 0,492		-0,361 -0,274		1-2	1,764	1,335	2,165	-2,244
	3	0,762		0,483		0,154			0,154						
	4	0,762	0,762	0,483	0,662	0,560	0,596		-0,036		3-4	1,975	0,600	1,081	-1,357
	5	0,762	0,762	0,483	0,483	0,483	0,483		0,000		4-5	0,975	0,464	1,243	-1,195
	6	0,762	0,762	0,483	0,483	0,483	0,483		0,000		5-6	0,975	0,493	1,219	-1,219
	7	0,762	0,762	0,483	0,483	0,483	0,483		0,000		6-7	0,975	0,493	1,219	-1,219
	8	M: 3,361 T: 3,316	0,762 3,359	3,397 0,483	2,573 2,546	1,439 1,427	0,614 0,606	0,520 0,513			7-8	0,975	0,020	0,924	-1,514
	9	consolé T: 3,316	M: 3,361 T: 3,316	1,018 2,502	2,593 1,018	1,838 1,823	-0,444 -0,436	-0,376 -0,369			8-9	4,244	2,060	5,532	-5,080
2	10	0,629		0,398		0,186		0,089	0,098		10-11	0,805	0,484	0,922	-1,091
	11	0,629	0,629	0,398	0,485	0,429	0,457	-0,013	-0,014		11-12	0,805	0,391	1,046	-0,997
	12	0,629	0,629	0,398	0,398	0,398	0,398	0,000	0,000		12-13	0,805	0,407	1,006	-1,006
	13	0,629	0,629	0,398	0,398	0,398	0,398	0,000	0,000		13-14	0,805	0,407	1,006	-1,006
	14	0,629	0,629	0,398	0,398	0,398	0,398	0,000	0,000		14-15	0,805	0,177	0,862	-1,150
	15	2,582	0,629	1,828	0,398	1,392	0,859	0,250	0,282		15-16	3,305	1,992	4,181	-4,082
	16	consolé	2,582	0,768	1,635	0,768	1,233	-0,219	-0,246						
	17	1,642		1,040		0,477	0,000	0,259	0,219		17-18	2,102	1,263	2,401	-2,883
1	18	1,642	1,642	1,040	1,278	1,126	1,200	-0,040	-0,034		18-19	2,102	1,019	2,654	-2,610
	19	1,642	1,642	1,040	1,040	1,040	1,040	0,000	0,000		19-20	2,102	1,062	2,627	-2,627
	20	1,642	1,642	1,040	1,040	1,040	1,040	0,000	0,000		20-21	2,102	1,062	2,627	-2,627
	21	1,642	1,642	1,040	1,040	1,040	1,040	0,000	0,000		21-22	2,102	0,912	2,533	-2,721
	22	2,582	1,642	1,917	1,040	1,640	1,340	0,184	0,117		22-23	3,305	1,884	4,228	-3,994
	23	consolé	2,582	0,768	1,635	0,768	1,202	-0,265	-0,169						
	24	0,610		0,386		0,252		-0,052	0,199		24-25	0,781	0,462	0,934	-1,018
0	25	0,610	0,610	0,386	0,386	0,386	0,386	0,000	0,000		25-26	0,781	0,395	0,976	-0,976
	26	0,610	0,610	0,386	0,386	0,386	0,386	0,000	0,000		26-27	0,781	0,395	0,976	-0,976
	27	0,610	0,610	0,386	0,386	0,386	0,386	0,000	0,000		27-28	0,781	0,395	0,976	-0,976
	28	0,610	0,610	0,386	0,386	0,386	0,386	0,000	0,000		28-29	0,781	0,395	0,976	-0,976
	29	0,610	0,610	0,386	0,386	0,386	0,386	0,000	0,000		29-30	0,781	0,462	1,018	-0,934
	30			0,610		0,386		0,252	-0,052	-0,199					

BLOC B - Portique longitudinal fr
 - Moments aux appuis - Efforts franchantr aux appuis sous P

niveau	nœud	q_{el}	q_w	M_e	M^w	M_e	M_w	M_m	M_s	Poutre	M_o	M_t	$T_{e,w}$	$T_{e,s}$	
4	1	M: 0,923 T: 0,175		0,141 0,111		0,059 0,046			0,059						
	2	console 0,2937 0,1757	0,014	0,141 0,111	0,014	0,067 0,055			-0,053 -0,041		1-2	0,224	0,174	0,277	-0,238
3	3	0,095		0,060		0,019			0,019		3-4	0,122	0,075	0,135	-0,169
	4	0,095	0,095	0,060	0,083	0,070	0,074		-0,004		4-5	0,122	0,057	0,155	-0,149
	5	0,095	0,095	0,060	0,060	0,060	0,060		0,000		5-6	0,122	0,062	0,152	-0,152
	6	0,095	0,095	0,060	0,060	0,060	0,060		0,000		6-7	0,122	0,062	0,152	-0,152
	7	0,095	0,095	0,060	0,060	0,060	0,060		0,000		7-8	0,122	-0,374	-0,120	-0,424
	8	2,3347 2,0637	0,095	3,068 2,742	0,060	0,218 1,962	1,048 0,931	0,633 0,558	0,537 0,473		8-9	2,641	1,094	3,560	-3,041
	9	7: 2,334 T: 2,063	0,069	2,296 2,029	0,069	1,277 1,132	-0,654 -0,575	-0,554 -0,488							
	10	0,238		0,151		0,070		0,034	0,037		10-11	0,305	0,183	0,349	-0,413
	11	0,238	0,238	0,151	0,184	0,162	0,173	-0,005	-0,005		11-12	0,305	0,148	0,384	-0,377
2	12	0,238	0,238	0,151	0,151	0,151	0,151	0,000	0,000		12-13	0,305	0,154	0,381	-0,381
	13	0,238	0,238	0,151	0,151	0,151	0,151	0,000	0,000		13-14	0,305	0,154	0,381	-0,381
	14	0,238	0,238	0,151	0,151	0,151	0,151	0,000	0,000		14-15	0,305	0,043	0,311	-0,450
	15	1,189	0,238	0,842	0,151	0,631	0,373	0,121	0,137		15-16	1,522	1,003	1,973	-1,832
	16	Console	1,189	0,005	0,753	0,005	0,406	-0,183	-0,213						
	17	0,238		0,151		0,069		0,037	0,032		17-18	0,305	0,183	0,348	-0,414
	18	0,238	0,238	0,151	0,185	0,163	0,174	-0,006	-0,005		18-19	0,305	0,148	0,385	-0,377
1	19	0,238	0,238	0,151	0,151	0,151	0,151	0,000	0,000		19-20	0,305	0,154	0,381	-0,381
	20	0,238	0,238	0,151	0,151	0,151	0,151	0,000	0,000		20-21	0,305	0,154	0,381	-0,381
	21	0,238	0,238	0,151	0,151	0,151	0,151	0,000	0,005		21-22	0,305	0,029	0,303	-0,459
	22	1,189	0,238	0,883	0,151	0,652	0,401	0,153	0,097		22-23	1,522	1,006	1,988	-1,817
	23	Console	1,189	0,005	0,753	0,005	0,379	-0,979	-0,145						
	24	0,380		0,241		0,157		0,033	0,124		24-25	0,486	0,288	0,582	-0,634
	25	0,380	0,380	0,241	0,241	0,241	0,241	0,000	0,000		25-26	0,486	0,246	0,608	-0,608
0	26	0,380	0,380	0,241	0,241	0,241	0,241	0,000	0,000		26-27	0,486	0,246	0,608	-0,608
	27	0,380	0,380	0,241	0,241	0,241	0,241	0,000	0,000		27-28	0,486	0,246	0,608	-0,608
	28	0,380	0,380	0,241	0,241	0,241	0,241	0,000	0,000		28-29	0,486	0,246	0,608	-0,608
	29	0,380	0,380	0,241	0,241	0,241	0,241	0,000	0,000		29-30	0,486	0,288	0,634	-0,582
	30		0,380		0,241		0,157	-0,033	-0,124						

BLOC B - Portique Longitudinal G - Efforts Normaux dans les poteaux

chargement		Sous G				Sous P			
niveau	Poteau	$T_{i,w}(t)$	$T_{i,e}(t)$	$N_{du\ Pot\ sup}(t)$	$N(t)$	$T_{i,w}(t)$	$T_{i,e}(t)$	$N_{du\ Pot\ sup}(t)$	$N(t)$
4	1-8		2,165		2,165		0,277		0,277
	2-9	-2,244	0,507		2,751	-0,238	0,032		0,270
3	3-10		1,081		1,081		0,135		0,135
	4-11	-1,357	1,243		2,600	-0,169	0,155		0,324
	5-12	-1,195	1,219		2,474	-0,149	0,152		0,301
	6-13	-1,219	1,219		2,438	-0,152	0,152		0,304
	7-14	-1,219	0,924		2,143	-0,152	-0,120		0,032
	8-15	-1,514	5,532	2,165	9,211	-0,424	3,560	0,277	4,261
	9-16	-5,080	1,789	2,751	9,620	-3,041	0,276	0,270	3,587
2	10-17		0,922	1,081	2,003		0,349	0,135	0,484
	11-18	-1,091	1,016	2,600	4,707	-0,413	0,384	0,324	1,121
	12-19	-0,997	1,006	2,474	4,417	-0,377	0,381	0,301	1,059
	13-20	-1,006	1,006	2,438	4,450	-0,381	0,381	0,304	1,066
	14-21	-1,006	0,862	2,143	4,011	-0,381	0,311	0,032	0,724
	15-22	-1,150	4,181	9,211	14,542	-0,450	1,973	4,261	6,684
	16-23	-4,082	2,115	9,620	15,817	-1,832	0,015	3,587	5,434
1	17-24		2,401	2,003	4,404		0,348	0,484	0,832
	18-25	-2,853	2,654	4,707	10,214	-0,414	0,385	1,121	1,920
	19-26	-2,600	2,627	4,417	9,644	-0,377	0,381	1,059	1,817
	20-27	-2,627	2,627	4,450	9,704	-0,381	0,381	1,066	1,818
	21-28	-2,627	2,533	4,011	9,171	-0,381	0,303	0,724	1,413
	22-29	-2,721	4,268	14,542	21,531	-0,459	1,988	6,684	9,131
	23-30	-3,994	2,115	15,817	21,926	-1,817	0,015	5,434	7,266
0	24-31		0,934	4,404	5,338		0,582	0,832	1,414
	25-32	-1,018	0,976	10,214	12,208	-0,634	0,608	1,920	3,162
	26-33	-0,976	0,976	9,644	11,596	-0,608	0,608	1,817	3,033
	27-34	-0,976	0,976	9,704	11,656	-0,608	0,608	1,818	3,044
	28-35	-0,976	0,976	9,171	11,123	-0,608	0,608	1,413	2,629
	29-36	-0,976	1,018	21,531	23,525	-0,608	0,634	9,131	10,373
	30-37	-0,934		21,926	22,860	-0,582		7,266	7,848

CHAPITRE 4

ETUDE DE LA

S'EIS'ME

Etude au Seisme.

• Generalités :

Le seisme est un mouvement du sol provoqué par la libération soudaine de l'énergie accumulée dans le sol. Cette énergie de déformation va engendrer une nouvelle distribution des efforts dans le sol provoquant des failles dans ce dernier. A une nouvelle secousse séismique il présentera une résistance beaucoup moindre du fait de sa déformation.

des secousses séismiques se propagent sous forme d'ondes. Elles sont de différents types et se propagent dans les 3 directions de l'espace. La rupture du sol se fait par craquement.

La réponse d'une structure quelconque à des secousses séismiques peut-être déterminé, pour ce faire, il convient de disposer de 3 accélérogrammes pour connaître les mouvements du sol dans les 3 directions. Ces accélérogrammes nous donneront le déplacement, la vitesse et l'accélération du sol.

Il est à noter que les secousses séismiques peuvent faire naître dans les constructions des accélérations qui peuvent atteindre la valeur de l'accélération g .

Enfin, il convient de noter que pour une bonne tenue d'un quelconque ouvrage envers les effets du séisme il faudrait que ce dernier obéisse à certains principes généraux de conception. Principes énoncés dans le Règlement parassismique Algérien RPA 81 au chapitre 2.

• RPA 81

• Principes fondamentaux de Calcul. (chap 3.2)

On peut, afin de faire le calcul requis pour l'étude des ouvrages résistants aux séismes, faire appel à la méthode statique ou à la méthode dynamique direct si les conditions d'application de la méthode statique ne sont pas vérifiées.

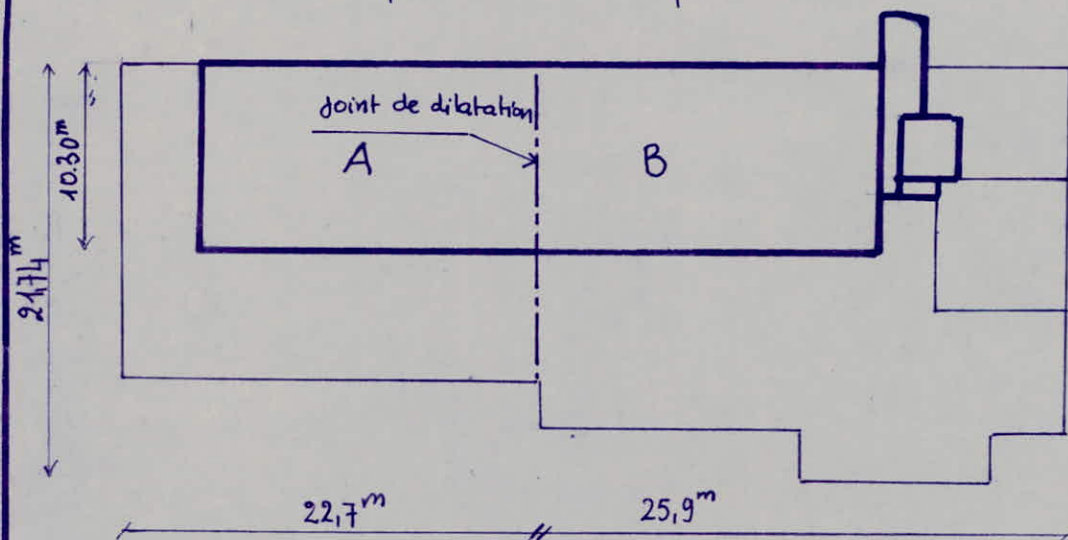
La méthode statique ne peut être utilisée que pour les bâtiments satisfaisants aux conditions ci-après :

- a. Le bâtiment ou le bloc étudié a une hauteur au plus égale à 45m en zone II.
- b. La forme en plan du bâtiment est simple, symétrique, proche d'un rectangle avec des parties en saillie ou en retrait ne dépassant pas 25% des dimensions globales.
- c. Les décrochements en élévation ne dépassent pas 25% entre deux niveaux adjacents.
- d. La distance entre le centre de torsion et le centre de masse ne dépasse à aucun niveau 20% de la largeur effective du bâtiment mesurée perpendiculairement à l'action séismique considérée.
- e. Le rapport masse sur rigidité de 2 niveaux successifs ne doit pas varier de plus de 25% dans chaque direction.
- f. Le bâtiment étudié présente un degré d'amortissement voisin à tous les niveaux.

- g) la structure ne présente pas plusieurs degrés de liberté dans un même plan horizontal pour chacune des directions étudiées
 h) la rigidité de 2 niveaux successifs ne doit pas dépasser une variation de 25% dans chaque direction

• Commentaires:

L'hôtel dont l'étude nous a été confiée se compose "de 2 grands blocs".
 Un bloc (qui est lui-même constitué de 2 parties A et B) qui a une hauteur de 10,65m (partie A) et une hauteur de 13,71m (partie B) et un autre bloc qui ne s'élève qu'à une hauteur de 3m.



Les dimensions des 2 blocs présentées sur le schéma ci-dessus nous permettent de constater que le bloc qui a une hauteur de 3m a une largeur très voisine de la largeur du grand bloc (A et B).

Par ailleurs notre hôtel présente des décrochements en plan et en élévation assez importants.

D'autre part le plancher haut du RDC a une hauteur de 3m alors que le plancher haut du RDC à l'intérieur des blocs A et B est à 4,59m. Différence de hauteur de planchers appréciable.

On constatera enfin que le décrochement horizontal (plancher de hauteur 3m) a son centre de gravité bien décalé par rapport aux centres de gravité des autres planchers des blocs A et B.

En conclusion, on pourra dire que notre bâtiment en plan et en élévation, présente une forme assez compliquée qui n'est pas en accord avec les règles d'une conception saine de tout ouvrage. Comme il est recommandé dans l'article 2.3.12 du RPA 81, on a décidé de faire un joint paraseismique qui séparerait le bloc qui a une hauteur de 3m de l'autre bloc.

• Méthode dynamique directe:

Ce type d'analyse est obligatoire si la structure présente une dissymétrie dans son plan ou des irrégularités en élévation qui dépassent les tolérances fixées par le RPA 81. Cette méthode représente mieux la réponse dynamique de la structure. On l'applique dans notre bâtiment.

• Action seismique.

La vérification de la stabilité d'une quelconque structure soumise à l'action seismique se fait en substituant aux efforts dynamiques réels des sollicitations statiques. Ainsi on modélisera l'action seismique qui n'est autre qu'une réaction d'inertie à un système de forces. On utilisera alors des schémas de calcul approchés donnés par les règlements qui permettent d'obtenir une protection par seisme en accord avec le prix de revient escompté, étant entendu que la protection totale n'est qu'illusoire.

Les relations préférées données par le règlement sont telles qu'elles ne s'appliquent pas à toutes les formes de structures. On a alors recours à un calcul dynamique direct.

L'étude du comportement dynamique d'un système quelconque suppose le choix d'un modèle mathématique dont les propriétés reflètent d'autant plus que possible celles du système réel, mais procédant nécessairement d'une certaine modélisation. La configuration d'un système en état d'oscillation peut être connue en modélisant les différents éléments résistants de ce système (de la structure) de façon à travailler sur un modèle d'oscillateur. Dans la plupart des cas ce modèle est multiple.

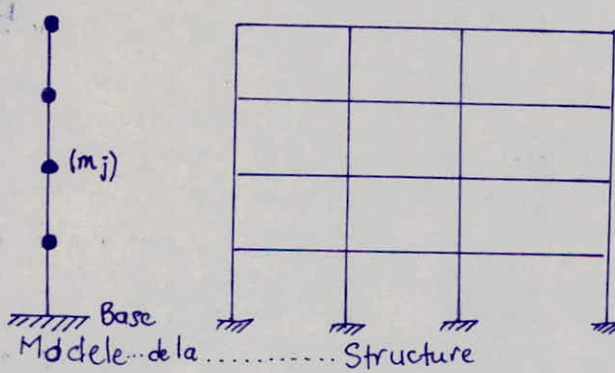
L'étude du comportement dynamique d'un oscillateur peut être faite à l'aide d'une méthode manuelle. Cette méthode consiste en le découplage du système d'équations différentielles du système en oscillation en les exprimant sur la base de vecteurs propres. Cette méthode de calcul porte le nom d'analyse modale.

Le comportement dynamique des planchers d'un bâtiment vis à vis des effets des composantes horizontales d'une excitation d'origine seismique est celui de masse concentrées au niveau de chaque plancher. Des éléments verticaux peuvent être assimilés à des ressorts.

• Oscillateur Multiple.

Définition: Un oscillateur multiple est composé de plusieurs masses liées entre elles et à une base fixe par des amortisseurs et des ressorts. Toute structure à comportement élastique linéaire peut-être classé dans cette catégorie.

Il ya lieu de signaler que le découpage des masses n'est pas arbitraire sinon les déformations réelles de la structure ne seraient pas fidèlement schématisées.



N.B: le niveau de base de notre structure est pris au niveau du RDC car l'infrastructure est considérée comme étant une cage rigide. L'infrastructure se trouve au dessous du niveau du sol.

Le niveau de base est le niveau à partir duquel commencent les vibrations.

• Matrice de Rigidité - Forces de Rappel:

Si notre système à p noeuds, chaque noeud a au maximum six (6) degrés de liberté. Dans le cas général on aura donc n degrés de liberté pour tout notre système $n=6p$.

Si f_j est la force extérieure appliquée à la structure dans le sens du degré de liberté j , il en résulte un déplacement u_j selon ce degré de liberté.

Le comportement de la structure étant donc supposé élastique il en résulte donc que les déplacements u_j sont proportionnels aux forces f_j intervenant séparément. Les actions des différentes forces sont superposables. Il existe donc des relations linéaires entre les forces extérieures et les déplacements.

$$f_j = \sum_{i=1}^n k_{ij} u_i ; \quad k_{ij} \text{ sont les éléments de rigidité.}$$

Donc le vecteur forces peut se mettre sous la forme: $\{F\} = [K] \{U\}$

Remarque: Signification physique de k_{ij} .

$$f_j = \sum_{i=1}^n k_{ij} u_i .$$

On obtient k_{ij} en évaluant les forces qu'il faut appliquer aux noeuds de la structure pour que tous les déplacements soient nuls sauf un.

Si $u_j = 1$ on a $f_i = k_{ij} \times 1$.

k_{ij} = force à exercer sur le noeud i pour l'immobiliser quand le noeud j prend un déplacement unitaire.

$$\text{NB: } \{F\} = [K] \cdot \{U\} \Rightarrow \{U\} = [K]^{-1} \cdot \{F\} \quad \cdot \{U\} = [S] \cdot \{F\}.$$

$[S]$ est la matrice de souplesse du système obtenue par inversion de la matrice de rigidité $[K]$ de dimensions ($n \times n$).

$[K]$: Matrice de rigidité

$[S]$: Matrice de souplesse.

Si le vecteur forces agissant sur la structure est $\{F\}$, les forces de rappel développées par la structure sont un vecteur $\{F'\}$

$$\{F'\} = -[K] \cdot \{U\}.$$

• Matrice des Masses, forces d'inertie.

Les masses de la structure sont supposées concentrées aux noeuds ou sur les axes de déplacements.

Si l'on considère m_j la masse relative au degré de liberté j et \ddot{u}_j l'accélération à ce degré de liberté j , cette accélération impose, puisque les masses sont concentrées, une force d'inertie qu'à elle-même. Cette force d'inertie est égale à $f_j = -m_j \ddot{u}_j$.

On pourra définir alors un vecteur colonne de force d'inertie.

$$f_1 = m_1 \ddot{u}_1$$

$$f_2 = m_2 \ddot{u}_2 \quad \{-m_j \ddot{u}_j\} = -[M] \cdot \{\ddot{u}\}$$

$$f_3 = m_3 \ddot{u}_3$$

$$\vdots$$

$$f_n = m_n \ddot{u}_n$$

des masses sont supposées concentrées aux noeuds, de ce fait les matrices sont diagonales. Si on n'avait pas fait cette supposition on obtiendrait des matrices symétriques mais pas diagonales.

- Matrice d'amortissement.

Pour un oscillateur simple, la force d'amortissement est proportionnelle à la vitesse relative \dot{u} .

$$f = -C \cdot \dot{u}.$$

Pour un oscillateur multiple, le vecteur force est proportionnel au vecteur vitesses relatives.

$$\{F\} = -[C] \{\dot{U}\}.$$

- [C] Matrice d'amortissement de dimensions $(n \times n)$.

- Comportement dynamique de l'oscillateur Multiple - formulation de l'équation du mouvement.

L'équation différentielle du mouvement s'écrit sous la forme classique suivante:

$$\{F\} = [M]\{\ddot{U}\} + [C]\{\dot{U}\} + [K]\{U\}$$

C'est une équation matricielle de n équations différentielles (système) couplées: chaque ligne comporte plusieurs ou tous les degrés de liberté du système.

La résolution directe de ce système est très difficile on a alors recours à une logistique informatique suffisante, mais il existe plusieurs procédés de résolution approchée qui présentent l'intérêt d'être manuelles.

On citera entre autres l'une des méthodes les plus pratiques qui est l'analyse modale.

- Analyse modale:

Dans cette méthode on associe au problème réel qui s'écrit $[M]\{\ddot{U}\} + [C]\{\dot{U}\} + [K]\{U\} = \{F\}$ le problème suivant où les oscillations sont libres donc pas d'excitation et où le système n'est pas amorti. Donc $[M]\{\ddot{U}\} + [I_C]\{U\} = 0$.

La solution de ce système est de la forme $\{U\} = \{\phi\} \cdot \sin(\omega t + \theta)$. Dès lors on dérivera deux fois et en injectant la valeur dans l'équation on a:

$$-\omega^2[M]\{U\} + [K]\{U\} = 0 \quad \text{et pour } \sin(\omega t + \theta) = 1 \text{ on a: } \{\phi\} \cdot ([K] - \omega^2[M]) = 0.$$

Relation qui doit être valable $\forall \{\phi\}$. Donc:

$$\det([K] - \omega^2[M]) = 0.$$

- Équation caractéristique du système

Ses solutions sont les ω_i sont les valeurs propres du système, qui rentrant dans l'équation initiale nous donneront les n vecteurs propres du système $\{\phi_1\}, \dots, \{\phi_n\}$.

NB • Nous n'expliquerons pas cette méthode, on se contentera simplement de souligner l'intérêt de cette méthode qui d'un système d'équation différentiellement couplés (système d'équations initiale) on arrive à un système d'équations

découplés. La résolution de ce système d'équations découplées ne présente pas autant de difficultés que le système général.

• Résolution de l'équation caractéristique par la méthode de Rayleigh

• Résolution de l'équation caractéristique $\det([K] - \omega^2[M]) = 0$
c'est une équation de degré n en ω^2 .

En pratique on ne résout pas directement cette équation, on fait alors appel à des méthodes itératives. Parmi elles on a la méthode de Rayleigh.

Cette méthode permet un calcul approché de la période du 1^e mode de vibrations de l'oscillateur multiple.

Le vecteur modal ϕ_i correspond à la pulsation ω_i est défini par la relation $(K - M\omega_i^2)\phi_i = 0$

Si on multiplie à gauche par le vecteur ϕ_i^t transposé de ϕ_i et en développant ensuite on a:

$$\phi_i^t (K - M\omega_i^2) \phi_i = 0 \\ \phi_i^t K \phi_i = \phi_i^t M \cdot \phi_i \omega_i^2 \quad \text{soit} \quad \omega_i^2 = \frac{\phi_i^t K \phi_i}{\phi_i^t M \cdot \phi_i}$$

Si maintenant ϕ_i est le vecteur déformation correspondant au 1^e mode, la pulsation de ce mode est donnée par:

$$\omega^2 = \frac{\phi^t K \phi}{\phi^t M \phi}$$

• Le vecteur déformation $\phi = \begin{bmatrix} \phi_1 \\ \phi_2 \\ \vdots \\ \phi_n \end{bmatrix}$ correspond à des forces statiques équivalentes $f = \begin{bmatrix} f_1 \\ f_2 \\ \vdots \\ f_n \end{bmatrix}$

$$\text{D'où } \omega^2 = \frac{\phi^t f}{\phi^t M \phi} = \frac{\sum_{k=1}^n f_k \cdot \phi_k}{\sum_{k=1}^n m_k \phi_k^2}$$

• Pour les structures courantes, la déformation du 1^e mode a une allure comparable à celle que l'on obtiendrait en imposant à toutes les masses la même accélération horizontale g . On applique alors à la masse m_k une force horizontale $f_k = m_k \cdot g$.

On évalue les déplacements ϕ_1, \dots, ϕ_n correspondant à ces forces qui constituent une approximation de la déformation modale, puis la pulsation est donnée par la formule

$$\omega^2 = g \cdot \frac{\sum_{k=1}^n f_k \cdot \phi_k}{\sum_{k=1}^n f_k \cdot \phi_k^2}$$

$$\text{d'où } T = \frac{2\pi}{\omega} = 2\pi \cdot \sqrt{\frac{\sum_{k=1}^n f_k \cdot \phi_k^2}{g \cdot \sum_{k=1}^n f_k \cdot \phi_k}}$$

• Determination du poids de la structure : W

Dans le calcul de W on tiendra compte du poids total de la structure ainsi que de 50% des surcharges d'exploitation.

BLOCA:

- Plancher terrasse : Niveau 10^m 65. Planchers étage : Niveau 7^m 65, 4^m 59.

Surface totale du plancher: $(3,2+3,4+3,2+0,5+0,5) \times (6 \times 3,2 + 0,3) = 10,9 \times 19,5 = 212,55 \text{ m}^2$

Surface des poutres: $4 \times 0,3 \times (6 \times 3,2 - 6 \times 0,3) + 6 \times 0,3 \times (2 \times 3,2 + 3,4) - 2 \times 0,3 \times 0,5 = 36,54 \text{ m}^2$

Surface des poteaux: $7 \times 2 \times 0,3 \times 0,3 + 7 \times 2 \times 0,3 \times 0,8 = 4,62 \text{ m}^2$

perimetre du plancher: $2 \times [(3,2+3,4+3,2+0,5+0,5) + (6 \times 3,2 + 0,3)] = 60,80 \text{ m}$

- Plancher RDC : Niveau 0^m 00.

Surface totale du plancher: $(7 \times 3,2 + 0,3) \times (2 \times 3,2 + 3,4 + 0,5) = 22,7 \times 10,3 = 233,81 \text{ m}^2$

Surface des poutres: $4 \times 0,3 \times (7 \times 3,2 - 7 \times 0,3) + 7 \times 0,3 \times (2 \times 3,2 + 3,4 - 2 \times 0,4 - 0,5) = 42,81 \text{ m}^2$

Surface poteaux: $(8 \times 2 \times 0,4 \times 0,3) + (8 \times 2 \times 0,3 \times 0,5) = 4,32 \text{ m}^2$.

- Plancher à 3^m:

Surface totale du plancher: $(3,2 \times 2 + 3,4 + 0,5) \times (3,2 + 0,3) = 36,05 \text{ m}^2$

Surface des poutres: $2 \times 0,3 \times (2 \times 3,2 + 3,4 - 2 \times 0,4 - 0,5) + 4 \times 0,3 \times (3,2 - 0,3) = 8,58 \text{ m}^2$.

Surface des poteaux: $(4 \times 0,4 + 4 \times 0,5) \times 0,3 = 1,08 \text{ m}^2$.

perimetre du plancher: $P = 26 \text{ m}$

- Perimetre de Murs:

étage: $2 \times [(6 \times 3,2 - 6 \times 0,3) + (2 \times 3,2 + 3,4 - 2 \times 0,3 - 0,5)] = 52,2 \text{ m}$

RDC: $2 \times [(7 \times 3,2 - 7 \times 0,3) + (2 \times 3,2 + 3,4 - 2 \times 0,4 - 0,5)] = 57,6 \text{ m}$

étage à 3^m: $P = 22,8 \text{ m}$

- Poids des différents niveaux:

- Niveau 10^m 65.

plancher: $(212,55 \times 570 - 36,54 \times 570 - 4,62 \times 570) = 97663 \text{ kg}$.

poutres: $36,54 \times 0,4 \times 2500 = 36540 \text{ kg}$.

acrotère: $(230 \times 60,80) = 13984 \text{ kg}$.

Demi poteaux: $4,62 \times 1,5 \times 2500 = 17325 \text{ kg}$.

Demi mur: $390 \times 52,2 \times (1,5 - 0,4) = 22394 \text{ kg}$.

Surcharge: $0,5 \times 100 \times 212,55 = 10627 \text{ kg}$.

$$g_1 = 187906 \text{ kg}$$

$$0,5P_1 = 10627 \text{ kg}$$

$$W_1 = 198,55 \text{ t.}$$

- Niveau 7^m 65.

plancher: $(212,55 - 36,54 - 4,62) \times 430 = 73697 \text{ kg}$.

poutres: $(36,54 \times 0,4 \times 2500) = 36540 \text{ kg}$.

poteaux: $(3,06 / 2 + 1,5) \times 4,62 \times 2500 = 34996 \text{ kg}$.

murs: $(1,15 + 1,1) \times 52,2 \times 390 = 52931 \text{ kg}$.

Surcharges: $0,5 \times 250 \times (212,55 - 4,62) = 25991 \text{ kg}$.

$$g_2 = 198165 \text{ kg}$$

$$0,5P_2 = 25991 \text{ kg}$$

$$W_2 = 224,16 \text{ t}$$

• Niveau 4,59

Plancher: 73697 kg.

Poutres: 36540 kg.

Poteaux: $(1,5 \times 4,62 + 4,59/2 \times 4,32) \times 2500 = 42111$ kg.

Murs: $[(1,5 \times 5,2,2) + (4,59 - 0,4)/2 \times (5,6 - 8,5)] \times 396 = 43170$ kg.

Surcharges: 25991 kg.

Galerie technique:

Surface totale: $3,4 \times (6 \times 3,2) = 65,28 m^2$

poids total de la dalle: $65,28 \times 0,12 \times 2500 = 19584$ kg.

Mur de soutien

Surface totale: $1,13 \times (6 \times 3,2 + 2 \times 3,4) = 47,23 m^2$

poids total du mur: $47,23 \times 0,12 \times 2500 = 14170$ kg.

Surcharge: $0,5 \times 100 \times 65,28 = 3264$ kg.

$$g_3 = 229273 \text{ kg.}$$

$$0,5 P_3 = 29255 \text{ kg.}$$

$$W_3 = 258,52 t$$

• Niveau 3,00

Plancher: $(36,5 - 8,58 - 1,08) \times 570 = 15042$ kg.

Poutres: $8,58 \times 0,4 \times 2500 = 8580$ kg.

Acrotère: $250 \times 26 = 6500$ kg.

Demi-mur: $1,13 \times (1,5 - 0,4) \times 390 = 6135$ kg.

poteaux: $1,5 \times 2500 \times 0,54 = 2025$ kg.

Surcharges: $0,5 \times 100 \times 36,05 = 1802,5$ kg.

$$g_4 = 38282 \text{ kg.}$$

$$0,5 P_4 = 1803 \text{ kg.}$$

$$W_4 = 40,08 t$$

• Niveau RDC.

Plancher: 76785 kg.

Poutres: 42210 kg.

Poteaux: 23713 kg.

Murs: 39513 kg.

Surcharge: 45898 kg.

$g_5 = 18221$ kg.

$0,5 P_5 = 45898$ kg.

$W_5 = 228,1 t$.

BLOC B.

• Niveau 13,71

Surface totale du plancher: $(3,4 + 3,2 + 2,65 + 0,2 + 0,15) \times (3,2 + 0,3) = 33,6 m^2$

Surface poutres: $0,3 \times [2 \times (2,8 + 2,95) + 2 \times (2,65 - 0,15 - 0,25) + 4 \times 2,9] = 8,28 m^2$.

Surface poteaux: $0,3 \times [4 \times 0,4 + 2 \times 0,5 + 2 \times 0,3] = 0,96 m^2$.

Acrotère (périmètre): $3,2 \times 4 + 2 \times 3,4 + 2 \times 2,65 = 24,9 \text{ m.}$

• Niveau 11,05 - 10,65

Surface du niveau 10,65m (plancher) = 17,7 m²

Surface du niveau 11,05m = 29,6 m²

Surface surchargeable par l'eau: 6,9 m²

Surface poutre: $0,3 \times [(24 \times 2,9) + (13,2 \times 1,75) + (5 \times 3,1) + (2 \times 3) + 1,95 + 2,25] = 39,3 m^2$

Surface poteaux: $0,3 \times [12 \times 0,180 + 10 \times 0,30 + 4 \times 0,4 + 0,15 + 2 \times 0,3] = 4,59 m^2$

Acrotère (périmètre): 45m

• Niveau 7,65

Surface totale: 210,74 m²

Surface des poutres: 39,3 m²

Poteaux: 4,59 m².

• Niveau 4^m, 59.

Surface totale du plancher: 210,74 m²

Surface des poutres: 39,3 m²

Surface des poteaux:

Poteaux supérieurs: 4,59 m²

Poteaux inférieurs: 3,66 m²

• Niveau 0^m, 00.

Surface totale du planchers: $(5 \times 3,2 + 0,3)(2 \times 3,2 + 3,4 + 2 \times 0,25) + 31,12 = 199 \text{ m}^2$.

poutres: $0,3 [24 \times 2,9 + 13 \times 2,8 + 7 \times 3 + 2 \times 2,25] = 39,45 \text{ m}^2$

poteaux: 3,66 m².

• Perimetre des Murs

Niveau 13^m, 71 $\rightarrow P = 24,9 \text{ m}$.

Niveau: (0,65 - 11,05) $\rightarrow 56,6 \text{ m}$

Niveau: 7^m, 65 $\rightarrow P = 56,6 \text{ m}$

Niveau: 4^m, 59 $\rightarrow P = 56,6 \text{ m}$

Niveau: 0^m, 00 $\rightarrow P = 56,6 \text{ m}$.

Poids des differents niveaux:

• Niveau 13^m, 71

plancher: $570 \times 24,36 = 13885 \text{ kg}$.

poutres: $8,28 \times 0,4 \times 2500 = 8280 \text{ kg}$.

poteaux: $2,66 \times 0,96 \times 2500 = 3192 \text{ kg}$.

acrotère: $230 \times 24,9 = 5727 \text{ kg}$.

Mur: $24,9 (2,66 - 0,4) = 9031 \text{ kg}$.

Surcharges: $0,5 \times 31,11 \times 100 = 1550 \text{ kg}$.

$$\begin{aligned} g_1 &= 40080 \text{ kg.} \\ 0,5 P_1 &= 1550 \text{ kg} \end{aligned} \quad w_1 = 41640 \text{ t.}$$

• Niveau (11,05 ; 10^m, 65).

plancher: $570 \times 140 + 540 \times 22,62 = 92015 \text{ kg}$.

poutres: $(39,3 + 1,72) \times 0,4 \times 2500 = 41025 \text{ kg}$.

poteaux: $4,59 \times (3 + 2,66)/2 \times 2500 = 32474 \text{ kg}$.

Acrotère: $230 \times 45 = 10350 \text{ kg}$.

Mur: $56,6 \text{ m} \times 390 \times 3/2 = 33100 \text{ kg}$.

Surcharge: $173,5 \times 100 + 22,7 \times 250 = 23025 \text{ kg}$.

NB: l'eau est considérée comme charge permanente: $6,922 \times 2,51 \times 1000 = 17375 \text{ kg}$.

$g_2 = 203836 \text{ kg.}$

$0,5 P_2 = 11500 \text{ kg}$.

$w_2 = 21533 \text{ t}$.

• Niveau 7^m, 65.

plancher: $2430 \times 166,85 = 71748 \text{ kg}$.

poutres: $39,3 \times 0,4 \times 2500 = 39300 \text{ kg}$.

poteaux: $4,59 \times 3 + 3,06 \times 2500 = 34770 \text{ kg}$.

Mur: $56,6 \times 390 = 58055 \text{ kg}$.

Surcharge: $250 \times 190,4 = 47600 \text{ kg}$.

$$g_3 = 203,870 \text{ kg.} \\ 0,5 P_3 = 23800 \text{ kg.} \quad W_3 = 227,67 \text{ t.}$$

• Niveau 4^m,59.

Plancher: $430 \times 167,78 = 72140 \text{ kg.}$

poutre: $39,3 \times 0,4 \times 2500 = 39300 \text{ kg.}$

plateaux: $4,59 \times 3,06 \times 2500 + 3,66 \times 4,59 \times 2500 = 38557 \text{ kg.}$

Mur: $56,6 \times 390 \times 2 \left(\frac{3,06 + 4,59}{2} - 0,4 \right) = 84433 \text{ kg.}$

Surcharge: $190,4 \times 250 = 47800 \text{ kg.}$

Galerie technique:

Surface totale de la dalle: $5 \times 3,2 \times 3,4 = 54,4 \text{ m}^2$

Plaids de la dalle: $(54,4 + 39,76) \times 2500 \times 0,12 = 28253 \text{ kg.}$
+ Mur de soutien

Mur de soutien (Surface) = $11 \times 3,2 \times 1,13 = 39,76 \text{ m}^2$

Surcharge: $54,4 \times 100 = 5440 \text{ kg.}$

$$g_4 = 253,310 \text{ kg.} \\ 0,5 P_4 = 2658 \text{ kg.} \quad W_4 = 279,83 \text{ t.}$$

• Niveau 0^m,00.

plancher: $410 \times 155,9 = 63919 \text{ kg.}$

poutres: $39,46 \times 0,4 \times 2500 = 39450 \text{ kg.}$

plateaux: $3,66 \times (4,59 + 1,50) \times 0,5 \times 2500 = 27862 \text{ kg.}$

Mur: $56,6 \times (4,59 - 0,4) / 2 \times 390 = 46245 \text{ kg.}$

Surcharge: $400 \times 181 = 72400 \text{ kg.}$

$$g_5 = 177,490 \text{ kg.} \\ 0,5 P_5 = 36200 \text{ kg.} \quad W_5 = 213,69 \text{ t.}$$

Nous présentons sous forme de tableau le résumé général pour les 2 blocs A et B.

Niveau	Wi (tonnes)		Niveau
	BLOC A	BLOC B	
10 ^m ,65	198,55	41,64	13 ^m ,71
7 ^m ,65	224,16	215,33	11 ^m ,05 ; 10 ^m ,65
4 ^m ,59	258,52	227,67	7 ^m ,65
3 ^m ,00	40,08	279,83	4 ^m ,59
0 ^m ,00	228,10	213,69	0 ^m ,00
W total (t)	949,4	978,2	W total (t)

- Pratique du calcul dynamique.

- Modélisation de la structure:

Notre bâtiment se modélise comme étant une console à plusieurs masses ponctuelles. Ces masses représentent chaque plancher de notre bâtiment qui sera soumis à l'excitation sismique. des masses sont reliées entre elles par les ressorts qui représentent les éléments verticaux de notre structure.

Calcul de la période d'oscillation du BLOC A et du BLOC B.

- BLOC A

- Calcul des différentes rigidités du bloc A (rigidité des éléments verticaux)

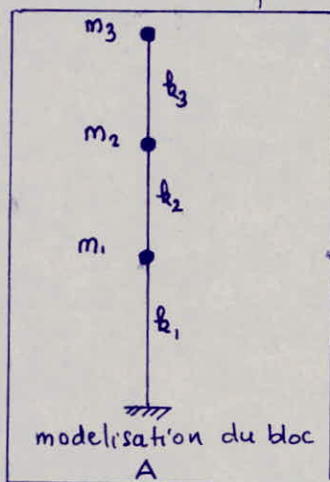
$$\text{Rigidité d'un poteau: } K_p = \frac{12 \cdot E \cdot I}{l^3}$$

$$E = 3,5 \cdot 10^5 \text{ kg/cm}^2$$

I = Inertie du poteau dans le sens considéré.

l = hauteur du poteau..

la rigidité d'un niveau est la somme des rigidités de tous les poteaux du niveau considéré.



RIGIDITÉS HORIZONTALES						
Niveau	Poteau	Sens transversal $I_i \times 10^{-4}$ cm 4	$K_i \times 10^{-4}$ kg/cm	$\sum K_i \cdot 10^4$ kg/cm	Sens Longitudinal $I_i \times 10^{-4}$ cm 4	$K \cdot 10^{-4}$ kg/cm
4 ^m 59	30x50	31,25	1,357	28,728	11,25	0,489
	30x40	16,00	0,695	K ₁	9,00	0,391
7 ^m 65	30x50	31,25	4,581	77,980	11,25	1,649
	30x30	6,75	0,589	K ₂	6,75	0,989
10 ^m 65	30x50	31,25	4,861	82,754	11,25	1,750
	30x30	6,75	1,05	K ₃	6,75	1,050

$$m_1 = 25,852 \cdot 10^4 \text{ kg.}$$

$$m_2 = 22,415 \cdot 10^4 \text{ kg.}$$

$$m_3 = 19,855 \cdot 10^4 \text{ kg.}$$

D'où la matrice des masses est: $[M] = 10^4 \times \begin{pmatrix} 25,852 & 0 & 0 \\ 0 & 22,415 & 0 \\ 0 & 0 & 19,855 \end{pmatrix}$

- La matrice des rigidités est donnée pour les 2 sens x et y.
Sens x: Sens Longitudinal Sens y: Sens transversal.

$$[K_y] = \begin{pmatrix} K_1 + K_2 & -K_2 & 0 \\ -K_2 & K_2 + K_3 & -K_3 \\ 0 & -K_3 & K_3 \end{pmatrix} = 10^4 \begin{pmatrix} 106,708 & -77,980 & 0 \\ -77,980 & 106,734 & -82,754 \\ 0 & -82,754 & 82,754 \end{pmatrix}$$

$$[K_x] = \begin{pmatrix} 49,252 & -36,932 & 0 \\ -36,932 & 76,132 & -39,200 \\ 0 & -39,200 & 39,200 \end{pmatrix} \times 10^4.$$

Dans le système [MKSA] on a: $[K] = \left[10^3 \cdot \frac{N}{m} \right] = \left[\frac{kg}{cm} \right]$

- Calculons les déplacements des différents plancher du BLOC A dans les 2 sens.

$$\{U\} = [S]. \{F_a\}$$

$$[S] = [K]^{-1} = \left[10^{-3} \frac{m}{N} \right] = \left[\frac{cm}{kg} \right] \quad \{F_a\} = \text{Vecteur force statique} \cdot \{F_a\} \{M.g\}$$

$$\{F_a\} = [t]$$

$$[S_y] = 10^{-10} \begin{pmatrix} 3,5 & 3,5 & 3,5 \\ 3,5 & 4,8 & 4,8 \\ 3,5 & 4,8 & 6 \end{pmatrix} \quad [S_x] = 10^{-10} \begin{pmatrix} 8,1 & 8,1 & 8,1 \\ 8,1 & 10,8 & 10,8 \\ 8,1 & 10,8 & 13,6 \end{pmatrix}$$

- Calculons la période d'oscillation dans le sens Transversal:

$$\{U_y\} = [S_y] \times \{F_a\}$$

$$\{U_y\} = 10^{-10} \times 10^5 \begin{pmatrix} 3,5 & 3,5 & 3,5 \\ 3,5 & 4,8 & 4,8 \\ 3,5 & 4,8 & 6 \end{pmatrix} \times \begin{pmatrix} 25,852 \\ 22,415 \\ 19,855 \end{pmatrix} = \begin{pmatrix} 2,38 \\ 2,93 \\ 3,17 \end{pmatrix} \cdot 10^{-3} [m].$$

Calculons la pulsation ω

$$\omega^2 = g \cdot \frac{\sum M_i g u_i}{\sum M_i g u_i^2}$$

$$\omega_1^2 = \frac{10 \times 10^4 \times 10 \times 10^{-3} \times (2,38 \times 25,852 + 2,93 \times 22,415 + 3,17 \times 19,855)}{10^4 \times 10 \times (25,852^2 + 22,415^2 + 19,855^2)} = 353 \text{ s}^{-2}$$

$$T_1 = \frac{2\pi}{\omega_1} = \frac{2 \times 3,14}{\sqrt{353}} = 0,334 \text{ s.} \quad \rightarrow T_1 = 0,334 \text{ s.}$$

- Calcul de $\{f_1\} = \omega_1^2 \times [m] \cdot \{u_1\}$.

$$\{f_1\} = 353 \times 10^4 \times 10^{-3} \times \begin{pmatrix} 25,852 & 0 & 0 \\ 0 & 22,415 & 0 \\ 0 & 0 & 19,855 \end{pmatrix} \times \begin{pmatrix} 2,38 \\ 2,93 \\ 3,17 \end{pmatrix} = \begin{pmatrix} 21,746 \\ 23,215 \\ 22,232 \end{pmatrix} \times 10^5$$

- 2^e itération:

- Calcul de $\{u_2\} = [S] \times \{f_1\}$.

$$\{u_2\} = 10^{-10} \times 10^5 \times \begin{pmatrix} 3,5 & 3,5 & 3,5 \\ 3,5 & 4,8 & 4,8 \\ 3,5 & 4,8 & 6 \end{pmatrix} \times \begin{pmatrix} 21,746 \\ 23,215 \\ 22,232 \end{pmatrix} = \begin{pmatrix} 2,352 \\ 2,943 \\ 3,209 \end{pmatrix} \times 10^{-3} [m].$$

$$\omega_2^2 = \frac{10 \times 10^4 \times 10 \times 10^{-3} (2,352 \times 25,852 + 2,943 \times 22,415 + 3,209 \times 19,855)}{10^4 \times 10 \times (25,852^2 + 22,415^2 + 19,855^2)} = 351,7 \text{ s}^{-2}$$

$$T_2 = \frac{2\pi}{\omega_2} = \frac{2 \times 3,14}{\sqrt{351,7}} = 0,335 \text{ s.} \quad \rightarrow T_2 = 0,335 \text{ s.}$$

- 3^e itération:

La 3^e itération a donné $T_3 = 0,334 \text{ s.}$

$$T = 0,334 \text{ s}$$

Calculons la période d'oscillation dans le sens longitudinal.

- $\{U_x\} = [S_x] \times \{f_a\}$

$$\{U_1\} = 10^{-10} \times 10^5 \times \begin{pmatrix} 8,1 & 8,1 & 8,1 \\ 8,1 & 10,8 & 10,8 \\ 8,1 & 10,8 & 13,6 \end{pmatrix} \times \begin{pmatrix} 25,852 \\ 22,415 \\ 19,855 \end{pmatrix} = \begin{pmatrix} 5,52 \\ 6,66 \\ 7,17 \end{pmatrix} \cdot 10^{-3} [m].$$

$$\omega_1^2 = \frac{10 \times 10^4 \times 10 \times 10^{-3} \times (5,52 \times 25,852 + 6,66 \times 22,415 + 7,17 \times 19,855)}{10^4 \times 10^1 \times (5,52^2 \times 25,852 + 6,66^2 \times 22,415 + 7,17^2 \times 19,855)} = 155.$$

$$T_1 = \frac{2\pi}{\omega_1} = \frac{2 \times 3,14}{\sqrt{155}} \rightarrow T_1 = 0,505 \text{ s.}$$

Calcul de $\{f_1\} = \omega_1^2 \times [M] \times \{U_1\}$.

- $\{f_1\} = 155 \times 10^4 \times 10^{-3} \times \begin{pmatrix} 25,852 & 0 & 0 \\ 0 & 22,415 & 0 \\ 0 & 0 & 19,855 \end{pmatrix} \times \begin{pmatrix} 5,52 \\ 6,66 \\ 7,17 \end{pmatrix} = \begin{pmatrix} 22,111 \\ 23,135 \\ 22,081 \end{pmatrix} \cdot 10^5$

• 2^e iteration:

Calcul de $\{U_2\} = [S] \times \{f_1\}$.

$$\{U_2\} = 10^{-10} \times 10^5 \times \begin{pmatrix} 8,1 & 8,1 & 8,1 \\ 8,1 & 10,8 & 10,8 \\ 8,1 & 10,8 & 13,6 \end{pmatrix} \times \begin{pmatrix} 22,111 \\ 23,135 \\ 22,081 \end{pmatrix} = \begin{pmatrix} 5,45 \\ 6,67 \\ 7,25 \end{pmatrix} \cdot 10^{-3} [m]$$

$$\omega_2^2 = \frac{10 \times 10^4 \times 10 \times 10^{-3} (5,45 \times 25,852 + 6,67 \times 22,415 + 7,25 \times 19,855)}{10^4 \times 10 \times (5,45^2 \times 25,852 + 6,67^2 \times 22,415 + 7,25^2 \times 19,855)} = 154,58^2$$

$$T_2 = \frac{2\pi}{\omega_2} = \frac{2 \times 3,14}{\sqrt{154,58}} \rightarrow T_2 = 0,502 \text{ s.}$$

• La 3^e iteration

La 3^e iteration a donné $T = 0,503 \text{ s.}$

• 4^e iteration

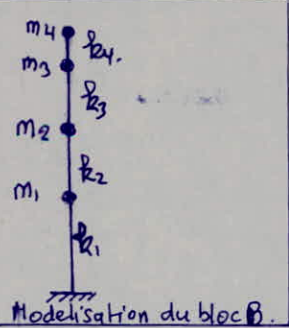
La 4^e iteration a donné $T = 0,502 \text{ s.}$

$T = 0,502 \text{ s.}$

• En résumé

Sens transversal : $T = 0,334 \text{ s}$
Sens longitudinal : $T = 0,502 \text{ s}$

BLOC B.



les masses des différents planchers sont :

$$m_1 = 27,98 \cdot 10^4 \text{ kg.}$$

$$m_2 = 22,77 \cdot 10^4 \text{ kg.}$$

$$m_3 = 21,53 \cdot 10^4 \text{ kg.}$$

$$m_4 = 4,17 \cdot 10^4 \text{ kg.}$$

$[M]$ = Matrice des masses

$[M]$ en kg.

$$[M] = \begin{pmatrix} 27,98 & 0 & 0 & 0 \\ 0 & 22,77 & 0 & 0 \\ 0 & 0 & 21,53 & 0 \\ 0 & 0 & 0 & 4,17 \end{pmatrix} \times 10^4$$

Modélisation du bloc B.

BLOC B

		RIGIDITÉS HORIZONTALES.					
Niveau	Poteau	Sens transversal			Sens longitudinal		
		$I \times 10^{-4}$ cm ⁴	$K \cdot 10^{-4}$ kg/cm	$\sum K \cdot 10^4$ kg/cm	$I \times 10^{-4}$ cm ⁴	$K \cdot 10^{-4}$ kg/cm	$\sum K \cdot 10^4$ kg/cm
4 ^m 59	30x50	31,25	1,357	K ₁	11,25	0,489	K ₁ -12,417
	30x40	16.	0,695	27,957	9	0,391	
	30x30	6,75	0,293		6,75	0,293	
7 ^m 65	30x50	31,25	4,581	K ₂	11,25	1,649	K ₂ 38,581
	30x40	16	2,345	80,801	9	1,319	
	30x30	6,75	0,989		6,75	0,989	
10 ^m 65	30x50	31,25	4,861	K ₃	11,25	1,750	K ₃ 40,950
	30x40	16	2,489	85,173	9	1,400	
	30x30	6,75	1,050		6,75	1,050	
13 ^m 71	30x50	31,25	4,581	K ₄	11,25	1,649	K ₄ 10,552
	30x40	16	2,345	20,520	9	1,319	
	30x30	6,75	0,989		6,75	0,989	

- Matrices de Rigidités du système dans les 2 sens. $[K]$ en (kg/cm).
- Sens x : Sens longitudinal
- Sens y : Sens transversal.

$$[K_x] = \begin{pmatrix} 50,998 & -38,581 & 0 & 0 \\ -38,581 & 79,531 & -49,950 & 0 \\ 0 & -49,950 & 51,502 & -10,552 \\ 0 & 0 & -10,552 & 10,552 \end{pmatrix} \times 10^4 ; [K_y] = \begin{pmatrix} 108,158 & -80,801 & 0 & 0 \\ -80,801 & 165,974 & -85,173 & 0 \\ 0 & -85,173 & 105,693 & -20,520 \\ 0 & 0 & 20,520 & 20,520 \end{pmatrix}$$

où $[K]$ s'écrit sous la forme: $[K] = \begin{pmatrix} K_{11}+K_{22} & -K_2 & 0 & 0 \\ -K_2 & K_{22}+K_{33} & -K_3 & 0 \\ 0 & -K_3 & K_{33}+K_{44} & -K_4 \\ 0 & 0 & -K_4 & K_4 \end{pmatrix}$

Dans le système [MKSA] on a: $[K] = [10^3 \cdot \frac{N}{m}] = [\frac{kg}{cm}]$

- Calculons les déplacements des différents planchers du BLOC B dans les 2 sens.

$$\{u\} = [S] \cdot \{f_a\}, \quad [S] = [10^{-3} \cdot \frac{m}{N}] = \left[\frac{cm}{kg}\right]$$

$$[S_x] = 10^{-10} \times \begin{pmatrix} 8,05 & 8,1 & 8,1 & 8,1 \\ 8,05 & 10,65 & 10,65 & 10,65 \\ 8,05 & 10,65 & 13,09 & 13,09 \\ 8,05 & 10,65 & 13,09 & 22,56 \end{pmatrix}; [S_y] = 10^{-10} \times \begin{pmatrix} 3,7 & 3,7 & 3,7 & 3,7 \\ 3,7 & 4,9 & 4,9 & 4,9 \\ 3,7 & 4,9 & 6,1 & 6,1 \\ 3,7 & 4,9 & 6,1 & 10,9 \end{pmatrix}$$

- Calculons la période d'oscillation dans les 2 sens

$$\{u\} = [S] \times \{f_a\}.$$

- Calcul de la période d'oscillation dans le sens transversal.

$$\{U_1\} = [S] \cdot \{f_1\}$$

$$\{U_1\} = 10^{-10} \times 10^5 \times \begin{pmatrix} 3,7 & 3,7 & 3,7 & 3,7 \\ 3,7 & 4,9 & 4,9 & 4,9 \\ 3,7 & 4,9 & 6,1 & 6,1 \\ 3,7 & 4,9 & 6,1 & 10,9 \end{pmatrix} \times \begin{pmatrix} 27,98 \\ 22,77 \\ 21,53 \\ 4,17 \end{pmatrix} = \begin{pmatrix} 2,79 \\ 3,39 \\ 3,70 \\ 3,90 \end{pmatrix} \cdot 10^{-3} \text{ m.}$$

$$\omega_1^2 = \frac{10 \times 10^4 \times 10 \times 10^{-3} \times (2,79 \times 27,98 + 3,39 \times 22,77 + 3,70 \times 21,53 + 3,90 \times 4,17)}{10^4 \times 10 \times (2,79^2 \times 27,98 + 3,39^2 \times 22,77 + 3,70^2 \times 21,53 + 3,90^2 \times 4,17)} = 299,45^2$$

$$T_1 = \frac{2\pi}{\omega_1} = \frac{2 \times 3,14}{\sqrt{299,4}} = 0,363 \text{ s} \quad \longrightarrow T_1 = 0,363 \text{ s.}$$

Calcul de $\{f_1\} = \omega_1^2 \times [M] \times \{U_1\}$.

$$\{f_1\} = 299,4 \times 10^4 \times 10^{-3} \times \begin{pmatrix} 27,98 & 0 & 0 & 0 \\ 0 & 22,77 & 0 & 0 \\ 0 & 0 & 21,53 & 0 \\ 0 & 0 & 0 & 4,17 \end{pmatrix} \times \begin{pmatrix} 2,79 \\ 3,39 \\ 3,70 \\ 3,90 \end{pmatrix} = \begin{pmatrix} 23,43 \\ 23,17 \\ 23,85 \\ 4,87 \end{pmatrix} \times 10^5$$

• 2^e itération:

Calcul de $\{U_2\} = [S] \cdot \{f_1\}$.

$$\{U_2\} = 10^{-10} \times 10^5 \times \begin{pmatrix} 3,7 & 3,7 & 3,7 & 3,7 \\ 3,7 & 4,9 & 4,9 & 4,9 \\ 3,7 & 4,9 & 6,1 & 6,1 \\ 3,7 & 4,9 & 6,1 & 10,9 \end{pmatrix} \times \begin{pmatrix} 23,43 \\ 23,17 \\ 23,85 \\ 4,87 \end{pmatrix} = \begin{pmatrix} 2,78 \\ 3,41 \\ 3,75 \\ 3,99 \end{pmatrix} \cdot 10^{-3}.$$

$$\omega_2^2 = \frac{10 \times 10^4 \times 10 \times 10^{-3} \times (2,78 \times 27,98 + 3,41 \times 22,77 + 3,75 \times 21,53 + 3,99 \times 4,17)}{10^4 \times 10 \times (2,78^2 \times 27,98 + 3,41^2 \times 22,77 + 3,75^2 \times 21,53 + 3,99^2 \times 4,17)} = 297,05^2$$

$$T_2 = \frac{2\pi}{\omega_2} = \frac{2 \times 3,14}{\sqrt{297,05}} = 0,365 \text{ s.} \quad \longrightarrow T_2 = 0,365 \text{ s.}$$

• 3^e itération

$$T_3 = 0,364 \text{ s.}$$

$$T = 0,364 \text{ s.}$$

- Calcul de la période d'oscillation dans le sens longitudinal.

$$\{U_1\} = 10^{-10} \times 10^5 \times \begin{pmatrix} 8,05 & 8,1 & 8,1 & 8,1 \\ 8,05 & 10,65 & 10,65 & 10,65 \\ 8,05 & 10,65 & 13,09 & 13,09 \\ 8,05 & 10,65 & 13,09 & 22,56 \end{pmatrix} \times \begin{pmatrix} 27,98 \\ 22,77 \\ 21,53 \\ 4,17 \end{pmatrix} = \begin{pmatrix} 6,15 \\ 7,41 \\ 8,04 \\ 8,43 \end{pmatrix} \cdot 10^{-3} \text{ m.}$$

$$\omega_1^2 = \frac{10 \times 10^4 \times 10 \times 10^{-3} \times (6,15 \times 27,98 + 7,41 \times 22,77 + 8,04 \times 21,53 + 8,43 \times 4,17)}{10^4 \times 10 \times (6,15^2 \times 27,98 + 7,41^2 \times 22,77 + 8,04^2 \times 21,53 + 8,43^2 \times 4,17)} = 137,4 \text{ s}^{-2}$$

$$T_1 = \frac{2\pi}{\omega_1} = \frac{2\pi}{\sqrt{137,4}} = 0,536 \text{ s} \quad \longrightarrow T_1 = 0,536 \text{ s.}$$

Calcul de $\{f_1\} = \omega_1^2 \times [M] \times \{U_1\}$

$$\{f_1\} = 137,4 \times 10^4 \times 10^{-3} \times \begin{pmatrix} 27,98 & 0 & 0 & 0 \\ 0 & 22,77 & 0 & 0 \\ 0 & 0 & 21,53 & 0 \\ 0 & 0 & 0 & 4,17 \end{pmatrix} \times \begin{pmatrix} 6,15 \\ 7,41 \\ 8,04 \\ 8,43 \end{pmatrix} = \begin{pmatrix} 23,650 \\ 23,186 \\ 23,778 \\ 4,831 \end{pmatrix}$$

• 2^e itération:

Calcul de $\{U_2\} = [S] \cdot \{f_i\}$.

$$\{U_2\} = 10^{-10} \times 10^5 \times \begin{pmatrix} 8,05 & 8,1 & 8,1 & 8,1 \\ 8,05 & 10,65 & 10,65 & 10,65 \\ 8,05 & 10,65 & 13,09 & 13,09 \\ 8,05 & 10,65 & 13,09 & 22,56 \end{pmatrix} \times \begin{pmatrix} 27,98 \\ 22,77 \\ 21,53 \\ 4,17 \end{pmatrix} = \begin{pmatrix} 6,07 \\ 7,42 \\ 8,12 \\ 8,57 \end{pmatrix} \cdot 10^{-3}$$

$$\omega_2^2 = \frac{10 \times 10^4 \times 10 \times 10^{-3} \times (6,07 \times 27,98 + 7,42 \times 22,77 + 8,12 \times 21,53 + 8,57 \times 4,17)}{10^4 \times 10 \times (6,07^2 \times 27,98 + 7,42^2 \times 22,77 + 8,12^2 \times 21,53 + 8,57^2 \times 4,17)} = 136,97^2$$

$$T_2 = \frac{2\pi}{\omega_2} = \frac{2 \times 3,14}{\sqrt{136,9}} = 0,537 \text{ s.}$$

- 3^{ème} iteration

$$T_3 = 537.$$

$$T = 0,537 \text{ s.}$$

- En résumé

Sens transversal : T = 0,364 s
Sens longitudinal : T = 0,537 s

• Action Séismique:

Calcul de la force séismique minimale (formule de base) (Art3 Chap3.91_RP08)
Tout bâtiment sera conçu et construit pour résister aux forces séismiques horizontales agissant non simultanément dans la direction de chacun des axes principaux de la structure, conformément à la formule:

$$V = A \cdot D \cdot B \cdot Q \cdot W$$

A: coefficient d'accélération des zones

D: facteur d'amplification dynamique Moyen

B: facteur de comportement de la structure

Q: facteur de Qualité.

W: Poids total de la structure.

Détermination des coefficients A, D, B, Q, W.

• Coefficient d'accélération des zones: A.

Dépend du groupe d'usage et de la zone séismique.

Bâtiment touristique en Zone II $\rightarrow A = 0.15$.

• Facteur d'amplification dynamique Moyen : D

Déterminé d'après le type de sol en fonction de la période T du bâtiment.

La période T est déterminée dans les 2 sens par le calcul dynamique pour le bloc A et pour le bloc B.

• BLOCA :

$$T(\text{transversal}) = 0,334 \text{ s}$$

$$T(\text{longitudinal}) = 0,509 \text{ s}.$$

• BLOC B :

$$T(\text{transversal}) = 0,364 \text{ s}$$

$$T(\text{longitudinal}) = 0,537 \text{ s}.$$

Le sol est un sol meuble

La figure 4 dans le même chapitre donne la valeur de D en fonction de T

BLOC A

$$T = 0,334 \rightarrow D = 2$$

$$T = 0,509 \rightarrow D = 2.$$

BLOC B

$$T = 0,364 \rightarrow D = 2$$

$$T = 0,537 \rightarrow D = 1,93.$$

• facteur de Comportement de la Structure : B.

Dépend du type et de la nature du contreventement de la structure
Pour une ossature constituée uniquement de poutres et de poteaux capables de reprendre la totalité de l'effort dû aux charges horizontales et verticales.
 $\rightarrow B = 1/4$.

• facteur de Qualité : Q.

Le facteur de qualité du système de contreventement d'une structure donnée est fonction de l'hyperstatisme et de la surabondance du système de ses symétries en plan, de sa régularité en élévation et du contrôle pendant la construction.

$$Q = 1 + \sum_{q=1}^6 Pq$$

Pq est la penalité qui dépend de l'observation ou non du critère de qualité q .

1. Conditions minimales des files porteuses:

Sens transversal : 3 travées dont le rapport $\frac{L_{\max}}{L_{\min}} = \frac{3,40}{3,20} = 1,06 < 1,5$.

Sens longitudinal : 6 travées dont le rapport $\frac{L_{\max}}{L_{\min}} = \frac{3,20}{3,20} = 1 < 1,5$.
 $Pq_1 = 0$.

2. Surabondance en plan:

Sens transversal : 7 portiques

Sens longitudinal : 4 portiques
 $Pq_2 = 0$.

3. Symétrie en plan:

L'excentricité entre le centre de gravité et le centre de rigidité à l'étage considéré est inférieure à l'excentricité accidentelle prise par le RPA.
 $Pq_3 = 0$.

4. Regularité en élévation:

A chaque étage, la rigidité totale en translation et la rigidité totale en torsion ne doivent pas varier de plus de 15% par rapport aux rigidités en translation et torsion des étages qui lui sont adjacents.
 - Critère non observé

$$Pq_4 = 0,1.$$

5. Contrôle de la qualité des matériaux

- Critère non observé

$$Pq_5 = 0,1.$$

6. Contrôle de la qualité de la construction

- Critère non observé

$$Pq_6 = 0,1.$$

Valeur de Q :

Q dans le sens transversal : $Q = 1,3$

Q dans le sens longitudinal : $Q = 1,3$.

• Poids total de la structure: W .

de poids de la structure a été déterminé précédemment dans le calcul dynamique :

BLOC A : 949,4t

BLOC B : 978,2t

NB: Pour le calcul de W on a pris la totalité des charges permanentes ainsi que la moitié des surcharges d'exploitation (cas de l'hôtellerie).

• Force Séismique latérale : V"

$$V = A \cdot D \cdot B \cdot Q \cdot W$$

• BLOC A :

$$\text{Sens transversal : } V_y = 0,15 \times 2 \times 1/4 \times 1,3 \times 949,4 = 92,65$$

$$\text{Sens longitudinal : } V_x = 0,15 \times 2 \times 1/4 \times 1,3 \times 949,4 = 92,65$$

• BLOC B :

$$\text{Sens transversal : } V_y = 0,15 \times 2 \times 1/4 \times 1,3 \times 978,2 = 95,45$$

$$\text{Sens longitudinal : } V_x = 0,15 \times 1,93 \times 1/4 \times 1,3 \times 978,2 = 92,05$$

• Distribution des forces latérales (Art 333 RAA 81).

La force latérale V doit être distribuée sur la hauteur de la structure selon la formule : $V = f_t + \sum_{i=1}^n f_i$.

f_t = force concentrée au sommet de la structure. $f_t = 0,07 T \cdot V$
 $f_t \leq 0,25 V$.

$f_t = 0$ si $T \leq 0,75$.

Dans le cas de notre bâtiment $T < 0,75$ alors $f_t = 0$.
la force V sera donc répartie sur la hauteur de la structure et suivant la formule

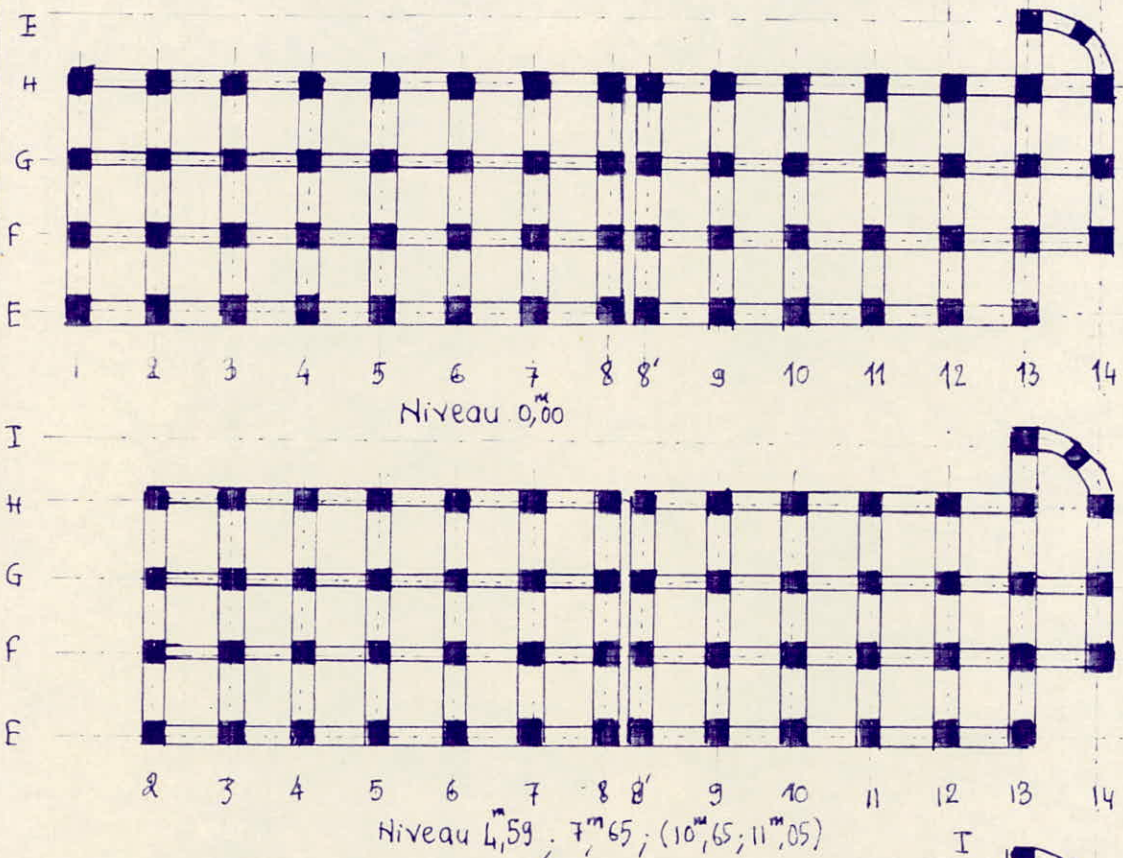
$$f_j = \frac{V \cdot w_j \cdot h_j}{\sum w_j \cdot h_j}$$

f_j = effort horizontal au niveau j .

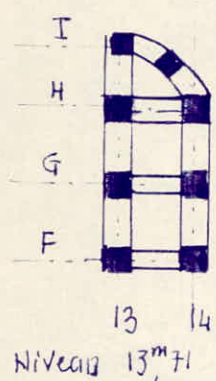
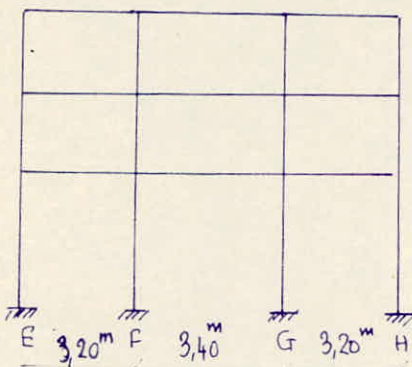
A chaque niveau désigné par j , la force f_j doit être répartie sur la surface du bâtiment en accord avec la distribution des masses à ce niveau.

BLOC	Niveau	$w_j(t)$	$h_j(m)$	$w_j h_j (t \cdot m)$	$f_{jx}(t)$	$f_{jx}^c(t)$	$f_{jy}(t)$	$f_{jy}^c(t)$
BLOC A	10 ^m 65	198,5	10,65	2114,02	38,64	38,64	38,64	38,64
	7 ^m 65	224,1	7,65	1712,36	31,66	30,30	31,66	30,30
	4 ^m 59	258,5	4,59	1186,51	22,38	92,6	22,38	92,6
	Σ			5014,89				
BLOC B	13 ^m 71	41,7	13,71	531,7	8,94	8,94	9,26	9,26
	10 ^m 65	215,3	10,65	2292,9	35,82	44,76	37,12	46,46
	7 ^m 65	227,7	7,65	1741,9	27,21	71,97	28,20	74,66
	4 ^m 59	279,8	4,59	1284,9	20,06	92,03	20,79	95,4
	Σ			5890,8				

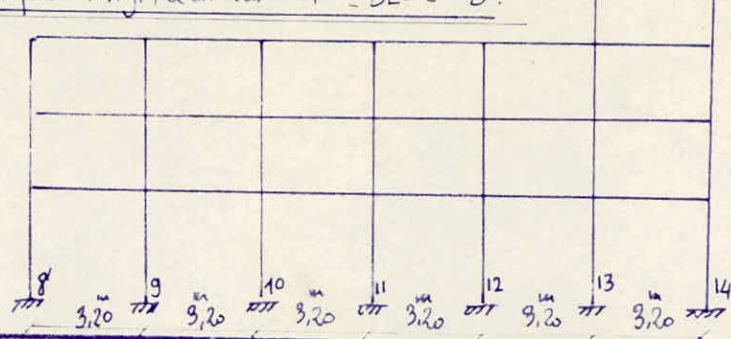
Vue en plan des BLOCS A et B.



Schemma du portique transversal intermédiaire BLOC A



Schemma du portique longitudinal G BLOC B.



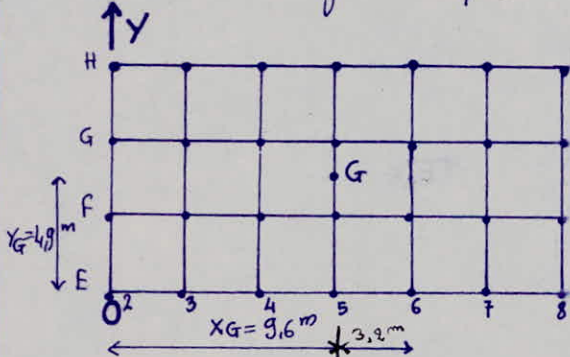
• Etude de la torsion:

Recherche du centre de torsion pour chaque étage.

• BLOA

Recherche du centre de gravité.

Tous les éléments du bloc sont parfaitement symétriques à tous les niveaux donc le centre de gravité de la structure se confond avec le centre géométrique.



• Coordonnées du centre de torsion:

$$X_T = \frac{\sum I_{xi} \cdot x_i}{\sum I_{xi}}$$

$$Y_T = \frac{\sum I_{yi} \cdot y_i}{\sum I_{yi}}$$

I_{xi} = Moment d'inertie du poteau considéré par rapport à x

I_{yi} = Moment d'inertie du poteau considéré par rapport à y .

(x_i, y_i) coordonnées du poteau considéré par rapport à 0.

$$X_T = \frac{(6,75 + 31,25) \cdot 10^{-4} \cdot (0 + 3,2 + 6,4 + 9,6 + 12,8 + 16 + 19,2)}{7 \times 2 \times (6,75 + 31,25) \cdot 10^{-4}} = 9,6 \text{ m}$$

$$Y_T = \frac{7 \times 11,25 \cdot 10^{-4} \times (0 + 9,8) + 7 \times 6,75 \cdot 10^{-4} \times (3,2 + 6,4)}{7 \times 2 \times (11,25 + 6,75) \cdot 10^{-4}} = 4,9 \text{ m}$$

Le centre de gravité coïncide donc avec le centre de torsion et cela pour chaque plancher. Toutefois il nous faudra considérer une torsion accidentelle donnée par le RPA 81.

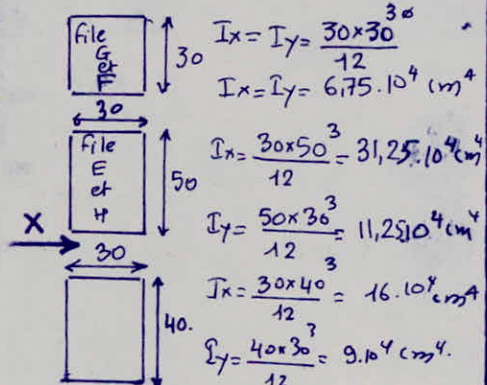
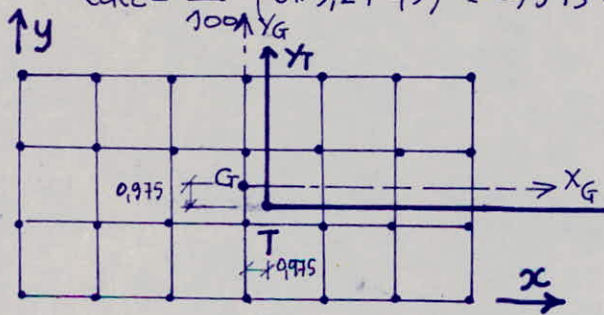
Torsion accidentelle (Art 335 - RPA 81).

d'excentricité accidentelle $e = CG = 5\% L$

L: plus grande dimension ou du bâtiment.

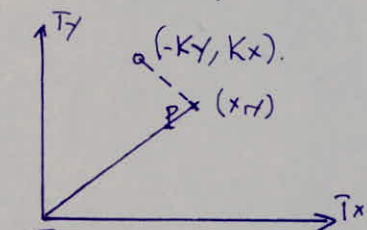
$$e_{acc} = \frac{5}{100} (6 \times 3,2 + 9,3) = 0,975 \text{ m.}$$

$$e_{acc} = 0,975 \text{ m.}$$



• Effet de la torsion.

L'effet d'un couple de torsion d'axe vertical passant par T se réduit à une rotation du plancher autour du point T. Les poteaux sont alors sollicités en flexion deviée.



de déplacement subi par la tête du poteau P(x, y) a pour coordonnées $-Ky$ et Kx .

K étant une constante de proportionnalité.

I_x : Moment d'inertie / T_x

I_y : Moment d'inertie / T_y .

des actions horizontales correspondantes à ces déplacements sont:

$$\left\{ \begin{array}{l} F_x = -K I_y \cdot y = -\frac{M}{\sum I_x^2 + \sum I_y^2} I_y \cdot y \\ F_y = -K \cdot I_x \cdot x = \pm \frac{M}{\sum I_x^2 + \sum I_y^2} \cdot I_x \cdot x \end{array} \right. \quad K = \frac{M}{\sum I_x \cdot x^2 + \sum I_y \cdot y^2}$$

Calcul de la qualité $\sum I_x \cdot x^2 + \sum I_y \cdot y^2$ pour chaque niveau:

Niveau 10^m, 75 et Niveau 7^m, 65.

$$\sum I_x \cdot x^2 = 2x [31,25 + 6,75] \times 10^{-4} x [10,575^2 + 7,375^2 + 4,175^2 + 0,975^2 + 2,225^2 + 5,425^2 + 8,625^2] = 2,229 \text{ m}^6$$

$$\sum I_y \cdot y^2 = 7 \times [11,25 \times 10^{-4} x (5,875^2 + 3,925^2) + 7 \times (6,75 \cdot 10^{-4}) \times (2,625^2 + 0,725^2)] = 0,429 \text{ m}^6.$$

$$\sum I_x \cdot x^2 + \sum I_y \cdot y^2 = 2,659 \text{ m}^6.$$

Niveau 4^m, 59.

$$\sum I_x \cdot x^2 = 2x(31,25 + 16) \cdot 10^{-4} x 293,374 = 2,77 \text{ m}^6.$$

$$\sum I_y \cdot y^2 = 7 \times 11,25 \times 10^{-4} x (3,925^2 + 5,875^2) + 7 \times 9x(0^{-4} x (2,625^2 + 0,725^2)) = 0,441 \text{ m}^6.$$

$$\sum I_x \cdot x^2 + \sum I_y \cdot y^2 = 3,214 \text{ m}^6.$$

Le calcul de K est porté directement dans le tableau ci-après.

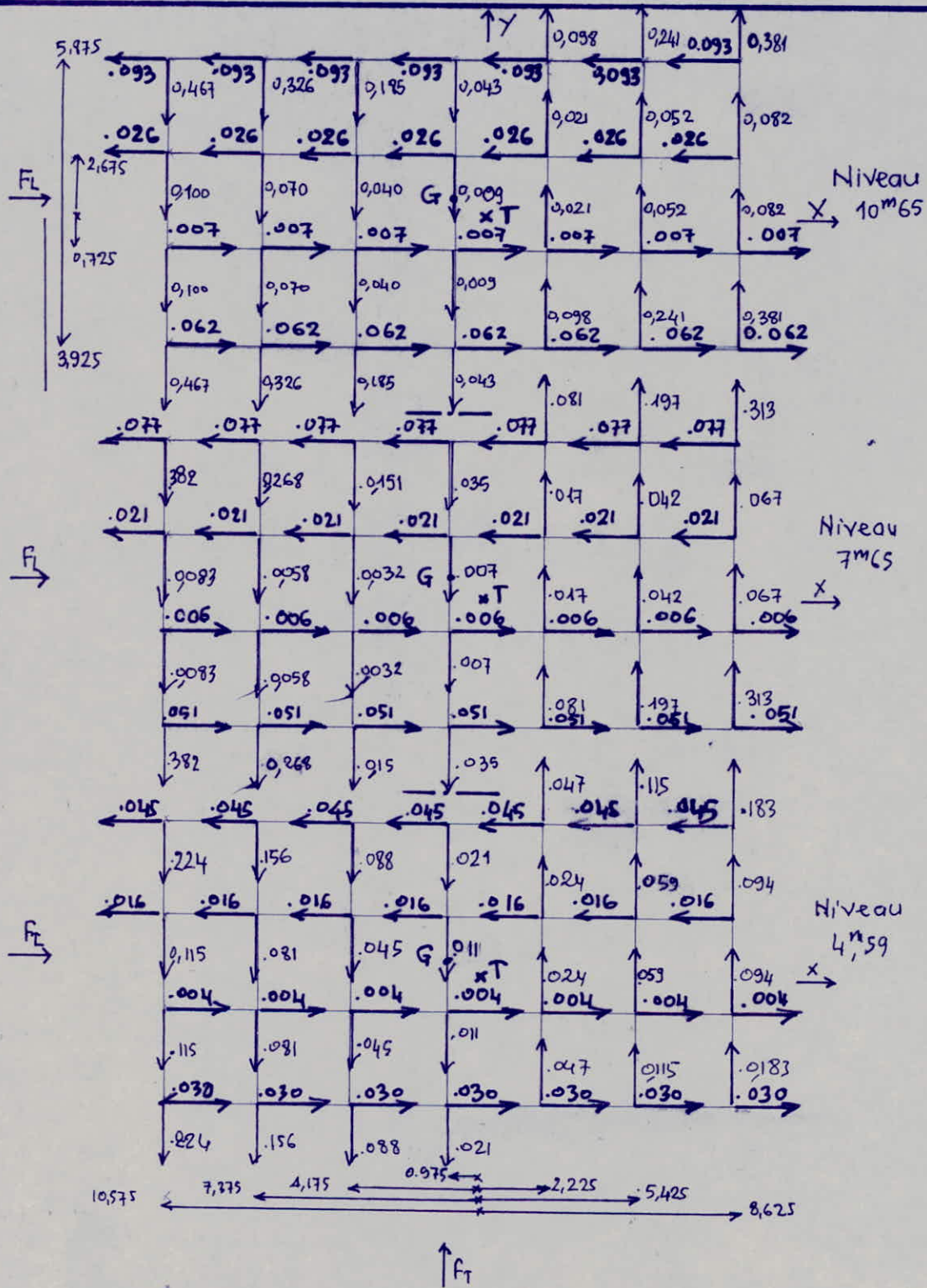
Niveau	$f_{HL} = f_{HT}(t)$	$\ell_{acc}(m)$	$M_f(t, m)$	$\sum I_x^2 + \sum I_y^2$ (m^2)	K
10 ^m 65	38,6	0,975	37,635	2,659	14,154
7 ^m 65	31,7	0,975	30,908	2,659	11,624
4 ^m 59	22,4	0,975	21,840	3,214	6,795

Les forces additionnelles pour un poteau i (forces dues à la torsion) sont:

$$\left\{ \begin{array}{l} F_{xi} = -K I_{yi} \cdot y_i \\ F_{yi} = +K I_{xi} \cdot x_i \end{array} \right.$$

Ces forces sont représentées pour chaque poteau et pour chaque niveau dans les schémas qui suivent.

NB: Le RPA81 préconise de négliger les efforts tranchants négatifs dus à la torsion (Art 335 - RPA 81).



NB: Ces efforts tranchants des poteaux dûs à la Torsion seront ajoutés aux forces sismiques.

BLOC B:

Recherche du centre de torsion.

On calculera le centre de torsion grâce à la méthode de MUTO ultérieurement.

CHAPTER 5

FORCES'

HORIZONTILES'

Calcul des efforts dans les portiques

sous charges horizontales

Introduction:

Il existe plusieurs méthodes de calcul des efforts dans les portiques sous charges horizontales. Il y a des méthodes exactes et d'autres approchées. Dans le souci d'utiliser plusieurs méthodes, on calculera les efforts dans notre structure avec deux méthodes.

BLOC A: Méthode de Bowman - présentée par M^e Albert FUENTES dans son ouvrage: Calcul pratique des ossatures en BA.

BLOC B: Méthode de Muto - présentée dans les bulletins du C.T.C.

Exposé de la méthode de BOWMAN.

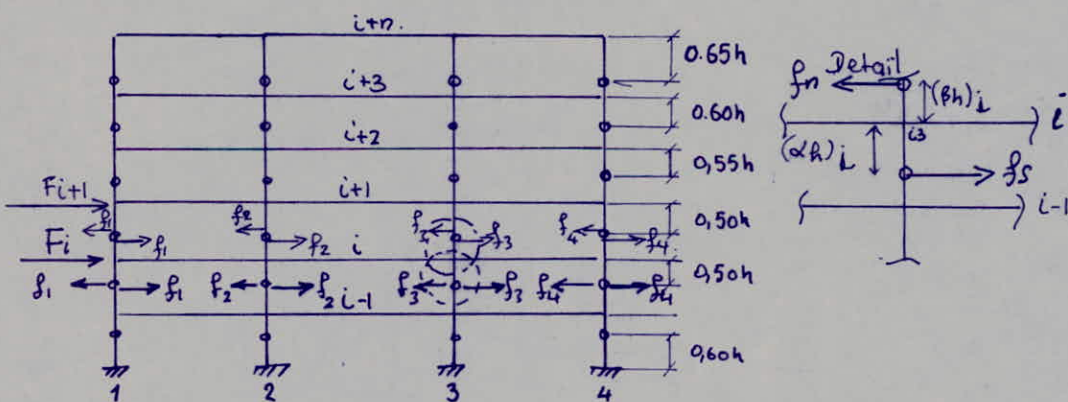
Hypothèses de calcul:

- des poteaux d'un même étage ont la même hauteur
- des raideurs des différentes travées de poutres porteuses parallèles aux forces appliquées, et solidarités des poteaux, soient toutes supérieures au cinquième de la raideur du poteau le plus raide.

On admet alors que:

les forces horizontales agissant sur une file de poteaux se répartissent entre les différents poteaux de cette file proportionnellement aux moments d'inertie des dits poteaux. Les moments d'inertie des poteaux de rive étant affectés d'un coefficient égal à 0,8.

Les poteaux des étages courants sont encastrés au niveau des planchers et articulés comme l'indique le schéma suivant:



Soient $f_i, f_{i+1}, f_{i+2}, \dots, f_{i+n}$ les forces horizontales agissant au niveau de chaque plancher, l'effort qu'il ya lieu de repartir entre les poteaux supportant le niveau i .

$$\sum f_i = f_i + f_{i+1} + f_{i+2} + \dots + f_{i+n}$$

Cette force se répartira entre les poteaux de ce niveau i de la manière suivante:

$$F_i = \frac{\sum f_i \times 0,8I}{0,8I_1 + I_2 + I_3 + \dots + I_{n-1} + 0,8I_n}$$

$$F_2 = \frac{\sum F_i \times I_2}{0,8I_1 + I_2 + \dots + I_{n-1} + 0,8I_n}$$

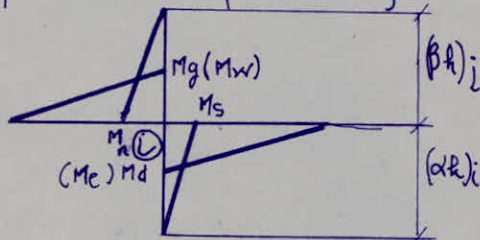
$$F_i = \frac{\sum F_i \times I_i}{0,8I_1 + I_2 + \dots + I_{n-1} + 0,8I_n}$$

$$F_n = \frac{\sum F_i \times 0,8I_n}{0,8I_1 + I_2 + \dots + I_{n-1} + 0,8I_n}$$

Ces forces engendrent en tête et à la base des poteaux. Nous avons pour un noeud du niveau i

$$\left\{ \begin{array}{l} M_n = f_n \cdot (\beta h)_i \\ M_s = f_s \cdot (\alpha h)_i \end{array} \right.$$

- Au droit d'un noeud il sera possible de calculer les moments dans les poutres aboutissant à ce noeud en fonction des moments M_n et M_s obtenus respectivement pour les poteau supérieur et le poteau inférieur correspondant à ce noeud.



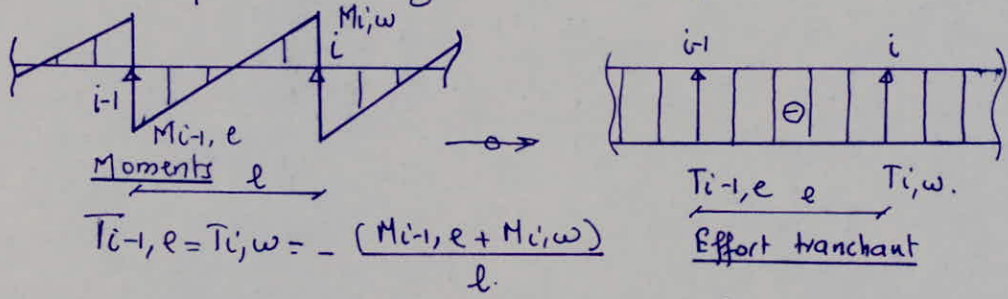
$$M_e = (M_n + M_s) \times \frac{K_e}{K_e + K_w}$$

$$M_w = (M_n + M_s) \times \frac{K_w}{K_w + K_e}$$

K_e, K_w Rigidités (I/e) des poutres aboutissant au noeud.

des efforts franchants dans les poutres sont déterminés tenant compte des moments de continuité dans les poutres calculés ci-dessus.

S'il a force seismique est de gauche à droite:



Le poteau auquel aboutissent les poutres du niveau ① subira un effort normal N_i

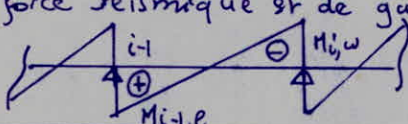
$$N_i = T_{i,e} - T_{i,w} . T_{i,e}, T_{i,w} \text{ pris en valeurs algébriques}$$

$N_i > 0 \rightarrow$ poteau comprimé

$N_i < 0 \rightarrow$ poteau tendu.

Cette méthode sera donc appliquée au bloc A, les phases de calcul seront présentées ultérieurement.

- Le moment en travee de la poutre $i-1, i$ est égal à $M_t = \frac{M_{i-1,e} - M_{i,w}}{2}$ (Si la force seismique est de gauche à droite).



$$M_t = M(l/2) = \frac{M_{i-1,e} - M_{i,w}}{2}$$

BLOC A - Portique transversal

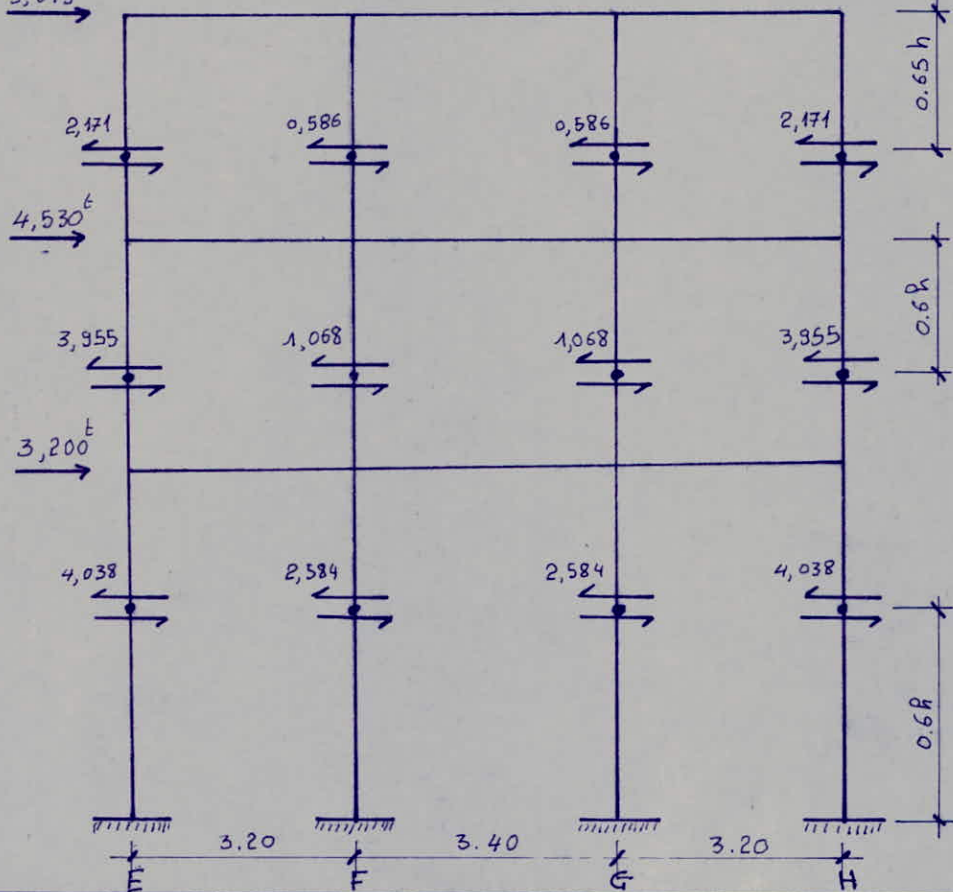
Distribution de la force sismique de niveau par file de poteaux

niveau	Portique transversal		Portique longitudinal E et H		Portique longitudinal F et G		
	Force de niveau (t)	Imertie de la file (m^4)	Force / file (t)	Imertie de la file (m^4)	Force / file (t)	Imertie de la file (m^4)	Force / file (t)
3	38,6	$76 \cdot 10^{-4}$	5,515	$78,75 \cdot 10^{-4}$	12,063	$47,25 \cdot 10^{-4}$	7,238
2	31,7	$76 \cdot 10^{-4}$	4,530	$78,75 \cdot 10^{-4}$	9,906	$47,25 \cdot 10^{-4}$	5,944
1	22,4	$94,5 \cdot 10^{-4}$	3,200	$78,75 \cdot 10^{-4}$	6,222	$63,00 \cdot 10^{-4}$	4,978

Distribution de la force revenant à la file aux poteaux de celles-ci

Articulation entre niveaux	$\sum F_d = \text{force/gile cumulée (t)}$	Imertie du Pot I_E = I_H (m^4)	Imertie du Pot I_F = I_G (m^4)	Force dans Pot E et H (t)	Force dans Pot F et G
2-3	5,515	$31,25 \cdot 10^{-4}$	$6,75 \cdot 10^{-4}$	2,171	0,586
-1-2	10,045	$31,25 \cdot 10^{-4}$	$6,75 \cdot 10^{-4}$	3,955	1,068
0-1	13,245	$31,25 \cdot 10^{-4}$	$16,00 \cdot 10^{-4}$	4,038	2,584

forces agissant aux points de moment nul du portique transversal



BLOC A → Portique transversal

Determination des Moments à la tête et à la base
des poteaux

niveau	αh (m)	βh (m)	ncoud moment	E	F	G	H
3	1,95		Mn (t.m)				
	1,95		Ms (t.m)	4,233	1,143	1,143	4,233
2	1,84	1,05	Mn (t.m)	2,280	0,615	0,615	2,280
	1,84	1,05	Ms (t.m)	7,261	1,961	1,961	7,261
1	1,84	1,22	Mn (t.m)	4,841	1,307	1,307	4,841
	1,84	1,22	Ms (t.m)	7,430	4,755	4,755	7,430
0		2,76	Mn (t.m)	11,145	7,132	7,132	11,145
		2,76	Ms (t.m)				

Moments aux appuis des poutres

niveau	ncoud	$M_n + M_s$ (t.m)	$K_w \cdot 10^4$ (m^3)	$K_e \cdot 10^4$ (m^3)	$(K_w + K_e) \times 10^4$ (m^3)	M_w (t.m)	M_e (t.m)
3	E	4,233		5,714	5,714		4,233
	F	1,143	5,714	5,161	10,875	0,601	0,542
	G	1,143	5,161	5,714	10,875	0,542	0,601
	H	4,233	5,714		5,714	4,233	
2	E	9,541		5,714	5,714		9,541
	F	2,576	5,714	5,161	10,875	1,353	1,223
	G	2,576	5,161	5,714	10,875	1,223	1,353
	H	9,541	5,714		5,714	9,541	
1	E	12,271		5,818	5,818		12,271
	F	6,062	5,818	5,333	11,151	3,163	2,899
	G	6,062	5,333	5,818	11,151	2,899	3,163
	H	12,271	5,818		5,818	12,271	
0	E						
	F						
	G						
	H						

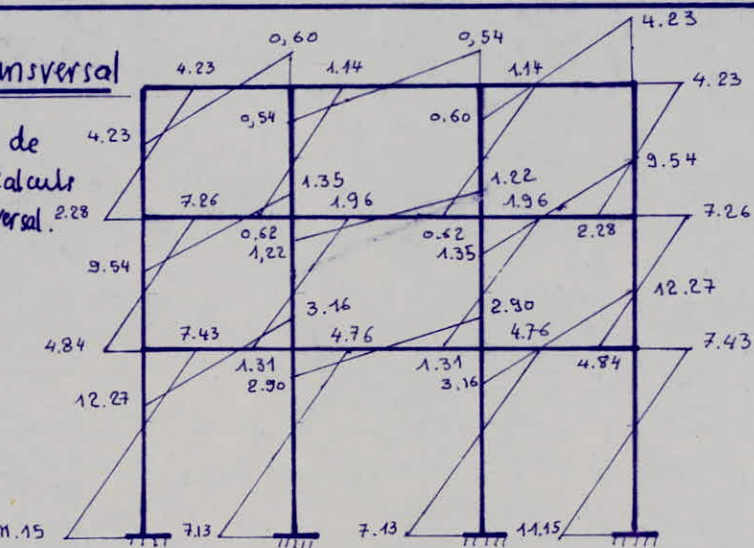
BLOC A Portique Transversal

Moments entravée - Efforts tranchants aux appuis - Efforts normaux dans les poteaux
sous E

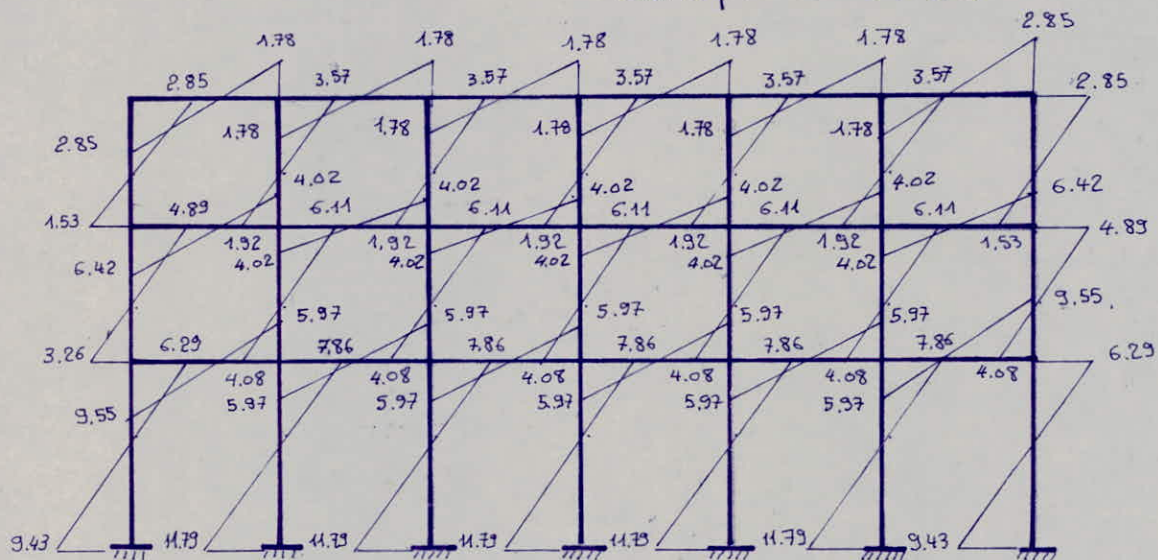
niveau	Nœud	M_w (t)	M_e (t)	M_n (t)	M_s (t)	M_t (Nm) SIH	T (t) SIH	N (t) SIH	Ncumulé SIH (t)	M_t (Nm) SIH	T (t) SIH	N (t) SIH	Ncumulé SIH (t)
3	E		4,233		4,233			-1,511	-1,511			1,511	1,511
	F	0,601	0,542		1,143	1,816	-1,511	1,192	1,192	-1,816	1,511	-1,192	-1,192
	G	0,542	0,601		1,143	0,000	-0,319	-1,192	-1,192	0,000	0,319	1,192	1,192
	H	4,233			4,233	-1,816	-1,511	+1,511	+1,511	1,816	1,511	-1,511	-1,511
2	E		9,541	2,280	7,261			-3,404	-4,915			3,404	4,915
	F	1,353	1,223	0,615	1,961	4,094	-3,404	+2,685	+3,877	-4,094	3,404	-2,685	-3,877
	G	1,223	1,353	0,615	1,961	0,000	-0,719	-2,685	-3,877	0,000	0,719	+2,685	+3,877
	H	9,541		2,280	7,261	-4,094	-3,404	+3,404	+4,915	4,094	3,404	-3,404	-4,915
1	E		12,271	4,841	7,430			-4,823	-9,738			+4,823	+9,738
	F	3,163	2,899	1,307	4,755	4,554	-4,823	+3,118	+6,995	-4,554	4,823	-3,118	-6,995
	G	2,899	3,163	1,307	4,755	0,000	-1,705	-3,118	-6,995	0,000	1,705	+3,118	+6,995
	H	12,271		4,841	7,430	-4,554	-4,823	+4,823	+9,738	4,554	4,823	-4,823	-9,738

BLOC A - Portique transversal

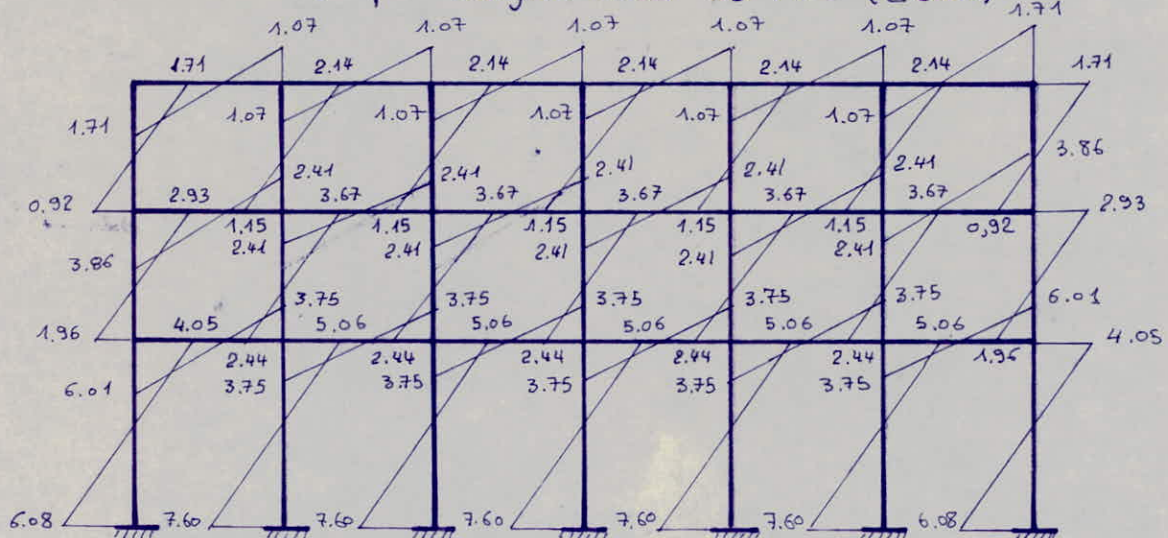
NB: pour toute la suite de l'exposé, on ne fera les calculs que pour le portique transversal.



Portique transversal



Portique Longitudinal de rive (Eout)



Portique Longitudinal Intermédiaire (Grou H)

Expose de la méthode de MUTO.

Introduction:

Cette méthode nous permet d'analyser une structure constituée de portiques sollicités par des efforts horizontaux. Cette méthode est basée sur les rigidités de niveau. Dans cette méthode on se propose en la 1^e étape de distribuer les efforts tranchants dans les niveaux ensuite dans une deuxième étape on déclera les moments fléchissants dans les poteaux et poutres.

$$\text{Rigidité de Niveau} = \frac{\text{Effort tranchant de Niveau}}{\text{Déplacement relatif du niveau.}}$$

Domaine d'application:

- cette méthode s'applique aux bâtiments à étages rigides constitués de planchers monoflrique ayant une ossature auto-stable reprenant la totalité des charges horizontales et verticales.
- les charges sont supposées concentrées au niveau des planchers de raideur (I/e) des poutres ne doit pas être trop faible par rapport à celle des poteaux. ($K \geq 0,2$ pour tous les noeuds de l'ossature).
- des raideurs (I/e) des travées adjacentes d'une même poutre ne doivent pas trop différer. (rapport compris entre 0,5 et 2,0).
- la raideur (I/h) d'un même poteau ne doit pas trop varier entre étages adjacents (rapport compris entre 0,5 et 2,0).

Principe de la méthode:

Pour les poteaux encastrés ou articulés à leur base.

Les idées de base de la méthode sont les suivantes.

- l'effort tranchant T_j du niveau j revenant à un portique quelconque est distribué aux poteaux proportionnellement aux rigidités des niveaux corrigés.
- la position du point d'inflexion du moment est calculé en fonction des caractéristiques du portique.

Etapes de Calcul:

- On calculera pour chaque poteau une rigidité linéaire (I/t) qui sera corrigée par un coefficient qui dépend de la raideur (I/b) des poutres assurant l'enca斯特ement des 2 extrémités du poteau.
- On calcule la rigidité de niveau des différents portiques constituant l'ossature résistant aux forces horizontales dans les 2 directions.
- On détermine ensuite le centre de torsion à chaque étage.
Calcul de la rigidité de niveau: Rigidité à la translation et la rigidité à la torsion.
- Calcul des efforts tranchants de niveau dans les différents portiques
- Calcul des déplacements relatifs de chaque niveau dans les 2 directions
- Vérifier si les déplacements sont acceptables via avis des règles en vigueur. Dans le cas contraire revoir le dimensionnement de la structure
- Calcul des efforts tranchants dans les différents poteaux

- Determiner la position du point de moment nul dans les poteaux
- Determiner les moments dans les poteaux
- Determiner les moments dans les poutres.
- Determiner les autres efforts dans la structure - Efforts se deduisant des différents moments calculez précédemment.

- Calcul des rigidités linéaires des poteaux et des poutres:

$$K_{\text{pot}} = \left(\frac{I}{h} \right)_{\text{poteau}}$$

I: moment d'inertie.

$$K_{\text{pout}} = \left(\frac{I}{l} \right)_{\text{poutre}}$$

h: hauteur d'étage

l: portée (entre axes)

(i)

- Calcul des rigidités corrigées d'un poteau $i^{(j)}$ du niveau $j^{(i)}$: r_{ij} ; $r_j^{(i)}$
Calcul des coefficients \bar{K} et des coefficients de correction $a_j^{(i)}$ des rigidités des poteaux dans les 2 sens.

Poteau Intermediaire		Poteau de rive.	
Etage courant	RDC	Etage courant	RDC.
K_1	K_2	K_1	K
K_3	K_P	K_P	K_P
K_4			
$\bar{K} = \frac{K_1 + K_2 + K_3 + K_4}{2K_P}$	$\bar{K} = \frac{K_1 + K_2}{K_P}$	$\bar{K}_1 = \frac{K_1 + K_2}{2K_P}$	$K = \frac{K_1}{K_P}$
$a = \frac{\bar{K}}{2 + \bar{K}}$	$a = \frac{95 + \bar{K}}{2 + \bar{K}}$	$a = \frac{\bar{K}}{2 + \bar{K}}$	$a = \frac{0,5\bar{K}}{2 + \bar{K}}$

$$r_j^{(i)} = \frac{12E}{h_j^2} Q_j^{(i)} K_{pj}^{(i)} \quad E = E_i = 21000 \sqrt{\sigma_j^{(i)}} \quad (\text{Art 9.31 du CCBAG6})$$

$\sigma_j^{(i)}$ étant la résistance du béton à $j^{(i)}$ jours

Pour les bétons à base de ciments de classe 325 $\sigma_j^{(i)} = 1,286^{(i)} 28$.
 E_i = Module de déformations instantané : $E_i = 21000 \cdot \sqrt{1,20 \cdot 270} = 37,8 \cdot 10^4$
 $E_i = 385,56 \cdot 10^4 \text{ t/m}^2$.

- Rigidité relative de niveau corrigée d'un portique $= R_j^{(i)}$.
 Si tous les poteaux d'un même niveau ont le même déplacement alors : $R_j^{(i)} = \sum_{i=1}^n r_j^{(i)} = \frac{12E}{h_j^2} \sum_{i=1}^n a_j^{(i)} K_{pj}^{(i)}$

- Rigidité Relative d'étage j : $R_j^{(i)}$

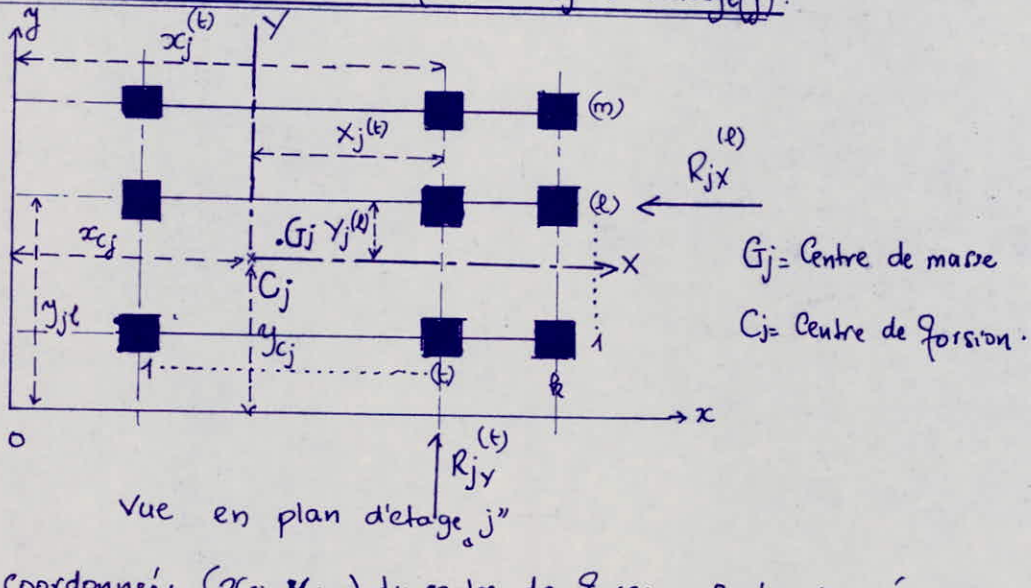
$$R_j = \sum R_j^{(i)}$$

$$R_{Jx} = \sum_{i=1}^n R_{Jx}^{(i)} \quad \text{dans le sens longitudinal.}$$

$$R_{Jy} = \sum_{i=1}^n R_{Jy}^{(i)} \quad \text{dans le sens transversal.}$$

R_J est donc la somme des rigidités relatives de tous les portiques dans un sens ou dans un autre.

• Détermination du centre de torsion C_j à l'étage(j).



Les coordonnées (x_{Cj}, y_{Cj}) du centre de torsion sont données par rapport au repère (x, y) :

$$x_{Cj} = \frac{\sum_{t=1}^{t=k} R_{jt}^{(t)} \times x_j^{(t)}}{\sum_{t=1}^{t=k} R_{jt}^{(t)}}$$

$$y_{Cj} = \frac{\sum_{t=1}^{t=m} R_{jt}^{(t)} \times y_j^{(t)}}{\sum_{t=1}^{t=m} R_{jt}^{(t)}}$$

(formule du barycentre).

• Torsion accidentelle (Art 335 du RPA 81).

d'excentricité accidentelle $G_j C_j$ pour un étage j est au moins égale à 5% de la plus grande dimension du bâtiment
 $e_{min} = 5\% L$

• Détermination de l'effort tranchant de niveau T_j reversant à chaque portique transversal ou longitudinal.

Soit (C_j, x, y) le nouveau repère pour le niveau j .

$x_j^{(t)}$: distance entre le portique (t) et le point C_j .

$y_j^{(l)}$: distance entre le portique (l) et le point C_j .

R_{jt} : rigidité de torsion à l'étage j

$$R_{jt} = \sum_{t=1}^{t=k} R_{jt}^{(t)} [x_j^{(t)}]^2 + \sum_{l=1}^{l=m} R_{jl}^{(l)} [y_j^{(l)}]^2$$

La force résultante f_j due au séisme appliquée au plancher j passe par G_j qui est le centre de gravité du plancher j .

Soient: τ_{jx} : effort tranchant de l'étage j dans le sens longitudinal.

τ_{jy} : effort tranchant de l'étage j dans le sens transversal.

L'effort tranchant à l'étage j , τ_{jx} dans la direction x passant par G_j est équivalent à τ_{jx} passant par C_j plus un couple de torsion :

$$M_{jx}^{\text{torsion}} = \tau_{jx} \cdot y_G$$

D'où sous l'action de τ_{jx} il en résulte un effort tranchant $T_{jx}^{(e)}$ du niveau j dans un portique longitudinal quelconque donné par:

$$T_{jx}^{(e)} = \tau_{jx} \cdot \frac{R_{jx}^{(e)}}{R_{jx}} + \tau_{jx} \cdot \frac{R_{jx}^{(e)} \times y_i^{(e)}}{R_{jx}} \cdot y_6$$

ainsi qu'un effort tranchant $T_{jy}^{(t)}$ de niveau j dans un portique transversal (t) quelconque donné par:

$$T_{jy}^{(t)} = \tau_{jx} \cdot y_6 \cdot \frac{R_{jy}^{(t)}}{R_{jx}}$$

NB: Sous l'action de τ_{jy} on obtient des expressions analogues

Calcul des déplacements relatifs de niveau δ_j

$$\delta_j = \frac{T_j}{R_j}$$

T_j : effort tranchant de niveau j .

R_j : rigidité relative de niveau j du portique.

Soit Δ_j la flèche au niveau j . $\Delta_j = \sum_{j=1}^J \delta_j$.

les valeurs de déplacement relatif de niveau doivent être comparées aux valeurs admissibles données par les normes. Les déplacements doivent être multipliés par le rapport 1/2B pour obtenir les déplacements relatifs de niveau - RPA 81 Art 3.3.7.1. Les déplacements latéraux d'un étage (déplacements relatifs) par rapport aux autres étages ne doivent pas dépasser 0,0075 fois la hauteur de l'étage.

- Calcul des efforts tranchants de niveau j revenant à chaque poteau
l'effort tranchant de niveau T_j revenant à un portique quelconque est distribué aux poteaux proportionnellement aux rigidités de niveau corrigées.

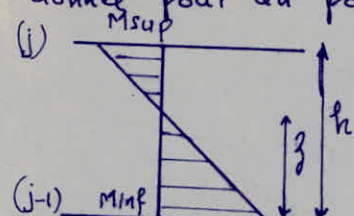
Les poteaux d'un même niveau ont la même hauteur, d'autre part ils ont le même déplacement, d'où ou tire $t_j^{(i)}$ effort tranchant du poteau (i) du niveau (j).

$$t_j^{(i)} = \frac{\alpha_j^{(i)} K_{Pj}^{(i)}}{\sum \alpha_j^{(i)} K_{Pj}^{(i)}} \cdot T_j \quad K_{Pj}^{(i)} = \frac{I_{Pj}^{(i)}}{h_j}$$

$$r_j^{(i)} = \frac{12E}{h_j^2} \alpha_j^{(i)} K_{Pj}^{(i)} ; \quad R_j^{(i)} = \sum_{i=1}^m r_j^{(i)} = \frac{12E}{h_j^2} \sum_{i=1}^m \alpha_j^{(i)} K_{Pj}^{(i)} \Rightarrow t_j^{(i)} = \frac{r_j^{(i)}}{R_j^{(i)}} \cdot T_j$$

Détermination de la position du point de moment nul.
la position du point d'inflexion est donnée en fonction des caractéristiques du portique. Elle est donnée pour un poteau d'un étage par: $z = y \cdot h$.

$$y = y_0 + y_1 + y_2 + y_3$$



y_0 : coefficient dépendant de \bar{K} , du nombre de niveau que comporte le portique et du niveau considéré (Tableaux 1 et 2 du bulletin CTC).

y_1 = terme de correction dû à la variation de rigidité linéaire (I/ρ) des poutres supérieures et inférieures (tableau 4 du bulletin CTC).

$$y_1 = f(\bar{K}, d_1) \quad d_1 = \frac{K_{P1} + K_{P2}}{K_{P3} + K_{P4}}$$

(K_{P1}, K_{P2}) poutres supérieures ; (K_{P3}, K_{P4}) poutres inférieures.

y_2 = terme de correction dû à la variation de la hauteur d'étage, de l'étage supérieur adjacent. (tableau 5 du bulletin CTC).

$$y_2 = f(d_2, \bar{K}) \quad d_2 = \frac{h_i}{h} \rightarrow \text{hauteur du poteau supérieur.}$$

y_3 = terme de correction dû à la variation de la hauteur d'étage de l'étage inférieur adjacent. (tableau 5 du bulletin CTC).

$$y_3 = f(d_3, \bar{K}) \quad d_3 = \frac{h_i}{h} \rightarrow \text{hauteur du niveau considéré.}$$

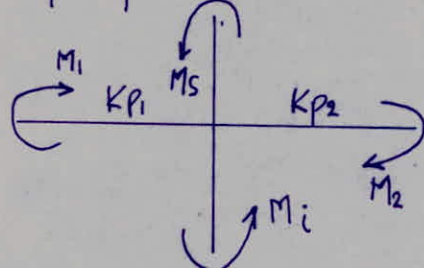
Calcul des moments revenants à chaque poteau.

$$M_{Sup} = t(h-3) \quad M_{Inf} = t \cdot 3.$$

Calcul des moments revenant à chaque poutre.

$$M_1 = \frac{K_{P1}}{K_{P1} + K_{P2}} (M_S + M_C).$$

$$M_2 = \frac{K_{P2}}{K_{P1} + K_{P2}} (M_S + M_C).$$



K_{Pi} = Rigidités linéaires des poutres.

$$\text{NB : Si } K_{P1} = K_{P2} \Rightarrow M_1 = M_2 = 0,5(M_S + M_C).$$

Pour le calcul des efforts tranchants dans les poutres, le calcul du moment en travée ainsi que les efforts normaux dans les poteaux, voir l'exposé de la méthode de BOWMAN.

BLOC B Portique longitudinal G

- Rigidité relative de niveau corrigée R_j

- Rigidité Relative d'étage R_{ij}

		Portiques 8,9,10,11,12		Sens transversal		Portiques 8,9,10,11,12		Sens transversal		Portique 13	
	niveau	file de pot	K	a	$K_p = \frac{I}{h}$	$a K_p$	$D_j = \sum a K_p$	$\frac{a K_p}{D_j}$	R_{jy}	R_{ijy}	
3	3	E	0,480	0,395	1041,67	411,630	1166,34	0,353	$R_{jy} = \frac{12 E D_j}{h_j^2}$	$R_{jy} = 59,958,45$	
		F	4,314	0,762	225,00	171,550		0,147			
		G	4,314	0,762	225,00	171,550		0,147			
		H	0,480	0,395	1041,67	411,630		0,353			
	2	E	0,490	0,197	1021,24	200,850	704,98	0,285	$R_{jy} = 34,834,38$	$R_{jy} = 428,332,57$	
		F	4,400	0,688	220,59	151,650		0,215			
		G	4,400	0,688	220,59	151,650		0,215			
		H	0,490	0,197	1021,24	200,850		0,285			
1	1	E	0,734	0,451	680,83	307,350	1093,29	0,281	$R_{jy} = 24,009,42$	$R_{jy} = 163,569,54$	
		F	2,784	0,686	348,58	239,290		0,219			
		G	2,784	0,686	348,58	239,290		0,219			
		H	0,734	0,451	680,83	307,350		0,281			
	4	E					1371,21		$R_{jy} = 89,663,00$	$R_{jy} = 182,443,47$	
		F	0,782	0,461	601,50	277,225		0,202			
		G	1,614	0,585	601,50	351,819		0,257			
		H	0,940	0,490	1174,81	575,321		0,420			
		I	2,379	0,657	253,76	166,842		0,122			
3	3	E	4,352	0,764	919,12	702,073	2320,46	0,303	$R_{jy} = 92,872,87$	$R_{jy} = 182,443,47$	
		F	9,281	0,823	470,59	387,161		0,167			
		G	9,281	0,823	470,59	387,161		0,167			
		H	5,404	0,730	912,12	670,845		0,289			
		I	13,685	0,872	198,53	173,216		0,075			
	2	E	0,490	0,197	1021,24	200,835	1194,74	0,168	$R_{jy} = 59,034,41$	$R_{jy} = 428,332,57$	
		F	1,820	0,476	533,33	254,090		0,213			
		G	1,820	0,476	533,33	254,090		0,213			
		H	1,081	0,351	1021,24	358,272		0,300			
		I	2,737	0,578	220,59	127,456		0,107			

à suivre

BLOC B Portique Longitudinal G

Suite

- Rigidité relative de niveau corrigée d'un portique R_j
- Rigidité Relative d'étage R_{jy}

Sens Transversal	Portique 14	Portique 13 (suite)	Portique 1	niveau	g. de Pot	R	a	$K_p = \frac{I}{h}$	$a K_p$	$D_j = \sum a K_p$	$\alpha K_p / D_j$	R_{jy}	R_{jy}^*
1	4	3	2	1	E	0,734	0,451	680,83	307,349	1295,680	0,237	$R_{jy} = \frac{12 E D_j}{h_j}$	$R_{jy}^* = \frac{12 E D_j}{h_j} = 28454,16$
					F	2,784	0,686	348,58	239,294		0,185		
					G	2,784	0,686	348,58	239,294		0,185		
					H	1,621	0,586	680,83	398,813		0,308		
					I	4,106	0,754	147,06	110,931		0,086		
					F	0,949	0,491	601,50	295,509	1418,883	0,208	$R_{jy} = \frac{92780,470}{h_j}$	$R_{jy}^* = \frac{92780,470}{h_j} = 169569,54$
					G	1,614	0,585	601,50	351,819		0,248		
					H	1,045	0,507	1174,81	596,020		0,420		
					I'	2,866	0,692	253,76	175,535		0,124		
					F	1,000	0,333	470,59	156,863	891,037	0,176	$R_{jy} = \frac{35662,450}{h_j}$	$R_{jy}^* = \frac{35662,450}{h_j} = 169569,54$
					G	2,062	0,508	470,59	238,915		0,268		
					H	1,346	0,402	312,12	366,841		0,412		
					I'	3,663	0,647	198,53	128,419		0,144		
					F	0,900	0,310	522,88	162,273	934,440	0,174	$R_{jy} = \frac{46172,334}{h_j}$	$R_{jy}^* = \frac{46172,334}{h_j} = 169569,54$
					G	1,858	0,482	522,88	251,554		0,269		
					H	1,202	0,375	1021,24	383,313		0,410		
					I'	3,297	0,622	220,59	137,300		0,147		
					F	1,350	0,552	348,58	192,500	959,359	0,201	$R_{jy} = \frac{21068,280}{h_j}$	$R_{jy}^* = \frac{21068,280}{h_j} = 169569,54$
					G	2,784	0,686	348,58	239,294		0,249		
					H	1,803	0,606	680,83	412,266		0,430		
					I'	4,945	0,784	147,06	115,299		0,120		

à suivre

Suite

Portique	niveau	file de Pot	K	a	$K_p = I/h$	αK_p	$D_j = \sum a_k p$	$\frac{\alpha K_p}{D_j}$	R_{jx}	R_{jx}^i
Portiques F, G	4	8					384,831			
		9								
		10								
		11								
		12								
		13	1,478	0,569	338,35	192,416		0,500	$R_{jx}^i = \frac{12 E D_j}{\rho_{ij}^2} = 25,164,026$	$\sum R_{jx}^i = 71,918,430$
		14	1,478	0,569	338,35	192,416		0,500		
sens longitudinal X	3	8	2,222	0,645	225,00	145,066	1159,447	0,125	$46,405,160$	$216,751,770$
		9	4,444	0,767	225,00	172,629		0,149		
		10	4,444	0,767	225,00	172,629		0,149		
		11	4,444	0,767	225,00	172,629		0,149		
		12	4,444	0,767	225,00	172,629		0,149		
		13	3,333	0,625	300,00	187,500		0,162		
		14	1,667	0,455	300,00	136,364		0,118		
	2	8	2,867	0,531	220,59	117,188	1049,758	0,112	$51,870,397$	$225,239,930$
		9	4,533	0,694	220,59	153,062		0,146		
		10	4,533	0,694	220,59	153,062		0,146		
		11	4,533	0,694	220,59	153,062		0,146		
		12	4,533	0,694	220,59	153,062		0,146		
		13	3,400	0,630	294,12	185,186		0,176		
		14	1,700	0,459	294,12	135,136		0,129		
	1	8	2,550	0,670	196,08	131,438	1036,148	0,127	$227,54,622$	$96,315,207$
		9	5,100	0,789	196,08	154,664		0,149		
		10	5,100	0,789	196,08	154,664		0,149		
		11	5,100	0,789	196,08	154,664		0,149		
		12	5,100	0,789	196,08	154,664		0,149		
		13	5,100	0,789	196,08	154,664		0,149		
		14	2,550	0,670	196,08	131,438		0,127		

à suivre

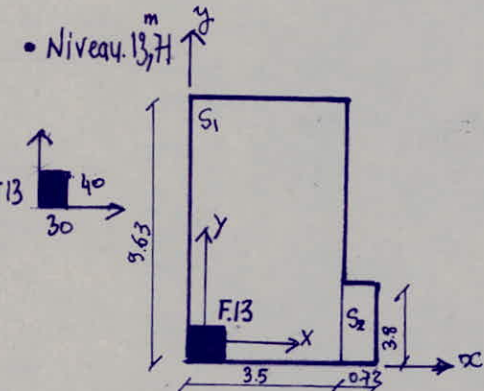
Suite

Portique I	Sens longitudinal	Portiques E, H	niveau	$\frac{g \cdot p_e}{pot}$	K	a	$K_p = \frac{I}{h}$	$a K_p$	$D_j = \sum a K_p$	$\frac{a K_p}{D_j}$	R_{jx}	R_{jx}
Portique I	3	Portique E	8	1,333	0,550	375,00	206,25	1430,357	0,144	$R_{jx} = \frac{12 E D_j}{h_j^2} = 57247935$	56580,500	$\sum R_{jx} = \sum R_{jx}^l = 216751,750$
			9	2,667	0,679	375,00	254,46		0,178			
			10	2,667	0,679	375,00	254,46		0,178			
			11	2,667	0,679	375,00	254,46		0,178			
			12	2,667	0,679	375,00	254,46		0,178			
			13	1,333	0,550	375,00	206,25		0,144			
	2	Portique H	8	1,360	0,405	367,65	148,81	145,082	0,130	$R_{jx} = \frac{12 E D_j}{h_j^2}$	22986,749	$\sum R_{jx} = \sum R_{jx}^l = 216751,750$
			9	2,720	0,576	367,65	211,87		0,185			
			10	2,720	0,576	367,65	211,87		0,185			
			11	2,720	0,576	367,65	211,87		0,185			
			12	2,720	0,576	367,65	211,87		0,185			
			13	1,360	0,405	367,65	148,81		0,130			
	1	Portique I	8	2,040	0,629	245,10	154,10	1046,718	0,147	$R_{jx} = \frac{12 E D_j}{h_j^2}$	36315,207	$\sum R_{jx} = \sum R_{jx}^l = 216751,750$
			9	4,080	0,753	245,10	184,63		0,176			
			10	4,080	0,753	245,10	184,63		0,176			
			11	4,080	0,753	245,10	184,63		0,176			
			12	4,080	0,753	245,10	184,63		0,176			
			13	2,040	0,629	245,10	154,10		0,147			
Portique II	4	Portique E	13	2,293	0,651	253,76	165,09	330,180	0,500	$R_{jx} = \frac{12 E D_j}{h_j^2}$	4832,465	$\sum R_{jx} = \sum R_{jx}^l = 216751,750$
			14	2,293	0,651	253,76	165,09		0,500			
	3	Portique H	13	2,931	0,594	198,53	118,00	236,000	0,500	$R_{jx} = \frac{12 E D_j}{h_j^2}$	412398,134	$\sum R_{jx} = \sum R_{jx}^l = 216751,750$
			14	2,931	0,594	198,53	118,00		0,500			
Portique III	2	Portique E	13	2,638	0,569	220,59	125,46	250,915	0,500	$R_{jx} = \frac{12 E D_j}{h_j^2}$	9445,584	$\sum R_{jx} = \sum R_{jx}^l = 216751,750$
			14	2,678	0,569	220,59	125,46		0,500			
	1	Portique H	13	3,956	0,748	147,06	110,03	220,050	0,500	$R_{jx} = \frac{12 E D_j}{h_j^2}$	216751,750	$\sum R_{jx} = \sum R_{jx}^l = 216751,750$
			14	3,956	0,748	147,06	110,03		0,500			

- Détermination des centres de gravité des différents planchers.
- Détermination des centres de gravité des différents niveaux

$$G_j \left| \begin{array}{l} X_{Gj} = \frac{\sum S_i \cdot x_{Gi}}{\sum S_i} \\ Y_{Gj} = \frac{\sum S_i \cdot y_{Gi}}{\sum S_i} \end{array} \right.$$

$$C_j \left| \begin{array}{l} X_{Cj} = \frac{\sum_{t=1}^{(e)} R_{jt} \cdot x_{jt}^{(e)}}{\sum_{t=1}^{(e)} R_{jt}} \\ Y_{Cj} = \frac{\sum_{t=1}^{(e)} R_{jt} \cdot y_{jt}}{\sum_{t=1}^{(e)} R_{jt}} \end{array} \right.$$



$$\begin{aligned} S_1 &= 33,71 \text{ m}^2 \rightarrow (X_{G1} = 1,75 \text{ m}, Y_{G1} = 4,815 \text{ m}) \\ S_2 &= 2,74 \text{ m}^2 \rightarrow (X_{G2} = 3,86 \text{ m}, Y_{G2} = 1,90 \text{ m}) \end{aligned}$$

$$\begin{aligned} X_G &= 1,91 \text{ m} & \rightarrow X_G &= 1,76 \text{ m} \\ Y_G &= 4,60 \text{ m} & \rightarrow Y_G &= 4,140 \text{ m} \end{aligned}$$

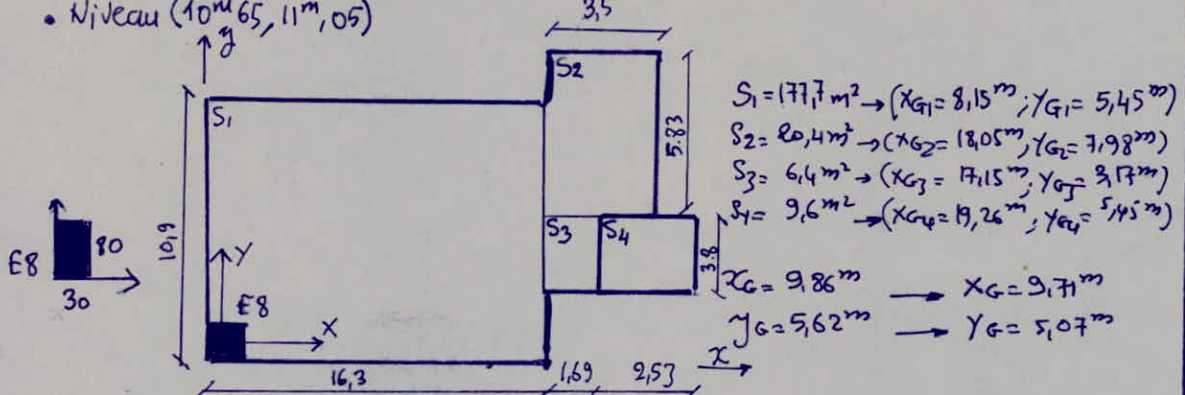
$$X_C = \frac{0 + 92780,47 \times 3,2}{182443,47} = 1,63 \text{ m}$$

$$Y_C = \frac{0 + 125104,02 \times 3,4 + (21590,388 \times 9,25)}{71918,43} = 3,96 \text{ m}$$

$$\Delta x = 0,13 \text{ m} < e_{ac} = 5\% \cdot (9,63) = 0,48 \text{ m}$$

$$\Delta y = 0,44 \text{ m} < e_{ac} = 5\% \cdot (9,63) = 0,48 \text{ m}$$

- Niveau (10,65, 11,05)



$$S_1 = 177,7 \text{ m}^2 \rightarrow (X_{G1} = 8,15 \text{ m}, Y_{G1} = 5,45 \text{ m})$$

$$S_2 = 8,05 \text{ m}^2 \rightarrow (X_{G2} = 18,05 \text{ m}, Y_{G2} = 7,98 \text{ m})$$

$$S_3 = 6,4 \text{ m}^2 \rightarrow (X_{G3} = 17,15 \text{ m}, Y_{G3} = 9,17 \text{ m})$$

$$S_4 = 9,6 \text{ m}^2 \rightarrow (X_{G4} = 19,26 \text{ m}, Y_{G4} = 5,45 \text{ m})$$

$$X_G = 9,86 \text{ m} \rightarrow X_G = 9,71 \text{ m}$$

$$Y_G = 5,62 \text{ m} \rightarrow Y_G = 5,07 \text{ m}$$

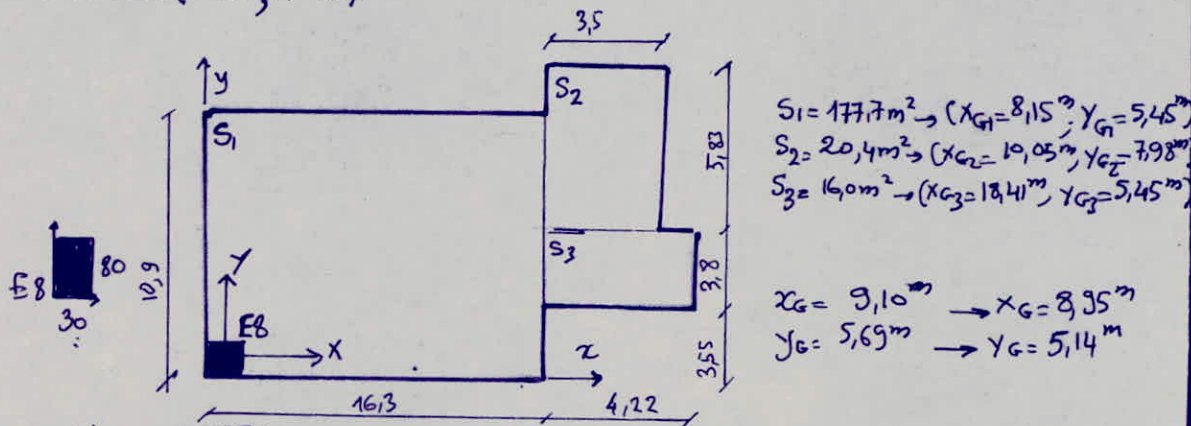
$$X_C = \frac{(59959,45) \times (0+3,2+6,4+9,6+12,4) + (92872,87) \times (16) + (35662,446) \times (19,2)}{428332,56} = 9,55 \text{ m}$$

$$Y_C = \frac{(0+46405,16) \times (3,2+6,4) + (57247,935) \times (9,8) + (9445,584) \times (12,4)}{216751,77} = 5,23 \text{ m}$$

$$\Delta x = 0,16 \text{ m} < e_{ac} = 5\% \cdot (20,22 \text{ m}) = 1,011 \text{ m}$$

$$\Delta y = 0,16 \text{ m} < e_{ac} = 5\% \cdot (20,22 \text{ m}) = 1,011 \text{ m}$$

• Niveau (4^m59, 7^m65)



$$\begin{aligned} S_1 &= 177,7 \text{ m}^2 \rightarrow (X_G = 8,15 \text{ m}, Y_G = 5,45 \text{ m}) \\ S_2 &= 20,4 \text{ m}^2 \rightarrow (X_G = 10,05 \text{ m}, Y_G = 7,98 \text{ m}) \\ S_3 &= 16,0 \text{ m}^2 \rightarrow (X_G = 13,41 \text{ m}, Y_G = 5,45 \text{ m}) \end{aligned}$$

$$\begin{aligned} X_G &= 9,10 \text{ m} \rightarrow X_G = 8,95 \text{ m} \\ Y_G &= 5,69 \text{ m} \rightarrow Y_G = 5,14 \text{ m} \end{aligned}$$

• Niveau 4^m59

$$X_C = \frac{(24009,42) \times (0 + 3,2 + 6,4 + 9,6 + 12,8) + (10 \times 28454,16) + (19,2)(21068,28)}{169569,54} = 9,60 \text{ m}$$

$$Y_C = \frac{0 + (22754,62) \times (3,2 + 6,6) + (9,8 \times 22986,749) + (12,4) \times (4832,465)}{9 \times 315,207} = 5,28 \text{ m}$$

$$\Delta x = 0,65 \text{ m} < eac = 5\% (19,5) = 0,975 \text{ m}$$

$$\Delta y = 0,14 \text{ m} < eac = 5\% (19,5) = 0,975 \text{ m}$$

• Niveau 7^m65:

$$X_G = \frac{(34834,38) \times (0 + 3,2 + 6,4 + 9,6 + 12,8) + (19,034,411 \times 16) + (46472,334) \times (19,2)}{279378,64} = 9,88 \text{ m}$$

$$Y_C = \frac{0 + (346,6) \times (51870,139) + (9,8 \times 56580,52) + (1245) \times (12398,13)}{229299,93} = 5,31 \text{ m}$$

$$\Delta x = 0,91 \text{ m} < 5\% (20,22 \text{ m}) = 1,011 \text{ m}$$

$$\Delta y = 0,17 \text{ m} < 5\% (20,22 \text{ m}) = 1,011 \text{ m}$$

Conclusion:

• Dans tous les planchers on prendra en compte l'excentricité accidentelle eac.

• Cette excentricité ajoutera des efforts tranchants supplémentaires dans les poteaux en plus des efforts tranchants dûs au service. On négligera les efforts tranchants négatifs dûs à la torsion.

BLOC B - Portique longitudinal G⁺

Calcul de la rigidité de torsion $R_{j\theta}$ en chaque niveau

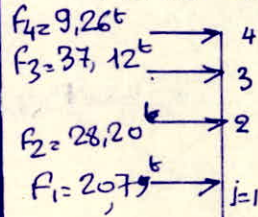
$$R_{j\theta} = \sum_{t=1}^{h_k} R_{jy}^{(t)} [x_j^{(t)}]^2 + \sum_{l=1}^{l_{em}} R_{jx}^{(l)} [y_j^{(l)}]^2$$

niveau j	Portiques transversaux							Portiques longitudinaux					$R_{j\theta}$
	R_{jy}^8	R_{jy}^9	R_{jy}^{10}	R_{jy}^{11}	R_{jy}^{12}	R_{jy}^{13}	R_{jy}^{14}	R_{jx}^E	R_{jx}^F	R_{jx}^G	R_{jx}^H	R_{jx}^I	
4						89 663	92 780		25 164	25 164		21 530	$1555 625 \cdot 10^4$
3	59 959	59 959	59 959	59 959	59 959	92 873	35 662	57 248	46 405	46 405	57 248	94 446	$20 577 714 \cdot 10^4$
2	34 834	34 834	34 834	34 834	34 834	59 034	46 172	56 581	51 870	51 870	56 581	12 394	$15 717 877 \cdot 10^4$
1	24 009	24 009	24 009	24 009	24 009	28 454	21 068	22 987	22 755	22 755	22 987	4 832	$8 386 901 \cdot 10^4$

BLOC B - Portique longitudinal G

- Efforts tranchants de niveau T_{jy} dans les portiques transv

- Forces seismiques Sens y



- Efforts tranchants d'étage γ_{jy}

$$\gamma_{4y} = 9,26t$$

$$\gamma_{3y} = 46,38t$$

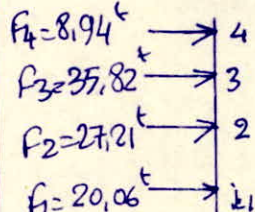
$$\gamma_{2y} = 74,58t$$

$$\gamma_{1y} = 95,37t$$

$$T_{jy}(t) = \gamma_{jy} \cdot \frac{R_{jy}^{(t)}}{Q_{jy}} + \gamma_{jy} \frac{R_{jy}^{(t)} \cdot x_i^{(t)}}{Q_{jy}} \cdot x_G$$

Portique	niveau	γ_{jy} (t)	$R_{jy}^{(t)}$ ($\frac{\text{kg}}{\text{cm}}$)	$R_{jy}^{(t)}$ ($\frac{\text{kg}}{\text{cm}}$)	$R_{jy}^{(t)}$ ($\frac{\text{kg}\cdot\text{cm}}{\text{cm}}$)	$x_j^{(t)}$ (cm)	x_G (cm)	Résultat $T_{jy}^{(t)}$ (t)
B	4	9,26			1,555 624 10^{-10}			
	3	46,38	59 959	428 333	20,577 713 10 ⁻¹⁰	-1072	-101	7,96
	2	74,58	34 834	279 379	15,717 877 10^{-10}	-996	-101	10,96
	1	95,37	24 009	169 570	8,386 901 10 ⁻¹⁰	-996	-101	16,25

- Efforts tranchants de niveau T_{jx} dans les portiques long



$$\gamma_{4x} = 8,94t$$

$$\gamma_{3x} = 44,76t$$

$$\gamma_{2x} = 71,97t$$

$$\gamma_{1x} = 92,03t$$

$$T_{jx}(t) = \gamma_{jx} \frac{R_{jx}^{(t)}}{Q_{jx}} + \gamma_{jx} \cdot \frac{R_{jx}^{(t)} \cdot y_j(t)}{Q_{jx}} \cdot y_G$$

Portique	niveau	γ_{jx} (t)	$R_{jx}^{(t)}$ ($\frac{\text{kg}}{\text{cm}}$)	$R_{jx}^{(t)}$ ($\frac{\text{kg}}{\text{cm}}$)	$R_{jx}^{(t)}$ ($\frac{\text{kg}\cdot\text{cm}}{\text{cm}}$)	$y_j^{(t)}$ (cm)	y_G (cm)	$T_{jx}^{(t)}$ (t) Résultat
E	4				1,555 625 10^{-10}			
	3	44,76	57 248	216 752	20,577 714	-608	-101	12,59
	2	71,97	56 581	229 300	15,717 877 10^{-10}	-615	-101	19,37
	1	92,03	22 987	96 315	8,386 901 10^{-10}	-615	-101	23,53
F	4	8,94	25 164	71 918	1,555 625 10^{-10}	-488	-48	3,47
	3	44,76	46 405	216 752	20,577 714 10^{-10}	-288	-101	9,88
	2	71,97	51 870	229 300	15,717 877 10^{-10}	-295	-101	16,99
	1	92,03	22 755	96 315	8,386 901 10^{-10}	-295	-101	22,49

• BLOC B - Portique Longitudinal G

Complément de l'effort tranchant de niveau du à la torsion
Dans le sens transversal.

$$T_{jy}^{(t)} = \frac{\gamma_{ix} \cdot \gamma_G}{R_{j\theta}} \cdot R_{jy}^{(y)} \cdot X_j^{(t)}$$

Portique	niveau	γ_{jx} (t)	$R_{jy}^{(t)}$ ($\frac{kg}{cm}$)	$R_{j\theta}$ ($\frac{kg \cdot cm}{10^{10}}$)	$X_j^{(t)}$ (cm)	γ_G (cm)	Résultat $T_{jy}^{(t)}$ (t)
8	4			1,555 624 10^{10}			
	3	44,76	59 953	20,577 714 10^{10}	- 1072	- 101	1,41
	2	71,97	34 834	15,717 877 10^{10}	- 996	- 101	1,60
	1	92,03	24 009	8,386 901 10^{10}	- 996	- 101	2,65

Complément de l'effort tranchant de niveau du à la torsion dans le sens longitudinal.

$$T_{jx}^{(t)} = \frac{\gamma_{iy} \cdot \gamma_G}{R_{j\theta}} \cdot R_{jx}^{(t)} \cdot Y_j^{(t)}$$

Portique	niveau	γ_{iy} (t)	$R_{jx}^{(t)}$ ($\frac{kg}{cm}$)	$R_{j\theta}$ ($\frac{kg \cdot cm}{10^{10}}$)	$Y_j^{(t)}$ (cm)	γ_G (cm)	Résultat $T_{jx}^{(t)}$ (t)
E	4	9,26		1,555 624 10^{10}			
	3	46,38	57 248	20,577 714 10^{10}	- 608	- 101	0,79
	2	74,58	56 581	15,717 877 10^{10}	- 615	- 101	1,67
	1	95,37	22 987	8,386 901 10^{10}	- 615	- 101	1,62
F	4	9,26	25 164	1,555 624 10^{10}	- 488	48	- 0,35
	3	46,38	46 405	20,577 714 10^{10}	- 238	- 101	0,30
	2	74,58	51 870	15,717 877 10^{10}	- 295	- 101	0,73
	1	95,37	22 755	8,386 901 10^{10}	- 295	- 101	0,77

• BLOC B Portique Longitudinal G

Efforts tranchants de niveau superposés : $T_{jx}^{(e)}, T_{jy}^{(e)}$

Sens transversal $T_{jy}^{(e)}$

Portique	niveau	action direct $T_{jy}^{(e)}$	TORSION $T_{jy}^{(t)}$	$T_{jy}^{(t)}$
8	4			
	3	7,96	1,41	9,37
	2	10,96	1,60	12,56
	1	16,25	2,65	18,90

Sens longitudinal $T_{jx}^{(e)}$

portique	niveau	action direct $T_{jx}^{(e)}$	TORSION $T_{jx}^{(t)}$	$T_{jx}^{(t)}$
E	4			
	3	12,59	0,79	13,38
	2	19,37	1,67	21,04
	1	23,53	1,62	25,15
F	4	3,47	-0,35	3,47
	3	9,88	0,30	10,18
	2	16,99	0,73	17,72
	1	22,49	0,77	23,26

• NB: (Art 335 - RPA 81)

des efforts tranchants négatifs dûs à la torsion devront être négligés

• Calcul des déplacements relatifs de niveau dans les 2 portiques :
Portique transversal 8 ; Portique longitudinal E.

$$\delta_j^{(i)} = \frac{T_j^{(i)}}{R_j}$$

Cette valeur devra être multipliée par $\frac{1,0}{B}$ où B est le facteur de comportement de la structure, et comparée aux déplacements admissibles donnés par les normes.

	Portique 8	Portique E			
Niveau	δ_i (mm)	$\delta_i \times \frac{1,0}{B}$ (mm)	δ_j (mm)	$\delta_j \times \frac{1,0}{B}$ (mm)	$\delta_j \times \frac{1,0}{B}$ (mm)
3	0,16	3,2	0,23	4,6	23,0
2	0,36	7,2	0,37	7,4	22,5
1	0,79	15,8	1,09	21,8	33,4

• Conclusion : les déplacements relatifs obtenus sont inférieurs aux déplacements admissibles tolérés par les normes

• BLOC B - Portique Longitudinal G
 - Moments en tête et à la base des poteaux.

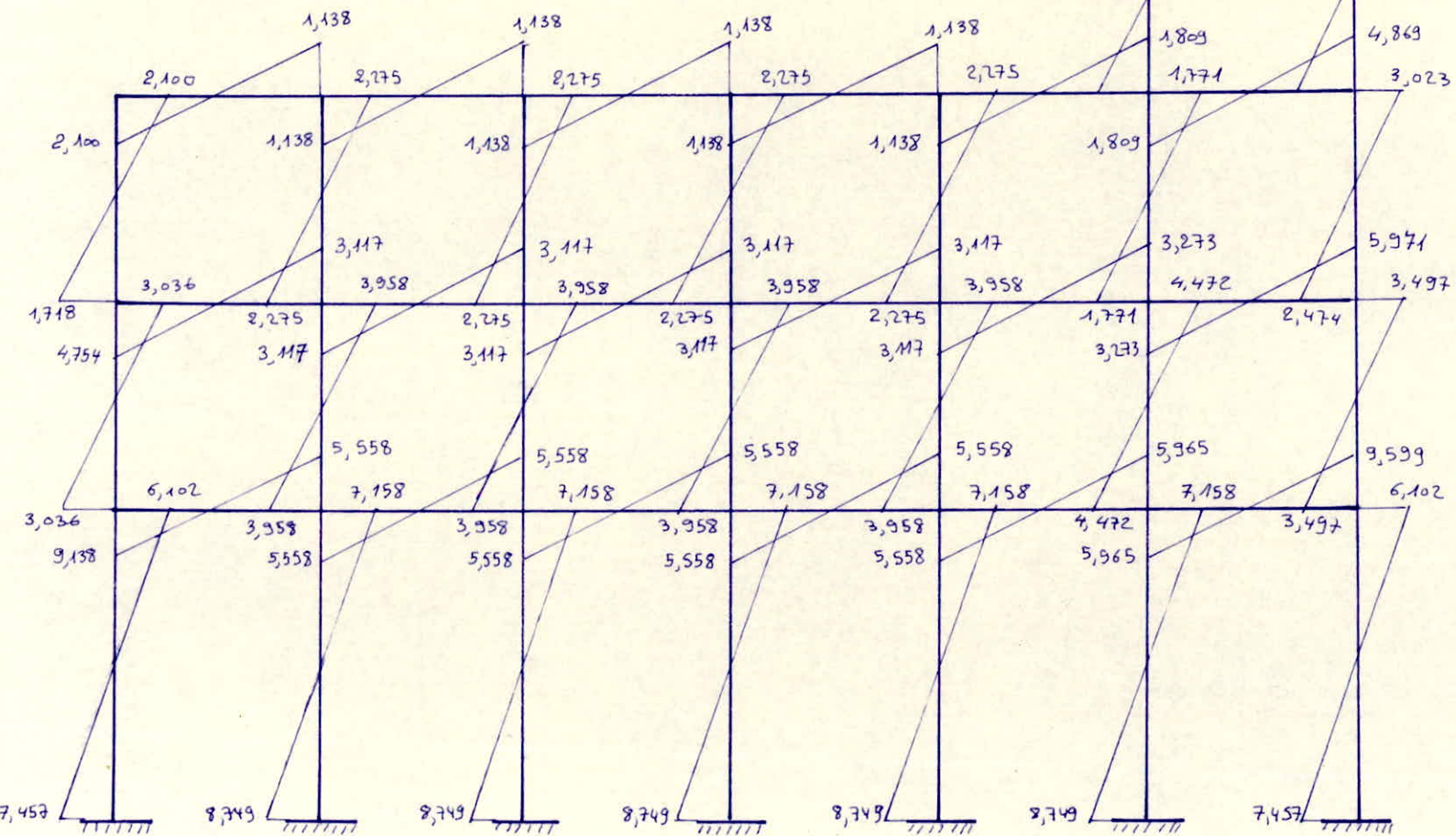
niveau	file de pot	$\frac{\alpha K_P}{\Sigma \alpha K_P}$	$T_j x$ (t)	$t_j x$ (t)	y_0	y_1	y_2	y_3	y	$z = yh$ (cm)	M_{inf} (t.m)	$\frac{h-z}{m}$	M_{sup} (t.m)
4	13	0,5	3,47	1,735	0,40	0	0	0	0,40	1,064	1,846	1,596	2,769
	14	0,5	3,47	1,735	0,40	0	0	0	0,40	1,064	1,846	1,596	2,769
3	8	0,125	10,18	1,973	0,45	0	0	0	0,45	1,350	1,718	1,650	2,100
	9	0,149	10,18	1,517	0,50	0	0	0	0,50	1,500	2,275	1,500	2,275
	10	0,149	10,18	1,517	0,50	0	0	0	0,50	1,500	2,275	1,500	2,275
	11	0,149	10,18	1,517	0,50	0	0	0	0,50	1,500	2,275	1,500	2,275
	12	0,149	10,18	1,517	0,50	0	0	0	0,50	1,500	2,275	1,500	2,275
	13	0,116	10,18	1,181	0,50	0	0	0	0,50	1,500	1,771	1,500	1,771
	14	0,118	10,18	1,832	0,45	0	0	0	0,45	1,350	2,474	1,650	3,023
2	8	0,112	17,72	1,985	0,50	0	0	0	0,50	1,530	3,036	1,530	3,036
	9	0,146	17,72	2,587	0,50	0	0	0	0,50	1,530	3,958	1,530	3,958
	10	0,146	17,72	2,587	0,50	0	0	0	0,50	1,530	3,958	1,530	3,958
	11	0,146	17,72	2,587	0,50	0	0	0	0,50	1,530	3,958	1,530	3,958
	12	0,146	17,72	2,587	0,50	0	0	0	0,50	1,530	3,958	1,530	3,958
	13	0,176	17,72	3,419	0,50	0	0	0	0,50	1,530	4,772	1,530	4,772
	14	0,129	17,72	2,286	0,50	0	0	0	0,50	1,530	3,497	1,530	3,497
1	8	0,127	23,26	2,954	0,55	0	0	0	0,55	2,525	7,457	2,066	6,102
	9	0,149	23,26	3,466	0,55	0	0	0	0,55	2,525	8,749	2,066	7,158
	10	0,149	23,26	3,466	0,55	0	0	0	0,55	2,525	8,749	2,066	7,158
	11	0,149	23,26	3,466	0,55	0	0	0	0,55	2,525	8,749	2,066	7,158
	12	0,149	23,26	3,466	0,55	0	0	0	0,55	2,525	8,749	2,066	7,158
	13	0,149	23,26	3,466	0,55	0	0	0	0,55	2,525	8,749	2,066	7,158
	14	0,127	23,26	2,954	0,55	0	0	0	0,55	2,525	7,457	2,066	6,102

BLOC B - Portique Longitudinal G

- Moments aux appuis
- Moments en travée
- Efforts tranchants dans les poutres.
- Efforts Normaux dans les poteaux

niveau	nœud	Kpw	Kpe	Ms (kNm)	Mi (kNm)	Mw (kNm)	Me kNm	poutre	l (m)	Mt kNm	T (kN)	N (kN)	N minsup (kN)	N cumulé (kN)
4	13		500		2,769		2,769	13-14	3,2	0,000	-1,731	-1,731		-1,731
	14	500			2,769	2,769						1,731		1,731
3	8		500		2,100		2,100	8-9	3,2	0,481	-1,012	-1,012		-1,012
	9	500	500		2,275	1,138	1,138	9-10	3,2	0,000	-0,711	0,301		0,301
	10	500	500		2,275	1,138	1,138	10-11	3,2	0,000	-0,711	0,000		0,000
	11	500	500		2,275	1,138	1,138	11-12	3,2	0,000	-0,711	0,000		0,000
	12	500	500		2,275	1,138	1,138	12-13	3,2	-0,336	-0,921	-0,210		-0,210
	13	500	500	1,846	1,771	1,809	1,809	13-14	3,2	-1,530	-2,087	-1,166	-1,731	-2,897
	14	500		1,846	3,023	4,869						2,087	1,731	3,818
2	8		500	1,718	3,036		4,754	8-9	3,2	0,819	-2,460	-2,46	-1,012	-3,472
	9	500	500	2,275	3,958	3,117	3,117	9-10	3,2	0,000	-1,948	0,512	0,301	0,813
	10	500	500	2,275	3,958	3,117	3,117	10-11	3,2	0,000	-1,948	0,000	0,000	0,000
	11	500	500	2,275	3,958	3,117	3,117	11-12	3,2	0,000	-1,948	0,000	0,000	0,000
	12	500	500	2,275	3,958	3,117	3,117	12-13	3,2	-0,078	-1,996	-0,048	-0,210	-0,258
	13	500	500	1,771	4,772	3,272	3,272	13-14	3,2	-1,350	-2,888	-0,9892	-2,897	-3,783
	14	500		2,474	3,497	5,971						+2,888	3,818	6,706
1	8		500	3,036	6,102		9,138	8-9	3,2	1,790	-4,593	-4,593	-3,472	-8,065
	9	500	500	3,958	7,158	5,558	5,558	9-10	3,2	0,000	-3,474	+1,119	0,813	1,932
	10	500	500	3,958	7,158	5,558	5,558	10-11	3,2	0,000	-3,474	0,000	0,000	0,000
	11	500	500	3,958	7,158	5,558	5,558	11-12	3,2	0,000	-3,474	0,000	0,000	0,000
	12	500	500	3,958	7,158	5,558	5,558	12-13	3,2	-0,204	-3,601	-0,127	-0,258	-0,385
	13	500	500	4,772	7,158	5,965	5,965	13-14	3,2	-1,817	-4,864	-1,263	-3,789	-5,052
	14	500		3,497	6,102	9,599						+4,864	6,706	11,570

BLOC B - Portique Longitudinal G



• Deformations - Effets du Second Ordre.

• Introduction:

Cette partie est exposée dans le but de vérifier sous l'action des forces horizontales les dimensions des éléments composant l'ossature obtenus par un prédimensionnement sous charges verticales. Pour cela il faudrait que les déplacements de niveau soient compatibles avec les déplacements admissibles de calcul sera conduit selon une méthode forfaitaire.

• Calcul des déplacements relatifs de niveau.

da méthode forfaitaire donne :

$$\Delta = \Delta_1 + \Delta_2$$

avec : $\Delta_1 = \frac{F \cdot H^3}{12 \cdot E \cdot I_c}$

F: effort tranchant appliquée au poteau

H: hauteur d'étage.

Ic: Inertie du poteau.

Δ_1 = déplacement relatif dû à la déformation des poteaux

$$\Delta_2 = \frac{F \cdot H^2}{6 \cdot E \cdot (I_1/L_1 + I_2/L_2)}$$

I_1, I_2 : inerties des poutres à gauche et à droite des noeuds.

L_1, L_2 : longueurs des travées.

Δ_2 = déplacement dû à la rotation des noeuds.

nous prenons pour le module de déformations E. $E = 3 \cdot 10^6 \text{ t/m}^2$. des planchers étant supposés rigides donc les poteaux ont le même déplacement en tête.

nous calculerons Δ pour chaque niveau, dans les 2 sens, pour les 2 blocs. On le comparera au déplacement admissible donné par le RPA 81. Ce déplacement de calcul devra être multiplié par $1/2B$ où B est le coefficient de comportement de la structure.

• BLOC A

des résultats donnant F à chaque niveau sont résumés dans les tableaux suivants. (voir étude au séisme) pour le poteau F dans le sens transversal et le poteau H dans le sens longitudinal.

Sens	Sens transversal				Sens longitudinal			
	Resultante des forces horizontales	Force due à la torsion	Force totale de Niveau	Force totale F(t)	Resultante des forces horizontales	Force due à la torsion	Force totale de Niveau	Force totale f(t)
3	5,52	1,13	6,65	6,65	12,06	0,66	12,72	12,72
2	4,53	0,93	5,46	12,11	9,91	0,53	10,44	23,16
1	3,20	0,55	3,75	15,86	6,22	0,32	6,54	29,70
0	0,00	0,00	0,00	15,86	0,00	0,00	0,00	29,70

Nous résumerons ci-dessous les calculs donnant les déplacements sous forme de tableau.

Calcul de I_1 et I_2 .

$$I_1 = I_2 = \frac{bh_F^3}{12} = \frac{0,3 \cdot 0,4^3}{12}$$

$$; I_1 = I_2 = 16 \cdot 10^{-4} \text{ m}^4.$$

- Sens transversal :

$$l_1 = 3,2 \text{ m} \quad \Rightarrow \frac{I_1}{l_1} + \frac{I_2}{l_2} = 9,706 \cdot 10^{-4} \text{ m}^3$$

$$l_2 = 3,4 \text{ m}$$

$$\Delta = \Delta_{\text{cal}} \times \frac{1}{2B} \quad (B = \frac{1}{4} \text{ dans notre cas})$$

$$\bar{\Delta} = 0,0075 \text{ H}$$

$$\frac{F_F}{I_F} = \frac{\sum F}{\sum I}$$

tableau recapitulatif.

Pot	H (m)	$\sum F(t)$	$\sum I \cdot 10^4 (\text{m}^4)$	$F_F(t)$	$I_F \cdot 10^4 (\text{m}^4)$	$\Delta_1 (\text{mm})$	$\Delta_2 (\text{mm})$	$\Delta_c (\text{mm})$	$\Delta (\text{mm})$	$\bar{\Delta} (\text{mm})$
1	4,59	15,86	94,5	2,69	16	4,5	3,2	7,7	15,4	34,4
2	3,06	12,11	76	1,07	6,75	1,3	0,6	1,9	3,8	22,9
3	3,00	6,65	76	0,59	6,75	0,6	0,3	0,9	1,8	22,5

- Sens longitudinal

$$l_1 = 3,2 \text{ m} \quad \Rightarrow \frac{I_1}{l_1} + \frac{I_2}{l_2} = 1 \cdot 10^{-3} \text{ m}^3$$

$$l_2 = 3,2 \text{ m}$$

$$\Delta = \Delta_{\text{cal}} \times \frac{1}{2B}$$

$$\bar{\Delta} = 0,0075 \cdot H$$

$$\frac{F_F}{I_F} = \frac{\sum F}{\sum I}$$

tableau recapitulatif.

Pot	H (m)	$\sum F(t)$	$\sum I \cdot 10^4 (\text{m}^4)$	$F_H(t)$	$I_H \cdot 10^4 (\text{m}^4)$	$\Delta_1 (\text{mm})$	$\Delta_2 (\text{mm})$	$\Delta_c (\text{mm})$	$\Delta (\text{mm})$	$\bar{\Delta} (\text{mm})$
1	4,59	29,7	78,75	4,24	11,25	10,1	4,97	15,1	30,2	34,4
2	3,06	23,16	78,75	3,31	11,25	2,3	1,7	4,0	8,0	22,9
3	3,00	12,72	78,75	1,82	11,25	1,2	0,9	2,1	4,2	22,5

BLOC B.

des calculs sont faits pour le niveau 1 dans les 2 sens, qui donne des déplacements relatifs nettement plus grands que les autres.
On considère le poteau F dans les 2 sens.

Sens	Sens transversal				Sens longitudinal					
	Niveau	Réultante des forces à la torsion	Force due à la torsion	Force totale du niveau	Force totale F(t)	Niveau	Réultante des forces à la torsion	Force due à la torsion	Force totale du niveau	Force totale F(t)
4	4,63	0,35	4,98	4,98	2,32	0,35	2,66	2,66	2,66	2,66
3	6,82	0,74	7,56	12,54	7,30	0,21	7,51	10,16	10,16	10,16
2	5,18	0,65	5,93	18,36	5,54	0,16	5,70	15,87	15,87	15,87
1	3,27	0,46	3,73	22,09	4,58	0,14	4,72	20,59	20,59	20,59
0	0	0	0	22,09	0	0	0	0	0	20,59

• Tableau Récapitulatif.

Pot	$H(m)$	$\sum F(t)$	$\sum I \cdot 10^4 (m^4)$	$F_f(t)$	$I_f \cdot 10^4 (m^4)$	$\Delta_1 (mm)$	$\Delta_2 (mm)$	$\Delta c (mm)$	$\Delta (mm)$	$\bar{\Delta} (mm)$
Sens transversal										
	4,59	22,09	101,25	3,49	16	5,9	4,2	10,1	20,2	34,4
Sens Longitudinal										
	4,49	20,59	63	2,94	9	8,8	3,4	12,2	24,4	34,4

• Conclusion:

des déplacements relatifs calculés sont en accord avec ceux tolérés par les règles RPA 81.

• Effets du Second Ordre.

Afin d'avoir une valeur approximative des effets du Second ordre, nous allons calculer la force additionnelle horizontale H_n .

$$H_n = \frac{\sum P \times \Delta_D}{h_n}$$

H_n : force horizontale additionnelle au niveau n
 h_n : hauteur d'étage du niveau n.

$\sum P$: charges verticales au dessus du niveau n aménagées par les poteaux.

Δ_D : déplacement de calcul $\times \frac{1}{2B}$.

Pour le calcul de $\sum P$ (voir la détermination de W (poids de la structure) dans l'étude sismique).

Après avoir calculé la force additionnelle H_1 (niveau où l'effet des composantes horizontales est prédominant) dans les 2 sens transversal et longitudinal, elle sera comparée à la force sismique $H=V(t)$ du sens respectif; le rapport exprimant la majoration de la force V , H_1/V ne doit pas excéder 5%. Dans le cas contraire il faudra tenir compte des effets du 2^e Ordre en majorant les efforts.

BLDC	Sens	$\sum P(t)$	$\Delta_D (mm)$	$h_n (m)$	$H_n = H(t)$	$H=V(t)$	$H_1/H (\%)$
A	trans	681,2	15,4	4,59	2,30	92,6	2,5
A	Long	681,2	30,2	4,59	4,48	92,6	4,18
B	trans	764,5	20,2	4,59	3,35	95,4	3,5
B	Long	764,5	24,4	4,59	4,07	92,03	4,4

• Conclusion:

La majoration de la force horizontale n'est pas trop importante (<5%). On ne tiendra pas compte des effets du Second Ordre..

des dimensions de l'ossature de notre ouvrage qui ont été déterminées auparavant assurent donc la stabilité générale vis à vis des charges horizontales.

CHAPTER 6

S'ILLI'ERI'NG' S'ITIK'ONS' DES'
S'COLLIC'ITATIK'ONS'

SUPERPOSITION DES SOLlicitATIONS

- Base de Calcul: (Art 33.2 RPA 81).

Pour la justification à la stabilité et à la résistance des éléments structuraux de l'ouvrage étudié, on doit prendre en compte les sollicitations totales pondérées définies ci-dessous.

Pour notre bâtiment les sollicitations dues aux effets de retrait et de température ne sont pas à prendre en compte car il est prévu des joints de dilatation.

Sollicitation totale pondérée du 1^{er} genre : $G + 1,2P$

Sollicitation totale pondérée du 2nd genre : $G + P + E$.

- Poutres:

$$\begin{array}{l} 1^{\text{er}} \text{ genre: } G + 1,2P \\ 2^{\text{nd}} \text{ genre: } G + P + \xrightarrow{E} \\ \quad \quad \quad 0,8G + \xrightarrow{E} \end{array}$$

- Poteaux:

$$\begin{array}{l} 1^{\text{er}} \text{ genre: } G + 1,2P \\ 2^{\text{nd}} \text{ genre: } G + P + \xrightarrow{E} \\ \quad \quad \quad G + P + 1,2E \\ \quad \quad \quad 0,8G + \xrightarrow{E} \end{array}$$

G: charge permanente

P: charge d'exploitation non pondérée

E: effet du séisme (effet horizontal).

- NB: Bien qu'aucune mention spécifique n'ait été faite des effets de l'accélération verticale due au séisme, ces effets sont inclus comme suit:

La combinaison $G + P + \xrightarrow{E}$ comprend la totalité de la charge de l'exploitation ainsi que la charge sismique. Du fait que cette charge d'exploitation est tout à fait improbable une grande partie de celle-ci (environ 40 à 60%) peut effectivement représenter l'effet de l'accélération verticale du séisme.

La combinaison $0,8G + \xrightarrow{E}$ tient compte de la réduction de la charge verticale qui se produira à cause des effets de l'accélération verticale.

La valeur $\pm E$ (\xrightarrow{E}) permet de prendre en compte la reversibilité des charges sismiques créant des efforts de traction et de compression dans les poteaux.

- Moments en traveé des poutres (Art A12 CCBA 68)

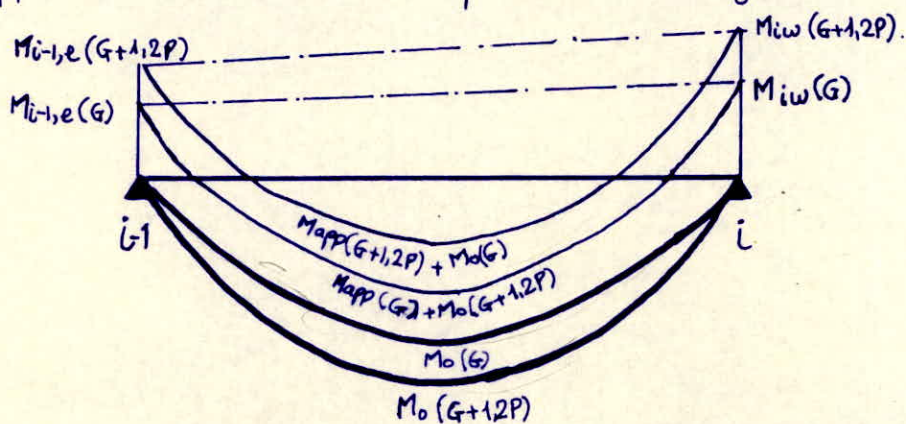
Pour déterminer les moments en traveé, on trace la courbe des moments de la travée indépendante complète de portée L avec les charges permanentes et les surcharges. On prend comme ligne de fermeture

- Pour les moments positifs, la ligne qui joint les moments d'appuis minimaux en valeur absolue.

- Pour les moments négatifs, la ligne qui joint les moments d'appuis maximaux en valeur absolue.

- Ceci en supposant dans chaque cas de charge, que les surcharges peuvent être indépendantes les unes des autres.

Soit à calculer par exemple des moments entravés et à l'appui sous la sollicitation pondérée du 1^e genre : G+1,2P.



M_o = Moment isostatique sous G+1,2P

- $M_t = M_o(G+1,2P) - \frac{M_{i-1,e}(G) + M_{i,w}(G)}{2}$

- $M_{app} = M_{app}(G) + M_{app}(1,2P)$.

NB: L'expression du moment en travée sous le séisme \vec{E} est donnée par:

- $M_t = \frac{M_e - M_w}{2}$

Tous les calculs seront exposés sous forme de tableaux.

BLOC A Portique transversal Intermédiaire.

Combinaison des Moments fléchissants dans les poutres.

niveau	travée	P	sousG Met+Mw	G + 12 P				G + P + \vec{SIH}			G + P + \vec{SIH}			0,8 G + \vec{SIH}			0,8 G + \vec{SIH}			
				2 (m)	9. (t.m)	Mo (t.m)	Mt (t.m)	Me (t.m)	Mw (t.m)	Mt (t.m)	Me (t.m)									
3	1-2	3,20	1,071	2,489	3,109	2,039	0,972	1,571	3,287	3,605	-2,131	-5,179	-0,027	-0,929	3,579	3,054	-1,659	-4,887	-0,578	-0,457
	2-2'	3,40	1,375	2,429	3,510	2,135	1,633	1,633	-1,048	1,827	-2,132	-2,132	1,827	-1,048	-0,558	1,264	-1,642	1,264	-0,558	
	2'-3'	3,20	1,071	2,429	3,109	2,039	1,571	0,972	-0,929	-0,027	-5,179	-2,131	3,605	3,287	-0,457	-0,578	-4,887	-1,659	3,054	3,579
9	3-4	3,20	0,886	2,557	3,273	2,387	1,202	1,633	8,414	5,834	-2,884	-10,668	-2,354	-0,178	8,940	5,021	-2,169	-10,142	-3,167	0,537
	4-4'	3,40	1,086	2,557	3,695	2,609	1,739	1,739	-0,407	1,834	-2,853	-2,853	1,834	-0,407	0,354	0,978	-2,092	-2,092	0,978	0,354
	4'-3'	3,20	0,886	2,557	3,273	2,387	1,633	1,202	-0,178	-2,357	-10,668	-2,884	5,834	8,414	0,537	-3,167	-10,142	-2,169	5,021	8,940
1	5-6	3,20	0,833	2,557	3,273	2,440	1,118	1,548	11,223	6,373	-4,614	-13,319	-2,735	1,712	11,713	5,524	-3,937	-12,829	-3,584	2,389
	6-6'	3,40	1,030	2,557	3,695	2,665	1,649	1,649	1,353	1,918	-4,445	-4,445	1,918	1,353	2,075	1,022	-3,723	-3,723	1,022	2,075
	6'-5'	3,20	0,833	2,557	3,273	2,440	1,548	1,118	1,712	-2,735	-13,319	-4,614	6,373	11,223	2,389	-3,584	-11,829	-3,937	5,524	11,713
0	7-8	3,20	0,829	3,069	3,928	3,100	1,503	1,813	-1,378	2,081	-1,662	-1,378	2,081	-1,662	-0,601	0,907	-0,725	-0,601	0,907	-0,725
	8-8'	3,40	1,009	3,069	4,435	3,426	2,019	2,015	-1,851	2,214	-1,851	-1,851	2,214	-1,851	-0,807	0,965	-0,807	-0,807	0,965	-0,807
	8'-7'	3,20	0,829	3,069	3,928	3,100	1,813	1,503	-1,662	2,081	-1,378	-1,662	2,081	-1,378	-0,725	0,907	-0,601	-0,725	0,907	-0,601

BLOC A Portique transversal Intermédiaire

Combinaison des efforts tranchants dans les poutres.

niveau	travée	G + 1,2 P		G + P + \overrightarrow{SIH}		G + P + \overleftarrow{SIH}		0,8 G + \overrightarrow{SIH}		0,8 G + \overleftarrow{SIH}	
		T_w (t)	T_e (t)	T_w (t)	T_e (t)	T_w (t)	T_e (t)	T_w (t)	T_e (t)	T_w (t)	T_e (t)
3	1 - 2	3,698	-4,047	2,090	-5,478	5,112	-2,456	0,980	-4,255	4,002	-1,233
	2 - 2'	4,130	-4,130	3,702	-4,340	4,340	-3,702	2,463	-3,101	3,101	-2,463
	2' - 1'	4,047	-3,698	2,456	-5,112	5,478	-2,090	1,233	-4,002	4,255	-0,980
2	3 - 4	3,957	-4,225	0,305	-7,365	7,113	-0,557	-1,427	-5,515	5,381	1,293
	4 - 4'	4,347	-4,347	3,356	-4,794	4,794	-3,356	1,453	-2,891	2,891	-1,453
	4' - 3'	4,225	-3,957	0,557	-7,113	7,365	-0,305	-1,293	-5,381	5,515	1,424
1	5 - 6	3,957	-4,225	-1,414	-8,784	8,532	0,862	-2,846	-6,934	6,800	2,712
	6 - 6'	4,347	-4,347	2,370	-5,780	5,780	-2,370	0,667	-3,877	3,877	-0,467
	6' - 5'	4,225	-3,957	-0,862	-8,532	8,784	1,114	-2,712	-6,800	6,934	2,846
0	7 - 8	4,814	-5,007								
	8 - 8'	5,217	-5,217								
	8' - 7'	5,007	-4,814								

BLOC A. Portique transversal Intermédiaire.

Combinaison des efforts normaux dans les poteaux.

niveau rotéau	rotéau	G + 1,2P		G + P + \bar{SH}		G + P + \bar{SH}		0,8G + \bar{SH}		0,8G + \bar{SH}		G + P + 1,2 \bar{SH}		G + P + 1,2 \bar{SH}	
		N (t)	Ncum (t)	N (t)	Ncum (t)	N (t)	Ncum (t)	N (t)	Ncum (t)	N (t)	Ncum (t)	N (t)	Ncum (t)	N (t)	Ncum (t)
3	1-3	3,698	3,698	2,090	2,090	5,112	5,112	0,980	0,980	4,002	4,002	1,788	1,788	5,414	5,414
	2-4	8,204	8,204	9,180	9,180	6,796	6,796	6,718	6,718	4,334	4,334	9,418	9,418	6,558	6,558
	2'-4'	8,204	8,204	6,796	6,796	9,180	9,180	4,334	4,334	6,718	6,718	6,558	6,558	9,418	9,418
	1'-3'	3,698	3,698	5,112	5,112	2,09	2,09	4,002	4,002	0,980	0,980	5,414	5,414	1,788	1,788
2	3-5	3,957	7,655	0,305	2,395	7,113	12,225	-1,427	-0,447	5,381	9,383	-0,376	1,412	7,794	13,208
	4-6	8,572	16,777	10,721	19,901	5,351	12,147	6,968	13,486	1,598	5,932	11,258	20,676	4,814	11,372
	4'-6'	8,572	16,777	5,351	12,147	10,721	19,901	1,598	5,932	6,968	13,686	4,184	11,372	11,258	20,676
	3'-5'	3,957	7,655	3,113	12,225	0,305	2,395	5,381	9,383	-1,427	-0,447	7,794	13,208	-0,376	1,412
1	5-7	3,957	11,612	-1,144	1,281	8,532	20,757	-2,846	-3,293	6,800	16,183	-2,079	-0,667	9,497	22,705
	6-8	8,572	25,343	11,154	31,055	4,918	17,065	7,401	21,087	1,165	7,097	11,778	32,454	4,294	15,666
	6'-8'	8,572	25,343	4,918	17,065	11,154	31,055	1,165	7,097	7,401	21,087	4,294	15,666	11,778	32,454
	5'-7'	3,957	11,612	8,532	20,757	-1,114	1,281	6,800	16,183	-2,846	-3,293	9,497	22,705	-2,079	-0,667
0	7-9	4,814	16,425												
	8-10	10,224	35,573												
	8'-10'	10,224	35,573												
	7'-9'	4,814	16,425												

BLOC A . Portique transversal Intermédiaire.
Combinaison des Moments fléchissants dans les poteaux.

Niveau	Poteau	G + 1,2 P		G + P + \overleftarrow{SIH}		G + P + \overleftarrow{SIH}		0,8 G + \overleftarrow{SIH}		0,8 G + \overleftarrow{SIH}		G + P + 2 \overleftarrow{SIH}		G + P + 1,2 \overleftarrow{SIH}	
		M _{sup} (t.m)	M _{inf} (t.m)	M _{sup} (t.m)	M _{inf} (t.m)	M _{sup} (t.m)	M _{inf} (t.m)	M _{sup} (t.m)	M _{inf} (t.m)	M _{sup} (t.m)	M _{inf} (t.m)	M _{sup} (t.m)	M _{inf} (t.m)	M _{sup} (t.m)	M _{inf} (t.m)
3	1-3	0,972	-0,573	-3,287	1,743	5,179	-2,817	-3,579	1,994	4,887	-2,566	-4,134	2,199	6,026	-3,273
	2-4	0,063	-0,050	-1,082	0,568	1,204	-0,662	-1,101	0,590	1,185	-0,640	-1,311	0,691	1,433	-0,785
	2'-4'	-0,063	0,050	-1,204	0,662	1,082	-0,568	-1,185	0,640	1,101	-0,590	-1,433	0,785	1,311	-0,691
	1-3'	-0,972	0,573	-5,179	2,817	3,287	-1,743	-4,887	2,566	3,579	-1,994	-6,026	3,273	4,134	-2,199
2	3-5	0,630	-0,684	-6,670	4,800	7,852	-5,482	-6,946	4,499	7,576	-5,183	-8,122	5,168	9,304	-6,490
	4-6	0,084	-0,041	-1,910	1,269	2,012	-1,345	-1,934	1,287	1,988	-1,327	-2,302	1,530	2,404	-1,606
	4'-6'	-0,054	0,041	-2,012	1,345	1,910	-1,269	-1,988	1,327	1,934	-1,287	-2,404	1,606	2,302	-1,530
	3'-5'	-0,630	0,684	-7,852	5,482	6,670	-4,800	-7,576	5,183	6,946	-4,499	-9,304	6,450	8,122	-5,168
1	5-7	0,434	-0,312	-7,023	0,859	7,837	-11,431	-7,213	11,020	7,647	-11,270	-8,509	13,088	9,323	-13,660
	6-8	0,061	-0,043	-4,698	7,093	4,812	-7,171	-4,725	7,115	4,785	-7,149	-5,649	8,519	5,763	-8,591
	6'-8'	-0,061	0,043	-4,812	7,171	4,698	-7,093	-4,785	7,149	4,725	-7,115	-5,763	8,597	5,649	-8,519
	5'-7'	-0,434	0,312	-7,837	11,431	7,023	-10,859	-7,647	11,270	7,213	-11,020	-9,323	13,660	8,509	-13,088
0	7-9	1,191	-1,191												
	8-10	0,164	-0,164												
	8'-10'	-0,164	0,164												
	7'-9'	-1,191	1,191												

BLOC B - Portique longitudinal G - Combinaison des moments fléchissants des poutres

Niveau	travée	G + 1,2 P			G + P + $\bar{S}IH$			G + P + $\bar{S}TH$			0,8 G + $\bar{S}IH$			0,8 G + $\bar{S}TH$		
		Mw	Mt	Me	Mw	Mt	Me	Mw	Mt	Me	Mw	Mt	Me	Mw	Mt	Me
4	13-14	-0,614	1,964	-0,659	2,167	1,509	-3,415	-3,371	1,509	9,123	2,335	1,068	-3,232	-3,203	1,068	2,306
	8-9	-0,177	0,746	-0,685	1,927	1,156	-1,808	-2,273	0,194	0,468	1,977	0,961	-1,615	-2,223	-0,001	0,752
	9-10	-0,644	0,600	-0,555	0,508	0,511	-1,681	-1,768	0,511	0,595	0,690	0,363	-1,524	-1,586	0,363	0,752
	10-11	-0,555	0,638	-0,555	0,595	0,555	-1,681	-1,681	0,555	0,595	0,752	0,394	-1,524	-1,524	0,394	0,752
	11-12	-0,655	0,638	-0,555	0,595	0,555	-1,681	-1,681	0,555	0,595	0,752	0,394	-1,524	-1,524	0,394	0,658
	12-13	-0,555	0,160	-2,697	0,595	-0,690	-4,296	-1,681	-0,019	-0,678	0,752	-0,320	-2,960	-1,524	0,352	3,399
3	13-14	-5,235	5,528	-3,370	-2,982	1,624	-3,984	-6,600	4,684	1,754	-0,249	0,118	-6,339	-3,867	3,178	2,751
	8-9	-0,870	0,849	-0,665	4,498	1,486	-3,747	-5,010	-0,152	2,487	4,605	1,206	-3,483	-4,903	-0,431	2,799
	9-10	-0,623	0,757	-0,579	2,526	0,539	-3,666	-3,708	0,539	2,568	2,774	0,313	-3,435	-3,460	0,313	2,799
	10-11	-0,579	0,773	-0,579	2,568	0,561	-3,666	-3,666	0,561	2,568	2,779	0,326	-3,435	-3,435	0,326	2,799
	11-12	-0,579	0,773	-0,579	2,568	0,561	-3,666	-3,666	0,561	2,568	2,779	0,326	-3,435	-3,435	0,326	2,799
	12-13	-0,579	0,543	-1,306	2,568	0,142	-4,504	-3,666	0,298	2,042	2,779	0,064	-3,559	-3,435	0,220	2,587
2	13-14	-2,149	3,819	-1,720	1,250	1,646	-7,610	-5,296	4,344	4,332	2,159	0,245	-6,957	-4,387	8,943	4,985
	8-9	-0,560	1,629	-1,409	8,592	3,236	-6,932	-9,684	-0,344	4,184	8,756	2,800	-6,518	-9,520	-0,780	4,598
	9-10	-1,322	1,384	-1,221	4,269	1,767	-6,749	-6,847	1,167	4,367	4,657	0,815	-6,390	-6,459	0,815	4,726
	10-11	-1,221	1,427	-1,221	4,367	1,216	-6,749	-6,749	1,216	4,367	4,726	0,850	-6,390	-6,390	0,850	4,726
	11-12	-1,221	1,427	-1,221	4,367	1,216	-6,749	-6,749	1,216	4,367	4,726	0,850	-6,390	-6,390	0,850	4,726
	12-13	-1,221	1,277	-1,821	4,367	0,738	-7,706	-6,749	1,145	4,224	4,726	0,526	-7,037	-6,390	0,533	4,893
1	13-14	-2,422	3,710	-1,657	3,673	1,073	-11,180	-8,257	4,707	8,018	4,653	-0,310	-10,561	-7,277	3,324	8,637
	8-9	-0,440	1,045	-0,675												
	9-10	-0,675	0,978	-0,675												
	10-11	-0,675	0,978	-0,675												
	11-12	-0,675	0,978	-0,675												
	12-13	-0,675	0,978	-0,675												
0	13-14	-0,675	1,045	-0,440												

BLOC B: Portique Longitudinal G

l' combinaison des efforts tranchants des poutres

BLOC B - Portique Longitudinal G
Combinaison des efforts Normaux dans les poteaux

BLOC B : Portique Longitudinal G

Combinaison des Moments fléchissants des poteaux

CHAPITRE 7

**FEUILLAGE DES
POLITIRES**

FERRAILLAGE DES POUTRES

Introduction:

Conformément à l'article A15 du CCBA 68, les poutres seront calculées en flexion simple et il ne sera pas tenu compte des efforts normaux dans celle ci.

Elles seront ferrailées sous les sollicitations pondérées calculées précédemment.

la section d'acier sera calculée sous la sollicitation du 1^{er} genre (SP₁) et sous la plus défavorable des sollicitations du 2nd genre (SP₂).

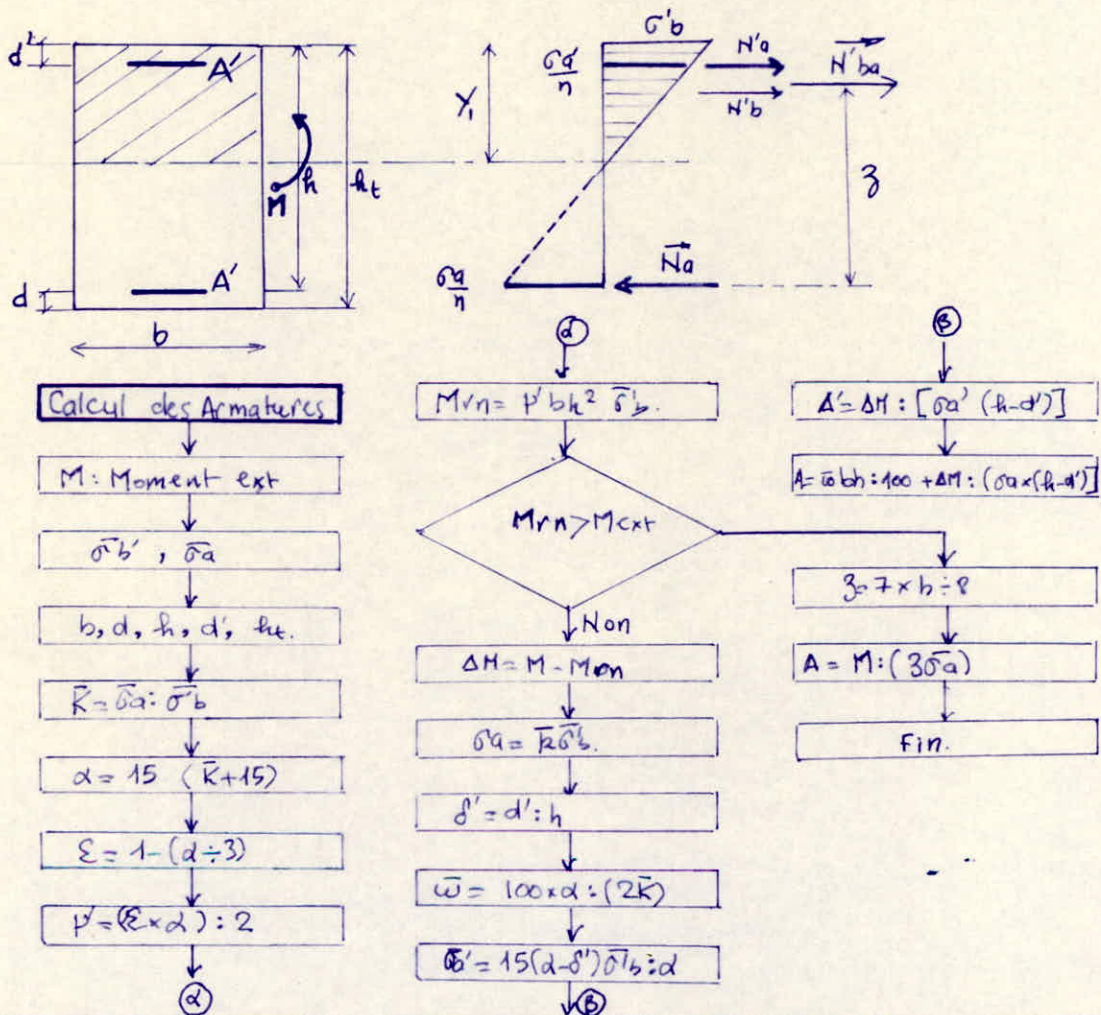
Sollicitation du 1^{er} genre: $G + 1,2P$

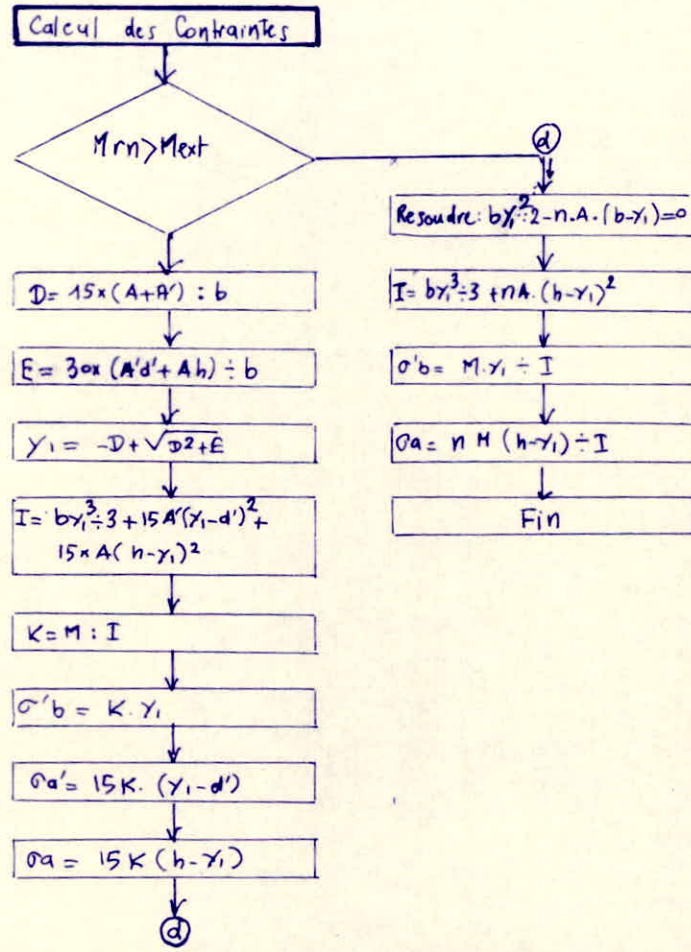
Sollicitation du 2nd genre $G + P + E$; $0,8G + E$

Si le moment sous SP₁ augmente de 50% est supérieur au moment sous SP₂ on calculera et vérifiera la section d'armatures sous SP₁, dans le cas contraire le calcul sera fait sous SP₂.

Méthode de Calcul des Armatures et Contraintes en flexion Simple.

Ce calcul sera fait sous forme d'organigramme pour être exploité après pour faire des programmes sur calculatrice.





Conditions exigeées par le RPA 81 (Art 42321)

de pourcentage total minimum des aciers longitudinaux sur toute la longueur de la poutre doit être de 0,5% pour les aciers ADX et de 0,3% pour les aciers à haute adhérence

des poutres sollicitées principalement par les forces latérales sismiques doivent avoir des armatures symétriques avec une section en travée au moins égale à la moitié de la section sur appui voir le schéma de ferraillage dans la page 47 bis - fig 8

BLOC A - Portique transversal Intermediaire.

Niveau	Section	SOLlicitations				ARMATURES				CONTRAITES		
		x-appui	M(SP)	M(SP ₂)	1,5M(SP)	M(Calcul)	A Calculé	Min RPA	Barres	Section	σ'a	σ'a'
	x-y-travé	tms	tms	tms	tms	cm ²	cm ²	Tor	cm ²	tkg/cm ²	kg/cm ²	kg/cm ²
3	E	-0,972	-5,179	-1,468	-5,179	3,81	3 cm ²	3T14	4,62	3281	907,	81,33
	E-F	2,039	-3,605	3,059	3,605	2,62	3	2T14	3,08	3379	681	65,6
	F	-1,633	-2,132	-2,450	-1,633	1,80	3	2T14	3,08	1531	308	29,7
	F-G	2,135	1,827	3,203	2,135	2,36	3	2T14	3,08	2001	403	38,9
2	E	-1,202	-10,668	-1,803	-10,668	8,29	3	6T14	9,23	3696	1293	131,0
	E-F	2,387	5,834	3,581	5,834	4,29	3	3T14	4,62	3695	1022	91,6
	F	-1,739	-2,884	-2,609	-2,884	2,09	3	2T14	3,08	2703,	545	52,5
	F-G	2,609	1,834	3,914	2,609	2,88	3	2T14	3,08	2446	493	47,5
1	E	-1,118	-13,319	-1,677	-13,319	9,80	3	7T14	10,77	4063	1500	156,4
	E-F	2,440	6,373	3,660	6,373	4,75	3	4T14	6,16	3151	1092,	94,6
	F	-1,649	-4,614	-2,474	-4,614	3,39	3	3T14	4,62	2923	808	72,5
	F-G	2,665	1,918	3,998	2,665	2,94	3	2T14	3,08	2499	504	48,5
0	E	-1,503	/	/	-1,503	1,66	3	2T14	3,08	1409	291	27,14
	E-F	3,100	/	/	3,100	3,42	3	3T14	4,62	1964	543	48,7
	F	-2,019	/	/	-2,019	2,23	3	2T14	3,08	1893	382	36,7
	F-G	3,426	/	/	3,426	3,78	3	3T14	4,62	2171	600	53,8

BLOC B Portique Longitudinal G
Ferçage et Contraintes dans les poutres.

Section	SOLlicitations				ARMATURES			CONTRAINTES.				
	x:appui	M(SP ₁)	M(SP ₂)	M,SM(SP ₁)	M(calcul)	A calculé	Min RPA	Barres	Section	σ _a	σ _{a'}	σ _b
x-y:travée	t _m	t _m	t _m	t _m	cm ²	cm ²	Tor	cm ²	kg/cm ²	kg/cm ²	kg/mm ²	
4	13	-0,614	2,335	-3,371	-3,391	2,49	3,00	3T12	3,39	2885	695,6	58,43
	13-14	1,964	1,503		1,964	2,17	3,00	3T12	3,39	1671	362,4	33,84
	14	-0,659	2,306	-3,415	-3,415	2,51	3,00	3T12	3,39	2905	630,1	58,84
3	8	-0,177	1,977	-2,273	-2,273	1,67	3,00	3T12	3,39	1933,6	419,4	39,90
	8-9	0,746	1,156		1,156	0,85	3,00	3T12	3,39	983,4	213,0	19,90
	9	-0,685	0,690	-1,808	-1,808	1,33	3,00	3T12	3,39	1538,0	333,6	31,15
	9-10	0,600	0,511		0,600	0,66	3,00	3T12	3,39	542,7	117,7	10,99
	10	-0,555	0,752	-1,681	-1,681	1,84	3,00	3T12	3,39	1430,0	310,1	28,90
	10-11	0,638	0,555		0,638	0,70	3,00	3T12	3,39	542,7	117,7	10,99
	11	-0,555	0,752	-1,681	-1,681	1,84	3,00	3T12	3,39	1430,0	310,1	28,90
	11-12	0,638	0,555		0,638	0,70	3,00	3T12	3,39	542,7	117,7	10,99
	12	-0,555	0,752	-1,681	-1,681	1,24	3,00	3T12	3,39	1430,0	310,1	28,90
	12-13	0,160	0,352	-0,690	-0,690	0,51	3,00	3T12	3,39	587	127,3	16,9
	13	-5,235	0,658	-6,600	-5,935	5,94	3,00	6T12	6,78	2377	682,6	69,43
	13-14	5,528	4,684		5,528	6,27	3,00	6T12	6,78	2510	720,8	73,31
	14	-3,370	3,399	-7,984	-7,984	6,03	3,00	6T12	6,78	3625	1041	105,9

à suivre

123

suite

Niveau	Section	SOLlicitations					ARMATURES			CONTRAINTES		
		X:Ajui	M(SP)	M(SP ₂)	1,5M(SP)	M calcul	A calcule	Min RPA	Barres	Section	O'a	O'a'
	X:y:travé	tm	tm	tm	tm	cm ²	cm ²	TOR	cm ²	kg/cm ²	kg/cm ²	kg/cm ²
2	8	-0,270	4,605	-5,010	-5,010	3,68	3,00	4T12	4,52	3300	756,4	78,4
	8-9	0,849	1,486	-0,431	1,486	1,02	3,00	3T12	3,39	1264	974,2	25,6
	9	-0,665	2,774	-3,747	-3,747	2,76	3,00	3T12	3,39	3187	691,3	64,6
	9-10	0,757	0,539		0,757	0,84	3,00	3T12	3,39	644	139,7	13,0
	10	-0,579	2,799	-3,666	-3,666	2,70	3,00	3T12	3,39	3119	676,4	63,2
	10-11	0,773	0,561		0,773	0,85	3,00	3T12	3,39	658	142,6	13,3
	11	-0,579	2,799	-3,666	-3,666	2,70	3,00	3T12	3,39	3119	676,4	63,2
	11-12	0,773	0,561		0,773	0,85	3,00	3T12	3,39	658	142,6	13,3
	12	-0,579	2,799	-3,666	-3,666	2,70	3,00	3T12	3,39	3119	676,4	63,2
	12-13	0,543	0,298		0,543	0,60	3,00	3T12	3,39	462	100,2	9,4
	13	-2,149	2,587	-5,296	-5,296	3,89	3,00	4T12	4,52	3489	831,3	89,95
	13-14	3,819	4,344		3,819	4,21	3,00	4T12	4,52	2516	599,5	59,8
	14	-1,720	4,985	-7,610	-7,610	5,67	3,00	5T12	5,65	4079	1080	108,5
1	8	-0,560	8,756	-9,684	-9,684	7,42	3,00	7T12	7,96	3806	1170	120,8
	8-9	1,629	3,236	-0,780	3,236	2,38	3,00	4T12	4,52	2132	508	50,6
	9	-1,322	4,657	-6,932	-6,932	5,17	3,00	5T12	5,65	3715	984	98,8

à suivre.

Suite

Niveau	Section X:Ajoui	SOLlicitations				ARMATURES			CONTRAINTEs			
		M(SPx)	M(SPy)	1,SM(SPx)	MCalcul	Acalculé	Min RPA	Barres	Section	σa	σa'	
	Xy: Travée	tm	tm	tm	tm	cm²	cm²	TOR	cm²	kg/cm²	kg/cm²	
1	g-10	1,384	1,167		1,384	1,53	3,00	3T12	3,39	1177	255,4	23,95
	10	-1,221	4,726	-6,479	-6,479	4,83	3,00	5T12	5,65	3473	919,7	92,37
	10-11	1,427	1,216		1,427	1,57	3,00	3T12	3,39	1214	263,3	24,59
	11	-1,221	4,726	-6,479	-6,479	4,83	3,00	5T12	5,65	3473	919,7	92,37
	11-12	1,427	1,216		1,427	1,57	3,00	3T12	3,39	1214	263,3	24,59
	12	-1,221	4,726	-6,479	-6,479	4,83	3,00	5T12	5,65	3473	919,7	92,37
	12-13	1,277	1,145		1,277	1,41	3,00	3T12	3,39	1086	235,6	22,00
	13	-2,422	4,893	-8,257	-8,257	6,24	3,00	6T12	6,78	3749	1077	109,5
	13-14	3,710	4,707	-0,310	3,710	4,09	3,00	4T12	4,52	2444	582,4	58,04
	14	-1,537	8,637	-11,180	-11,180	8,57	3,00	8T12	9,04	3950	1269	133,5
0	8	-0,440			-0,440	0,49	3,00	3T12	3,39	374,3	81,18	7,58
	8-9	1,045			1,045	1,15	3,00	3T12	3,39	889	192,80	18,00
	9	-0,675			-0,675	0,75	3,00	3T12	3,39	574,2	124,5	11,63
	9-10	0,978			0,978	1,08	3,00	3T12	3,39	832,0	180,4	16,85
	10	-0,675			-0,675	0,75	3,00	3T12	3,39	574,2	128,5	11,43
	10-11	0,978			0,978	1,08	3,00	3T12	3,39	832,0	180,4	16,85

à suivre N
5

Suite

niveau	Section	SOLICITATIONS					Armatures			contraintes			
		x: Appui	M(SP ₁)	M(SP ₂)	1,5 M(SP)	M calcul	A calcul	Mim RPA	Barres	Section	σ'a	σ'a'	σ'b
x:y travée	t.m	t.m	t.m	t.m	cm ²	cm ²	TOR	cm ²	kg/cm ²	kg/cm ²	kg/cm ²		
0	11	-0,675				-0,675	0,75	3,00	3T12	3,39	574,2	124,5	11,6
	11-12	0,978				0,978	1,08	3,00	3T12	3,39	832,0	180,4	16,9
	12	-0,675				-0,675	0,75	3,00	3T12	3,39	574,2	124,5	11,6
	12-13	0,978				0,978	1,08	3,00	3T12	3,39	832,0	180,4	16,9
	13	-0,675				-0,675	0,75	3,00	3T12	3,39	574,2	124,5	11,6
	13-14	1,045				1,045	1,15	3,00	3T12	3,39	889	192,8	18,0
	14	-0,440				-0,440	0,49	3,00	3T12	3,39	374,3	81,2	7,6

• Verification des Armatures longitudinales.

• Verification de la flèche

On ne fait pas de calcul de flèche si les 2 conditions suivantes sont vérifiées.

$$\frac{A}{bh} \leq \frac{43}{600} \Rightarrow A \leq bh \cdot \frac{43}{600} = 30 \times 37 \times \frac{43}{4200} = 11,36 \text{ cm}^2$$

Dans tous les cas où on a une section $A < 11,36 \text{ cm}^2$.

$$\frac{ht}{L} \geq \frac{1}{16} . La plus grande valeur de L = 3,4m. On a alors \frac{ht}{L} = \frac{40}{340} = 0,118 \Rightarrow \frac{1}{16} = 0,063.$$

$\frac{ht}{L} \geq \frac{M_r}{15M_o}$. Le calcul de flèche sera fait sous les sollicitations du bâti. Dans ce cas on a $M_r < M_o$

$$\frac{M_r}{M_o} < 1 \Rightarrow \frac{M_r}{M_o} < 0,1 \text{ et } \frac{ht}{L} = 0,118 > \frac{M_r}{M_o} \Rightarrow \frac{M_r}{15M_o} < 0,063.$$

Donc on ne fera pas de calcul de flèche.

• Verification de la condition de non fragilité

$$A \geq 0,69 \cdot bh \cdot \frac{\bar{G}_b}{600} = 0,69 \times 30 \times 37 \times \frac{5,9}{4200} = 1,08 \text{ cm}^2.$$

Dans tous les cas nous avons $A > 1,08 \text{ cm}^2$.

• Verification de la Condition de non fissuration.

$$\sigma_a = \min [2b \text{ cm}, \max (\sigma_1, \sigma_2)]$$

$$\sigma_1 = K \frac{P}{\phi} \cdot \frac{\bar{w}_f}{1410 \bar{w}_f} \quad \sigma_2 = 2,4 \cdot \sqrt{\frac{K \bar{w}_f \bar{b}}{\phi}}, \frac{2,6 \text{ cm}}{\frac{3}{3}} = 2800 \text{ kg/cm}^2$$

$$P = 1,6 \text{ (HA)} ; K = 1,5 \cdot 10^6 \text{ (fissuration peu visible)} \quad \bar{b} = 5,9 \frac{\text{kg}}{\text{cm}^2}$$

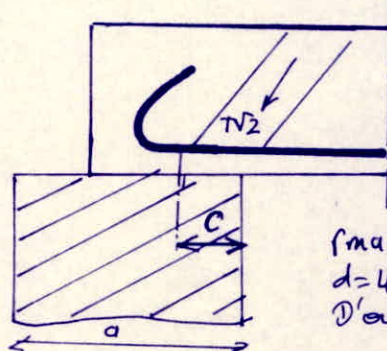
$$B_f = 2d'b \quad \text{et} \quad \bar{w}_f = \frac{A}{B_f}. \quad \Rightarrow \sigma_1 = \frac{2,4 \cdot 10^6}{\phi} \cdot \frac{\bar{w}_f}{1410 \bar{w}_f}; \sigma_2 = \frac{9031}{\sqrt{\phi}}$$

• Selon la section choisie on a les contraintes suivantes

Sens	Barres	d	Bf	A	wf	G1 kg/cm²	G2 kg/cm²
sens transversal	2T14	9,5	156	3,08	0,0197	2827	2414
	3T14	3	180	4,62	0,0256	3917	2414
	4T14	3,5	217	6,16	0,0283	3784	2414
	5T14	4,5	254	7,70	0,0303	3988	2414
	6T14	5	279	9,23	0,0331	4261	2414
	7T14	5	310,2	10,77	0,0347	4417	2414
sens longitudinal	8T12	9,5	150	0,015	2,26	2619	2607
	9T12	2,5	150	0,0226	3,79	3686	2607
	4T12	3,0	187,5	0,0241	4,52	3885	2607
	5T12	3,5	210	0,0269	5,65	4240	2607
	6T12	3,75	225	0,0301	6,78	4671	2607
	7T12	4,5	247,7	0,0321	7,96	4863	2607
	8T12	4,5	284,8	0,0341	9,04	5090	2607

→ On prendra 8T12.

Vérification de la condition aux appuis



C: distance à partir de laquelle peut commencer l'ancrage:

$$C \geq \frac{2T}{6\phi b_0} = c_0 \text{ avec } T = T_{\max} \text{ à l'appui}$$

$$T_{\max} = 12,18 t \rightarrow c_0 (\max) = 11,7 \text{ cm}$$

$$C = a - (d + r) \quad r = 5,5 \phi.$$

$$f_{\max} = 5,5 \times 1,4 = 7,7 \text{ cm}$$

$$d = 4 \text{ cm}^2$$

$$\text{D'où } r_{\min} = 30 - (4 + 7,7) = 18,3 \text{ cm}$$

$$C(\min) = 18,3 \text{ cm} > c_0(\max) = 11,7 \text{ cm} \rightarrow \text{vérifié.}$$

Armatures inférieures

Au niveau des appuis l'effort tranchant T et le moment fléchissant engendrent des efforts tranchant dans les armatures inférieures. On doit vérifier pour cela l'inégalité suivante :

$$A\bar{\sigma}_a \geq T + \frac{M}{z} \quad M \text{ pris avec son signe.}$$

$$z = \frac{7}{8} h$$

Pour la combinaison la Ⓛ défavorable on a :

Portique	Portique transversal				Portique longitudinal G				
Niveau	3	2	1	0	4	3	9	1	0
Amén	3,08	3,08	3,08	3,08	3,39	3,39	3,39	3,35	3,39
A _{eff}	8624	8624	8824	8624	9492	9492	9492	10820	9492
T(H)	4,130	7,865	9,784	5,217	4,213	9,804	6,849	7,860	1,379
M(Fm)	-9,578	2,884	-4,614	-1,503	-3,391	-0,69	-3,666	-6,479	-9,444
Z	32,72	32,72	32,72	32,72	34,813	32,813	32,81	31,94	31,94
P+M/Z	8364	<0	<0	624	<0	7701	<0	<0	438

Vérification de la condition de non enracinement du béton (Art 30.62 CEBFS)

$$r \geq 0,10 \cdot \phi \frac{0a}{6b_0} \cdot \left(1 + \frac{\phi}{d_1}\right) d = r_0.$$

$d=1 \rightarrow$ barre courbée et isolée

$d=5h_3 \rightarrow$ 2 lots de barres courbées

$d=7h_3 \rightarrow$ 3 lots de barres courbées.

$$r=5,5 \phi \Rightarrow r(\phi=1,2)=6,6 ; \quad r(\phi=1,4)=7,7$$

$$\text{Pour } \phi=1,2 \Rightarrow r \geq 0,10 \times 1,2 \times \left(\frac{1+1/2}{10} \right) \cdot \frac{1}{6b_0} \cdot 0a = 1,991 \cdot 10^{-3} \cdot 0a$$

$$\phi=1,4 \Rightarrow r \geq 0,10 \times 1,4 \times \left(\frac{1+1/4}{10} \right) \cdot \frac{1}{6b_0} \cdot 0a = 2,338 \cdot 10^{-3} \cdot 0a$$

Si on considère que les armatures travaillent à leur contrainte admissible

$$\text{si } \phi=1,2 \Rightarrow r \geq 2,78 \text{ cm si } d=1$$

$$r \geq 2,92 \text{ si } d=5h_3$$

$$r \geq 3,25 \text{ si } d=7h_3$$

$\sigma_1 = 0$ à l'origine de la courbure

$d_1 =$ distance du centre de courbure à la paroi

$$d_1 = \frac{5\phi}{6} + d$$

$$= \frac{5 \cdot 5,5 \cdot 1,2}{6} + 1,2 = 7,7 \text{ cm}$$

$$= 1,991 \cdot 10^{-3} \cdot 7,7 = 1,51 \text{ cm}^2$$

$$= 2,338 \cdot 10^{-3} \cdot 7,7 = 1,78 \text{ cm}^2$$

$$= 2,338 \cdot 10^{-3} \cdot 2,78 = 0,66 \text{ cm}^2$$

$$= 2,338 \cdot 10^{-3} \cdot 2,92 = 0,68 \text{ cm}^2$$

$$= 2,338 \cdot 10^{-3} \cdot 3,25 = 0,76 \text{ cm}^2$$

Vérification de l'adhérence (Art 29 CCPA 68).

$$2d \leq \bar{2d}$$

$$\bar{2d} = 2\psi d \cdot \bar{\delta} = 2 \times 1,5 \times 5,9 = 17,7 \text{ kg/cm}^2.$$

$$2d = \frac{T_{max}(SP_1)}{nPz}$$

n: nbre de barres
 $\bar{\delta} = 7/8 \cdot h$
 $P = \text{perimètre de la barre} = \pi \phi$.

Portique	transversal Intermediaire				longitudinal G				
	3	2	1	0	v	3	2	1	0
T (N)	4,130	4,347	4,347	5,217	2,530	9,804	6,549	6,654	1,779
2d (kg/cm²)	14,35	7,55	10,07	11,1	6,82	13,68	9,12	7,83	2,4

• Armatures transversales.

• RPA 81 (Art 42322 - RPA81)

des sollicitation du 2^e genre ne sont pas à prendre en compte pour le calcul des armatures transversales

Quantité d'acier At

la quantité d'acier est donnée par $At = 0,003 \rho' b_1$
avec $\rho' \leq \frac{ht}{2}$ (ht: hauteur de la poutre)
 $b_1 = \frac{2}{2}$ largeur du plateau.

• Espaces

L'espace entre les armatures transversales doit être déterminé comme suit:

Dans la zone nodale: $S \leq \min\left(\frac{ht}{4}, 12\phi\right)$

En dehors de la zone Nodale: $S \leq \frac{ht}{2}$.

Donc:

$$At \geq 0,003 \rho' b_1 = 0,003 \cdot 20 \times 30 = 1,8 \text{ cm}^2$$

on choisisra (1 cadre + 1 étrier) $\phi 8 \Rightarrow At = 2,01 \text{ cm}^2$.

Autres transversales:

Espace en zone nodale: $S \leq \min(10, 16,8) = 10 \text{ mm}$

Espace en dehors de la zone nodale: $S \leq \frac{ht}{2} = 20 \text{ mm}$

Autres longitudinales:

Espace en zone nodale: $S \leq \min(10, 14,4) = 10 \text{ mm}$

Espace en dehors de la zone nodale: $S \leq \frac{ht}{2} = 20 \text{ mm}$

• Vérification au cisaillage.

La contrainte de cisaillage maximale $\sigma_s \max = \frac{\tau_{\max}}{b \cdot 2}$

τ_{\max} effort tranchant maxi sur appui.

$$\tau_{b \max} \leq \frac{\sigma_b}{\sigma_{b0}} = 3,5 \frac{\sigma_b}{\sigma_{b0}}$$

$$\tau_{b \max} \leq \frac{(4,5 - \frac{\sigma_b}{\sigma_{b0}})}{\sigma_{b0}} \frac{\sigma_b}{\sigma_{b0}} \quad \text{or} \quad \frac{\sigma_b}{\sigma_{b0}} < 2,6$$

• Calcul de Armatures transversales.

$$t \leq \max \left[h \left(1 - \frac{0,3 \sigma_b}{\sigma_{b0}} \right), 0,2h \right]$$

$$\text{avec } t = \frac{At}{2\sigma_{at}} \quad \text{orat: C'est admissible de armatures transversales}$$

Les valeurs de σ_b , t , s sont données dans le tableau suivant.

• Armatures transversales.

Le tableau ci-dessous donne :

la contrainte de cisaillement maximum

A_t : quantité d'armatures transversales

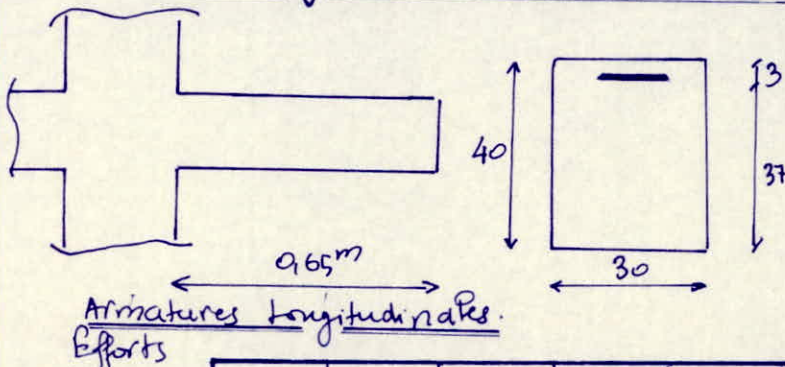
t : espacement des armatures

s : espacement donné par le règlement

Niveau	T(H)	S(m)	$\sigma_b(\frac{P}{A})$	$\sigma_f(\frac{P}{A_f})$	A_t	t	\bar{t}_{CCBA}	s_{RPA}	t_{chiss}
Portique transversal BLOCA									
3	4,13	32,7	4,21	20,65	2,01	61,5	29,4	10	9
2	4,35	32,7	4,43	20,65	2,01	58,6	28,9	10	9
1	4,35	32,7	4,43	20,65	2,01	58,6	28,9	10	9
0	5,22	32,7	5,32	20,65	2,01	47,6	27,2	10	9
Portique longitudinal G BLOCB									
4	2,530	32,8	2,57	20,65	2,01	104,1	32,6	10	9
3	9,804	31,7	10,31	20,13	4,01	81,9	17,3	10	9
2	6,849	32,2	6,77	19,3	2,01	36,26	24,13	10	9
1	6,654	31,7	6,99	16,7	2,01	34,9	23,4	10	9
0	1,779	32,8	1,79	20,65	1,01	151	34	10	9

On poursuivra la répartition des armatures suivant la série des espacements donné par Caquot tout en veillant à ne pas dépasser la valeur de s donnée par le règlement

• Ferraillage des Consolés (BLOC B).



Niveau	$M(G)$	$M(P)$	$M(G+2P)$	$T(G)$	$T(P)$	$T(G+2P)$
4	0,218	0,014	0,235	2,244	0,238	2,530
3	1,018	0,069	1,101	5,080	3,041	8,729
2	0,768	0,005	0,774	4,082	1,832	6,280
1	0,768	0,005	0,774	3,994	1,817	6,174

On fera les calculs pour la section la plus sollicitée.

Calcul de ferraillage.

$$M_{Rn} = \bar{K} b h^2$$

$$\bar{a} = \frac{\bar{b}^2}{\bar{b}^2 + \bar{b}^2/h} = \frac{1377}{1377 + 2800/15} = 0,425 \quad \Rightarrow \bar{K} = \frac{1}{2} \bar{a} (1 - \bar{a}) \bar{b}^2 = 24.$$

$$M_{Rn} = \bar{K} b h^2 = 24 \times 30 \times 37^2 = 9,85 \cdot 10^5 \text{ kg.cm} \rightarrow M_{ext} = 1,101 \text{ kg.cm} \Rightarrow A' = 0$$

$$M_{ext} = 1,101 \text{ kg.cm} \rightarrow P_2 = \frac{15M}{\bar{b}^2 h^2} = 0,0144 \rightarrow \varepsilon = 0,9465 \rightarrow R = 78,5.$$

$$A = \frac{H}{\bar{b} \varepsilon \cdot h} = \frac{110100}{2800 \times 0,9465 \times 37} = 1,123 \text{ cm}^2 \quad \text{et } \bar{b} = \frac{2800}{78,5} = 35,67 \frac{\text{kg}}{\text{cm}^2}$$

Condition de non fragilité : $A \geq 0,69 \cdot b \cdot h \cdot \frac{\bar{b}^2}{h} = 0,69 \cdot 30 \times 37 \times \frac{37}{37} = 1,08$
Minimum RPA $A_e \geq \frac{0,3}{100} \times b \cdot h = \frac{0,3}{100} \times 30 \times 40 = 3,6 \text{ cm}^2$.

A_{sup} et $A_{inf} > 3 \text{ cm}^2$. \Rightarrow on choisira $BT12 = 3,39 \text{ cm}^2$.
Conduite de non fissuration : $G_1 = 8170 \text{ kg/cm}^2 > 2800 \text{ kg/cm}^2$.

Armatures transversales

Contrainte de cisaillement $\tau_b = \frac{T}{b \cdot t} = \frac{8730}{30 \times \frac{7}{8} \times 37} = 8,9 < 3,5 \bar{b} = 29,6 \frac{\text{kg}}{\text{cm}^2}$

On choisira $A_t = 4T8 = 2,01 \text{ cm}^2$

$$\text{D'où } t = A_t \cdot 30 \bar{a}_t = 2,01 \times \frac{7}{8} \times 37 \times 2800 = 20,87.$$

$$t = \max \left[0,2h, h \left(1 - \frac{0,3 \bar{b}^2}{5,9} \right) \right] = \max [7,4, 20,07] = 20,07.$$

On prendra le minimum préconisé par le RPT 81 i.e. $\min [h/4, 12f, 30] = 9 \text{ cm}$

CHILL &

FEIRERILLAGE DES
PROTEURIX

FERRAILLAGE DES POTEAUX

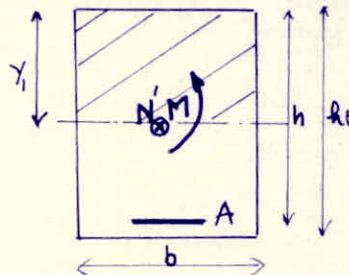
Introduction:

des poteaux sont calculés en flexion composée sous un effort normal N et des moments fléchissants en tête et à la base du poteau dans les 2 sens transversal et longitudinal.

L'effort normal est un effort global dû aux sollicitations sous G et P dans les 2 sens et aux sollicitations dûs au séisme dans le sens où l'on étudie la flexion composée.

Calcul des Armatures longitudinales.

Section partiellement Comprimée



Ce cas se présente lorsque l'effort N' étant un effort de compression, il est appliqué en dehors du noyau central de la section du béton. On a: $e_0 = \frac{M}{N'} \geq \frac{ht}{6}$.

M étant le moment de flexion par rapport au centre de gravité du béton seul.

On fera le calcul de la section en flexion simple sous l'effet d'un moment $ck = N'e$ et $\ell = \rho_0 + (\frac{ht}{2} - d)$.

Section partiellement Comprimée sans A' ($ck < Mrn$)

Calcul des Armatures

$$M, N', e_0 = M/N' > \frac{ht}{6}$$

$$e_0 > ht/6 \Rightarrow \bar{\sigma}'b = 2\bar{\sigma}'b_0$$

$$\bar{\sigma}'b < ht/2 \Rightarrow \bar{\sigma}'b = \bar{\sigma}'b_0 \cdot (1 + 2e_0/h)$$

$$ck = N'e; \ell = \rho_0 + (ht/2 - d)$$

$$\bar{R} = \bar{\sigma}a : \bar{\sigma}'b$$

$$\alpha = 15(\bar{R} + 15)$$

$$\varepsilon = 1 - (\alpha / 3)$$

$$\mu' = (\alpha \cdot \varepsilon) / 2$$

$$Mrn = \bar{\sigma}'b h^2 \bar{\sigma}'b$$

$$Mrn > ck$$

↓(a)

$$I = \frac{1}{3} \times h \times b^3$$

$$A_{FS} = ck : (3\bar{\sigma}a)$$

$$A = A_{AC} = A_{FS} - N \div \bar{\sigma}a$$

$$\text{↓(b)}$$

Calcul des Contraintes

$$\text{Resoudre: } b(y_1^2/2 - nA(b-y_1)) = 0$$

$$I = by_1^3/3 + nA(h-y_1)^2$$

$$\bar{\sigma}'b = ck y_1 / I$$

$$\bar{\sigma}a = nck(h-y_1) / I$$

Fin

Section partiellement comprimée Avec A'. (M > M_{rn})

Calcul des Armatures

$$M, N' \text{ et } \ell_0 = M/h' > h/6$$

$$\ell_0 > h/2 \Rightarrow \bar{\delta}' b = 2\bar{\delta}' b_0$$

$$P_a < h/2 \Rightarrow \bar{\delta}' b = \bar{\delta}' b_0 (1 + 2\ell_0/h)$$

$$CH = He; \ell = \ell_0 + (h/2 - d)$$

$$Ca ? \Rightarrow M_{rn} (A + A')$$

$$\sigma_a = f(\xi); \xi = \ell_0/h$$

tableau Charon page 297

$$\sigma_a = 15\bar{\delta}' b (d - \bar{\delta}' b)/d$$

$$\alpha = \frac{n}{M_{rn}} \text{ et } k = \sigma_a/\bar{\delta}' b$$

$$\alpha = 15(k + 15)$$

$$\varepsilon = 1 - d/3$$

$$\ell' = (d \cdot \varepsilon)/2$$

$$M_{rn} = \ell' b h^2 \bar{\delta}' b$$

$$M_{rn} < M_{ext}$$

$$\Delta M = CH - M_{rn}$$

$$\sigma_a = k \bar{\delta}' s$$

$$\delta' = d'/h$$

$$\bar{\omega} = 100d/(2k)$$

$$\sigma_a = 15(d - \delta') \bar{\delta}' b \cdot d$$

$$A'_{FS} = \Delta M : [\sigma_a (h - d')]$$

$$A_{FS} = \bar{\omega} b h : 100 : [\sigma_a (h - d')]$$

$$A'_{Fc} = A'_{Fs} = A'$$

$$A_{Fc} = A_{Fs} = M/h^2 a$$

Calcul des Contraintes.

$$C = \frac{h}{2} - \ell_0$$

$$P = C/k$$

$$\delta' = d'/h$$

$$\bar{\omega}' = 100A'/b \cdot R$$

$$w = 100A/b \cdot h$$

$$P = 3\left\{ P_2 + q_3 \left[\bar{\omega}' (P - \delta') - \bar{\omega} (1 - P)^2 \right] \right\}$$

$$q = 2\left\{ P^3 + q_4 \left[\bar{\omega}' (P - \delta')^2 + \bar{\omega} (1 - P^2) \right] \right\}$$

$$\text{Résoudre } \alpha^3 = Pd + q$$

$$y_2 = d \cdot h$$

$$y_1 = y_2 + c$$

$$S = b y_1^2 + 15[(A)(y_1 - d) - A \cdot (h - y_1)]$$

$$K = H/S$$

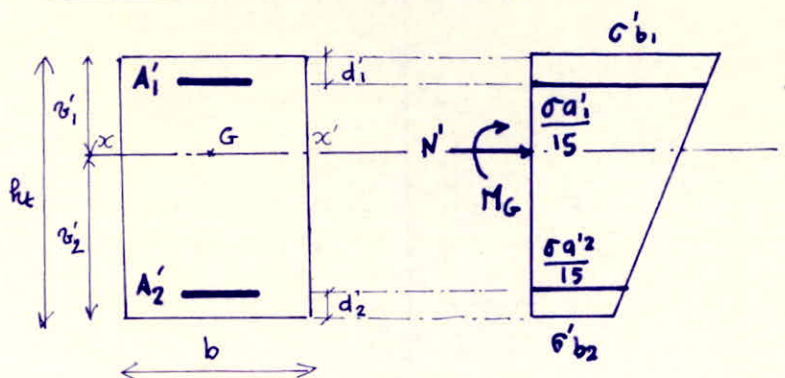
$$\delta' b = K \cdot x_1$$

$$\delta' a = 15K \cdot (y_1 - d)$$

$$\delta' a = 15K \cdot (h - y_1)$$

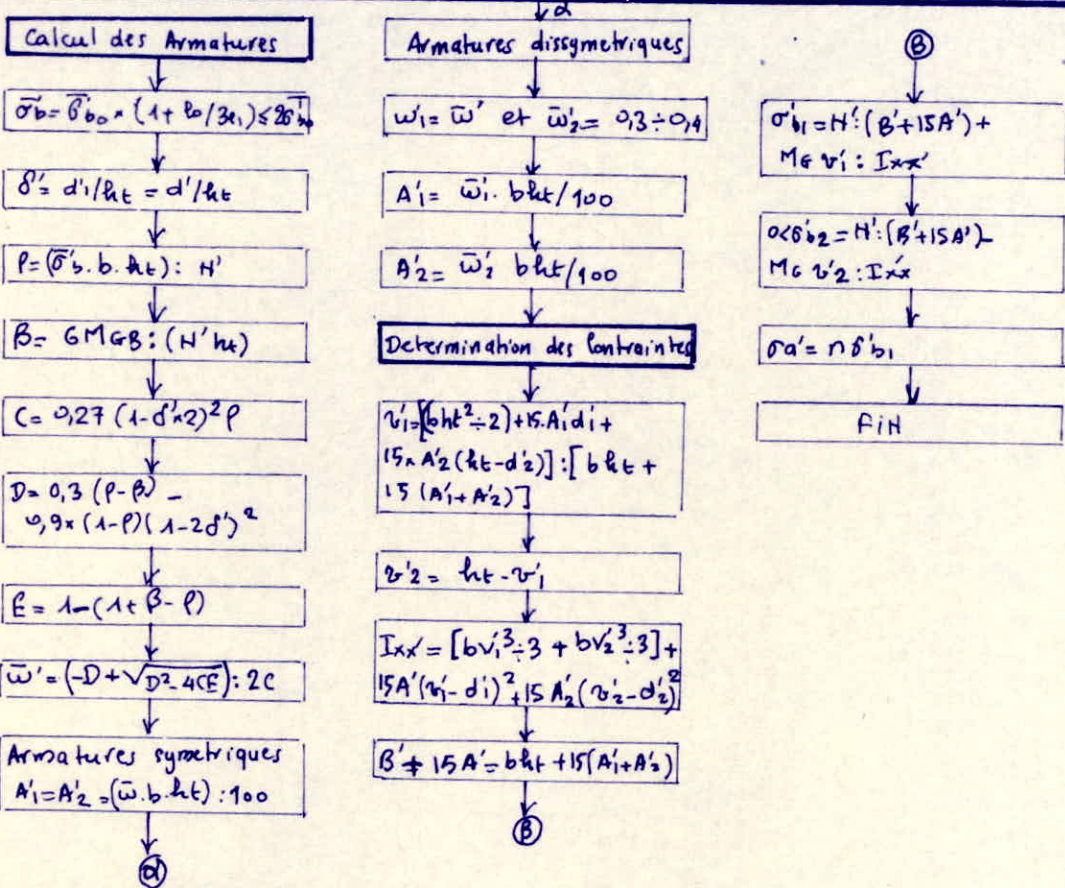
FIN

Section entièrement comprimée.



Le cas se présente lorsque l'effort N' n'est pas un effort de compression, il est appliquée à l'intérieur du noyau central de la section.

$$\ell_0 = \frac{M}{H'} < \ell_1 = \frac{h}{6}$$



Cas de la compression simple

La section d'armatures longitudinales doit vérifier les 3 conditions:

$$A \geq \frac{1.25}{1000} \cdot \Theta_1 \cdot \Theta_2 \cdot \Theta_3 \cdot \frac{f'_y}{\bar{\sigma}'_b} \cdot B.$$

$$A \geq \frac{1}{n} \cdot \left(\frac{N'}{\bar{\sigma}'_b} - B \right).$$

$$A \leq \frac{B}{20}.$$

Coefficient Θ_1 : coefficient qui tient compte de l'excentricité de la charge

$\Theta_1 = 1.8 \rightarrow$ poteau d'angle

$\Theta_1 = 1.4 \rightarrow$ poteau de rive

$\Theta_1 = 1 \rightarrow$ poteau central.

Coefficient Θ_2 : Coefficient qui tient compte de l'allongement du poteau

$$\Theta_2 = 1 + \frac{lc}{4a - c}$$

lc: longueur de flambement.

c: emballage des aciers longitudinaux

a: petit dimension du poteau.

Coefficient Θ_3 : Coefficient qui tient compte de la nuance de l'acier.

$$\Theta_3 = 1 + \frac{2160}{\sigma_{eu}}$$

σ_{eu} : courbure limite élastique de l'acier.

• Calcul au flambement:

des poteaux sont justifiés en compression simple sans qu'il en soit tenu compte de l'effet de leur déformation le pas de risque de flambement

$$\frac{L_c}{a} \leq 14,4 \quad \text{avec } L_c = 0,7 L_o \\ \text{ou} \\ L_c = 0,9 L_o$$

L_o : Longueur libre du poteau
 L_c : Longueur de flambement
 a : \oplus petite dimension du poteau

Pour les poteaux de notre structure cette condition est vérifiée en effet: $\max L_o = 4,59m \Rightarrow L_c = 0,7 \times 4,59 = 4,13$
 $a = 0,30m$

$$\frac{L_c}{a} = \frac{4,13}{0,30} = 13,77 < 14,4.$$

• Recommandations du RPA 81 (Art 4.2.3.1.1).

Les barres longitudinales doivent être des barres à haute adhérence.

Les barres verticales doivent être droites sans crochets
 Le pourcentage minimal des armatures longitudinales sera de 1% en zone II sans toutefois dépasser 4% pour $6^{\circ}28 \leq 270b$
 Le diamètre est de (minimal): 14mm en zone II.

La distance entre les barres verticales dans une face du poteau ne doit pas dépasser 25cm en zone II.

Les jonctions par recouvrement doivent être faites, si possible, à l'intérieur des zones des noeuds.

La longueur de recouvrement est au moins égale à 50ϕ . Pas de crochets dans celle ci.

BLOC A - Portique Transversal Intermédiaire.
 Sollicitations (1^{er} genre et 2^{er} genre) à prendre en compte pour le ferraillage longitudinal des poteaux. — Sens transversal.

file	Poteau	Supplément sur N'			SP ₁		SP ₂				
		Poids du pot (t)	N' _g (Sens _h)	N' _p (Sens _h)	N'(t)	M(tm)	N' _{max}	H corresp	N' _{min}	H corresp	M _{max}
Sens transversal											
E	1-3	1,80	1,24	0,08	6,84	0,972	8,54	6,026	3,41	3,579	6,030
	3-5	1,80	3,57	0,22	13,28	0,684	18,79	9,304	3,85	6,950	9,304
	5-7	1,682	5,93	0,35	19,65	0,484	30,67	13,660	2,80	11,020	13,660
	7-9	0,56	9,24	0,55	26,89	1,191					30,67
F	2-4	0,68	1,22	0,15	10,28	0,063	11,46	1,311	5,85	1,185	1,433
	4-6	0,68	2,23	0,53	20,32	0,054	24,11	2,302	8,25	1,988	2,404
	6-8	1,35	4,79	1,19	32,92	0,061	39,78	8,519	12,01	7,149	8,579
	8-10	0,45	5,77	1,73	43,95	0,164					22,99
Sens longitudinal											
E	1-3	1,80	3,11	0,49	8,32	/	8,58	3,565	5,68	3,565	
	3-5	1,80	5,58	1,73	17,09	/	17,96	6,112	10,49	6,112	N _{max} - H corresp
	5-7	1,68	8,06	2,96	26,83	/	28,13	11,788	15,23	11,788	IDEM
	7-9	0,56	10,46	4,97	37,38	/					
F	2-4	0,68	6,91	1,08	11,83	/	11,79	2,139	7,92	2,139	
	4-6	0,68	12,26	3,76	23,47	/	23,29	3,666	13,43	3,666	
	6-8	1,35	17,61	6,44	39,76	/	39,61	7,596	21,86	7,596	
	8-10	0,45	22,72	10,71	52,67	/					

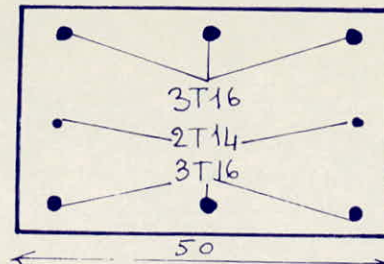
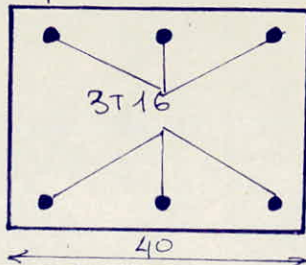
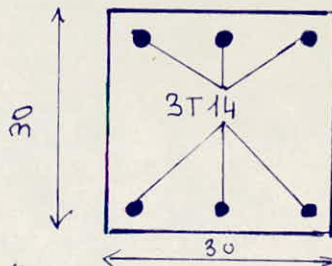
NB: On n'a pas fait figurer les poteaux de la file G et H car ils sont identiques respectivement à F et E.
 On n'a pas de monnaies pour SP₁ car ce bloc a été calculé avec la méthode feraîtaise dans le sens longitudinal.

BLOC A Portique transversal Intermediaire . Calcul du ferraillage et Contraintes (1^e Génre)
Sens transversal.

File	Poteau	H(t)	M(t/m)	Mini RPA (cm ²)	l ₀ (cm)	r _i (cm)	Sollicit ^{ex}	G _b	A ₁ = A ₂ '	Section choisie	O _{b1} '	G _{b2} '	G _a '
E	1-3	6,84	0,972	15	14,21	8,33	pc	108,12	<0	GT16 + 2T14	o _b ' 34,28	/	o_a' 36,5 o_a' 32,3
	3-5	13,28	0,684	15	5,75	8,33	ec	83,03	<0	GT16 + 2T14	12,32	3,62	185
	5-7	19,65	0,434	15	2,21	8,33	ec	75,11	<0	GT16 + 2T14	14,54	9,03	218
	7-9	26,89	1,191	15	4,44	8,33	ec	81,09	<0	GT16 + 2T14	23,72	8,54	356
F	2-4	10,28	0,063	9	0,006	5,0	ec	68,85	<0	6T14	11,53	9,12	173
	4-6	20,32	0,054	9	0,003	5,0	ec	68,85	<0	6T14	21,48	19,48	307
	6-8	32,92	0,061	12	0,002	6,67	ec	68,85	<0	6T16	25,56	24,30	383
	8-10	43,95	0,164	12	0,004	6,67	ec	68,85	<0	6T16	34,96	31,60	524

NB: ec → entièrement comprimé
pc → partiellement comprimé.

Minimum préconisé par le RPA 81 dans chaque section



BLOCA Portique transversal intermédiaire.
Vérification du ferraillage sous SP₂
Sens transversal

Fil	Pot	M(tm)	N(t)	e ₀ (cm)	e ₁ (cm)	Sol	\bar{G}'_b	$A=A'$ (cm ²)	C (cm)	σ_b'	σ_a'	Ga
$N^{\max} - M^{\text{corresp}}$												
E	1-3	6,026	8,54	70,6	8,33	PC	206,5	5,56	-45,6	59,4	724	1739
	3-5	9,304	18,79	49,5	8,33	PC	206,5	5,56	-24,5	96,7	1204	2422
	5-7	13,660	30,67	44,5	8,33	PC	206,5	5,56	-19,5	139	1756	3222
F	2-4	1,311	11,46	11,4	5,0	PC	181,78	3,08	3,6	41,0	511	322
	4-6	2,302	24,11	9,5	5,0	PC	168,68	3,08	5,5	727	931	348
	6-8	8,519	39,78	21,4	6,67	PC	206,5	4,02	-1,4	148,5	1867	2226
$N^{\min} - M^{\text{corresp}}$												
E	1-3	3,579	3,41	104,8	8,33	PC	206,5	5,56	-79,8	37,5	444	1279
	3-5	6,946	3,85	180,6	8,33	PC	206,5	5,56	-155,6	65,3	781,0	2443
	5-7	11,020	2,80	393,4	8,33	PC	206,5	5,56	-368,4	93,7	1074	3788
F	2-4	1,1185	5,85	20,3	5,0	PC	206,5	3,08	-5,3	38,6	431	746
	4-6	1,988	8,25	24,1	5,0	PC	206,5	3,08	-9,1	64,4	699	1431
	6-8	7,1149	12,01	59,5	6,67	PC	206,5	4,02	-39,5	123,2	1385	3888
$M^{\max} - N^{\text{corresp}}$												
E	1-3	6,026	8,54	70,6	8,33	PC	206,5	5,56	-45,6	59,4	723	1739
	3-5	9,304	18,79	49,5	8,33	PC	206,5	5,56	-24,5	96,7	1204	2421
	5-7	13,660	30,67	44,5	8,33	PC	206,5	5,56	-19,5	139	1756	3222
F	2-4	1,433	8,60	16,7	5,0	PC	206,5	3,08	-1,7	46,24	536	721
	4-6	2,424	14,81	16,2	5,0	PC	206,5	3,08	-1,2	77,11	900	1160
	6-8	8,597	22,99	37,4	6,67	PC	206,5	4,02	-17,4	152,8	1790	3890

Donc les sections choisies ^{précédemment} "ultérieurement" vérifient les contraintes sous SP₂ (dans le sens transversal).

BLOC A - Portique transversal Intermédiaire
 Vérification du ferraillage sous SP₁
 Vérification du ferraillage sous SP₂
 Sens longitudinal.

NB: Sous SP₁ on fait la vérification en compression simple.

file	Pot	N(t)	Min CCB _A cm ²	Min RPA cm ²	Siae charrire	σ _b	σ _{a'}
E	1-3	8,32	15	0,91	15,14 cm ²	5,5	83,25
	3-5	17,09	15	1,86	15,14 cm ²	11,4	170,8
	5-7	26,23	15	3,77	15,14 cm ²	17,5	262,5
	7-9	37,38	15	2,75	15,14 cm ²	24,9	373,5
F	2-4	11,83	9	0,919	9,23 cm ²	13,14	197,11
	4-6	23,47	9	3,04	9,23 cm ²	26,0	391
	6-8	39,76	12	4,08	12,06 cm ²	33,1	496,9
	8-10	52,67	12	3,46	12,06 cm ²	43,9	658,4

Pot	Pot	M(tm)	N(t)	e ₀ (cm)	e ₁ (cm)	Sol	σ _b '	A=A' cm ²	c (cm)	σ _b	σ _{a'}	σ _a
$N^{\max} - M^{\text{corresp}}$												
E	1-3	3,565	8,59	41,51	5	PC	206,5	6,03	-26,5	64,5	662	177,9
	3-5	6,112	17,96	34,03	5	PC	206,5	6,03	-19,0	109,8	1157	276,7
	5-7	11,788	28,13	41,9	5	PC	206,5	6,03	-26,9	214,7	2199	596,1
F	2-4	2,139	11,78	18,1	5	PC	206,5	4,62	-3,15	59,1	69,6	82,8
	4-6	3,666	23,29	15,7	5	PC	206,5	4,62	-9,74	103,2	123,9	123,3
	6-8	7,596	39,61	19,2	5	PC	206,5	6,03	-4,2	159,6	1860	2411
$N^{\min} - M^{\text{corresp}}$												
E	1-3	3,565	5,68	62,7	5	PC	206,5	6,03	-47,7	64,5	635	2024
	3-5	6,112	10,49	58,2	5	PC	206,5	6,03	-43,2	111,5	1104	3444
	5-7	11,788	15,23	77,4	5	PC	206,5	6,03	-62,4	221,6	2138	7342
F	2-4	2,139	7,92	27,0	5	PC	206,5	4,62	-12,0	58,2	649	1144
	4-6	3,666	13,43	27,3	5	PC	206,5	4,62	-12,3	101,2	1124	2022
	6-8	7,596	21,86	34,7	5	PC	206,5	6,03	-19,7	154,4	1667	3525

NB: la combinaison $M^{\max} - N^{\min}$ correspondant est inutile.
 de poteau du RDC de la file F ne vérifie pas les contraintes avec la 1^{re} section charrire. On choisira $A = A' = 5T16$. Les sections sont alors vérifiées.

BLOC B - Portique longitudinal G
Solidifications (1^{er} genre et 2nd genre) à prendre en compte
pour le ferraillage longitudinal des poteaux -

File	Pot	Sens transversal									
		Supplément Sur N'	SP ₁	SP ₂		M _{max}	M _{corps}	N _{min}	M _{corps}	M _{max}	N _{corps}
		Poids du pot (t)	N _G (sens 1)	N _P (sens 2)	N (t)	M (Nm)					
8'	3-10	0,68	1,08	0,13	5,99	0,031	8,152	2,697	2,279	2,294	2,758
	10-17	0,69	2,00	0,48	11,56	0,027	15,94	4,939	3,101	4,146	4,984
	17-24	1,37	4,40	0,83	19,29	0,030	26,55	14,519	5,083	10,457	12,558
	24-31	0,45	5,34	1,41	24,98	0,082					10,74
9	4-11	0,68	2,60	0,32	11,80	0,062	13,85	2,728	6,257	2,318	2,789
	11-18	0,69	4,71	1,12	23,29	0,054	25,41	4,965	10,168	4,160	5,010
	18-25	1,37	10,24	1,92	38,86	0,060	42,25	12,539	16,777	10,465	12,578
	25-32	0,45	12,21	3,16	51,899	0,164					26,44
13	1-8	0,80	2,16	0,27	9,36	0,104	9,43	2,318	6,598	2,091	2,522
	8-15	1,02	9,21	4,26	39,12	0,239	30,68	9,312	18,724	2,395	3,312
	15-22	0,92	14,54	6,68	44,94	0,325	45,76	5,278	25,70	4,753	5,278
	22-29	13,8	21,53	9,13	62,16	0,206	63,71	7,938	34,61	6,527	7,938
	29-36	0,45	23,52	10,37	74,115	0,300					13,71
14	9-9	0,80	2,75	0,27	11,08	1,103	10,02	2,783	7,91	1,608	2,783
	9-16	1,02	9,62	3,58	36,31	0,936	34,92	2,730	19,45	1,383	2,730
	16-23	0,92	15,82	5,43	51,54	0,374	49,91	4,749	29,21	4,429	5,430
	23-30	1,38	21,93	7,27	67,52	0,237	66,29	7,175	39,59	6,051	7,323
	30-37	0,45	22,86	7,85	72,71	0,331					65,16

NB: les poteaux de la file 10, 11, 12 sont débuts au poteau 9.

BLOC B - Portique longitudinal (1^{re} genrre et 2^e genrre) à prendre en compte
Solicitations pour le calcul du feraillage longitudinal

file	Pot	Sens Longitudinal									
		Supplément Sur N'	SP ₁			SP ₂					
Poids du pot (t)	N' _G (sensb)	N' _P (sensb)	N' _(t)	M (Nm)	N' max	M corsp	N' min	M corsp	M max	N' corsp	
8*	3-10	0,68	3,45	0,54	5,913	0,177	7,10	2,693	3,156	1,977	2,693
	10-11	0,69	6,13	1,88	11,28	0,303	15,35	3,939	3,59	2,958	3,939
	17-24	1,37	8,81	3,22	18,81	0,257	28,32	9,033	3,61	7,415	9,033
	24-31	0,45	11,36	5,35	24,20	0,124					
9	4-11	0,68	6,90	1,08	11,65	0,041	11,95	2,770	7,85	2,265	2,770
	11-18	0,69	12,26	3,76	22,76	0,033	23,52	4,784	12,56	3,990	4,784
	18-25	1,37	17,61	6,44	37,95	0,040	39,89	8,749	21,43	8,749	8,749
	25-32	0,45	22,72	10,71	49,88	0					
13	1-8	0,80	5,47	0,55	9,31	1,362	11,33	3,835	5,01	2,407	3,835
	8-15	1,02	14,03	1,35	30,73	1,164	33,35	3,182	16,15	1,571	3,182
	15-22	0,92	18,30	3,39	45,17	0,446	48,38	6,145	23,22	4,625	6,063
	22-29	1,38	23,16	5,44	62,47	0,233	66,71	8,804	31,81	8,749	8,804
	29-36	0,45	28,13	8,65	73,20	0					
14	9-9	0,80	6,43	0,69	10,99	1,229	13,02	3,737	6,25	2,480	3,737
	9-16	1,02	13,51	7,00	35,45	1,041	39,31	4,558	15,50	2,722	4,558
	16-23	0,92	19,88	7,96	51,10	0,840	58,06	4,690	22,49	3,300	4,690
	23-30	1,38	26,24	8,92	67,18	0,348	79,62	9,033	28,06	7,415	9,633
	30-37	0,45	29,36	10,15	72,24	0,348					

N.B.: les poteaux de la file 10, 11, 12 sont idem aux poteau 9.

BLOC B - Portique Longitudinal G - Calcul du ferraillage et Contraintes sous (Sp1). Sens Longitudinal

Fila	Pot	H (tm)	N (t)	Hin RPA	e0 (m)	e1 (m)	Sol	G'b	A calculé	A choisi	G'b1	G'b2	Gg'
8	3-10	0,177	5,91	9	3,0	5	ec	82,62	<0	3T14	8,73	2,66	131
	10-17	0,303	11,28	9	2,7	5	ec	81,24	<0	3T14	20,41	1,33	306
	17-25	0,257	19,81	12	1,4	5	ec	75,28	<0	3T16	16,94	10,3	254
	24-31	0,124	24,20	12	0,5	5	ec	71,14	<0	3T16	19,13	15,93	287
9	4-11	0,041	11,65	9	0,4	5	ec	70,69	<0	3T14	11,92	10,51	179
	11-18	0,033	22,76	9	0,1	5	ec	69,31	<0	3T14	22,48	21,02	337
	18-25	0,040	37,95	12	0,1	5	ec	63,31	<0	3T16	28,0	26,97	420
	25-32	0	49,88	12	0	5	comp.Spla	68,85	<0	3T16	$\sigma'_{b}=36$	542	
13	1-8	1,362	9,31	12	14,6	5	p.c	135,86	0,489	3T16	$\sigma'_{b}=\frac{54,17}{53,2}$	—	$\frac{53,2}{60,340}$
	8-15	1,164	30,73	12	3,8	5	e.c	86,29	<0	3T16	37,29	7,21	559
	15-22	0,446	45,17	12	1,0	5	e.c	73,44	<0	3T16	38,47	26,94	577
	22-29	0,233	62,47	12	0,4	5	e.c	70,69	<0	3T16	48,25	42,53	723
	29-36	0	73,20	12	0	5	comp.simp	68,85	<0	3T16	$\sigma'_{b}=53$	795	
14	2-9	1,229	10,99	12	11,2	5	e.c	120,26	<0	3T16	23,84	3,92	357,6
	9-16	1,041	35,45	12	2,9	5	e.c	82,16	<0	3T16	39,12	12,22	587
	16-23	0,540	51,10	12	1,1	5	e.c	73,9	<0	3T16	43,98	30,02	659
	23-30	0,343	67,18	12	0,5	5	e.c	71,14	<0	3T16	53,08	44,22	796
	30-37	0,348	72,24	12	0,5	5	e.c	71,14	<0	3T16	56,82	47,82	852

BLOC B

N_{max} - M_{corresp}

Sollicitations sous SP2 - Vérification du ferraillage trouvé sous SP1 - Sens longitudinal.

file	Pd	M(kNm)	N(k)	e ₀ (m)	e ₁ (m)	Soll	$\bar{\sigma}_b$	A=A'	C	σ_b	σ_a'	σ_a
8	3-10	2,693	7,10	37,9	5	PC	206,5	4,62	-22,9	79,49	795,	1778
	10-17	3,939	15,35	25,7	5	PC	206,5	4,62	-10,7	109,72	1228	2114
	17-24	9,033	28,32	31,9	5	PC	206,5	6,03	-16,9	182,74	1995	3976
9	4-11	2,770	11,95	23,2	5	PC	206,5	4,62	-8,2	75,38	858	1320
	11-18	4,784	23,52	20,3	5	PC	206,5	4,62	-5,3	99,88	1207	1122
	18-25	8,749	39,89	21,9	5	PC	206,5	6,03	-6,9	152,84	1792	2176
13	1-8	3,835	11,33	33,9	5	PC	206,5	6,03	-18,9	79,71	861	1816
	8-15	3,182	33,55	9,5	5	PC	168,68	6,03	+5,5	68,99	890	267
	15-22	6,145	48,38	12,7	5	PC	190,71	6,03	+2,3	131,45	1628	1118
	22-29	8,804	66,71	13,2	5	PC	194,16	8,04	+1,8	169,72	2118	1326
14	2-9	3,737	13,02	28,7	5	PC	206,5	6,03	-13,7	76,94	849	1590
	9-16	4,558	39,31	11,6	5	PC	183,1	6,03	+3,4	97,31	1222	671
	16-23	4,690	58,06	8,1	5	PC	159,0	6,03	+6,9	105,89	1390	197
	23-30	9,033	79,62	11,3	5	PC	181,1	12,10	+3,7	155,3	1992	705

NB: la section d'acier minimale donnée par le RPA 81 et vérifiée précédemment sous SP1 n'a pas vérifié les contraintes sous SP2 pour les poteaux du ROC de la file 13 et 14. Un calcul a été fait pour ces 2 sections et a donné le ferraillage exposé dans le tableau ci-dessus.

BLOC B.N_{min} - M_{corps}

Sollicitations sous SP2 - vérification du ferrailage vague' sous SP1 - Sens Longitudinal												
file	Pot	M(tm)	N(H)	e0(cm)	e1(cm)	Sol	$\bar{\sigma}'_b$	A=A'	C	G'_b	σ_a'	σ_a
8	3-10	1,977	3,16	62,6	5	pc	206,5	4,62	-47,6	30,18	325,	690
	10-17	2,958	3,59	82,5	5	pc	206,5	4,62	-67,5	31,15	340	678
	17-24	7,1415	3,61	205,6	5	pc	206,5	6,03	-190,6	1864	349	904
9	4-11	2,265	7,85	28,8	5	pc	206,5	4,62	-13,8	66,7	730	1343
	11-18	3,990	12,56	31,7	5	pc	206,5	4,62	-16,7	112,9	1227	2505
	16-25	8,749	21,43	39,6	5	pc	206,5	6,03	-24,6	124,9	1381	2557
13	1-8	2,407	5,01	48,0	5	pc	206,5	6,03	-33	30,0	331	628
	8-15	1,571	16,15	9,5	5	pc	168,6	6,03	+5,5	34,5	444	139
	15-22	4,625	23,22	19,9	5	pc	206,5	6,03	-4,9	94,11	1096	1482
	22-29	8,749	31,91	27,5	5	pc	206,5	8,04	-12,5	124,8	1464	1790
14	9-9	2,480	6,25	39,7	5	pc	206,5	6,03	-24,7	35,6	395	720
	9-16	2,722	15,50	17,6	5	pc	206,5	6,03	-2,6	58,6	670	766
	16-23	3,300	22,49	14,7	5	pc	204,5	6,03	-0,3	69,5	844	745
	23-30	7,415	28,06	26,42	5	pc	206,5	12,10	-11,42	101,6	1208	1319

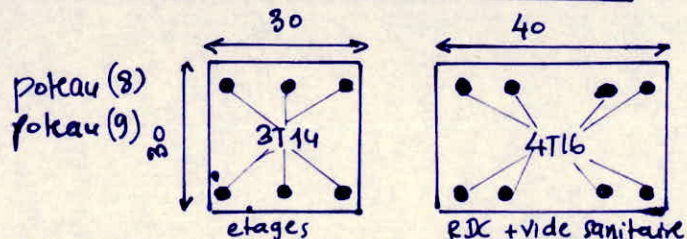
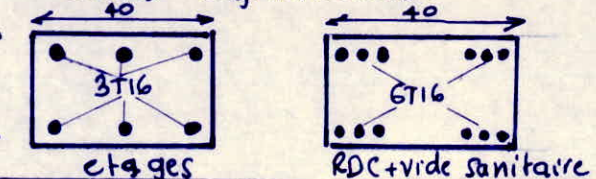
BLOC B.

 $N_{\text{max}}^{\text{corresp}}$

Solicitations sous SP2 - vérification du ferraillage trouvé sous SP1 - Sens transversal

file	Pot	M(km)	N(kN)	e_0 (cm)	ℓ_1 (m)	Sol	δ_b'	$A=A'$	C(m)	σ_b'	σ_a'	σ_a
8	3-10	2,697	8,152	33,1	5	pc	206,5	3,08	-18,1	85,5	987	2284
	10-17	4,939	15,936	31,0	5	pc	206,5	3,08	-16	158,2	1654	4105
	17-24	12,519	26,55	47,2	6,67	pc	206,5	8,04	-27,2	196	1286	4124
9	4-11	2,728	13,85	19,7	5	pc	206,5	3,08	-4,7	90,03	1009,	1719
	11-18	4,965	25,41	19,5	5	pc	206,5	3,08	-4,5	158,6	1791	2917
	11-25	12,590	42,25	29,7	6,67	pc	206,5	8,04	-9,7	201	1548	3340
13	1-8	2,318	9,42	24,6	6,67	pc	206,5	4,02	-4,6	40,3	498	711
	8-15	3,312	30,68	10,8	6,67	pc	159,0	4,02	+9,2	59,4	806	155
	15-22	5,278	45,76	11,5	6,67	pc	162,6	4,02	+8,5	92,9	1256	319
	22-29	7,938	63,71	12,5	6,67	pc	167,8	8,04	+7,5	141,6	1394	387
14	9-9	2,784	10,02	27,8	6,67	pc	206,5	4,02	-7,8	49,2	587	958
	9-16	2,730	34,92	7,8	6,67	pc	143,5	4,02	+12,2	54,3	753	40
	16-23	4,749	40,99	9,5	6,67	pc	152,3	4,02	+10,5	88,1	1207	98
	23-30	7,175	66,27	10,8	6,67	pc	159,0	8,04	+9,2	128,6	1336	115.

Sections choisies définitivement:

Poteau(13)
et
Poteau(14)

O 7 6

BLOC B.

N^{min} - M^{corp}Sollicitations sous SP₂ - vérification du ferrailage trouvé sous SP₁ - Sens Transversal

Fila	Pot	M(tNm)	N(t)	Po(cm)	t ₁ (cm)	Sel	$\bar{\sigma}^b$	A=A'	C	σ^b	σ^a	σ^c
8	3-10	2,294	2,279	100,7	5	PC	206,5	3,08	-85,7	65,5	608	2384
	10-17	4,146	3,701	112,0	5	PC	206,5	3,08	-97	131,6	1205	3641
	17-24	10,456	5,038	207,6	6,67	PC	206,5	8,04	-147,6	198,2	1360	4114
9	8-11	2,318	6,257	37,0	5	PC	206,5	3,08	-22	75,7	769	2163
	11-18	4,160	10,168	40,9	5	PC	206,5	3,08	-25,9	131,7	1326	3874
	18-25	10,465	16,777	62,4	6,67	PC	206,5	8,04	-424	149,9	1729	3905
13	1-8	2,091	6,598	31,7	6,67	PC	206,5	4,02	-11,7	36,7	439	828
	8-15	2,395	18,721	12,8	6,67	PC	169,3	4,02	+7,2	41,7	558	211
	15-22	4,735	25,700	17,0	6,67	PC	191,0	4,02	+3	76,1	984	793
	22-29	6,527	34,606	18,9	6,67	PC	200,3	8,04	+1,1	119,6	971	1043
14	2-9	1,688	7,911	21,3	6,67	PC	206,5	4,02	-1,3	29,6	372	447
	9-16	1,383	19,449	7,1	6,67	PC	139,9	4,02	+12,9	28,91	402	440
	16-23	4,429	29,214	15,2	6,67	PC	181,7	4,02	+4,8	77,3	1014	636
	23-30	6,051	39,159	15,5	6,67	PC	183,2	8,04	+4,5	107,9	969	616

• Calcul des Armatures transversales des poteaux (Art 42312 RPA8)

des armatures transversales des poteaux sont calculées ^{sous} l'effort tranchant deduit des sollicitations du 2^e genre.
Elles sont calculées avec la formule suivante:

$$A_t = \frac{1.25 \cdot T_s}{h_i \cdot \delta_{\text{en}}}$$

$T_s = 2$ fois l'effort tranchant de calcul si $\lambda > 15$.

$T_s = 3$ fois l'effort tranchant de calcul si $\lambda < 15$.

λ étant l'élançement du poteau dans la direction considérée
 s = espacement entre les armatures transversales.

$$\lambda = \frac{l_c}{i} \quad \text{et } i = \sqrt{\frac{I}{B}}$$

I: Moment d'inertie du poteau dans le sens considéré

B = Section du poteau.

l_c = longueur de flambement.

$l_c = 0,9 l_0$ pour un bâtiment à étage multiple et où le piliers est à ses extrémités.

Soit encastré dans un massif de fondations

Soit encastré à des poutres ayant au moins le même moment d'inertie que lui dans le sens considéré et le traversant de part et d'autre.

$l_c = 0,9 l_0$ dans les autres cas.

A_t étant choisi, on calculera l'espacement s tout en veillant à ce qu'il ne dépasse pas l'espacement admissible imposé par le règlement RPA:

Dans la zone nodale (y compris la hauteur du nœud)

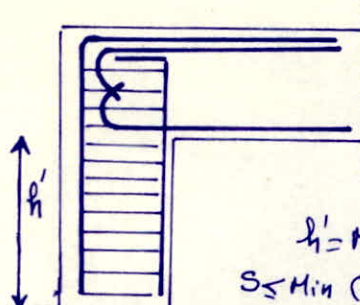
Zone II $s \leq \min(10\phi_e, 15\text{cm})$.

Dans la zone courante:

Zone II $s \leq 12\phi_e$.

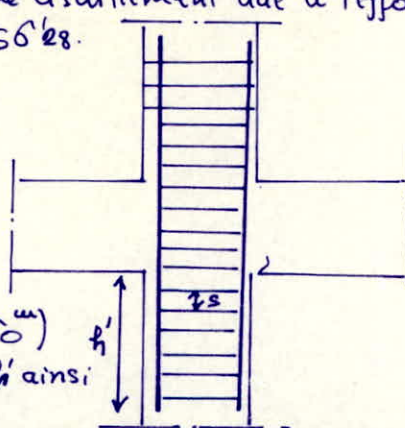
ϕ_e est le plus petit diamètre des barres longitudinales.

On vérifiera aussi la contrainte de cisaillement due à l'effort tranchant $\tau_b = \frac{T}{b_3} \leq \bar{\tau}_b = 0,156 \text{ kg}$.



$$h' = \max\left(\frac{h_0}{6}, b_1, h_1, 60^{\text{cm}}\right)$$

$s \leq \min(10\phi_e, 15\text{cm})$ sur h' ainsi que la hauteur du nœud



BLOC A Portique transversal Intermédiaire.

Armatures transversales dans les poteaux.

sens	file de poteau	Poteau	T (€)	l _c (m)	A	T de calcul (€)	h ₁ (cm)	R _t (cm ²)	t (cm)	t RPA 81 (cm)		z _b	z _b	t adopté (mm)	
										z:courante	z:modale			z:courante	z:nodale
sens transversal	E	3-2	3,100	2,70	18,71	6,200	50	1,00	27,10	16,8	14	5,69	41,3	16	14
		2-1	5,148	2,75	19,05	10,296	50	1,00	16,32	16,8	14	9,45	41,3	16	14
		1-0	5,007	4,13	28,62	10,014	50	1,50	25,2	16,8	14	9,19	41,3	16	14
	F	3-2	0,739	2,10	24,25	1,478	30	1,00	68,2	16,8	14	1,90	41,3	16	14
		2-1	1,31	2,14	24,71	2,620	30	1,00	38,5	16,8	14	3,30	41,3	16	14
		1-0	3,123	3,21	27,82	6,246	40	1,00	21,52	19,2	15	5,90	41,3	19	15
sens longitudinal	E	3-2	1,828	2,10	24,25	3,656	30	1,50	41,36	16,8	14	3,10	41,3	16	14
		2-1	4,052	2,14	25,25	8,100	30	1,50	18,67	16,8	14	6,86	41,3	16	14
		1-0	4,280	3,21	37,10	8,600	30	2,51	29,6	16,8	14	7,25	41,3	16	14
	F	3-2	1,097	2,10	24,25	2,194	30	1,50	68,9	16,8	14	3,10	41,3	16	14
		2-1	1,977	2,14	24,71	3,954	30	1,50	38,2	16,8	14	5,57	41,3	16	14
		1-0	2,187	3,21	37,10	4,374	30	1,50	34,6	19,2	15	4,63	41,3	19	15

Remarque: Pour le ride sanitaire vu qu'il n'y a pas de moment dû au séisme et vu que les moments dûs aux sollicitations du 1^{er} genre sont faibles alors on adoptera le perçage et l'espacement du poteau du RDC.

BLOC B

Portique Longitudinal G

Armatures transversales dans les poteaux

Sens transversal.

file de Pot	Poteau	T (t)	l _c	λ	T de calcul (t)	h ₁ (cm)	A _t (cm ²)	t (cm)	T RRA 81 (cm)		Z _b	Z̄ _b	t adopté (cm)	
									z: courante	z: modale			z: courante	z: modale
8	3-2	1,671	2,10	24,25	3,342	30	1,00	30,16	16,80	14	4,77	41,3	16	14
	2-1	3,255	2,14	24,71	6,510	30	1,00	15,48	16,80	14	9,18	41,3	16	14
	1-0	4,977	3,21	23,82	9,954	40	1,00	13,50	19,2	15	12,04	41,3	13	13
9	3-2	1,689	2,10	24,25	3,338	30	1,00	29,84	16,80	14	4,76	41,3	16	14
	2-1	3,270	2,14	24,31	6,540	30	1,00	15,41	16,80	14	9,22	41,3	15	14
	1-0	4,988	3,21	27,82	9,946	40	1,00	13,47	19,2	15	12,07	41,3	13	13
13	4-3	1,452	1,86	16,12	2,904	40	1,00	46,28	19,2	15	8,93	41,3	19	15
	3-2	1,868	2,38	20,61	3,736	40	1,00	35,97	19,2	15	3,84	41,3	19	15
	2-1	3,763	2,14	18,55	7,980	40	1,00	16,84	19,2	15	8,92	41,3	19	15
	1-0	3,142	3,21	27,82	7,648	40	1,00	17,57	19,2	15	9,25	41,3	17	15
14	4-3	2,003	1,86	16,12	4,006	40	1,00	33,55	19,2	15	5,45	41,3	19	15
	3-2	1,347	2,38	20,61	2,694	40	1,00	49,83	19,2	15	4,81	41,3	19	15
	2-1	3,541	2,14	18,55	7,082	40	1,00	18,98	19,2	15	6,29	41,3	18	15
	1-0	2,937	3,21	27,82	5,874	40	1,00	22,88	19,2	15	8,78	41,3	19	15

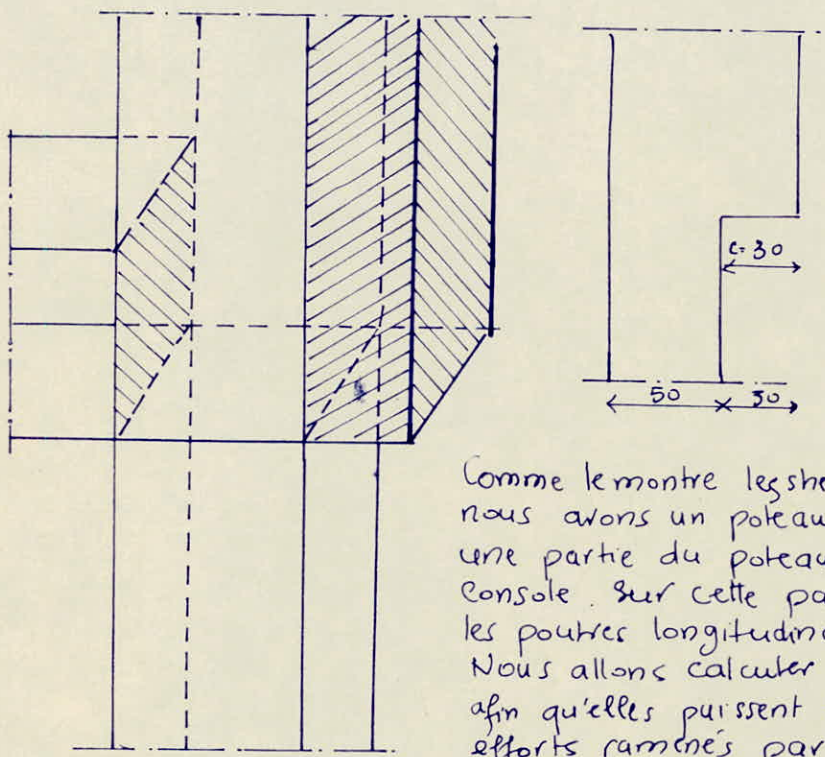
BLOC B

 Portique Longitudinal G
 Armatures transversales dans les poteaux

Sens Longitudinal

file de Poteau	Poteau	T (t)	lc	A	T decanté (t)	h ₁ (cm)	Ac (cm ²)	t (cm)	L RPA 81 (cm)		G _b	Ḡ _b	L adopté (cm)	
									z: courante	z: modale			z: courante	z: modale
8	3-2	1,626	2,70	31,17	3,252	30	1,50	46,49	16,8	14	4,58	41,3	16	14
	2-1	2,522	2,45	31,75	5,044	30	1,50	29,47	16,8	14	7,11	41,3	16	14
	1-0	3,618	4,13	37,10	7,236	30	2,01	28,00	19,2	15	7,67	41,3	19	15
9	3-2	1,833	2,10	24,25	3,678	30	1,50	41,11	16,8	14	5,189	41,3	16	14
	2-1	3,122	2,14	24,71	6,244	30	1,50	32,49	16,8	14	8,81	41,3	16	14
	1-0	3,785	3,21	37,10	7,570	30	2,01	26,76	19,2	15	8,01	41,3	19	15
13	4-3	2,733	1,86	20,73	5,478	30	1,50	27,60	19,2	15	5,79	41,3	19	15
	3-2	1,670	2,38	26,50	3,340	30	1,50	45,27	19,2	15	3,53	41,3	19	15
	2-1	3,990	2,14	23,85	7,980	30	1,50	18,94	19,2	15	8,44	41,3	18	15
	1-0	3,824	3,21	36,77	7,648	30	3,01	39,67	19,2	15	8,09	41,3	19	15
14	4-3	2,650	1,86	20,73	5,300	30	1,50	28,53	19,2	15	5,61	41,3	19	15
	3-2	2,334	2,38	26,50	4,668	30	1,50	32,39	19,2	15	4,94	41,3	19	15
	2-1	3,054	2,14	23,85	6,108	30	1,50	24,75	19,2	15	6,46	41,3	19	15
	1-0	3,632	3,21	36,77	7,264	30	3,01	41,77	19,2	15	7,69	41,3	19	15

Calcul du poteau Console"



Comme le montre les schémas ci contre nous avons un poteau de (30x50) et une partie du poteau qui est en console. Sur cette partie aboutissent les poutres longitudinales.

Nous allons calculer ces poteaux consoles afin qu'elles puissent transmettre les efforts ramenés par les poutres aux véritables poteaux de (30x50)

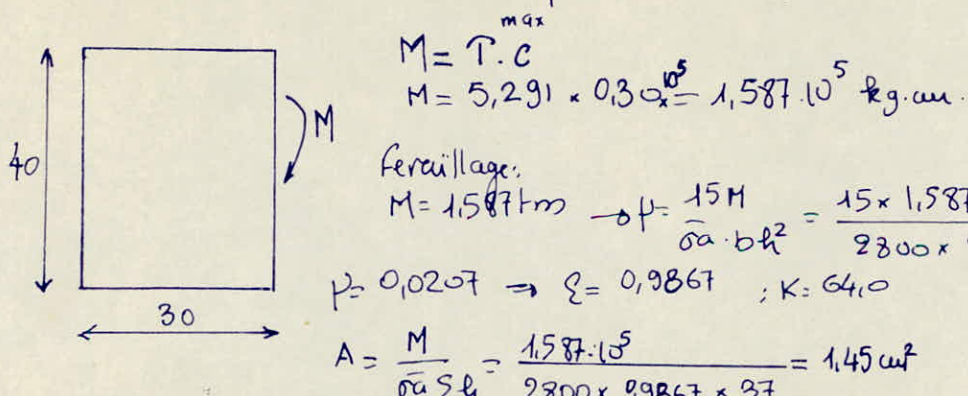
Determination de la console

Ces consoles sont soumises aux différents étages aux efforts tranchants ramenés par les poutres longitudinales de rive.

Niveau	Effort ramené par les poutres
sous SP ₁	sous SP ₂
10 ^m 65	2,822 t
7 ^m 65	4,813 t
4 ^m 59	5,291 t
	3,187 t
	5,662 t
	6,579 t

Les efforts sous SP₁ majorés de sol, sont supérieurs aux efforts sous SP₂. On fera le calcul sous SP₁.

- Calcul de la console la plus sollicitée.



Vérification de la condition de non fragilité.

$$A \geq 0,69 \text{ b}h \cdot \frac{\bar{\sigma}_b}{\sigma_{en}} \Rightarrow A \geq 0,69 \times 30 \times 37 \times \frac{5,9}{2800} = 1,076 \text{ cm}^2.$$

On choisira alors 3 barres T8 $\rightarrow A = 1,50 \text{ cm}^2$.

Condition de non fissuration du béton

$$\bar{\sigma}_{ac} = \min\left[\frac{2}{3} \sigma_{en}, \max(\sigma_1, \sigma_2)\right]$$

$$\sigma_2 (T=8) = 3227 \text{ kg/cm}^2$$

Enfin on ferraillera les autres poutres avec la même section calculée précédemment, toutefois nous prévoyons le long du poteau console des armatures de répartition qui joueront le rôle de transmission des efforts le long du poteau. Pour cela et puisque le véritable poteau de dimensions (30x50) possède des armatures (3T8) on les fera toutes prolonger (ou un cours sur deux) au poteau console. Le long de ce dernier il reste à prévoir des armatures longitudinales (T8)

Vérification de l'effort tranchant

$$\bar{\sigma}_b = \frac{T}{b \cdot \frac{7}{8}} = \frac{5291}{30 \times \frac{7}{8} \times 37} = 5,44 \text{ kg/cm}^2.$$

$$\bar{\sigma}_b = 3,5 \bar{\sigma}_b \quad \bar{\sigma}_b = 5,9 \text{ kg/cm}^2 \quad \text{avec } \bar{\sigma}_b < \bar{\sigma}'_{b0}$$

$$\sigma'_b = \frac{\bar{\sigma}_a}{k} = \frac{2800}{640} = 43,75 \text{ kg/cm}^2.$$

$$\bar{\sigma}_b = 3,5 \times 5,9 = 20,65 \text{ kg/cm}^2$$

Donc $\bar{\sigma}_b < \bar{\sigma}_b$

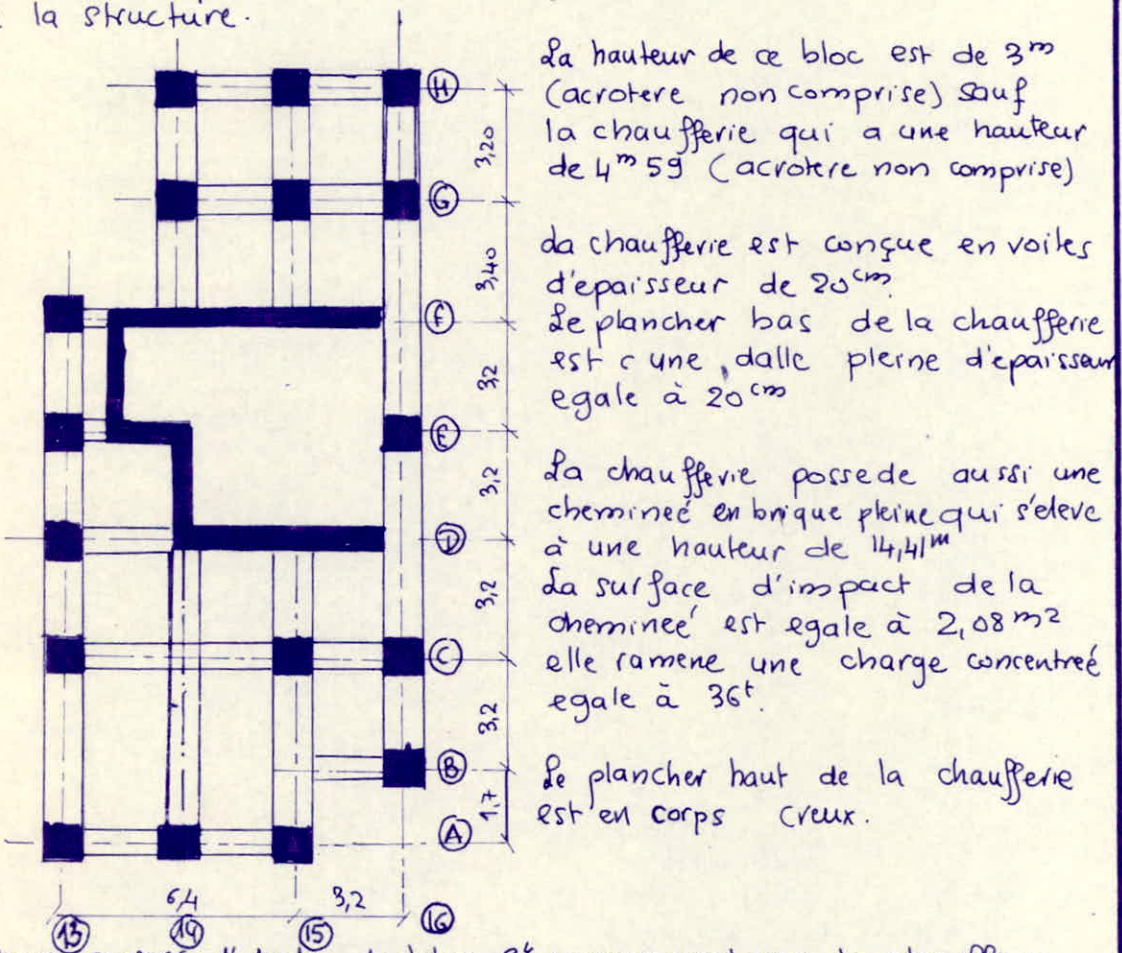
CHIFFRE

FEIRRAILLAGE DES
VOILES

ETUDE DU BLOC C"

Introduction:

Nous désignons par le bloc C" la partie de l'hôtel où se trouve la chaufferie. Cette partie mérite une étude à part. Car, du fait de sa structure (structure voiles-portiques), ainsi que sa position dans la structure globale de l'hôtel, des considérations anti-seismiques nous ont obligé de la dissocier du reste de la structure.



la hauteur de ce bloc est de 3^m (acrotère non comprise) sauf la chaufferie qui a une hauteur de 4^m 59 (acrotère non comprise)

la chaufferie est conçue en voiles d'épaisseur de 20^{cm}.
Le plancher bas de la chaufferie est une dalle pleine d'épaisseur égale à 20^{cm}.

La chaufferie possède aussi une cheminée en brique pleine qui s'élève à une hauteur de 14,41^m.
La surface d'impact de la cheminée est égale à 2,08^{m²}
elle ramène une charge concentrée égale à 36t.

Le plancher haut de la chaufferie est en corps creux.

Nous axerons l'étude du bloc C" uniquement sur la chaufferie (structure en voiles). Elle reprend pratiquement la totalité des charges horizontales.

Les portiques de ce bloc peuvent être calculés sous charges verticales uniquement.

Etude de la chaufferie:

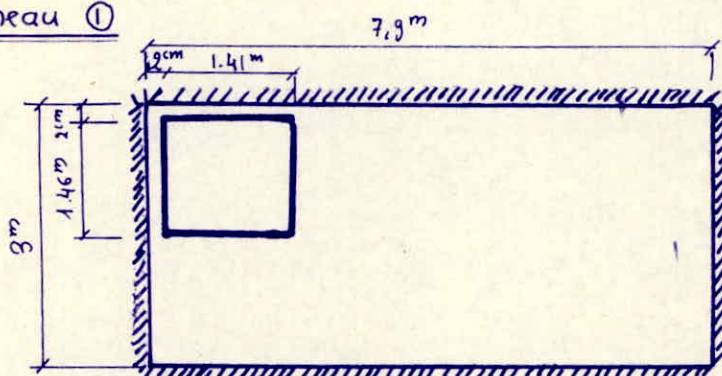
Dalles pleines

On a 2 panneaux de dalle.

Panneau ① : panneau avec charge concentrée ramenée par la cheminée

Panneau ② : panneau uniformément chargé.

• Panneau ①



La plaque est simplement appuyée sur ses quatre cotés. Elle est non uniformément chargée. On a une charge localisée due à la cheminée $P \approx 36 t$ et $S = 2,086 m^2$

La charge uniformement répartie due à la dalle est de $q = 550 \text{ kg/m}^2$.
On dissociera le calcul en 2 étapes:

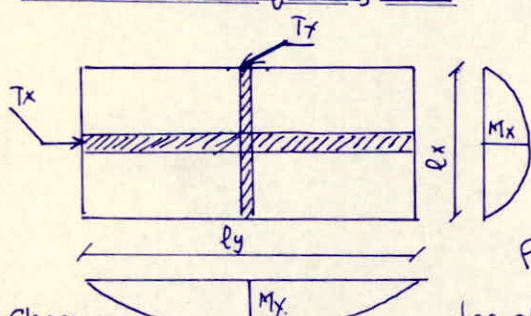
- Calcul de la dalle sous charge localisée

- Calcul de la dalle sous charge uniforme

On fera ensuite une superposition des 2 effets.

NB: La surcharge sur la dalle de la chaufferie est de: $p = 400 \text{ kg/m}^2$

• Calcul sous charge uniforme:



$$P = q \cdot l_x \cdot l_y$$

$$\text{charge: } P = 500 \times 7,9 \times 3 = 13035 \text{ kg.}$$

$$\text{Surcharge: } p = 400 \times 7,9 \times 3 = 9480 \text{ kg.}$$

Moment fléchissant:

$$M_x = (M_1 + \Delta M_2) \cdot \frac{P}{l_y} \quad \Delta = 0,15 \text{ (Beton).}$$

$$M_y = (M_2 + \Delta M_1) \cdot \frac{P}{l_x} \quad \Delta = 0,15 \text{ (Beton).}$$

$$P = \frac{l_x}{l_y} = 0,3797 \Rightarrow 1/P = 2,633.$$

Charges:

$$M_1 = 4,4 \cdot 10^{-2} \text{ kg.m.}$$

$$M_2 = 0,4 \cdot 10^{-2} \text{ kg.m.}$$

$$M_x = (4,4 + 0,15 \times 0,4) \cdot 10^{-2} \times 13035 = 581,36 \text{ kg.m.}$$

$$M_y = (0,4 + 0,15 \times 4,4) \times 10^{-2} \times 13035 = 138,17 \text{ kg.m.}$$

$$T_x = \frac{1}{3} q l_x = \frac{1}{3} \times 550 \times 3 = 550 \text{ kg/ml.}$$

$$T_y = \frac{q l_x \cdot l_y}{2 l_y + l_x} = \frac{550 \times 7,9 \times 3}{2 \times 7,9 + 3} = 693,3 \text{ kg/ml.}$$

des abaques de Lugeod nous donnent M_1 et M_2

Surcharges:

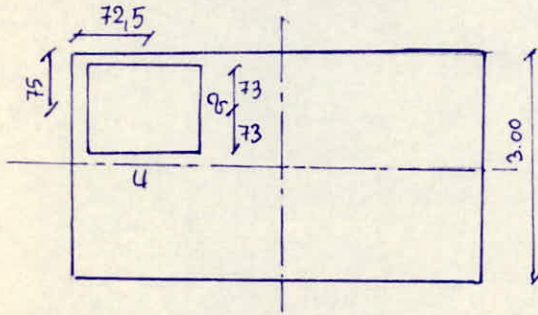
$$M_x = 422,81 \text{ kg.m.}$$

$$M_y = 100,45 \text{ kg.m.}$$

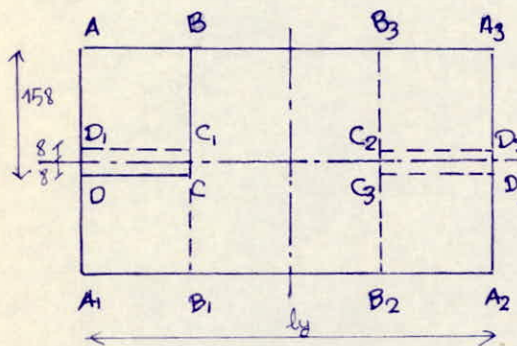
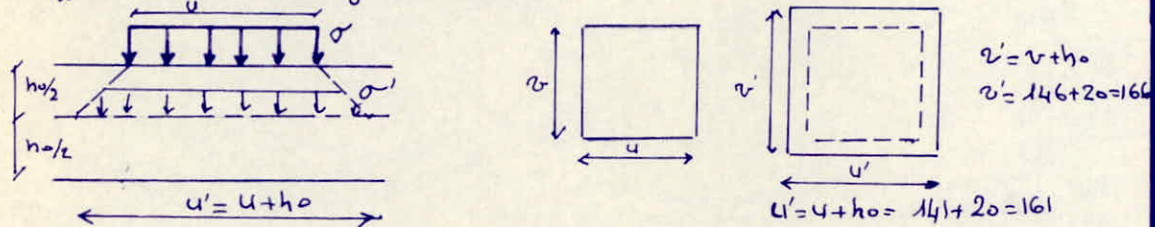
$$T_x = 400 \text{ kg/ml.}$$

$$T_y = 504,2 \text{ kg/ml.}$$

• Calcul sous charge localisée



• Diffusion de la charge localisée



$$M_x = (M_{x1} - M_{x2}) + (M_{x3} - M_{x4})$$

$$T_x = \frac{(T_{x1} - T_{x2}) + (T_{x3} - T_{x4})}{4}$$

G' : pression de répartition $\Rightarrow G' = \frac{P}{u \cdot v'} = \frac{36000}{1,58 \times 1,53} = 14892 \text{ kg/m}^2$

• Calcul des Moments.

• AA₁A₂A₃

$$u' = 7,9 \text{ m} \quad v' = 3,0 \text{ m}$$

$$P_1 = G' \cdot AA_1A_2A_3 = 14892 \times 7,9 \times 3 = 352940,4 \text{ kg.}$$

$$P = \frac{lx}{ly} = \frac{3}{7,9} = 0,38$$

$$u'/ly = 1; v'/ly = 1$$

$$n_1 = 4,4 \cdot 10^{-2}$$

$$n_2 = 0,4 \cdot 10^{-2}$$

$$M_{x1} = (M_1 + \Delta M_2) P_1 = (4,4 + 0,15 \times 0,4) \times 10^{-2} \times 352940,4 = 15741 \text{ kg.m.}$$

$$M_{y1} = (M_2 + \Delta M_1) P_1 = (0,4 + 0,15 \times 4,4) \cdot 10^{-2} \times 352940,4 = 3741 \text{ kg.m.}$$

• BB₁B₂B₃

$$u' = 7,9 - 2 \times 1,53 = 4,84$$

$$v' = 3,0$$

$$P_2 = G' \cdot BB_1B_2B_3 = 14892 \times 4,84 \times 3 = 216232 \text{ kg.}$$

$$P = \frac{lx}{ly} = 0,38$$

$$u'/ly = 4,84 / 7,9 = 0,613$$

$$v'/lx = 3/3 = 1$$

$$M_{x2} = (6,3 + 0,15 \cdot 0,52) \cdot 10^{-2} \times 216232 = 13791 \text{ kg.m.}$$

$$M_{y2} = (0,52 + 0,15 \cdot 6,3) \times 10^{-2} \times 216232 = 3118 \text{ kg.m.}$$

D₁D₁D₂D₃

$$u' = 7,9 \quad v' = 0,16$$

$$P_3 = G \cdot D_1 D_1 D_2 D_3 = 14892 \times 7,9 \times 0,16 = 18823 \text{ kg.}$$

$$P = 0,4, \quad u'/ly = 7,9 / 7,9 = 1, \quad v'/lx = 0,16 / 3 = 0,053$$

$$M_1 = 25 \cdot 10^{-2} \quad M_2 = 7 \cdot 10^{-2}$$

$$M_{x3} = (9,5 + 0,15 \cdot 7) \cdot 10^{-2} \cdot 18823 = 1986 \text{ kg.m.}$$

$$M_{y3} = (7 + 0,15 \cdot 9,5) \cdot 10^{-2} \cdot 18823 = 1586 \text{ kg.m.}$$

C₁C₂C₃

$$u' = 4,84 \quad v' = 0,16$$

$$P_4 = G \cdot C_1 C_2 C_3 = 14892 \times 0,16 \times 4,84 = 11532 \text{ kg.}$$

$$P = 0,4, \quad u'/ly = 4,84 / 7,9 = 0,613, \quad v'/lx = 0,16 / 3 = 0,053$$

$$M_1 = 13,5 \cdot 10^{-2} \quad M_2 = 10 \cdot 10^{-2}$$

$$M_{x4} = (13,5 + 0,15 \cdot 10) \cdot 10^{-2} \times 11532 = 1730 \text{ kg.m.}$$

$$M_{y4} = (10 + 0,15 \cdot 13,5) \cdot 10^{-2} \times 11532 = 1387 \text{ kg.m.}$$

$$M_x = \frac{(15741 - 1379) + (1986 - 1730)}{4} = \frac{2206}{4} = 551,5 \text{ kg.m.}$$

$$M_y = \frac{(3741 - 3168) + (1586 - 1387)}{4} = \frac{772}{4} = 193 \text{ kg.m.}$$

Superposition des deux cas de charge (Pour une tranche de 1°)
charges:

$$M_x = 581,4 + 551,5 = 1133 \text{ kg.m.}$$

$$M_y = 138,2 + 193 = 331 \text{ kg.m.}$$

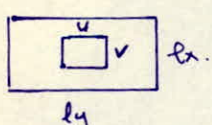
Surcharges:

$$M_x = 423 \text{ kg.m.}$$

$$M_y = 100 \text{ kg.m.}$$

Calcul des efforts Tranchants.

A₁A₂A₃.



$$T_u = \frac{P}{2u+v} = \frac{352940}{2 \times 7,9 + 3} = 18773,4 \text{ kg.}$$

$$T_v = \frac{P}{3u} = \frac{352940}{3 \times 7,9} = 14892 \text{ kg.}$$

$$u = 7,9 > v = 3.$$

$$T_y = 1,25 T_u = 23467 \text{ kg.}$$

$$T_x = 1,25 T_v = 18615 \text{ kg.}$$

B₁B₂B₃.

$$u = 4,84 > v = 3.$$

$$T_u = \frac{216232}{2 \times 4,84 + 3} = 17053 \text{ kg.} \quad T_y = 1,25 \cdot T_u = 21316 \text{ kg.}$$

$$T_v = \frac{216232}{3 \times 4,84} = 14892 \text{ kg.} \quad T_x = 1,25 T_v = 18615 \text{ kg.}$$

D₁D₂D₃

$$u = 7,9 > v = 0,16$$

$$T_u = \frac{18823}{2 \times 7,9 + 0,16} = 1179$$

$$T_v = \frac{18823}{3 \times 7,9} = 734 \text{ kg.}$$

$$T_y = 1,25 T_u = 1474 \text{ kg.}$$

$$T_x = 1,25 T_v = 993 \text{ kg.}$$

• $C_1 C_2 C_3$.

$$U = 4,84 \rightarrow v = 0,16$$

$$P_U = \frac{11532}{2 \times 4,84 + 0,16} = 1172 \text{ kg.}$$

$$P_Y = 1,25 \cdot P_U = 1,25 \times 1172 = 1465 \text{ kg.}$$

$$P_V = \frac{11532}{3 \times 4,84} = 794 \text{ kg.}$$

$$P_X = 1,25 \cdot P_V = 1,25 \times 794 = 993 \text{ kg.}$$

$$P_X = \frac{(18615 - 14892) + (993 - 993)}{4} = 931 \text{ kg.}$$

$$P_Y = \frac{(23467 - 21316) + (1474 - 1465)}{4} = 540 \text{ kg.}$$

• Superposition des 2 cas de charge (pour une bande de 1m).

charges

$$P_X = 550 + 931 = 1481 \text{ kg/m.}$$

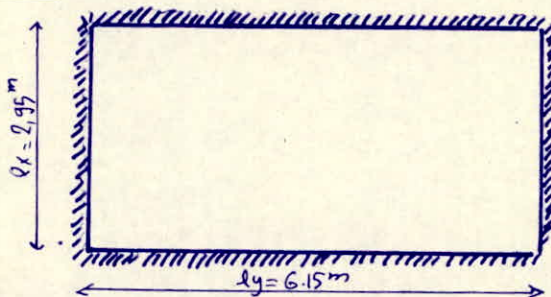
$$P_Y = 693 + 540 = 1233 \text{ kg/m.}$$

Surcharges.

$$P_X = 400 \text{ kg/m.}$$

$$P_Y = 504 \text{ kg/m.}$$

• Panneau 2.



On donnera uniquement les résultats de calcul:

charges:

$$M_X = 478,35 \text{ kg.m.}$$

$$M_Y = 148,86 \text{ kg.m.}$$

$$P_X = 770,5 \text{ kg/m.}$$

$$P_Y = 85,0 \text{ kg/m.}$$

Surcharges.

$$M_X = 347,89 \text{ kg.m./m.}$$

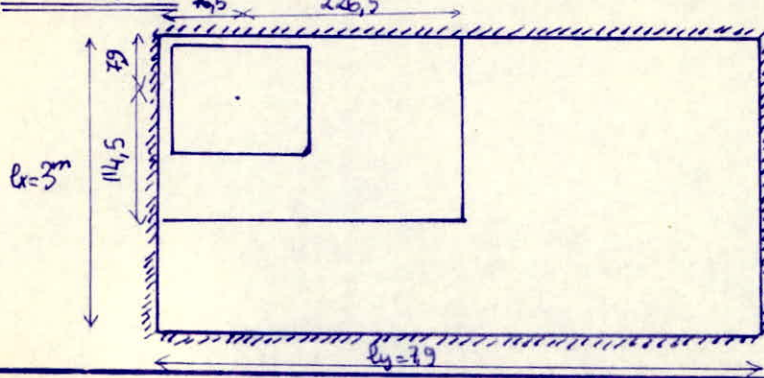
$$M_Y = 108,26 \text{ kg.m./m.}$$

$$P_X = 560,3 \text{ kg/m.}$$

$$P_Y = 61,8 \text{ kg/m.}$$

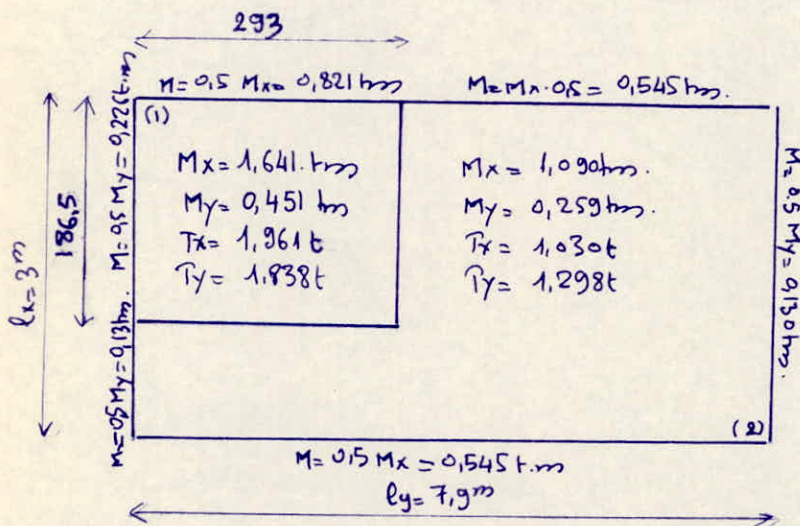
• Ferraillage de la dalle.

• Panneau ①



Constatation faite au cours du chargement du plancher par enregistrement sur fleximètre : La dalle est de grande longueur ($\ell_x/\ell_y = 0,38 < 0,4$) dans ce cas, on peut dire que la largeur de la dalle intéressée par la charge localisée est égale et comme si la longueur de la dalle intéressée par les moments transversaux est $(\ell_x + \ell_y)/2$.

Nous présentons ci-après les efforts sous la combinaison SP₁



On fera le calcul pour une bande de 1m de largeur
Acier utilisé : Acier TOR $\sigma_{eu} = 4200 \text{ kg/cm}^2$.

$$\bar{a} = n \bar{\delta}' b = 0,423$$

$$R = \frac{1}{2} \bar{\delta}' b \bar{a} (1 - \bar{a}/b) = 24,9$$

$$HRN = \frac{k}{b} b h^2 = 24,9 \times 100 \times 17^2 = 7,2 \text{ t.m.}$$

$$\forall M, M < M_{RN} \Rightarrow \text{On n'a pas besoin d'acier comprimé.}$$

$$A = \frac{M}{\bar{\delta}' a b \cdot h^2} = 2,1 \cdot 10^{-5} \frac{M}{\Sigma} \quad \text{Men (kg/cm)}$$

$$p = \frac{15 M}{\bar{\delta}' a b h^2} = 1,854 \cdot 10^{-2} M \quad \text{Men (t.m.)}$$

Suivant ly

entravée (1) : $M_y = 0,451 \text{ t.m} \rightarrow p = 0,00836 \rightarrow d = 0,1240 \rightarrow \xi = 0,9587 \rightarrow K = 106 \rightarrow A = 9,988 \text{ cm}^2$
(2) : $M_y = 0,259 \text{ t.m} \rightarrow p = 0,0048 \rightarrow d = 0,0943 \rightarrow \xi = 0,9686 \rightarrow K = 144 \rightarrow A = 0,562 \text{ cm}^2$

En appui (1) : $M_y = 0,226 \text{ t.m} \rightarrow p = 0,0042 \rightarrow d = 0,0877 \rightarrow \xi = 0,9704 \rightarrow K = 154 \rightarrow A = 0,481 \text{ cm}^2$
(2) : $M_y = 0,130 \text{ t.m} \rightarrow p = 0,0024 \rightarrow d = 0,0682 \rightarrow \xi = 0,9773 \rightarrow K = 205 \rightarrow A = 0,278 \text{ cm}^2$

Suivant lx:

entravée (1) : $M_x = 1,641 \text{ t.m} \rightarrow p = 0,0304 \rightarrow d = 0,2256 \rightarrow \xi = 0,9248 \rightarrow K = 51,5 \rightarrow A = 3,726 \text{ cm}^2$
(2) : $M_x = 1,090 \text{ t.m} \rightarrow p = 0,0202 \rightarrow d = 0,1875 \rightarrow \xi = 0,9375 \rightarrow K = 61,0 \rightarrow A = 2,44 \text{ cm}^2$

En effet :
 (1) $M_x = 0,321 \text{ tm} \rightarrow p = 0,0152 \rightarrow d = 0,1639 \rightarrow \varepsilon = 0,9454 \rightarrow K = 765 \rightarrow A = 1,824 \text{ cm}^2$
 (2) $M_x = 0,545 \text{ tm} \rightarrow p = 0,0101 \rightarrow d = 0,1351 \rightarrow \varepsilon = 0,9550 \rightarrow K = 96 \rightarrow A = 1,198 \text{ cm}^2$

- Condition de non fragilité: $A \geq \psi \frac{\bar{b}}{d} \cdot \left(\frac{ht}{h} \right)^2 \times b \times h$
 $A \geq 0,54 \frac{5,9}{2800} \times \left(\frac{20}{17} \right)^2 \times 100 \times 17$
 $A \geq 2,67 \text{ cm}^2$.
- Pourcentage minimum: $\frac{A}{bht} \geq 0,0012 \Rightarrow A \geq 0,0012 \times 100 \times 20 = 2,4 \text{ cm}^2$.

Donc on fera le choix des armes de telle façon à satisfaire la condition de non fragilité du béton.

$$A = 2,67 \text{ cm}^2 \rightarrow A = 8T8/\text{ml} = 3,01 \text{ cm}^2 \rightarrow e = 15 \text{ cm.}$$

$$A = 3,726 \text{ cm}^2 \rightarrow A = 8T8/\text{ml} = 4,02 \text{ cm}^2 \rightarrow e = 12,5 \text{ cm.}$$

- Vérification de la dalle au pointonnement:

$$Q = 36t$$

Le périmètre du contour est à considérer à mi-hauteur de la dalle
 $P_c = 2(u+v) = 2 \times (153+158) = 622 \text{ cm.}$

On vérifie la condition suivante: $\frac{1,5Q}{P_c \cdot ht} \leq 1,2\bar{b}$.

$$\frac{1,5 \times 36000}{6220 \times 20} = 4,34 \text{ kg/cm}^2 < 1,2\bar{b} = 1,2 \times 5,9 = 7,08 \text{ kg/cm}^2. \quad \text{Vérifié.}$$

- Vérification des contraintes.

prenons 2 sections les plus sollicitées.

Section	H (cm)	ε	z	K	$\frac{\sigma_a}{\sigma_a/\text{kg/cm}^2}$	$\frac{\sigma_b}{\sigma_b/\text{kg/cm}^2}$
travee(2)	1,641	0,9248	15,72	51,5	2597	50,43
travee(2)	1,09	0,9375	15,94	65	2272	34,95

vérifiée.

- Vérification de l'espacement des armatures

Suivant $\gamma_c \bar{f} = 33 \text{ cm}$

Suivant $\gamma_c \bar{f} = 45 \text{ cm}$.

Tous les espacements dans les 2 sens sont inférieurs aux espacements admissibles.

- Vérification de la non fissuration du béton.

$$\sigma_a = \sigma_a (\phi=8) = 3193 \text{ kg/cm}^2 \rightarrow \frac{2}{3} \sigma_a = 2800 \text{ kg/cm}^2 \quad \text{Vérifié.}$$

- Vérification de l'effort tranchant:

$$\text{Valeur Maxi} \rightarrow T_x = 1481 + 1,2 \times 400 = 1961 \text{ kg.}$$

$$P_y = 1233 + 1,2 \times 504 = 1838 \text{ kg.}$$

$$\bar{\sigma}_b = 1,5 \bar{b} = 6,785 \text{ kg/cm}^2$$

$$z = \frac{7}{8} h = \frac{14,875}{14875} \rightarrow T_x \rightarrow 2b = 1,318 \text{ kg/cm}^2$$

$$\sigma_a = \frac{1}{b_3} = \frac{1}{14875} \quad P_y \rightarrow \bar{\sigma}_b = 1,235 \text{ kg/cm}^2 < \bar{\sigma}_b.$$

• Panneau ②

On se contentera de donner uniquement les résultats de calcul de ferraillage.

$$M_x = 480 \text{ kg.m/mf} \rightarrow A = 678/\text{mf} = 3,01 \text{ cm}^2$$

$$\text{En travée: } M_y = 150 \text{ kg.m} \rightarrow A = 678/\text{mf} = 3,01 \text{ cm}^2$$

$$M_{\text{ax}} = 9,5 \text{ M}_x = 240 \text{ kg.m/mf} \rightarrow A = 678/\text{mf} = 3,01 \text{ cm}^2$$

$$\text{En appui: } M_{\text{ay}} = 0,5 M_y = 75 \text{ kg.m/mf} \rightarrow A = 678/\text{mf} = 3,01 \text{ cm}^2$$

H-

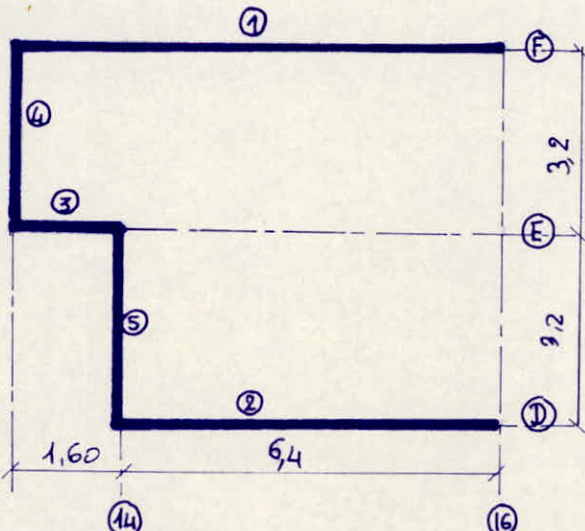
NB: Nous constatons qu'on a la même section partout en effet est la condition de non fragilité qui a imposé le ferraillage.

Espacement des armatures. $e = 15 \text{ cm}$.

• Vérifications:

Toutes les vérifications ont été faites et elles sont satisfaisantes.

- Charges et surcharges revenant à chaque voile.



On donnera les résultats de la descente de charge :

Niveau	Charges et Surcharges	Voile ①	Voile ②	Voile ③	Voile ④	Voile ⑤
4 ^m 53.	g (H/me)	1,9	1,9	1,416	1,230	1,230
	p (H/me)	0,16	0,16	0,075	0,043	0,043
3 ^m 00	g (H/me)	2,412	2,412	2,412	1,828	1,828
	p (H/me)	0,170	0,170	0,170	0,068	0,068
0 ^m 00	g (H/me)	2,220	2,155	2,220	2,883	1,425
	p (H/me)	1,270	1,225	1,270	0,170	0,563
Σ	g (H/me)	6,532	6,467	6,048	3,941	4,483
	p (H/me)	1,600	1,555	1,472	0,281	0,674

On n'a fait figurer sur ce tableau que les charges qui reviennent aux voiles, toutefois pour le calcul de vérification au séisme on tiendra compte du poids total de la structure.

Etude au Séisme du bloc C'

Introduction:

Vu la structure en voiles portiques du bloc C'', et vu la grande différence d'inertie qui existe entre les voiles'' et les poteaux dans les 2 sens, il est évident que lors d'une secousse séismique c'est les voiles qui vont reprendre presque la totalité des efforts horizontaux. Il est donc évident que l'on fera reprendre tous les efforts par les voiles alors que les portiques seront soumis à des charges verticales. Dans ce chapitre on fera donc l'étude au séisme de la chaufferie.

NB: le vide sanitaire est considéré comme la base de la structure en voile. On distingue alors 3 planchers dans notre structure. (Niveau 0,00, 3,00^m, 4,59^m). Nous pourrons modéliser la structure comme étant une console à 3 masses.

- Etude de l'action Seisme:

$$\sqrt{= ABDQ.W}$$

- $A = 0,15$

- $B = 1/3$ (catégorie 4)

- $Q = 1,4$

- $D = ?$

Calcul de la période T du bâtiment.

$$T \text{ (sens longitudinal)} = T_x$$

$$T \text{ (sens transversal)} = T_y$$

On utilisera la formule parfaitement donnée dans le RPA 81.

$$T = \frac{0,09H}{\sqrt{L}}$$

$$T_x = \frac{0,09 \times 4,53}{\sqrt{9,6}} = 0,13s \Rightarrow D = 2$$

$$T_y = \frac{0,09 \times 4,53}{\sqrt{21,1}} = 0,09s$$

Pour $T < 5s$ et pour un sol meuble $D = 2$.

- W : Poids propre de la structure

- Niveau 4,53^m

Acrotère: 7450 kg.

Plancher: 21710 kg.

Poutres: 4480 kg.

Revêtement: 3296 kg.

Voile: 8798 kg.

Poteaux: 287 kg.

Surcharge: 4890 kg.

D'où on a:

$$W(4,53) = g + 0,5p = 46,02 + 0,5 \times 4,89 \rightarrow W(4,53) = 48,46t$$

- Niveau 3,00^m

Acrotère: 13288 kg.

Plancher: 63540 kg.

Poutres: 20371 kg.

Revêtement: 9810 kg.

Voile: 26048 kg.

Poteaux: 7037 kg.

Surcharge: 14364 kg.

$$W(3,00) = g + 0,5p = 140,09 + 0,5 \times 14,36 = 147,27t$$

- Niveau 0,00

cheminée: 35836 kg.

Hourdis (plancher): 88422 kg.

Poutres: 21755 kg.

Revêtement : 3123 kg.

Mur de façade : 31155 kg.

Voiles : 25875 kg.

Poteaux : 10125 kg. $\rightarrow g = 216,29 t.$

Surcharge : 75552 kg. $\rightarrow p = 75552 t.$

$$W(0.00) = g + 0,5 P = 216,29 + 0,5 \times 75552 = 254,067 t.$$

• W = Poids totale de la structure ($+0,5 P$ pour notre type de bâtiment)

$$W = \sum w_i = W(4^m 53) + W(3^m 00) + W(0^m 00).$$

$$W = 437,8 t.$$

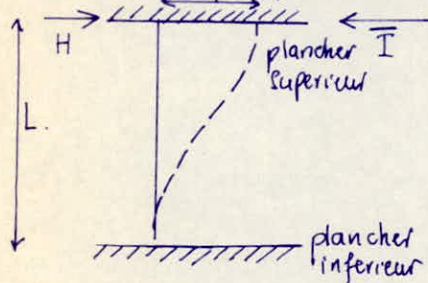
• $V = A D B Q W.$

$$V(\text{transversal}) = V_y = 0,15 \times 1/3 \times 1,4 \times 2 \times 437,8 t = 61,3 t$$

$$V(\text{longitudinal}) = V_x = 0,15 \times 1/3 \times 1,4 \times 2 \times 437,8 t = 61,3 t.$$

da force seismique étant déterminée maintenant dans les 2 sens on aura alors à la distribuer sur les différents refends et ceci suivant leur rigidité à la flexion.

• Rigidité à la flexion d'un refend.



La rigidité à la flexion d'un refend est la force (ou le couple) de rappel par lequel le refend réagit quand une force (ou un couple) extérieur produit une translation (ou une rotation) unitaire, telle qu'elle est représentée sur la figure.

I : Moment d'inertie

\bar{I} : Rigidité

$$\rightarrow \bar{I} = \frac{12 EI}{L^3}$$

On peut faire un calcul simplifié des refends et ceci en remplaçant les rigidités par les inerties en effet les axes d'inertie principaux des refends sont parallèles (dans un sens longitudinal et transversal) de plus tous les refends ont un même module d'élasticité, la même hauteur et présentent les mêmes conditions aux appuis.

• Calcul des forces distribuées dans les refends.

Etapes de calcul :

1) On considère que les axes (x-x) et (y-y) passant par le centre de torsion sont parallèles aux axes principaux des refends.

2) On détermine pour chaque refend I_x et I_y .

3) des rigidités transversales sont nulles dans tous les cas. Le centre de torsion peut être considéré comme le centre de gravité des moments d'inertie des refends par rapport aux axes arbitraires.

$$dx = \frac{\sum I_y \cdot x}{I_y} \quad dy = \frac{\sum I_x \cdot y'}{I_x}$$

4) La réduction de la force extérieure H par rapport au centre de torsion fournit H_x et H_y et $M = H \cdot e$ (e : excentricité).

5) des forces provenant de la translation :

$$H'x = \frac{H_x \cdot I_x}{\sum I_y} \quad H'y = \frac{H_y \cdot I_x}{\sum I_x}$$

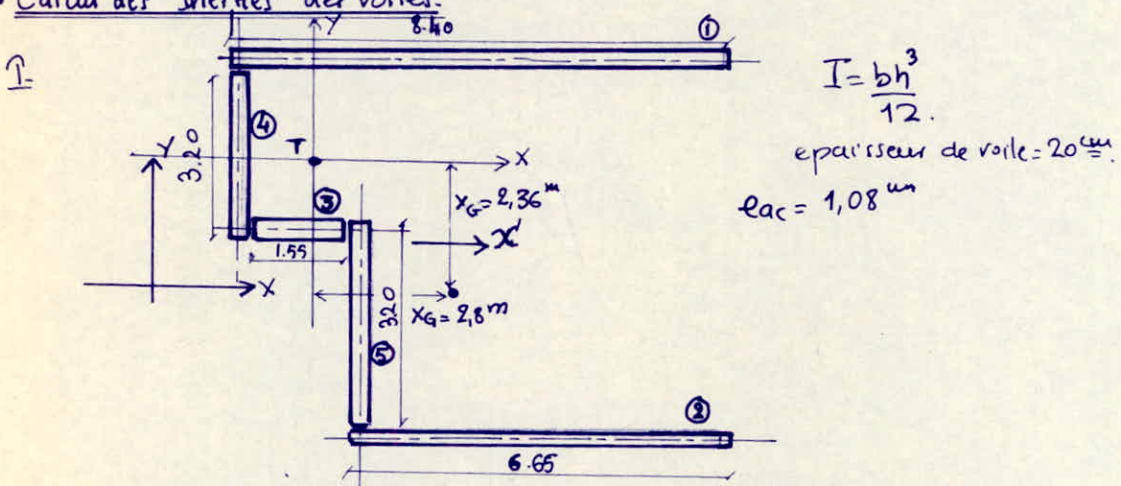
6) des forces provenant des rotations deviennent :

$$H''x = \frac{H_x \cdot ex \cdot I_y}{\sum I_x \cdot x^2 + \sum I_y \cdot x'^2} \quad H''y = \frac{H_y \cdot ex \cdot I_x}{\sum I_x \cdot x^2 + \sum I_y \cdot x'^2}$$

7) des forces finales distribuées dans les refends sont en définitive

$$H_x = H'x + H''x \quad H_y = H'y + H''y.$$

Calcul des inerties des voiles.



Voile	①	②	③	④	⑤	$\Sigma (m^4)$
$I_x (m^4)$	$5,6 \cdot 10^{-3}$	$4,43 \cdot 10^3$	$1,03 \cdot 10^3$	0,546	0,546	1,103
$I_y (m^4)$	9,8784	4,901	0,0621	$2,13 \cdot 10^{-3}$	$2,13 \cdot 10^{-3}$	14,846

Calcul du centre de torsion:

$$dx = \frac{\sum I_y \cdot x'}{\sum I_y} \quad dy = \frac{\sum I_x \cdot y'}{\sum I_x}$$

$$dx = \frac{\sum I_y \cdot x'}{\sum I_y} = \frac{1,064}{1,103} = 0,94 \text{ m}$$

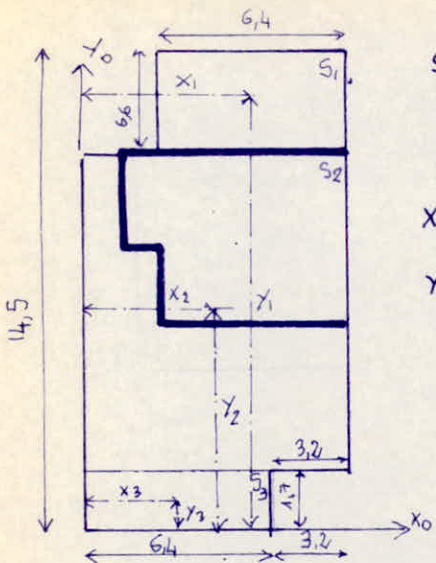
$$dy = \frac{\sum I_x \cdot y'}{\sum I_x} = \frac{16,974}{14,846} = 1,14 \text{ m}.$$

Recherche du centre de gravité du bloc.

On suppose que la charge est uniformément répartie sur le plancher.

$$x_G = \frac{\sum x_i \cdot s_i}{\sum s_i}$$

$$y_G = \frac{\sum x_i \cdot s_i}{\sum s_i}$$



$$S_1 = 6,4 \times 6,6 = 42,24 \text{ m}^2 \rightarrow x_1 = 6,4 \text{ m} \rightarrow y_1 = 7,8 \text{ m}$$

$$S_2 = (4,5 - 1,7) \times 3,6 = 12,88 \text{ m}^2 \rightarrow x_2 = 4,8 \text{ m} \rightarrow y_2 = 8,1 \text{ m}$$

$$S_3 = 1,7 \times 3,2 = 10,88 \text{ m}^2 \rightarrow x_3 = 3,2 \text{ m} \rightarrow y_3 = 0,85 \text{ m}$$

$$x_G/x_0 = x_G = 5,09 \text{ m}$$

$$y_G/y_0 = y_G = 9,98 \text{ m}$$

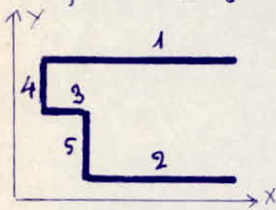
D'où en calculant l'excentricité par rapport à l'axe des forces H_x et H_y on peut donner l'expression des moments horizontaux.

$$\sqrt{y} = H_y = 61,3 \text{ t} \rightarrow M = H_e = 61,3 \times 2,8 = 171,64 \text{ t.m.}$$

$$\sqrt{x} = H_x = 61,3 \text{ t} \rightarrow M = H_e \cdot x = 61,3 \times (-2,36) = -144,67 \text{ t.m.}$$

• Distribution des efforts tranchants dans les refends par niveaux

N.B.: Consulter auparavant le tableau donnant les efforts provenant de la translation et de la rotation distribués dans les refends (page suivante).



$$H_n = H(\text{niveau})$$

$$H_n = \frac{w_i h_i}{\sum w_i h_i} \cdot H$$

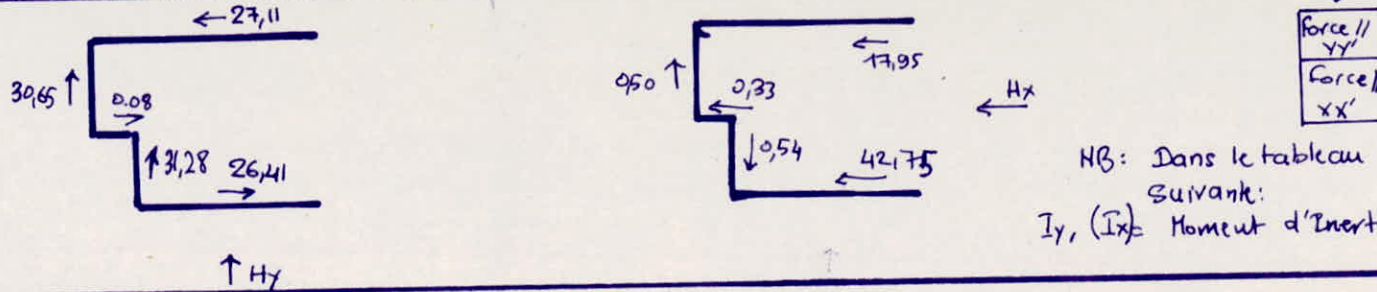
(H: effort tranchant par niveau)

Niveau	Poids du niveau	Valeurs du sens x.			Valeurs du sens y.	
		①	②	③	④	⑤
(3-4,53)	48,47t	5,937	9,362	0,072	6,712	6,850
(0-3,00)	147,27t	13,447	21,204	0,164	15,202	15,515
(-1,5-0,00)	254,97t	7,726	12,184	0,094	8,735	8,915
	$H = \sum H_n$	27,11	42,75t	0,330t	30,650t	31,28t
		$H_n(t)$				

• N.B.: La valeur de l'effort revenant à un refend est le plus grand des 2 efforts dus respectivement au séisme longitudinal et au séisme transversal.

Calcul des forces dans les refends.

Voile	Moments d'inertie				Valeurs de Calcul.								Forces dans les refends.						
	I_1 m^4	I_2 m^4	I_{xz} m^4	I_{yz} m^4	x' m	y' m	$I_{yx'}$ m^5	$I_{xy'}$ m^5	x m	y m	I_{yzc^2} m^6	I_{xy^2} m^6	$H'ze$ t	$H'y$ t	$H''x$ t	$H''y$ t	Hx t	Hy t	
1	9,878	0	9,878	0	4,200	3,3	0,000	32,68	3,26	2,16	0	46,087	0	0	27,107	0	27,11	0	
2	4,901	0	4,901	0	5,075	-3,1	0,000	-15,733	4,24	-4,24	0	88,108	40,90	0	22,84	0	17,95	0	
3	0,062	0	0,062	0	0,975	0,1	0,000	0,006	0,04	-1,04	0	0,067	20,24	0	-22,25	0	42,75	0	
4	0,546	0	0	0,546	0,100	1,6	0,054	0,000	-0,84	9,46	0,385	0	0	0	-0,082	0	0,082	0	
5	0,546	0	0	0,546	1,850	-1,5	1,010	0,000	0,91	-2,64	0,452	0	0	0	0,26	0	-0,069	0	
Σ				$2 I_x = \Sigma I_y$									0	0	30,65	0	-0,587	0	30,65
				$14,842$	$1,092$								0	0	0	0,497	0	0,497	
													0	0	30,65	0	0,631	0	31,28D
													0	0	0	-0,539	0	0	
													0	61,3	-0,0624	0,048	0,0625	61,34	
													61,3	0	-0,0527	-0,042	61,03	-0,042	



NB: Dans le tableau on a la convention suivante:
 $I_y, (I_x)$ Moment d'inertie dans le sens $X(X)$

• Calcul des efforts - Ferraillage - Verifications.

• Voile de contreventement (Art 43.11 du RPA 81)

Ne sont considérés comme voiles de contreventement que les voiles satisfaisant aux conditions:

$$l \geq \frac{h_e}{2} \quad \text{et } l \geq 5t.$$

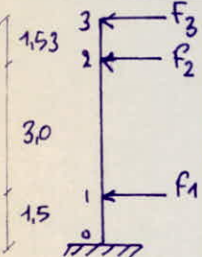
h_e = hauteur libre d'étage.

t = épaisseur d'un voile = 20 cm

l = longueur du voile.

Dans tous les cas cette condition est vérifiée dans les voiles de la chaufferie. Des voiles de la chaufferie joue le rôle de contreventement.

• Calcul des sollicitations internes.



Effets du Séisme				Moment à la base du refend			Effort brançant à la base du refend		
Refend	f_3	f_2	f_1	3-2	2-1	1-0	3-2	2-1	1-0
1	5,937	13,417	7,726	9,084	67,236	107,901	5,937	19,384	27,110
2	9,362	21,204	12,184	14,324	106,022	170,147	9,362	30,566	42,717
3	0,072	0,164	0,094	0,110	0,818	1,313	0,072	0,236	0,33
4	6,712	15,202	8,735	10,269	76,011	121,985	6,712	21,914	30,649
5.	6,850	15,515	8,915	10,481	77,576	124,50	6,850	22,365	31,28

• Tableau Récapitulatif de tous les efforts dans les voiles.

Refend.	Niveau	Moment du séisme à la base refend	T du séisme à la base du refend	NG: effort normal du G (Hm)	NP effort normal du P (Hm)
(1)	3-2	9,084	5,937	1,9	0,16
	2-1	67,236	19,384	4,312	0,33
	1-0	107,901	27,110	6,532	1,600
(2)	3-2	14,324	9,362	1,9	0,16
	2-1	106,022	30,566	4,312	0,330
	1-0	170,147	42,717	6,467	1,555
(3)	3-2	0,110	0,072	1,416	0,075
	2-1	0,818	0,236	3,828	0,245
	1-0	1,313	0,330	6,048	1,472
(4)	3-2	10,269	6,712	1,230	0,043
	2-1	76,011	21,914	3,058	0,111
	1-0	121,985	30,649	3,941	0,281
(5)	3-2	10,481	6,850	1,230	0,043
	2-1	77,576	22,365	3,058	0,111
	1-0	124,50	31,28	4,483	0,674

• Calcul des contraintes à la base de chaque niveau

- Contrainte due au Sismo $\sigma_E = \frac{H}{I} V + \frac{N}{S}$ ($N=0$)
- Contrainte due au charges verticales $G = \frac{N}{S}$

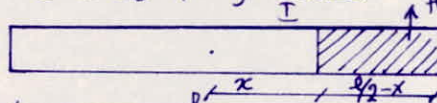
Voile	Niveau	H(m)	I(m ⁴)	V(m)	σ_E (kg/cm ²)	G (kg/cm ²)	σ_g (kg/cm ²)	P(kg/m)	σ_p (kg/cm ²)
1	3-2	9,084	9,878	4,2	0,386	$1,90 \cdot 10^3$	0,95	$0,16 \cdot 10^3$	0,08
	2-1	67,236	9,878	4,2	2,859	$4,312 \cdot 10^3$	2,156	$0,33 \cdot 10^3$	2,165
	1-0	107,901	9,878	4,2	4,58	$6,532 \cdot 10^3$	3,266	$1,600 \cdot 10^3$	2,800
2	3-2	14,324	4,901	3,325	0,972	$1,9 \cdot 10^3$	0,95	$0,16 \cdot 10^3$	0,08
	2-1	106,022	4,901	3,325	7,193	$4,32 \cdot 10^3$	2,156	$0,33 \cdot 10^3$	0,165
	1-0	170,147	4,901	3,325	11,54	$6,447 \cdot 10^3$	3,23	$1,555 \cdot 10^3$	0,78
3	3-2	0,110	0,0621	0,775	0,137	$1,416 \cdot 10^3$	0,708	$0,075 \cdot 10^3$	0,038
	2-1	0,818	0,0621	0,775	1,021	$3,821 \cdot 10^3$	1,914	$0,246 \cdot 10^3$	0,123
	1-0	1,313	0,0621	0,775	1,64	$6,048 \cdot 10^3$	3,02	$1,472 \cdot 10^3$	0,74
4	3-2	10,267	0,546	1,6	3,009	$1,230 \cdot 10^3$	0,615	$0,043 \cdot 10^3$	0,022
	2-1	76,011	0,546	1,6	22,27	$3,058 \cdot 10^3$	1,529	$0,111 \cdot 10^3$	0,056
	1-0	121,945	0,546	1,6	35,75	$3,941 \cdot 10^3$	1,097	$0,281 \cdot 10^3$	0,14
5	3-2	10,481	0,546	1,6	3,071	$1,230 \cdot 10^3$	0,615	$0,043 \cdot 10^3$	0,022
	2-1	77,536	0,546	1,6	22,73	$3,058 \cdot 10^3$	1,529	$0,111 \cdot 10^3$	0,056
	1-0	124,150	0,546	1,6	36,48	$4,483 \cdot 10^3$	2,42	$0,674 \cdot 10^3$	0,34

• Verification si les refends sont tendus (sous $0,8G - F$)

Verifier si $\sigma = 0,8G - \sigma_E < 0$ Si oui $N = 0,8G - F$

La zone tendue s'étend sur une distance égale à $V - X$

X est donné par la relation $0,8G - \sigma_E = 0 \Rightarrow 0,8G - \frac{H}{I} \cdot x = 0$ Zone tendue
D'où $x = 0,8 G I / H$.



• Voile du ride Sanitaire

Voile	$0,8G - \sigma_E$	$x(m)$	Zone tendue (m)
1	-1,975	2,39	1,81
2	-8,956	0,75	2,58
3	0,776	/	/
4	-34,117	0,07	1,53
5	-34,69	0,08	1,52

$$\sigma_{T1} = 0,8G - F$$

$$\sigma_{T1} = -1,975 \text{ kg/cm}^2$$

$$\sigma_{T2} = \sigma_{T1} \times \frac{(V/2 - x - 100)}{(V/2 - x)} = \sigma_{T1} \times \frac{(V - x - 100)}{(V - x)}$$

$$\sigma_{T2} = -0,884 \text{ kg/cm}^2$$

$$f_1 = f_1 + f_2 \cdot b \cdot 100 = \frac{1,975 + 0,884}{2} \times 20 \times 100 = 2,859 t$$

Armatures verticales en Zone tendue

$$f_2 = \frac{b_2 + 0}{2} \times h \times 100 = \frac{0,884 \times 20 \times 100}{2} = 0,884^t.$$

$$A_1 = \frac{f_1}{\delta a} = \frac{2,859 \cdot 10^3}{\frac{3}{2} \cdot 2800} = 0,615 \text{ cm}^2 \quad A_2 = \frac{0,884 \cdot 10^3}{4200} = 0,210 \text{ cm}^2$$

$$A = A_1 + 0,81 A_2 = 0,785 \text{ cm}^2 \Rightarrow \bar{\omega} = 0,022\%, \quad \bar{\omega}(\text{ART 4333 RPA 81}) = 0,5\%.$$

NB: de voile n° 3 n'est pas tendue.

Voile	G_{T_1}	G_{T_2}	G_{T_3}	$f_1(H)$	$f_2(H)$	$f_3(H)$	A_{1, cm^2}	A_2	A_2	A	$\bar{\omega}(\%)$	$\bar{\omega}_{\text{RPA 81}}$
1	-1,975	-0,884	/	2,859	0,884	/	0,615	0,21	/	0,785	0,022	0,5
2	-8,956	-5,485	2,013	14,441	7,498	2,013	3,438	1,785	0,479	5,501	0,107	0,5
4	-34,170	-11,837	/	46,00	11,837	/	10,954	2,818	/	12,448	0,407	0,5
5	-34,690	-11,868	/	46,56	11,868	/	11,088	2,826	/	12,555	0,413	0,5

Section totale adoptée en zone tendue :

on adoptera la section d'acier préconisée par le RPA à 0,5% de la section du béton en zone tendue.

Pour un (1) ml on a : $\frac{0,5}{100} \times 20 \times 100 = 10 \text{ cm}^2/\text{ml}$

$A = 10 \text{ T12}/\text{ml}$. On disposera cette section en 2 nappes de ST12 chacune.

• Vérification de la contrainte sous $G+P+E$

Voile	1	2	3	4	5
$\sigma(G+P+E)$	864	15,55	5,4	37,86	39,24

$< 1,56 \text{ b}_0$

• Niveau RDC

voile	$G(E)$	$\delta(G)$	$\delta(P)$	$\delta(0,8G-E)$	$\delta(P+G+E)$
1	2,859	2,156	0,165	-1,134	5,18
2	7,193	2,156	0,165	-5,468	9,51
3	1,021	1,914	0,122	0,510	3,06
4	82,27	1,529	0,056	-21,051	23,86
5	22,73	1,529	0,056	-21,51	24,32

* La contrainte $G+P+E < 1,56 \text{ b}_0$

$\sigma(0,8G-E)$ de ce niveau est inférieure à la contrainte du niveau du rideau sanitaire $\delta(0,8G-E)$ dans ce cas on adoptera la section minimale qui est préconisée par le RPA 81 à 0,5%.

• Niveau 8^m 00

voile	$G(E)$	$\delta(G)$	$\delta(P)$	$\delta(0,8G-E)$	$\delta(P+G+E)$
1	0,386	0,950	0,080	0,374	1,1416
2	0,932	0,950	0,080	-0,212	2,002
3	0,137	0,708	0,038	0,429	0,9883
4	3,009	0,615	0,022	-2,517	3,646
5	3,071	0,615	0,022	-2,579	3,708

la même conclusion que précédemment i.e qu'on choisit la section minimale qui est de 0,5%. Foutefois à ce niveau le voile n°3 n'est plus tendu, il sera feraillé au minimum de 0,15 ou 0,25% (ferraillage qui est donné par le RPA pour les parties courantes).

- Verification du ferraillage dans les repêts Des plus sollicités des armatures de la section transversale qui résistent à l'effort tranchant doivent être calculés avec la formule:

$$\bar{w}_t = \frac{\bar{P} - P}{\sigma_{en}} \times 100 \quad \text{avec } P = 1,4 \cdot \frac{T}{b \cdot z}$$

\bar{w}_t : contrainte de ferraillage

\bar{w}_t doit être supérieur à : 0,25%, si $0,025 \delta'_{28} \leq \bar{P}_b \leq 0,12 \delta'_{28}$
0,15%, si $\bar{P}_b \leq 0,025 \delta'_{28} = 6,75$.

Repêt	T(t)	$\bar{T}(t)$	P	\bar{P}	\bar{w}_t	% min
1	27,11	37,95	2,84	32,4	< 0	0,15%
2	42,75	59,85	5,66	32,4	< 0	0,15%
3	0,33	0,462	0,187	32,4	< 0	0,15%
4	30,65	42,091	8,429	32,4	0,010	0,25%
5	31,28	43,79	8,602	32,4	0,014	0,25%

• Calcul du ferraillage en zone non tendue:

Comme nous venons de le voir précédemment pour le niveau de base on doit adopter le ferraillage minimum pour les voiles car: \bar{w}_t est tel que:

$$\begin{aligned} \bar{P}_b < 0,025 \delta'_{28} \rightarrow \bar{w}_t = 0,15\%, \quad \left. \begin{array}{l} \text{dans chaque} \\ 0,025 \delta'_{28} \leq \bar{P}_b \leq 0,12 \delta'_{28} \rightarrow \bar{w}_t = 0,25\% \end{array} \right\} \text{direction.} \end{aligned}$$

des pourcentages minimum sont donc adoptés pour les voiles de la manière suivante 0,15% pour les voiles 1,2,3 et 0,25% pour les voiles 4,5 (pour le niveau de base).

Pour les niveaux RDC et 3^m, l'effort tranchant est inférieur au niveau de base, cela implique la même chose pour \bar{P}_b .

Donc on choisira une section de 0,15% pour les voiles du RDC et niveau 3^m (voiles 1,2,3)

Considérons les voiles 4,5. (Niveau RDC)

$$\begin{aligned} \text{voile 4} \rightarrow T = 21,91 \rightarrow \bar{T} = 30,68 \rightarrow P_b = 6,296 \quad \left. \begin{array}{l} \text{et} \\ \text{voile 5} \rightarrow T = 22,36 \rightarrow \bar{T} = 31,31 \rightarrow P_b = 6,15 \end{array} \right\} < 0,025 \delta'_{28} = 6,75 \text{ cm}^2 \end{aligned}$$

Considérons les voiles 4,5 (Niveau 3^m).

$$\begin{aligned} \text{voile 4} \rightarrow T = 6,712 \rightarrow \bar{T} = 9,397 \rightarrow P_b = 1,846 \quad \left. \begin{array}{l} \text{et} \\ \text{voile 5} \rightarrow T = 6,850 \rightarrow \bar{T} = 9,59 \rightarrow P_b = 1,88 \end{array} \right\} < 0,025 \delta'_{28} \end{aligned}$$

On adoptera un taux de 0,15%, si $A = 3 \text{ cm}^2/\text{ml}$.

- Voir tableau récapitulatif des ferrailages dans les voiles.

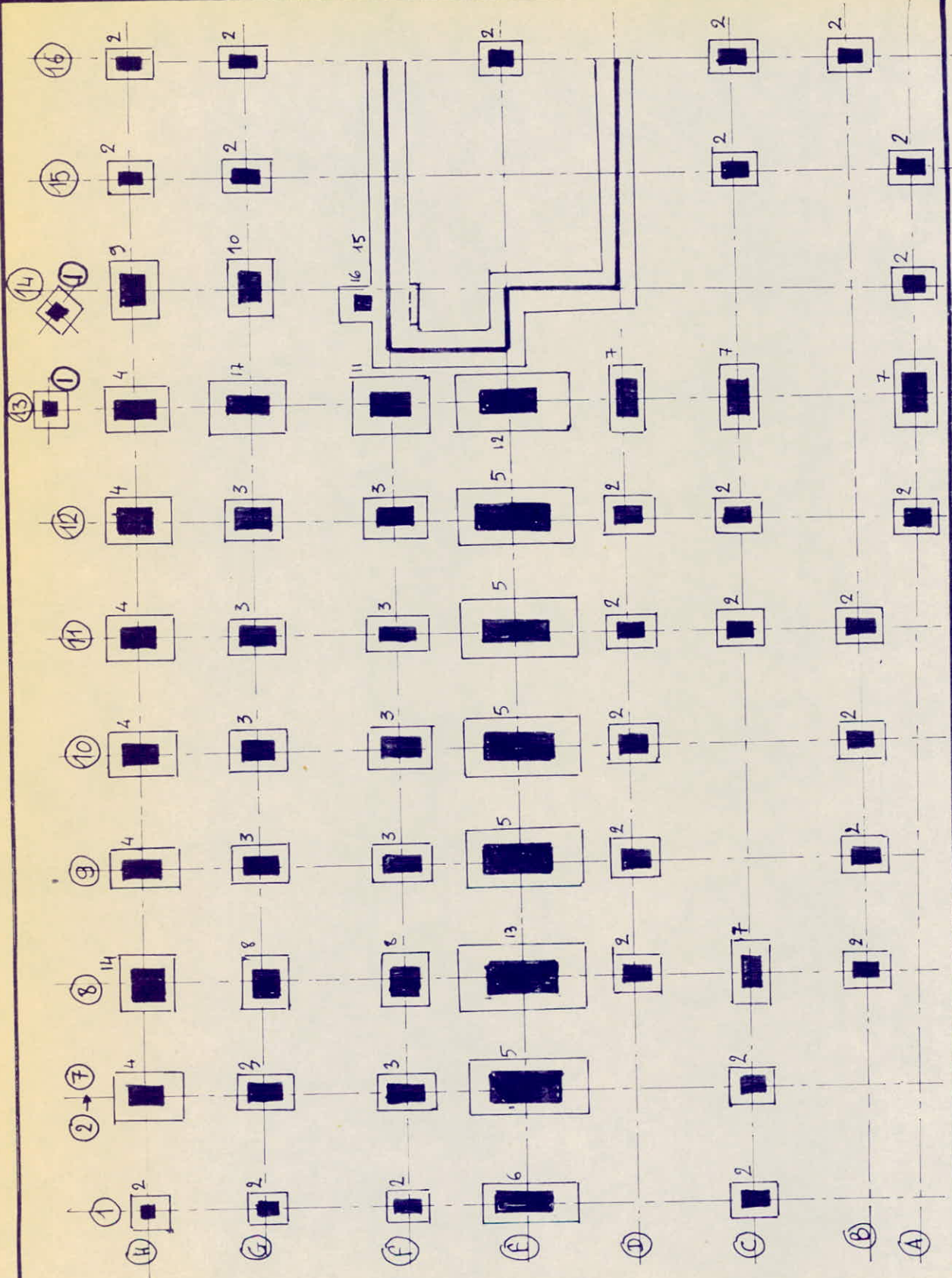
Tableau Récapitulatif du ferrailage des voiles

172

Voile	Aciérs horizontaux			Aciérs verticaux			Zone tendue	Zone non tendue	Zone tendue
	Niveau A (m^2/m) (min)	Barres/ m ²	Espace/ cm	A (m^2/m) (min)	Barres/m ²	Espace/ cm			
1	3-2	3	2x4f8	25	3	2x4f8	25	/	/
	2-1	3	2x4f8	25	3	2x4f8	25	10	2x5f8
	1-0	3	2x4f8	25	3	2x4f8	25	10	2x5f8
2	3-2	3	2x4f8	25	3	2x4f8	25	10	2x5f8
	2-1	3	2x4f8	25	3	2x4f8	25	10	2x5f8
	1-0	3	2x4f8	25	3	2x4f8	25	10	2x5f8
3	3-2	3	2x4f8	25	3	2x4f8	25	/	/
	2-1	3	2x4f8	25	3	2x4f8	25	veille ne possède aucun	pas de zone tendue
	1-0	3	2x4f8	25	3	2x4f8	25	pas de zone tendue	pas de zone tendue
4	3-2	3	2x4f8	25	3	2x4f8	25	10	2x5f8
	2-1	3	2x4f8	25	3	2x4f8	25	10	2x5f8
	1-0	5	2x5f8	20	5	2x5f8	20	10	2x5f8
5	3-2	3	2x4f8	25	3	2x4f8	25	10	2x5f8
	2-1	3	2x4f8	25	3	2x4f8	25	10	2x5f8
	1-0	5	2x5f8	20	5	2x5f8	20	10	2x5f8

CHAPTER 10

ETUDE DE SOL
FOUNDATIONS



FONDATIONS

ETUDE DU SOL

Introduction:

- Dans cette partie de notre étude on se propose d'étudier et d'interpréter les résultats des essais de laboratoire qui ont été faits sur des échantillons du sol d'assise aux fondations de notre ouvrage. On calculera alors la portance du sol et en évaluera les tassements.

Rapport du sol:

- Le rapport de sol traite de la portance et des tassements du sous-sol qui est destiné à recevoir les fondations. Pour ce faire un sondage rotatif ainsi que quelques essais pressiométriques

Caractéristiques géologiques du sol:

La coupe du forage rotatif ainsi que les forages pressiométriques nous révèlent des limons sableux intercalés d'argiles sableuses. Aucune présence de nappe d'eau n'a été constatée.

Essai du laboratoire:

- Pour le calcul de la portance du sol ainsi que les tassements on utilisera les essais de laboratoire.

Une constatation est à faire après avoir fait les calculs est que tenant compte de la nature du sol essayé (limons sableux) il devient évident que l'échantillon devra manifester une certaine friabilité lors de la mise en place à l'oeil de bœuf ou breu à la boîte de cassement. Cela veut dire que les échantillons essayés auront été partiellement remaniés et par conséquent les résultats se trouvent sous-estimés. Ceci comparés aux valeurs de la portance obtenues par l'essai pressiométrique qui est un essai in situ. Les résultats obtenus par cette méthode (essai pressiométrique) sont assez optimistes à notre avis.

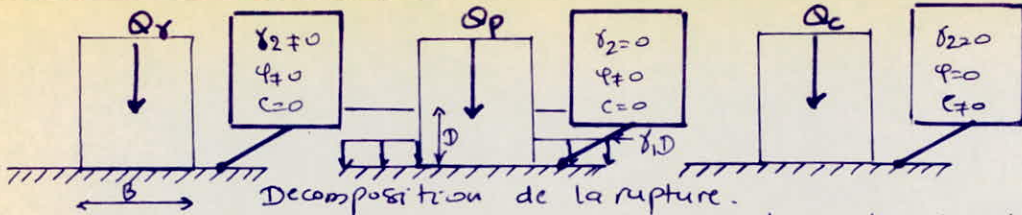
formule générale de la charge limite:

La charge limite de la fondation est déterminée en supposant 3 états:
 - Résistance du sol pulvérulent sous le niveau de la semelle, d'où une certaine résistance Q_f ; γ_2 = poids spécifique des terres sous le niveau de la semelle.

- Action des terres situées au dessus du niveau de fondation qui sont supposées agir comme une surcharge $\gamma_1 D$ sur un milieu pulvérulent non pesant d'où une résistance Q_p ; γ_1 = poids spécifique des terres au dessus du niveau de la semelle.

- Action de la cohésion : D'où une charge de rupture Q_c

La capacité portante de la fondation sera : $Q_L = Q_f + Q_p + Q_c$.
 La contrainte de rupture est $q_L = q_f + q_p + q_c$.



Beaucoup de formules nous donnent la valeur de la contrainte admissible du sol déduite de la contrainte limite.

Pour nos calculs on utilisera la formule du DTU n° 13-1 :

$$q_a = \gamma_1 D + \frac{P \gamma_2 N_g + \gamma_1 D (N_q - 1) + c \cdot N_c}{F_s}$$

où : N_g = terme de surface

N_q = terme de profondeur

N_c = terme de cohésion.

D : ancrage de la fondation.

c : cohésion du sol

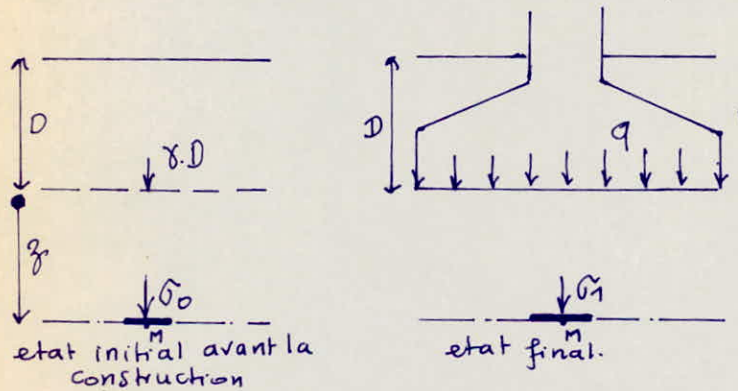
F_s : coefficient de sécurité ($F_s = 3$)

$$P = \frac{B}{2(1+B)}$$

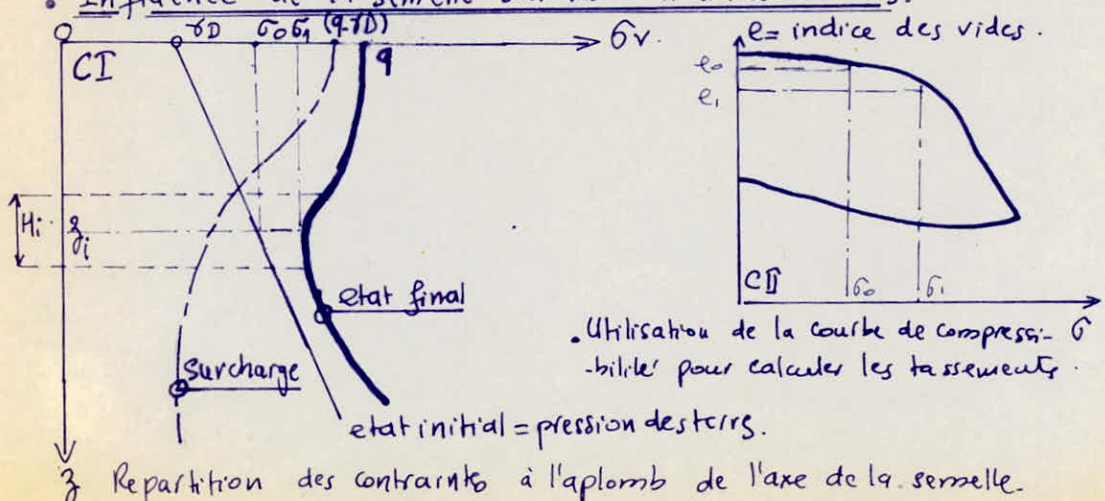
B et L dimensions de la semelle.

N_g, N_q et N_c sont des coefficients numériques qui dépendent que de l'angle de frottement φ du sol.

- Détermination du tassement par la méthode d'intégration par tranches
- Soit le cas de notre étude où on n'a pas de nappe d'eau.



Influence de la semelle sur les contraintes verticales.



• Interprétation des courbes CI et CII

La courbe CI nous montre la nouvelle répartition des contraintes à une profondeur z quelconque. La construction a entraîné une surcharge égale à $(q-\gamma D)$. L'état final est obtenu en additionnant à chaque profondeur z la contrainte initiale à la surcharge.

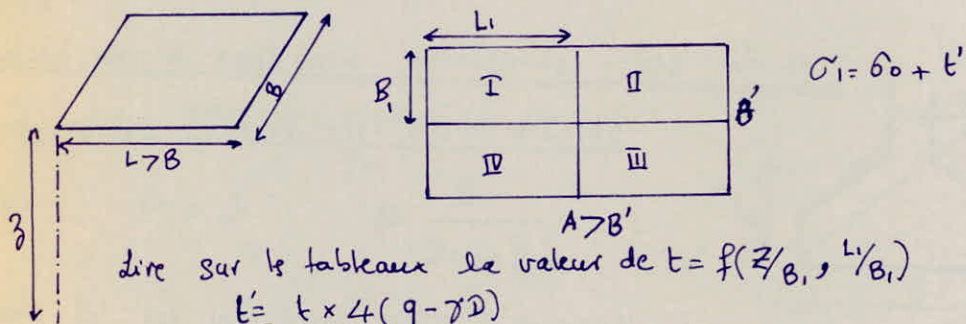
À la profondeur z_1 , la contrainte est passée de σ_0 à σ_1 .

La courbe CII, courbe oedométrique du sol (ou de la couche considérée), nous donne le tassement en fonction respectivement de σ_0 et σ_1 .
de tassement de la couche H_1 est donc:

$$\Delta s = H_1 \cdot \frac{\Delta e}{1 + e_0}$$

Le tassement total de toutes les couches au dessous de la semelle est: $S = \sum \Delta s$.

On calculera σ_1 en utilisant les courbes qui donnent les répartitions des contraintes verticales à l'aplomb d'une semelle de fondation de dimensions $L \times B$ ($L > B$). Voir tableaux Philliponat



$$\sigma_1 = \sigma_0 + t'. \quad \sigma_0 \rightarrow e_0 \quad \sigma_1 \rightarrow e_1. \quad \Delta s = H_1 \cdot \frac{e_1 - e_0}{1 + e_0}$$

On comparera alors nos tassements aux tassements admissibles
Immeubles à ossature $S = (6 \pm 7) \text{ cm}$.

• Estimation des tassements différentiels

Le tassement peut être évalué en combinant les charges les plus lourdes et les charges les plus légères par exemple.

Valeurs admissibles

On appellera distortion le rapport $\delta = \frac{\Delta s}{L}$.

Δs : tassement différentiel entre 2 appuis
 L : Distance entre ces 2 appuis

Ferzagui indique que $\delta \leq \bar{\delta} = \frac{1}{250}$ (immeubles à ossature).

NB: pour le calcul de la contrainte q_a , on fera un calcul itératif que nous présenterons sous forme de tableau pour les fondations différentes.

charge ramenée par le poteau: N .
poids du potelet: $a \times b \times (D - \frac{L-a}{4}) \times 2,5$.

$$Q = N + 2,5 \cdot BL \frac{L-a}{4} + 2,1 \times (B \cdot L - a \cdot b) \left(1,4 - \frac{L-a}{4} \right) + 2,5 \times \left(D - \frac{L-a}{4} \right) \cdot a \times b$$

Q est la charge totale qui servira à déterminer q_a .

• NB:

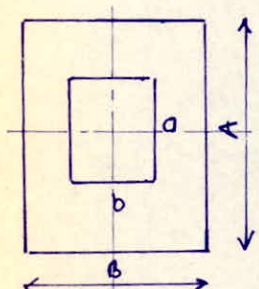
On a opté pour le type de fondation isolées, la plupart de ces fondations sont des fondations homothétiques aux poteaux sauf les fondations du type 5 et 6 qui sont des fondations à débord constant.

• Exemple de calcul

Semelle n°5.

$$\begin{aligned} b &= 30 \text{ cm} \\ a &= 92 \text{ cm} \end{aligned}$$

$$N = 57,4 \text{ t}$$



$$q_a = \frac{Q}{A \cdot B}$$

$$\begin{aligned} A-a &= B-b \Rightarrow A = B-b+a \Rightarrow q_a = \frac{Q}{B(B-b+a)} \\ \Rightarrow B^2 - bB + aB &= \frac{Q}{q_a} \Rightarrow B^2 + 0,62B - \frac{Q}{q_a} = 0 \end{aligned}$$

$$1^{\text{e}} \text{ itération : } q_a = 3 \text{ kg/cm}^2 = 3 \cdot 10^4 \text{ kg/m}^2.$$

$$Q = N = 57,4 \cdot 10^3 \text{ kg.}$$

$$B^2 + 0,62B - \frac{57,4}{30} \Rightarrow B = 1,11 \Rightarrow B = 1,15 \Rightarrow A = 1,75.$$

$$\begin{aligned} (B=1,15 \text{ m}, A=1,75 \text{ m}) \Rightarrow Q &= 64,5 \cdot 10^3 \text{ kg} \\ B^2 + 0,62B + \frac{64,5 \cdot 10^3}{30} \Rightarrow B &= 1,20 \text{ m} \Rightarrow A = 1,80 \text{ m} \end{aligned}$$

$$(B=1,20 \text{ m}, A=1,80 \text{ m}) \Rightarrow Q = 64,96 \cdot 10^3 \text{ kg.}$$

$$B^2 + 0,62B - \frac{64,96 \cdot 10^3}{30} \Rightarrow B = 1,20 \text{ m} \Rightarrow A = 1,80 \text{ m}$$

Les valeurs de A et B se sont stabilisées on calcule q_a .

$$P = 0,36 \rightarrow q_a = 3,22 \text{ kg/cm}^2.$$

$q_a = 3,22 \text{ kg/cm}^2 \rightarrow q_a = 3,0 \text{ kg/cm}^2 \rightarrow$ On refait une autre itération avec $q_a = 3,1 \text{ kg/cm}^2$.

Ainsi de suite jusqu'à obtenir une valeur de q_a sensiblement supérieure à la valeur du début de l'itération.

Résultats: $q_a = 3,1 \text{ kg/cm}^2$ et $B = 1,20 \text{ m}$; $A = 1,80 \text{ m}$; $Q = 64,96$

Voir tableau donnant détail du calcul itératif.

• Calcul des tassements.

Calcul de la contrainte admissible du sol par itérations.

N° de la fondation	Iteration	a (cm)	b (cm)	q_a kg/cm ²	H (H)	B (m)	A (m)	Q (H)	B (m)	A (m)	Q (H)	B (m)	A (m)	Q (H)	B (m)	A (m)	P	q_a (kg/cm ²)
9	1	62	50	3,0	42,4	1,10	1,35	47,59	1,15	1,40	48,04	1,15	1,40					0,316 3,12
	2	62	50	3,1	42,4	1,10	1,30	47,41	1,10	1,40	47,79	1,15	1,40	48,03	1,15	1,40		0,316 3,13
	3	←															→	
10	1	62	40	3,0	82,7	1,35	2,10	92,62	1,45	2,20	93,86	1,45	2,20	0	—	—		0,435 3,38
	2	62	40	3,2	82,7	1,30	2,00	91,8	1,40	2,10	92,99	1,40	2,10	—	—	—		0,420 3,34
	3	62	40	3,3	82,7	1,30	2,00	91,8	1,35	2,10	92,62	1,35	2,10	—	—	—		0,411 3,32
11	1	82	62	3,2	79,2	1,40	1,85	88,26	1,45	1,95	89,09	1,45	1,95	—	—	—		0,416 3,33
	2	82	62	3,3	79,2	1,35	1,80	87,70	1,40	1,90	88,51	1,45	1,90	88,84	1,45	1,90		0,411 3,32
	3	←															→	
12-13	1	92	62	3,3	52,4	1,05	1,55	59,09	1,10	1,65	58,75	1,10	1,65	—	—	—		0,330 3,15
	2	92	62	3,2	52,4	1,10	1,60	58,86	1,15	1,65	59,04	1,15	1,65	—	—	—		0,339 3,17
	3	92	62	3,1	52,4	1,10	1,60	58,56	1,15	1,70	59,24	1,15	1,70	—	—	—		0,343 3,18
14	1	62	50	3,1	43,3	1,10	1,35	48,49	1,15	1,40	48,93	1,15	1,40	—	—	—		0,316 3,12
	2	62	50	3,0	43,3	1,10	1,35	48,49	1,15	1,45	49,13	1,15	1,45	—	—	—		0,321 3,14
	3	←															→	
15	1	1ml	20	2,0	8,5	0,45	1,00	10,1	0,55	1,00	10,4	0,55	1,00	—	—	—		0,275 3,04
	2	1ml	20	2,9	8,5	0,30	1,00	9,55	0,35	1,00	9,73	0,35	1,00	—	—	—		0,175 2,84
	3	1ml	20	2,8	8,5	0,35	1,00	9,73	0,35	1,00	—	—	—	—	—	—	0,175 2,84	
16	1	62	30	3,0	93	1,60	1,90	—	—	—	—	—	—	—	—	—		0,439 3,386
	2	62	30	3,2	93,1	1,55	1,90	—	—	—	—	—	—	—	—	—		0,427 3,36
	3	62	30	3,3	92,5	1,55	1,95	—	—	—	—	—	—	—	—	—		0,422 3,34
17	1	40	30	2,9	74,2	1,40	1,85	83,26	1,50	1,95	84,44	1,50	2,00	84,7	1,50	2,00		0,429 3,36
	2	40	30	3,2	74,2	1,35	1,80	82,70	1,40	1,90	83,57	1,40	1,90	—	—	—		0,403 3,31
	3	40	30	3,3	74,2	1,30	1,75	82,16	1,40	1,80	83,02	1,40	1,80	—	—	—		0,394 3,29

Calcul de la Contrainte admissible du sol par itérations.

N° de la fondation	Iteration	a (cm)	b (cm)	q_a kg/cm^2	H (t)	B (m)	A (m)	Q (t)	B (m)	A (m)	Q (t)	B (m)	A (m)	Q (t)	B (m)	A (m)	P	q_a kg/cm^2	
1	1	30	30	2,0	33,8	1,30	1,30	39,7	1,45	1,45	41,2	1,45	1,45	38,4	1,15	1,15	38,4	1,15	0,363 3,23
	2	30	30	2,8	33,8	1,10	1,20	38,0	1,20	1,20	38,8	1,20	1,20	38,4	1,15	1,15	38,4	1,15	0,3 3,10
	3	30	30	3,0	33,8	1,10	1,10	38,0	1,15	1,15	38,4	1,15	1,15	38,4	1,15	1,15	38,4	1,15	0,297 3,07
2	1	40	30	2,6	20,0	0,90	1,20	23,78	1,00	1,30	24,5	1,00	1,30	22,94	0,80	1,05	22,94	0,80	0,238 3,06
	2	40	30	2,8	20,0	0,75	1,00	22,62	0,80	1,05	22,94	0,80	1,05	22,8	0,80	1,00	22,8	0,80	0,226 2,94
	3	40	30	2,9	20,0	0,75	0,95	22,49	0,80	1,00	22,8	0,80	1,00	22,8	0,80	1,00	22,8	0,80	0,222 2,93
3	1	40	30	2,6	52,7	1,25	1,65	59,92	1,35	1,75	60,97	1,35	1,75	59,63	1,20	1,65	59,63	1,20	0,381 3,26
	2	40	30	3,0	52,7	1,15	1,55	58,94	1,20	1,65	59,63	1,20	1,65	59,42	1,20	1,60	59,42	1,20	0,347 3,2
	3	40	30	3,1	52,7	1,15	1,50	58,74	1,20	1,60	59,42	1,20	1,60	59,21	1,15	1,55	59,21	1,15	0,343 3,18
4	1	50	30	2,8	37,4	0,90	1,50	42,10	0,95	1,60	42,72	0,95	1,60	42,55	0,95	1,50	42,55	0,95	0,298 3,09
	2	50	30	3,0	37,4	0,90	1,45	41,97	0,95	1,50	42,55	0,95	1,50	42,44	0,95	1,45	42,44	0,95	0,291 3,08
	3	←																→	
5	1	92	30	3,0	57,4	1,15	1,75	64,5	1,20	1,80	64,96	1,20	1,80	64,96	1,20	1,80	64,96	1,20	0,360 3,22
	2	92	30	3,1	57,4	1,10	1,75	64,14	1,15	1,80	64,64	1,20	1,80	64,64	1,20	1,80	64,64	1,20	0,360 3,22
	3	92	30	3,2	57,4	1,20	1,70	63,94	1,15	1,75	64,44	1,25	1,75	64,44	1,25	1,75	64,44	1,25	0,347 3,19
6	1	82	30	3,0	20	0,60	1,15	22,42	0,65	1,15	22,62	0,65	1,20	22,73	0,65	1,20	22,73	0,65	0,211 2,91
	2	82	30	2,9	20	0,65	1,15	22,62	0,65	1,20	22,73	0,65	1,20	22,73	0,65	1,20	22,73	0,65	0,211 2,91
	3	←																→	
7	1	62	40	3,0	30,0	0,85	1,25	33,72	0,85	1,35	34,02	0,85	1,35	34,02	0,85	1,35	34,02	0,85	0,261 3,01
	2	←																→	
	3	←																→	
8	1	62	40	3,0	59,3	1,15	1,75	66,34	1,20	1,85	67,07	1,20	1,90	67,28	1,20	1,90	67,28	1,20	0,368 3,24
	2	62	40	3,1	59,3	1,15	1,75	66,34	1,20	1,80	66,86	1,20	1,80	66,86	1,20	1,80	66,86	1,20	0,360 3,22
	3	62	40	3,2	59,3	1,10	1,70	65,84	1,15	1,80	66,55	1,20	1,80	66,86	1,20	1,80	66,86	1,20	0,360 3,22

Tassement de la fondation n° 5. (4.E)

$$B = 1,20 \text{ m} \quad L = 1,80 \text{ m}$$

$$B_1 = 1,20/2 = 0,60 \quad L_1 = 1,80/2 = 0,90 \quad L/B_1 = \frac{0,9}{0,6} = 1,5.$$

On prend les z_i au milieu de chaque couche.

$$Z_1 = 0,6 \Rightarrow Z_1/B_1 = \frac{0,6}{0,6} = 1. \Rightarrow t_1 = 0,194 \text{ (valeur lue des tableaux)}$$

$$Z_2 = 2,1 \Rightarrow Z_2/B_2 = \frac{2,1}{0,6} = 3,5. \Rightarrow t_2 = \frac{0,061 + 0,038}{2} = 0,0495.$$

$$Z_3 = 3,8 \Rightarrow Z_3/B_3 = \frac{3,8}{0,6} = 6,33. \Rightarrow t_3 = 0,00834.$$

$$q = \frac{Q}{A \cdot B} = \frac{64,96 \cdot 10^3}{180 \times 120} = 3,00$$

$$\sigma D = 1,4 \times 2,1 \cdot 10^{-1} = 0,294 \text{ kg/cm}^2$$

$$q - \sigma D = 3,00 - 0,294 = 2,713 \text{ kg/cm}^2$$

$$t'_1 = 4 \times 2,713 \times 0,194 = 2,106$$

$$t'_2 = 4 \times 2,713 \times 0,0495 = 0,537$$

$$t'_3 = 4 \times 2,713 \times 0,00834 = 0,091.$$

$$\sigma_0 = \sigma(D+3) \rightarrow \sigma_1 = \sigma_0 + t' =$$

$$\sigma_{01} = 0,41 \rightarrow \sigma_{11} = 2,516$$

$$\sigma_{02} = 0,735 \rightarrow \sigma_{12} = 1,272$$

$$\sigma_{03} = 1,092 \rightarrow \sigma_{13} = 1,183.$$

des courbes de compressibilité nous donnent les valeurs de ϵ_i et ϵ_{ij} (les courbes sont données dans le rapport du sol pour chaque couche)

$$\epsilon_{01} = 0,432 \quad \epsilon_{11} = 0,381$$

$$\epsilon_{02} = 0,420 \quad \epsilon_{12} = 0,409$$

$$\epsilon_{03} = 0,253 \quad \epsilon_{13} = 0,252.$$

$$S = \sum \Delta s.$$

$$\Delta s_1 = 1,2 \times \frac{0,432 - 0,381}{1 + 0,432} = 4,27 \cdot 10^{-2} \text{ m}$$

$$\Delta s_2 = 1,8 \times \frac{0,420 - 0,409}{1 + 0,420} = 1,394 \cdot 10^{-2} \text{ m}$$

$$\Delta s_3 = 1,6 \times \frac{0,253 - 0,252}{1 + 0,253} = 1,277 \cdot 10^{-2} \text{ m}$$

$$\text{D'où } \sum \Delta s = 5,8 \text{ cm.}$$

Tassement de la fondation n° 2 (4.C)

$$B = 0,80 \text{ m} \quad L = 1,00 \text{ m}$$

$$B_1 = 0,80/2 = 0,40 \quad L_1 = 1,00/2 = 0,50. \quad L/B_1 = \frac{0,5}{0,4} = 1,25.$$

On prend les z_i au milieu de chaque couche.

$$Z_1 = 0,6 \Rightarrow Z_1/B_1 = 0,6/0,4 = 1,5 \Rightarrow t_1 = 0,135.$$

$$Z_2 = 2,1 \Rightarrow Z_2/B_1 = 2,1/0,4 = 5,25 \Rightarrow t_2 = 0,022.$$

$$Z_3 = 3,8 \Rightarrow Z_3/B_1 = 3,8/0,4 = 9,5 \Rightarrow t_3 = 0,0045.$$

$$q = \frac{G}{A \cdot B} = \frac{22,8 \cdot 10^3}{100 \times 80} = 2,85 \text{ kg/cm}^2.$$

$$\gamma D = 2,1 \times 1,4 = 2,94 \text{ N/m}^2 = 0,294 \text{ kg/cm}^2.$$

$$q - \gamma D = 2,85 - 0,294 = 2,556 \text{ kg/cm}^2.$$

$$H_1 = 4 \times 2,556 \times 0,135 = 1,38 \text{ kg/cm}^2$$

$$H_2 = 4 \times 2,556 \times 0,022 = 0,225 \text{ kg/cm}^2$$

$$H_3 = 4 \times 2,556 \times 0,0045 = 0,046 \text{ kg/cm}^2$$

$$\delta_0 = t(D+t) \rightarrow \delta_1 = \delta_0 + t$$

$$\delta_{01} = 0,41 \rightarrow \delta_{11} = 1,80$$

$$\delta_{02} = 0,735 \rightarrow \delta_{12} = 0,96$$

$$\delta_{03} = 1,092 \rightarrow \delta_{13} = 1,138$$

$$e_{01} = 0,432 \quad e_{11} = 0,394$$

$$e_{02} = 0,420 \quad e_{12} = 0,415$$

$$e_{03} = 0,253 \quad e_{13} = 0,252$$

$$S = \sum \Delta S.$$

$$\Delta S_1 = 1,2 \times \frac{0,432 - 0,394}{1 + 0,432} = 3,18 \cdot 10^{-2} \text{ m}$$

$$\Delta S_2 = 1,8 \times \frac{0,420 - 0,415}{1 + 0,420} = 0,63 \cdot 10^{-2} \text{ m}$$

$$\Delta S_3 = 1,6 \times \frac{0,253 - 0,252}{1 + 0,253} = 0,13 \cdot 10^{-2} \text{ m.}$$

$$\sum \Delta S = 3,94 \text{ cm}$$

• Fassement différentiel : Distorsion:

$$S(4-B) = 5,8 \text{ mm} \Rightarrow \Delta S = 1,86 \text{ mm}$$

$$S(4-C) = 3,94 \text{ mm}$$

$$L = 6,20 \text{ mm}$$

$$\delta = \frac{\Delta S}{L} = \frac{1,86}{6,20} = 3,00 \cdot 10^{-3}$$

$$\bar{\delta} = \frac{1}{250} = 4 \cdot 10^{-3}$$

$$\delta = 3 \cdot 10^{-3} < \bar{\delta} = 4 \cdot 10^{-3}.$$

Le fassement différentiel est vérifié.

• FONDATIONS

• Introduction:

Après avoir fait l'étude du sol qui servira d'assiette à notre structure, on a calculé les contraintes admissibles du sol au dessous des fondations qu'on s'est proposé d'étudier. Ayant déterminé les dimensions des fondations qui satisfont la contrainte admissible du sol, on pourra à cette étape de calcul fermer les semelles.

Nous avons différents types de fondations :

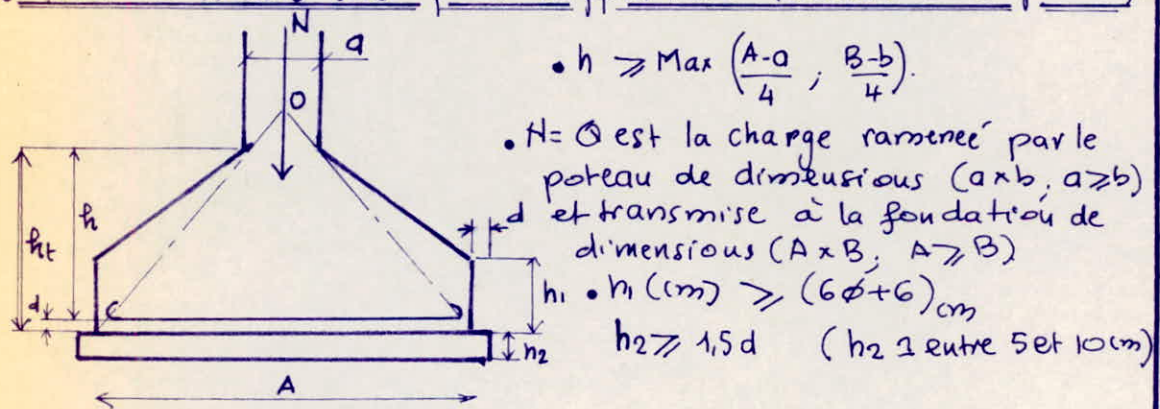
- Semelle continue sous mur
- Semelle isolée sous un poteau.
- Semelle isolée sous 2 poteaux.
- Semelle isolée sous 3 poteaux
- Semelle isolée sous 4 poteaux.

Les semelles seront posées sur un béton de qualité d'épaisseur 50 cm dose à 150 kg/m² et ceci pour permettre aux ouvriers de travailler dans de bonnes conditions.

Avant de choisir comme base du système le RDC, les semelles ne sont donc pas soumises à un moment dû au système. On disposera des longrines qui reprennent les moments à la base des poteaux dûs aux sollicitations sous SP1.

Les semelles seront ancrées à une profondeur égale à 1,40 m. Elles seront dimensionnées sous les sollicitations du 1^{er} genre et calculées sous SP1 aussi car N(1,5SP1) > N(SP1)

• Calcul de semelle sous point d'appui isolé (semelle sous poteau).



• Calcul des Armatures

Le calcul se fera par la méthode des bielles, cette méthode s'applique aux semelles rigides où $h \geq \max\left(\frac{A-a}{4}, \frac{B-b}{4}\right)$, la satisfaction de cette condition nous dispense de la vérification à l'effort tranchant. Cette méthode consiste à admettre que l'effort provenant du poteau se transmet par l'intermédiaire de bielles obliques ayant leur origine en O.

Les efforts de traction dans les aciers sont :

$$\text{Dans le sens } Ax: \frac{Q(B-b)}{8h} = F_x; \text{ Dans le sens } Ay: \frac{Q(A-a)}{8h} = F_y$$

Les armatures servent donc de 2 nappes superposées de barres orthogonales et parallèles aux côtés A et B. Ces armatures sont :

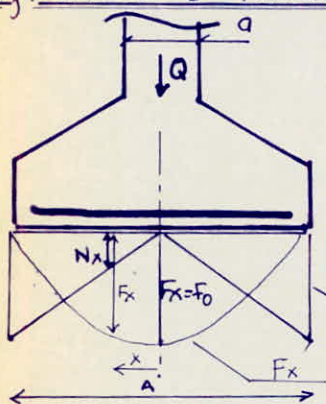
$$A'y = \frac{f_y}{\delta a} : \text{Armatures parallèles au grand côté}$$

$$A'x = \frac{f_x}{\delta a} : \text{Armatures parallèles au petit côté.}$$

$$A'y = \frac{Q(A-a)}{8h\delta a}$$

$$A'x = \frac{Q(B-b)}{8h\delta a}$$

- Vérification à l'adhérence.



$F(x)$ = force de traction dans les armatures
 $F(x) = f_0(1 - \frac{4x^2}{A^2})$, $f_0 = \frac{Q(A-a)}{8h}$

$$N(x) = \text{force d'adhérence} = \frac{dF(x)}{dx}$$

$$\text{Max } N(x) = N(A/2) = \frac{4f_0}{A}$$

Pour éviter de mettre des crochets aux extrémités des barres tendues on doit avoir $\bar{e}_d \leq \bar{e}_a$.

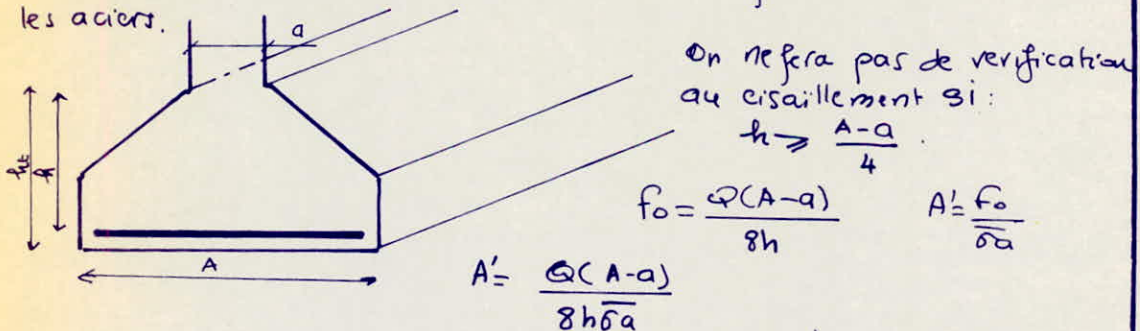
$$\bar{e}_d = \frac{N}{\pi \bar{d} \phi} = \frac{4f_0}{A \pi \bar{d} \phi} \leq \bar{e}_a ; f_0 = A' \bar{d} a$$

$$\text{D'où on a: } \phi \leq \frac{\bar{e}_d}{\bar{d} a} \cdot A.$$

$$\bar{e}_d = 1,25 \sqrt{4d^2 \cdot \bar{d} b} = 1,25 \times (15)^2 \times 5,9 \Rightarrow \bar{e}_d = 16,59 \text{ kg/cm}^2$$

- Semelle sous mur:

La méthode des bielles nous donne la force de traction dans les aciers.



On ne fera pas de vérification au cisaillement si :

$$h \geq \frac{A-a}{4}$$

$$f_0 = \frac{Q(A-a)}{8h} \quad A' = \frac{f_0}{\bar{d} a}$$

On disposera des armatures de répartition $A'r'$ parallèlement au mur. Leur section est égale à $A'/4$. $\rightarrow A'r' = A'/4$.

- Vérification au point connement: (Art 39,54 CCBA 68).

Ondoit vérifier que $1,25 \frac{N}{P_c \cdot h_t} \leq \bar{d} b$

P_c = périmètre moyen à $h_t/2$.

$$N = Q - f_{pc} ; f_{pc} = \text{force ascendante due à } \bar{d} b \quad f_{pc} = \bar{d} b \times S_c$$

NB: On fera le calcul pour une seule fondation et on représentera sur un tableau les résultats pour les autres fondations.

• Fondation de la file H (fondation ④)

$q_a = \text{contrainte admissible du sol sous cette fondation} = \bar{\sigma}_s$

$$q_a = 3 \text{ kg/cm}^2$$

$Q = \text{charge ramenée par le poteau + le poids de la fondation}$

$$Q = 42,6 \text{ t.}$$

$$a = 50 \text{ cm}$$

$$A = 1,50 \text{ m}^2$$

$$b = 30 \text{ cm.}$$

$$B = 0,95 \text{ m}$$

$$\frac{Q}{A \cdot B} \leq \bar{\sigma}_s \Rightarrow A \cdot B \geq \frac{Q}{\bar{\sigma}_s} \Rightarrow 150 \times 95 = 14250 > \frac{42600}{3} = 14200$$

$$h \geq \max\left(\frac{A-a}{4}, \frac{B-b}{4}\right) \Rightarrow h \geq \max(25, 16, 25) \Rightarrow h = 30 \text{ cm} \quad h = 26 \text{ cm}$$

$$A'y = \frac{Q(A-a)}{8h\bar{\sigma}_a} = \frac{42,6 \cdot 10^3 (150-50)}{8 \times 26 \times 2800} = 4,754 \text{ cm}^2.$$

$$A'x = \frac{42,6 \cdot 10^3 (95-30)}{8 \times 26 \times 2800} = 7,315 \text{ cm}^2$$

$$\text{On choisit : } A'y = \pi 112 = 7,96 \text{ cm}^2 \quad A'x = 1078 = 5,02 \text{ cm}^2.$$

• Espacement des Armatures:

Pour les Armatures $A'y \rightarrow e = 14 \text{ cm}$

Pour les Armatures $A'x \rightarrow e = 15 \text{ cm.}$

Vérification à l'adhérence: $\phi \leq \frac{2d}{\delta a} \cdot A$.

$$\phi \leq \frac{16,59}{2800} \cdot 1500 \Rightarrow \phi \leq 8 \text{ mm} \quad \text{Donc on a besoin de crochets.}$$

$$\phi \leq \frac{16,59}{2800} \cdot 950 \Rightarrow \phi \leq 5 \text{ mm} \quad \text{Donc on a besoin de crochets.}$$

• Vérification au non poinçonnement

$$\frac{1,25(B_a - F_{pc})}{F_{pc}} \leq \bar{\sigma}_b \quad ; \quad A' = a + ht \quad ; \quad B' = b + ht.$$

F_{pc} est

$$F_{pc} = \left[\left(\frac{30}{2} + 50 + \frac{30}{2} \right) + \left(\frac{30}{2} + 30 + \frac{30}{2} \right) \right] \times 2 = 2,80 \text{ m}$$

$$\frac{1,25 \times (42,6 \cdot 10^3 - 14000)}{280 \times 30} = 4,2 < 5,9 \text{ kg/cm}^2.$$

$$F_{pc} = \bar{\sigma}_s \cdot A' \cdot B' = 3 \times 80 \times 60 = 14400 \text{ kg.}$$

FERRAILAGE DES SEMELLES

N° de la Semelle	q_a (kg/cm²)	Q (t)	a (cm)	b (cm)	A (m)	B (m)	h_t (cm)	$A'y$ (cm²)	$A'x$ (cm²)	Aciers choisis pour				Espacement pour
										$A'y$	$A'x$	$A'y$	$A'x$	
1	3,0	38,4	30	30	1,15	1,15	30	5,60	5,60	8T10	8T10	15	15	
2	2,9	22,8	40	30	1,00	0,80	20	3,81	3,18	5T10	7T8	17	15	
3	3,1	59,4	40	30	1,60	1,20	35	10,26	7,69	10T12	10T10	12	16	
4	3,0	42,6	50	30	1,50	0,95	30	7,31	4,75	7T12	10T8	14	15	
5	3,1	64,96	92	30	1,80	1,20	30	9,82	10,04	9T12	9T12	13	21	
6	2,9	22,73	982	30	1,20	0,65	15	3,51	3,23	5T10	7T8	15	18	
7	3,0	34,0	62	40	1,35	0,85	25	5,27	3,24	7T10	8T8	12	17	
8	3,2	66,9	62	40	1,80	1,20	35	11,37	7,70	8T14	10T10	15	18	
9	3,1	48,0	62	50	1,40	1,15	25	7,96	6,63	7T12	9T10	17	16	
10	3,3	92,6	62	40	2,10	1,35	45	14,92	9,58	8T16	13T14	17	16	
11	3,3	88,8	82	62	1,90	1,45	35	13,81	10,61	9T14	14T10	16	13	
12 - 13	3,1	59,2	92	62	1,70	1,15	25	9,82	6,67	7T14	9T10	17	20	
14	3,1	48,9	62	50	1,40	1,15	25	8,11	6,75	8T12	9T10	15	16	
15	2,8	9,7	1m	20	1m	0,60	15	34 minimum	3,4 minimum	5T10	7T8	12	14	
16	3,3	93	62	30	1,85	1,55	35	15,8	16,13	8T16	8T16	19,	23	
17	3,2	83,5	40	30	1,9	1,40	45	13,6	10,0	9T14	13T10	16	15	

Ossature au dessous du niveau de base.

Calcul du voile périphérique (Art 3385 RPA 81)

Introduction:

Les ossatures au dessous du niveau de base formées de poteaux courts du vide sanitaire doivent comporter un voile périphérique continu entre le niveau de base et le début des fondations. Ce voile ceinture tout le bâtiment et forme une véritable cage rigide.

Caractéristiques du voile périphérique.

Hauteur $\geq \text{Max}(\frac{H}{10}, 0,80 \text{ m}) \Rightarrow \text{Hauteur} > (\frac{13,71}{10}) 0,80 \Rightarrow H = 1,4 \text{ m}$
épaisseur $\geq 15 \text{ cm}$. On prendra $l = 20 \text{ cm}$.

Armature longitudinale filantes supérieures et inférieures de section $\geq 20\%$ de la section transversale totale du béton avec recouvrement $\geq 50\phi$.

Équiper de renfort dans les angles.

Armatures longitudinales de peu de section $\geq 2 \text{ cm}^2/\text{face}/\text{m}$ de hauteur

Continuité rechignée sur le long de la façade

Section transversale du béton: $20 \times 140 = 2800 \text{ cm}^2$.

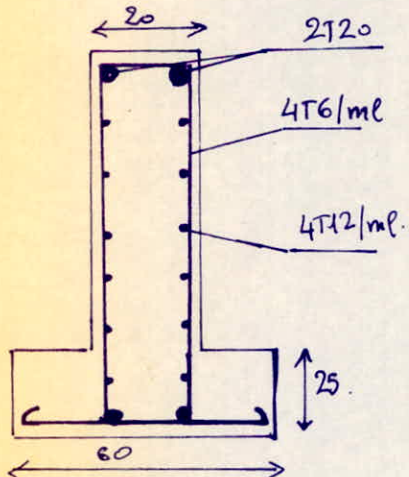
Armatures supérieures et inférieures filantes $\frac{0,2}{100} \times 2800 = 5,6 \text{ cm}^2$
On choisira $A = 2T20 = 6,28 \text{ cm}^2$.

Armatures longitudinales de peu $\geq 2 \text{ cm}^2$ par face et par ml de ht
Soit $A = 4T12/1ml = 4,52 \text{ cm}^2$

Armatures verticales $w = \frac{A}{a \cdot b} \geq 0,001 \Rightarrow A \geq 0,001 \times 20 \times 100 = A \geq 2 \text{ cm}^2$.

Soit 4T6 par face espacés de 25 cm.

On prendra aussi une semelle de (60×25) pour supporter le voile



Calcul des Longrines (Art 4233 - RPA 81)

Introduction:

En l'absence de système rigide d'infrastructure, toutes les fondations isolées sur sol doivent être chargées par des longrines suffisamment rigides.

des longrines doivent être calculées pour résister à un effort de traction égal à: $\frac{N}{10}$ (terrain meuble). N étant l'effort normal ramené par le poteau.
On choisit la même section des longrines égale à la section des poutres (30×40).

la section d'acières longitudinaux doit donc reprendre la totalité de l'effort de traction qui est estimé à $\frac{N}{10}$

$$N = 74,5 \text{ t} \quad (\text{voire efforts normaux dans les poteaux}).$$

$$\text{D'où } A = \frac{N}{\sigma_u} = \frac{745 \cdot 10^3}{2800} = 2,66 \text{ cm}^2$$

Vérification de la condition de non fragilité.

$$A \geq 0,69 \cdot b \cdot h \cdot \frac{\sigma_b}{\sigma_u} = 0,69 \times 30 \times 37 \times \frac{5,9}{4200} = 1,076 \text{ cm}^2$$

Ou opéra finalement pour $A = 4T12$ qui est donné dans le même article.

On prévoit aussi des cadres dont l'espacement ne dépasse pas 20 cm.

L'INNEXE

PROGRAMMES'

Annexe des programmes

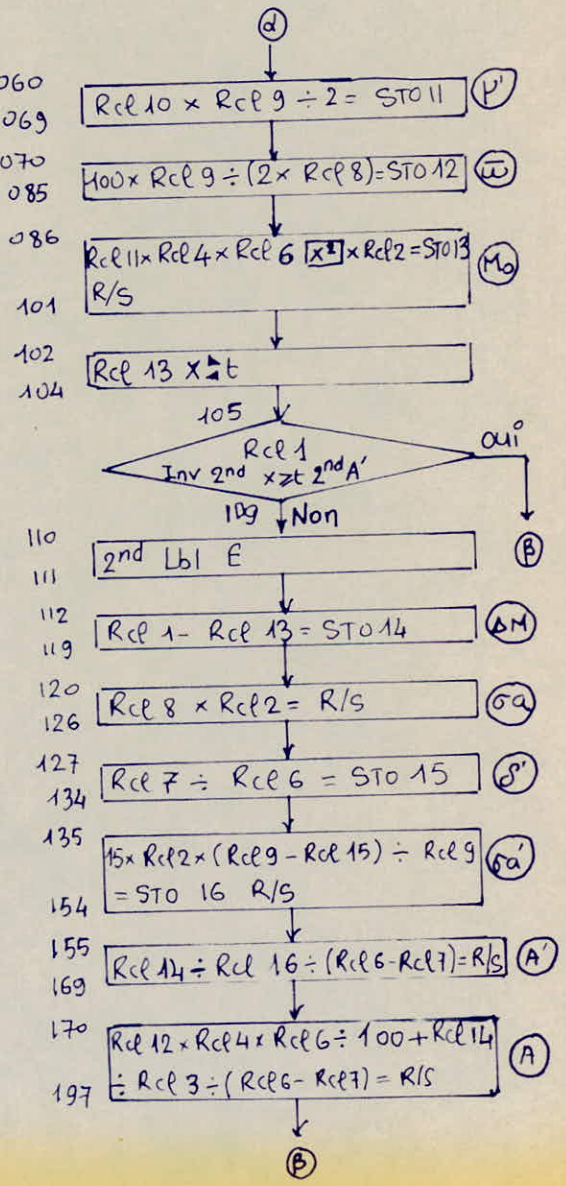
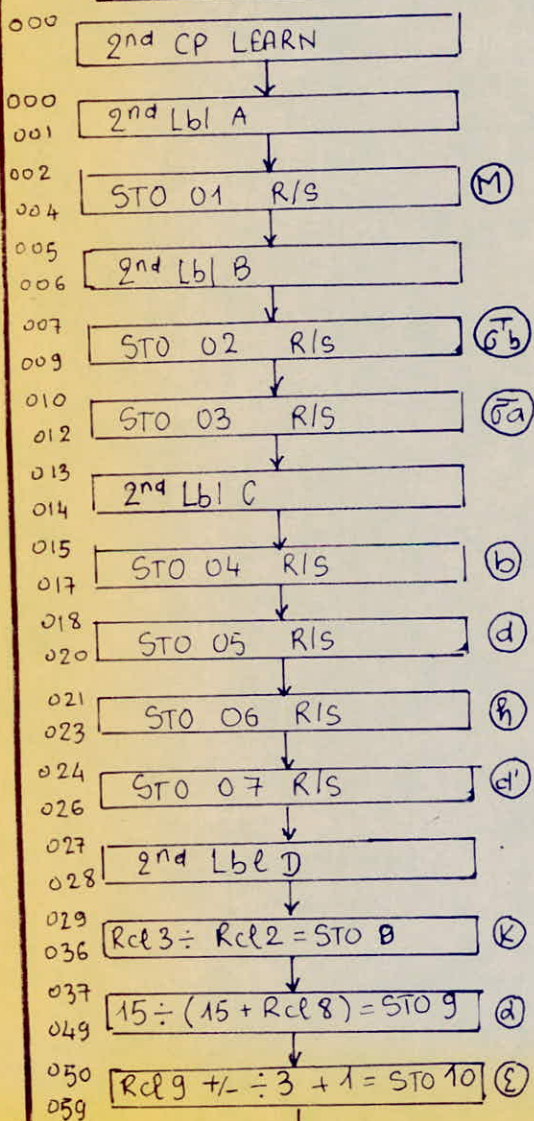
Une bonne partie des calculs de notre bâtiment ont été faits par programmes sur une calculatrice programmable TI58C. Parmi ces calculs on citera : calcul des efforts dans la méthode de Caquot, les combinaisons de charges, les calculs de sections dans les poutres et les poteaux...etc. On exposera quelques exemples simples ci-après.

CALCUL DU FERAÏLAGE ET DES CONTRAINTES DANS UNE SECTION RECTANGULAIRE SOUMISE A LA FLEXION SIMPLE.

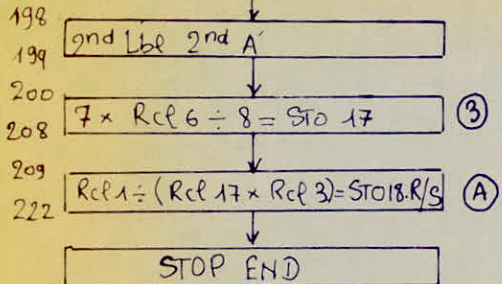
FERAÏLAGE

NB: Voir organigramme dans le calcul de feraïlage des poutres.

Partition Mémoires : 319-19.



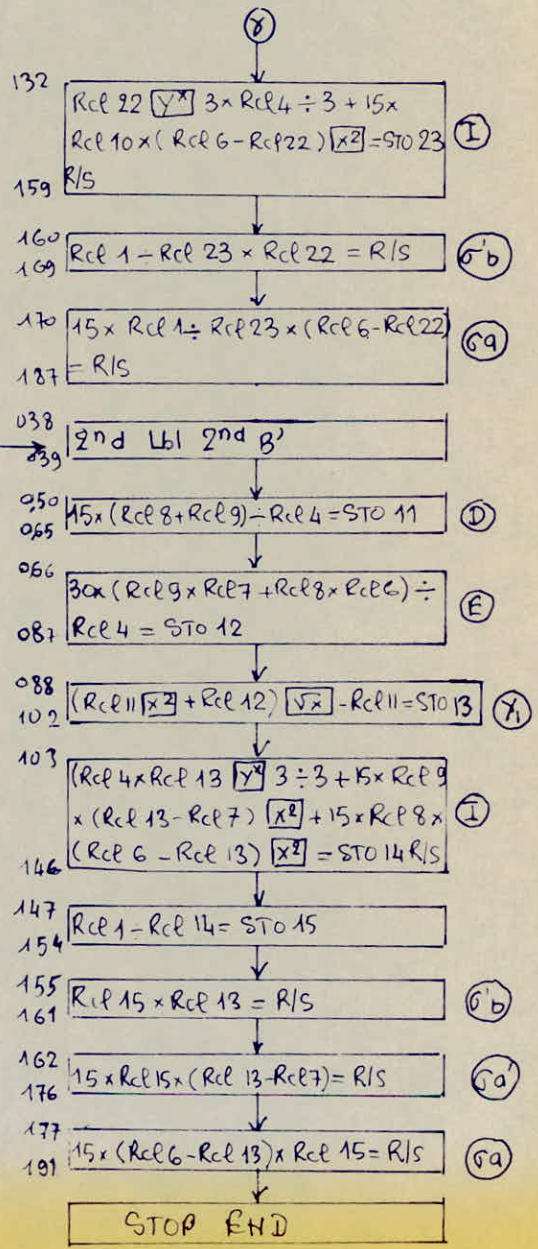
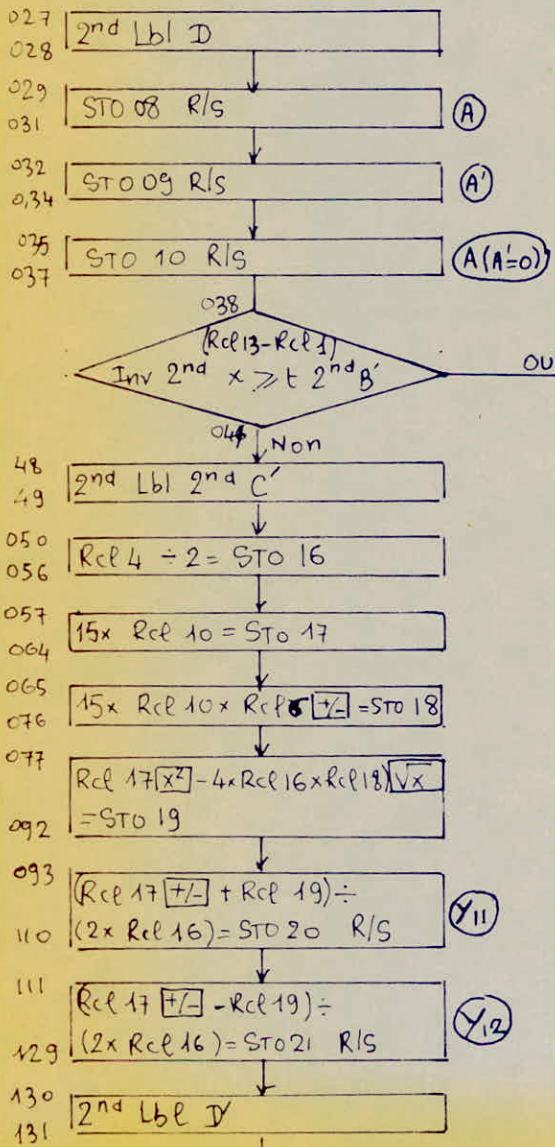
Suite du programme



CONTRAINTES

Maintenir le programme de Calcul de Ferailage jusqu'au par 027

Partition Mémoires : 239-29



Mode d'emploi des programmes

Ferraillage:

2nd CP LEARN : effacer la mémoire programme et remettre le pointeur à 0 au pas 000. Mise en mode programmation.

Introduire le programme comme écrit précédemment.

LEARN : Retour au mode calcul en appuyant à la fin du p-gme sur la touche LEARN.

Introduire les valeurs de M , b , a , b , d , h , d' dans leurs étiquettes ($M \rightarrow A$; $(b, a) \rightarrow B$; $(b, d, h, d') \rightarrow C$)

Appuyer sur :

D : vous donnera la valeur de M_{fn} que l'on comparera à M)

E : Si $M_{fn} < M \Rightarrow$ Affichage b_a'
appuyer sur R/S \Rightarrow Affichage A'

2nd C : Si $M_{fn} > M \Rightarrow$ Affichage A .

Contraintes:

Maintenir le 1^{er} programme de Calcul de ferraillage jusqu'au pas 027. Donc on procédera comme suit.

Appuyer sur :

GTO 027 : le pointeur se remet à ce pas.

LEARN : Retour au mode programmation.

Introduire le programme de Calcul des Contraintes.

LEARN : Retour au mode Calcul.

Introduire les valeurs des aciers choisis dans leur étiquette (D)

Appuyer sur 2nd C Si $M < M_{fn}$

2nd D : Vous donnera la valeur de y_1 et y_2 Solutions de l'équation
 $b y^2 + 2 - M A (b - y_1) = 0$. (Pour avoir y_2 appuyer sur R/S.)
 y_1 est la plus grande valeur positive.

Stocker Max (y_1, y_2) en mémoire 22 ($y_1 \text{ STO } 22$).

2nd E : Vous donnera I

Appuyer sur R/S \Rightarrow Affichage b_a'

Appuyer sur R/S \Rightarrow Affichage b_a .

Appuyer sur 2nd B si $M > M_{fn}$.

2nd B : Affichage I

Appuyer sur R/S \Rightarrow affichage b_a'

Appuyer sur R/S \Rightarrow affichage b_a .

Appuyer sur R/S \Rightarrow affichage b_a .

NB: Vu que ce genre de calculatrice n'a pas un grand nombre de mémoires et de pas pour exécuter l'entièrement l'organigramme ce dernier est exécuté en plusieurs parties. Ainsi le calcul des contrainte est programmé séparément à partir du page 37. Faites cela avec une calculatrice de plus grande capacité ou pourra exécuter ce programme complètement.

• FLEXION COMPOSÉE - SECTION RECTANGULAIRE PARTIELLEMENT COMPRIMÉE - CALCUL DU FERRAILLAGE ET DES CONTRAINTES

1^{re} étape:

Calculer le moment résistant de la section rectangulaire M_{Rn} soumise au moment fictif $M_f = N_e$ avec $e = e_0 \pm \left(\frac{h}{2} - d\right)$. Dans une section partiellement comprimée le calcul se fait en flexion simple sous l'effet du moment fictif M_f .

2^e étape:

Si $M_f < M_{Rn}$. On calculera le ferrailage exactement en suivant le programme fait pour la flexion simple. Toutefois la section des armatures en flexion composée est telle que:

$$A'fc = A'fs + \frac{N}{\sigma_a}$$

Les contraintes seront calculées de la même manière.

Si $M_f > M_{Rn}$. le minimum de $(A+A')$ n'est pas obtenue avec les contraintes admissibles σ_a . On calculera alors la contrainte de l'acier σ_a' suivant l'abaque 2 de la page 297 du Pierre Charon. σ_a' est donné par la formule $\sigma_a' = 15 \sigma_a \cdot \frac{d-d'/h}{d}$.

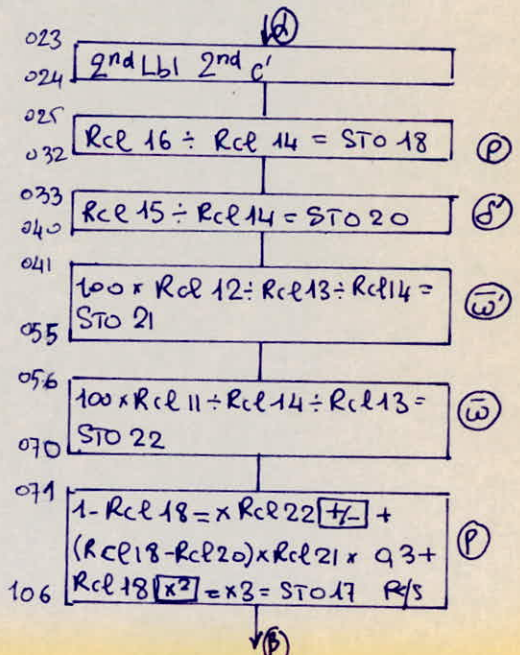
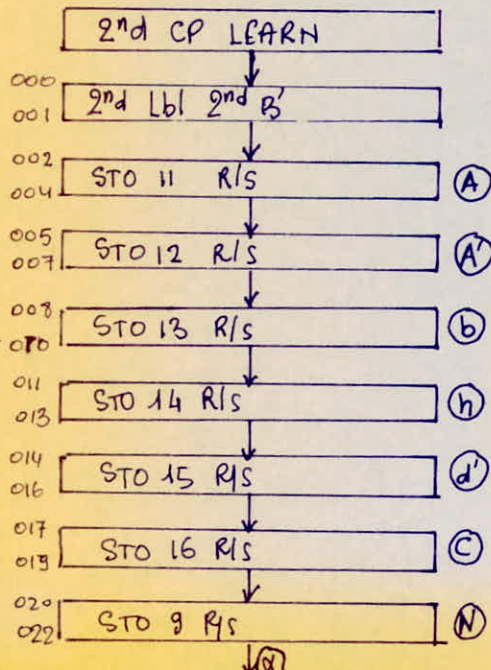
$$\alpha = \frac{n\sigma_b}{n\sigma_b + \sigma_a}. \quad \sigma_a \text{ calcule précédemment.}$$

des armatures sont alors données par le même programme en flexion simple. Les armatures en flexion composée sont:

$$A'fc = A'fs \quad ; \quad f'fc = A'fs + \frac{N}{\sigma_a'}$$

Dans ce cas on donnera le programme de calcul des contraintes.

PARTITION MEMOIRES : 239-29.



à suivre.

107 $\downarrow \textcircled{B}$
 $1 - Rcl 18 = [X^2] \times Rcl 22 +$
 $Rcl 21 \times (Rcl 18 - Rcl 20) [X^2] = X$
 $0,45 + Rcl 18 [X^2] \times Rcl 18 = X^2 =$
147 STO 19 R/S.

Resolution de l'équation:

$$d_1^3 - pd_1 - q = 0$$

Appel Lgms 08 de la bibliothèque
des programmes:
Zéros d'une fonction

150 \downarrow
167 $(STO 10 [X^2] \times Rcl 10 - Rcl 10 \times Rcl 17 - Rcl 19) Inv SBR LEARN - RST$
148 \downarrow
149 $2nd Lbl 2nd A'$

Retour au mode Calcul

2nd Lgms 08

Soient a et b les bornes sup(b) et inf(a) où pourrait se trouver d_1 . Δx l'incrémentation de pas et ε l'erreur sur d_1 . Introduire

a en \textcircled{A}

b en \textcircled{B}

Δx en \textcircled{C}

ε en \textcircled{D}

d_1 est obtenue en appuyant sur \textcircled{E} .

Dans ce sous programme d_1 est stocké en M10.
d étant trouvé retour au mode programmation

GO TO 023

023 \downarrow
024 $2nd Lbl 2nd D'$
025 \downarrow
034 $Rcl 10 \times Rcl 14 = STO 01 R/S$ \textcircled{Y}_2
035 \downarrow
043 $Rcl 14 + Rcl 16 = STO 2 R/S$ \textcircled{X}_1
044 \downarrow
032 $Rcl 14 - Rcl 2 = Rcl 14 \pm + (Rcl 2 - Rcl 15) \times Rcl 12 = X 5 = +$
 $Rcl 13 \times Rcl 2 [X^2] \div 2 = STO 3 R/S$ \textcircled{S}
033 \downarrow
091 $Rcl 9 \div Rcl 3 = STO 4 R/S$ \textcircled{K}
092 $\downarrow \textcircled{D}$

092 $\downarrow \textcircled{D}$
093 $2nd Lbl 2nd F'$
094 \downarrow
100 $Rcl 4 \times Rcl 2 = R/S$ \textcircled{F}'
101 \downarrow
114 $Rcl 2 - Rcl 15 = X Rcl 4 \times 15 = R/S$ \textcircled{F}'
115 \downarrow
128 $Rcl 14 - Rcl 2 = X Rcl 4 \times 15 = R/S$ \textcircled{F}'
STOP FHD

Remarques: • En MODE CALCUL
A la fin du Lgms 08 qui calcule
petit q en vue de la résolution
de l'équation $d_1^3 - pd_1 - q = 0$
ne pas oublier d'appuyer sur
RST afin d'initialiser le
programme 08 qui calculera
les racines de l'équation
cubique.

Après avoir calculé la
racine d_1 appuyer une
seconde fois sur RST.

• des cases en pointillés
sont réservées au mode
Calcul.

FLEXION COMPOSÉE - SECTION RECTANGULAIRE, COMPLÈTEMENT
COMPRIMÉE - CALCUL DU FERRAILLAGE ET DES CONTRAINTES

Le calcul est fait sur une calculatrice TI59.

PARTITION-MÉMOIRES 719 - 29.

```

000 2nd Lbl A
001 STO 00 R/S
002 STO 01 R/S
003 STO 02 R/S
004 STO 03 R/S
005 STO 04 R/S
006 STO 05 R/S
007 STO 06 R/S
008 STO 07 R/S
009 STO 08 R/S
010 STO 09 R/S
011 STO 10 R/S
012 STO 11 R/S
013 STO 12 R/S
014 STO 13 R/S
015 STO 14 R/S
016 STO 15 R/S
017 STO 16 R/S
018 STO 17 R/S
019 STO 18 R/S
020 STO 19 R/S
021 STO 20 R/S
022 STO 21 R/S
023 STO 22 R/S
024 STO 23 R/S
025 STO 24 R/S
026 STO 25 R/S
027 STO 26 R/S
028 STO 27 R/S
029 2nd Lbl 2nd A'
030 RCL 3 × RCL 4 × RCL 5 ÷ RCL 1 = STO 09 P
031 6 × RCL 0 ÷ RCL 1 ÷ RCL 5 = STO 10 B
032 1 - 2 × RCL 8 = [X^2] × RCL 9 × 0,27 = STO 11 C
033 1 - 2 × RCL 8 = [X^2] × (1 - RCL 9) × 0,27 + / - +
034 0,30 × (RCL 9 - RCL 10) = STO 12 D
035 RCL 9 - RCL 10 - 1 = STO 13 E
036 RCL 12 [X^2] - 4 × RCL 11 × RCL 13 = [VX]
037 - RCL 12 ÷ (2 × RCL 11) = STO 14 R/S W
038 2nd Lbl B
039 RCL 14 × RCL 4 × RCL 5 ÷ 100 = STO 15 R/S A
040

```

```

168 ↓(a)
169 2nd Lbl 2nd B' ↓
170 RCL 15 ÷ RCL 14 = x 0,3 = STO 16 R/S A1
171 ↓
172 2nd Lbl C ↓
173 RCL 4 × RCL 5 [X^2] ÷ 2 + 15 × RCL 15 × RCL 6
174 + 15 × RCL 16 × (RCL 5 - RCL 7) = ÷
175 ((RCL 15 + RCL 16) × 15 + RCL 5 × RCL 4)
176 = STO 17 R/S
177 ↓(b)
178 2nd Lbl 2nd C' ↓
179 RCL 5 - RCL 17 = STO 18 R/S B1
180 ↓
181 2nd Lbl D ↓
182 RCL 4 × RCL 17 [Y^2] 3 ÷ 3 + RCL 4 × RCL 18
183 [Y^2] 3 ÷ 3 + 15 × RCL 15 × (RCL 17 - RCL 6)
184 [X^2] + 15 × RCL 16 × (RCL 18 - RCL 7) K2
185 = STO 19 R/S Ixx
186 ↓(c)
187 2nd Lbl 2nd D' ↓
188 RCL 4 × RCL 5 + 15 × (RCL 15 + RCL 16) = [VX]
189 × RCL 0,1 = STO 20
190 ↓
191 RCL 0,0 - RCL 0,1 × (0,5 × RCL 5 - RCL 17)
192 = STO 21
193 ↓
194 RCL 20 + RCL 24 × RCL 17 ÷ RCL 19 =
195 STO 22 R/S C1
196 ↓(d)
197 RCL 20 - RCL 21 × RCL 18 ÷ RCL 19 = R/S C2
198 ↓
199 15 × RCL 22 = R/S
200 ↓
201 STOP END

```

BIBLIOGRAPHIE

- Règlement para seismique Algérien
- Règles techniques CCBA 68
- PS 69
- Calcul pratique des ossatures de bâtiment en Beton Armé
(Albert FUENTES)
- BULLETINS DU CTC
- Traité du Beton Armé tome IV et VI - A - GUERRIN.
- Calcul dynamique des structures en zone seismique. - A. CAPRA
V. DAVIDOVICI
- Cours de Beton III - M^e BELAZOUNGUI
- Aide Mémoire Beton Armé V. DAVIDOVICI
- Aide Mémoire RDM J. GOULET
- Calcul et vérification des ouvrages en Beton Armé P. CHARON
- Horizonto Eyrat Beton Armé 2 J. PERCHAT.
- Fondations et ouvrages de terre G. PHILIPPONNAT.
- des essais in situ en mécanique des sols Tome 1 et 2 H. CASSAN.



